

## МАССА МОЛЕКУЛ И ФИЗИЧЕСКИЕ СВОЙСТВА ЖИДКОСТЕЙ

А. Е. Луцкий

Зависимость физических свойств от состава и структуры молекул, как правило, рассматривается под углом зрения аддитивности этих свойств. В первом приближении предполагается, что значение того или иного свойства является суммой значений, характерных для составляющих молекулу атомов, связанных между собой простой связью — атомных констант. При этом считают, что отклонение от указанной аддитивности является результатом влияния структуры молекулы: типа связи и порядка связи атомов в молекуле [2]. Для учета этого влияния вводятся те или иные структурные константы — инкременты и декременты — и численное значение свойства рассматривается как сумма атомных и структурных констант.

Оказалось, однако, что и у простейших соединений аддитивность является весьма приближенной. Не менее приближенной оказывается и аддитивность структурных констант.

Ограниченная пригодность и сложность расчета в различных аддитивных схемах вызваны существенными недостатками рассматриваемого метода. Действительно, огромное число фактов указывает на изменение свойств атомов в молекуле с изменением природы как непосредственно, так и посредственно связанных с ними атомов [3]. Именно поэтому метод аддитивности приводит лишь к эмпирическим правилам, цель которых — числить значение свойства. Он не позволяет вскрыть причины и предсказать характер влияния того или иного изменения в составе и структуре молекул на какое-либо свойство вещества.

Состав и структура молекул влияют на физические свойства тем, что определяют характерные для тела молекулярные постоянные: дипольный момент, поляризуемость молекул и др. В настоящее время имеется большое число данных о характере влияния состава и структуры молекул на те или иные молекулярные постоянные [4].

Ниже рассматривается влияние массы молекул на различные физические свойства тел. Для установления характера влияния массы молекул наиболее рационально сравнивать между собой соединения, отличающиеся друг от друга лишь на атомы элементов той же группы периодической системы (изологи). Как следует из примера, приведенного в табл. 1, одного рода соединения незначительно отличаются друг от друга дипольным моментом и размером молекул; как правило, обладают они и одинаковой формой молекул. В некоторых изологических рядах и общая поляризация почти не изменяется при переходе от одного члена ряда к другому [5]. Заметно различаются изологи массой молекул. Лишь у первых двух членов изологических рядов различие в электронной поляризуемости сравнимо с различием в массе их молекул; у последующих членов и различие в поляризуемости отстает на задний план перед различием в массе молекул. Так, отношение  $\alpha \cdot 10^{24}$  и  $m \cdot 10^{23}$  равно соответственно для  $(C_2H_5)_2S$  и  $(C_2H_5)_2Se$ : 1,09 и 1,52;  $(C_2H_5)_3P$  и  $(C_2H_5)_3As$ : 1,05 и 1,37;  $(CH_3)_2Zn$  и  $(CH_3)_2Cd$ : 0,98 и 1,62;  $(C_2H_5)_4Sn$  и  $(C_2H_5)_4Pb$ : 1,08 и

Соединение	Размер в А*	Электронная поляризуе- мость $\alpha \cdot 10^{24}$	Дипольный момент $\mu \cdot 10^{18}$	Угол С-галоген в градусах	Масса молекул $m \cdot 10^{23}$
н.-C <sub>4</sub> H <sub>9</sub> F . . . . .	20,02	7,84	1,85	110°	12,55
н.-C <sub>4</sub> H <sub>9</sub> Cl . . . . .	20,64	10,02	1,9	115°	15,26
н.-C <sub>4</sub> H <sub>9</sub> Br . . . . .	20,93	11,13	1,9	109°	22,60
н.-C <sub>4</sub> H <sub>9</sub> I . . . . .	21,33	13,18	1,88	—	30,36

\* Размер молекулы условно приравнен сумме межатомных расстояний и ковалентных радиусов конечных атомов молекулы.

1,37. Сравнительно небольшое различие в электронной поляризуемости при почти равном дипольном моменте молекул указывает на то, что большинство изологов и по силам сцепления между молекулами отличаются друг от друга сравнительно незначительно.

Поскольку некоторые свойства, например плотность, непосредственно определяются массой молекул, а на другие свойства масса может оказывать

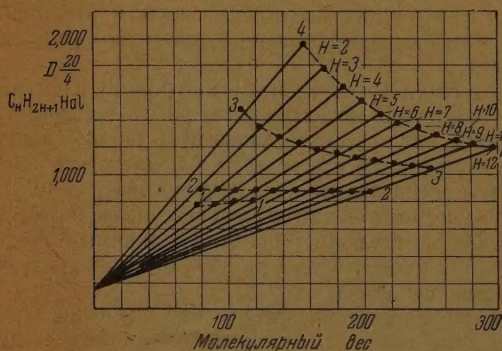


Рис. 1. 1 — F; 2 — Cl; 3 — Br; 4 — I

теплоемкость, температуры кипения и плавления, критические температуры, скрытые теплоты испарения и др.) действительно закономерно и именно линейно изменяются в изологических рядах с увеличением молекулярного веса. При этом по характеру и степени изменения можно различить три типа свойств.

К первому типу должны быть отнесены плотность и вязкость. По уравнению прямой

$$D \text{ (или } \eta) = A + BM$$

(где  $A$  и  $B$  — постоянные,  $M$  — молекулярный вес изолага) плотность или вязкость (при той же температуре) членов того же изологического ряда может быть рассчитана с отклонением, как правило, менее 1—1,5%. При этом значение  $A$  остается практически постоянным как с изменением

влияние тем, что с ее ростом уменьшаются средняя скорость поступательного движения молекул, угловая скорость вращения молекулы, частота колебаний молекул в коллективе и др., естественно ожидать, что в изологических рядах различие в значениях многих физических свойств будет определяться главным образом разницей масс их молекул. Как следует из рис. 1—13, саморазнообразные физические свойства жидкостей (плотность, вязкость, удельная



тем температуры (рис. 6), так и для всех членов того же изоэлогического ряда независимо от длины углеводородной цепи. Значение же  $B$ , уменьшаясь (в случае плотности) с увеличением числа атомов углерода углеводородной цепи, оказывается при том же числе атомов углерода цепи почти независимым от характера изоэлогического ряда (табл. 2).

Таблица 2

общее число атомов углерода в углеводородных цепях	Значение $B$ в изоэлогических рядах (при 20°)				Среднее значение $B$
	$\text{H-C}_n\text{H}_{2n+1}^X$ ( $X=\text{F, Cl, Br, J}$ )	$(\text{C}_n\text{H}_{2n+1})_2^X$ ( $X=\text{O, S, Se, Te}$ )	$(\text{C}_n\text{H}_{2n+1})_3^X$ ( $X=\text{N, P, As, Sb, Bi}$ )	$(\text{C}_n\text{H}_{2n+1})_4^X$ ( $X=\text{C, Si, Ge, Sn, Pb}$ )	
2	0,0117	0,0120	—	—	0,0118
3	0,0095	—	0,0084(!)	—	—
4	0,0081	0,0084	—	—	0,0082
5	0,0070	—	—	—	—
6	0,0061	0,0063	0,0058	0,0058	0,0060
7	0,0055	—	—	—	—
8	0,0049	0,0050	—	0,0049	0,0049
9	0,0045	—	0,0043	45	44
10	0,0041	0,0042	—	42	41
11	0,0038	—	—	39	38
12	0,0035	—	0,0034	0,0036	35
16	0,0028	0,0028	—	29	28
20	—	—	—	24	—

Пропорциональность плотности массе молекул [6] у многих жидкостей не может быть обнаружена вследствие наложения влияния различия в других, кроме массы, молекулярных постоянных. Лишь у изоэолов, сравнительно незначительно друг от друга отличающихся по числу молекул в единице объема, эта зависимость проявляется с минимальным отклонением.

Пропорциональность вязкости массе молекул (на что указывал и Артенмейстер) [7] теоретически пока необоснована, так как современ-

Таблица 3

	$X=\text{F}$		$X=\text{Cl}$		$X=\text{Br}$		$X=\text{J}$		$A$	$B$
	набл.	рассч.	набл.	рассч.	набл.	рассч.	набл.	рассч.		
$-\text{C}_2\text{H}_5\text{X}$ . . . .	—	—	22,02	21,92	25,33	25,43	29,28	29,22	15,72	0,079
$-\text{C}_3\text{H}_7\text{X}$ . . . .	17,72	22,90	23,90	23,84	26,33	26,37	29,15	29,05	18,57	0,057
$-\text{C}_4\text{H}_{11}\text{X}$ . . . .	20,06	24,36	25,06	25,10	27,09	27,10	29,22	29,22	20,31	0,045
$-\text{C}_5\text{H}_{15}\text{X}$ . . . .	21,83	25,61	26,24	26,27	28,04	28,05	29,93	29,93	21,45	0,040
$-\text{C}_6\text{H}_{19}\text{X}$ . . . .	23,20	26,49	27,07	27,02	28,56	28,62	30,38	30,34	22,25	0,036
$-\text{C}_8\text{H}_{17}\text{X}$ . . . .	—	—	27,78	27,71	28,89	29,13	30,74	30,64	23,06	0,032
	$X=\text{Si}$		$X=\text{Ge}$		$X=\text{Sn}$		$X=\text{Pb}$			
$\text{C}_2\text{H}_5\text{O}_4\text{X}$ . . . .	22,8	22,8	24,3	24,0	25,7	25,6	28,5	28,5	18,3	0,038

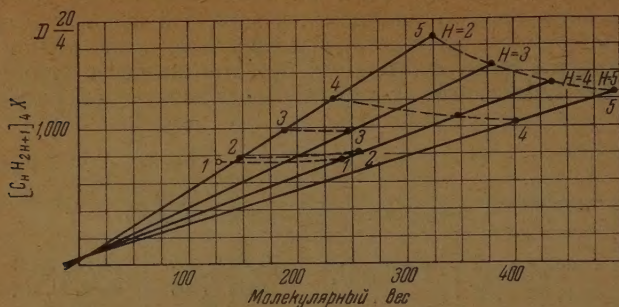


Рис. 2. 1 — C; 2 — Si; 3 — Ge; 4 — Sn; 5 — Pb

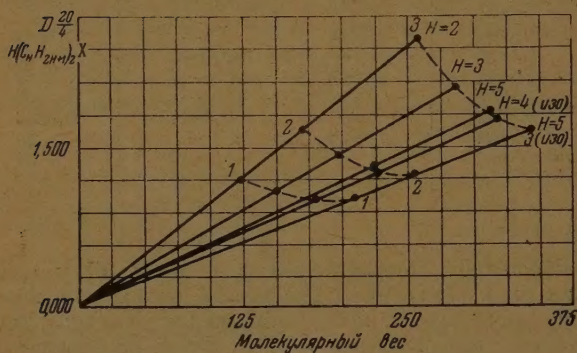


Рис. 3. 1 — Zn; 2 — Cd; 3 — Hg

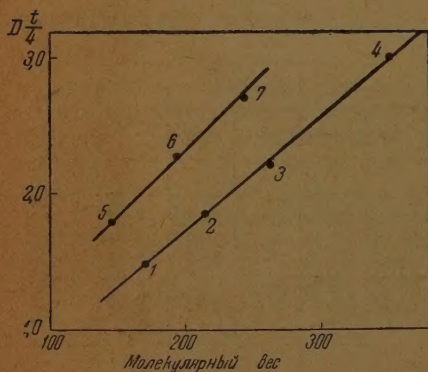
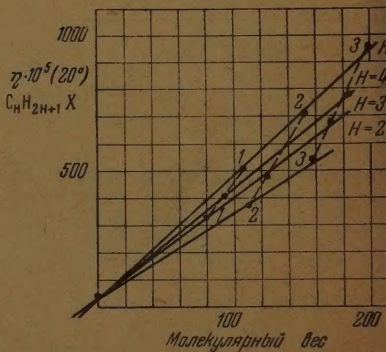
Рис. 4. 1 —  $\text{SiCl}_4$  ( $20^\circ$ ), 2 —  $\text{GeCl}_4$ ; 3 —  $\text{SnCl}_4$ ; 4 —  $\text{PbCl}_4$ ; 5 —  $\text{SF}_6$  ( $-39^\circ$ ); 6 —  $\text{SeF}_6$ ; 7 —  $\text{TeF}_6$ 

Рис. 5. 1 — Cl; 2 — Br; 3 — I



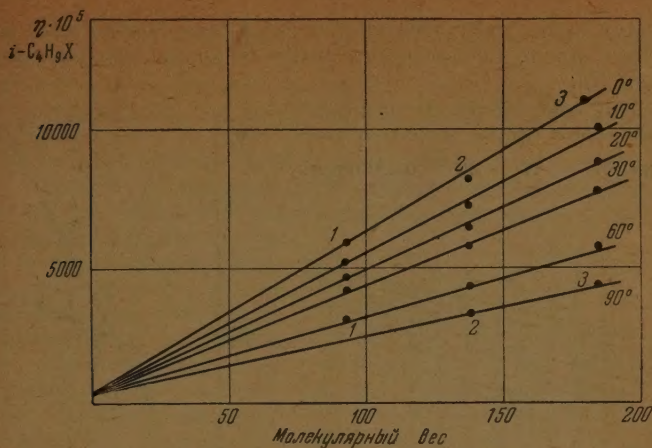


Рис. 6. 1 — Cl; 2 — Br; 3 — I

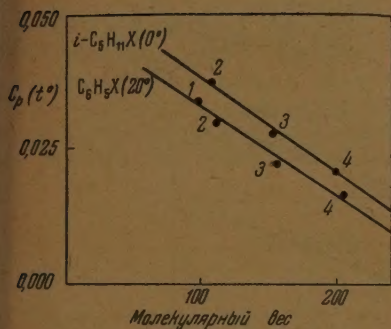


Рис. 7. 1 — F; 2 — Cl; 3 — Br; 4 — I

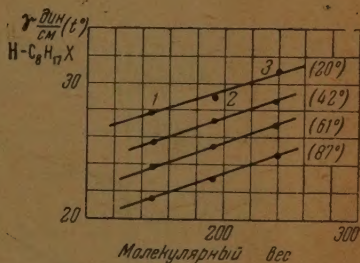


Рис. 9. 1 — Cl; 2 — Br; 3 — I

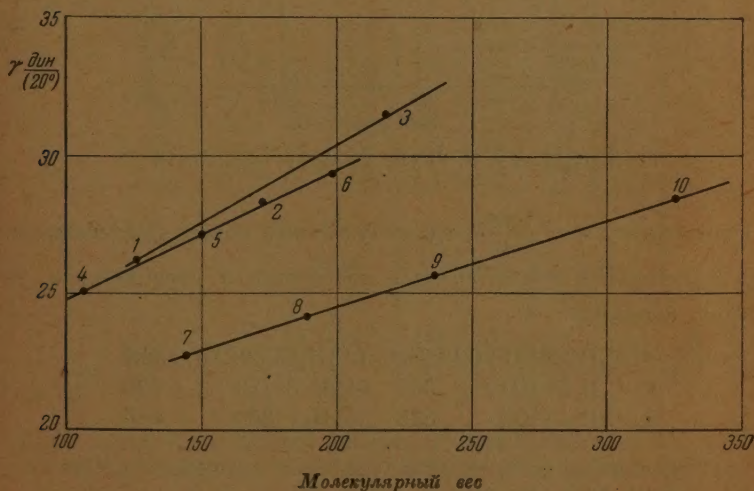


Рис. 8. 1 —  $1,4\text{C}_6\text{H}_4(\text{Cl})\text{CH}_3$ ; 2 —  $1,4\text{C}_6\text{H}_4(\text{Br})\text{CH}_3$ ; 3 —  $1,4\text{C}_6\text{H}_4(\text{I})\text{CH}_3$ ; 4 —  $\text{n-C}_6\text{H}_{11}\text{Cl}$ ; 5 —  $\text{n-C}_6\text{H}_{11}\text{Br}$ ; 6 —  $\text{n-C}_6\text{H}_{11}\text{I}$ ; 7 —  $(\text{C}_2\text{H}_5)_4\text{Si}$ ; 8 —  $(\text{C}_2\text{H}_5)_4\text{Ge}$ ; 9 —  $(\text{C}_2\text{H}_5)_4\text{Sn}$ ; 10 —  $(\text{C}_2\text{H}_5)_4\text{Pb}$

ные представления о вязкости жидкостей в «твердоподобном» состоянии предполагают пропорциональность вязкости корню квадратному из массы молекул [8].

Поскольку плотность и вязкость пропорциональны массе молекул, следует ожидать, что их отношение

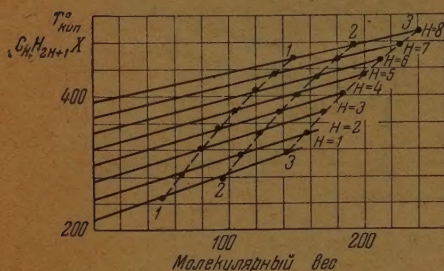


Рис. 10. 1 — Cl; 2 — Br; 3 — J

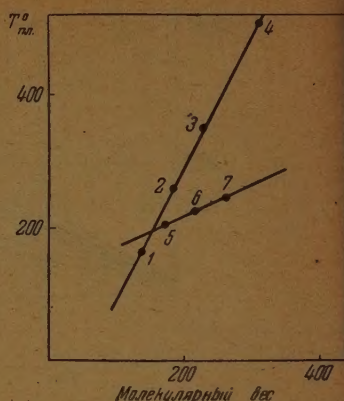


Рис. 12. 1 —  $\text{PCl}_3$ ; 2 —  $\text{AsCl}_3$ ; 3 —  $\text{SbCl}_3$ ; 4 —  $\text{BiCl}_3$ ; 5 —  $\text{SiCl}_4$ ; 6 —  $\text{GeCl}_4$ ; 7 —  $\text{SnCl}_4$

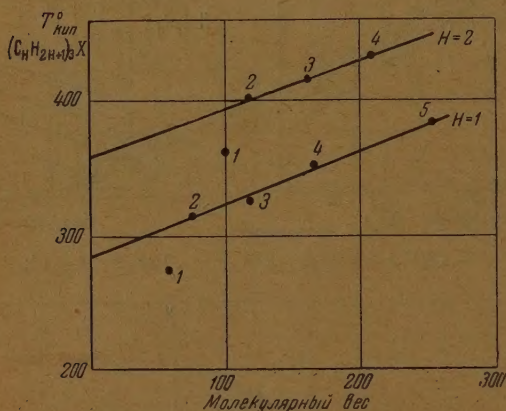


Рис. 11. 1 — N; 2 — P; 3 — As; 4 — Sb; 5 — Bi

$\frac{\eta}{D} = \text{const}$ , откуда  $\eta = \frac{\text{const}}{v}$ , где  $v$  — удельный объем. Действительно, у членов того же изоэлектрического ряда  $\frac{\eta}{D}$  колеблется в сравнительно узком интервале, например:

н.- $\text{C}_3\text{H}_7\text{Cl}$ ( $40^\circ$ )	0,00340	<i>i</i> - $\text{C}_4\text{H}_9\text{Cl}$ ( $20^\circ$ )	0,00524
н.- $\text{C}_3\text{H}_7\text{Br}$ ( $40^\circ$ )	354	<i>i</i> - $\text{C}_4\text{H}_9\text{Br}$ ( $20^\circ$ )	520
н.- $\text{C}_3\text{H}_7\text{J}$ ( $40^\circ$ )	329	<i>i</i> - $\text{C}_4\text{H}_9\text{J}$ ( $20^\circ$ )	546

К другому типу свойств относится удельная теплоемкость. Она уменьшается с ростом атомного веса галогена [9].

Уменьшение  $C_p$  с увеличением молекулярного веса вызвано, повидимому, главным образом снижением при этом числа молекул в одной граммe вещества. Другой причиной этого может быть также снижение



мостом молекулярного веса относительного термического коэффициента  
относности [10].

Рассчитанные по уравнению прямой:  $C_p = A - BM$ , удельные тепло-  
кости жидких изологов, как правило, отклоняются от наблюдаемых [9],  
[1] не более чем на 1,5—3%.

К третьему типу свойств должны быть отнесены поверхностное натя-  
жение ( $\gamma$ ), температуры кипения и плавления, критические температуры  
скрытые теплоты испарения жидкостей. Значения этих свойств, так же  
как и плотности и вязкости, ли-  
нейно растут с увеличением моле-  
кулярного веса изолага. Такого  
да отношения уже отмечались  
я поверхностного натяжения  
которых неорганических изола-  
зов [12], температур кипения гид-  
ридов [13]. Значения поверхно-  
стного натяжения изологов, рас-  
считанные по уравнению прямой:  
 $\sigma = A + BM$  (где  $A$  и  $B$  по-  
стоянные,  $M$  — молекулярный  
вес), в этом случае почти совпадают  
наблюдаемыми (табл. 3) [14]. Зна-  
чения температур кипения и плавления,  
критических температур и скрытых теплот испарения  $ML - RT$ ,  
рассчитанные по такому же уравнению прямой, отклоняются от наблюдае-  
мых, как правило, менее чем на 0,5% (табл. 4, 5, 6 и 7).

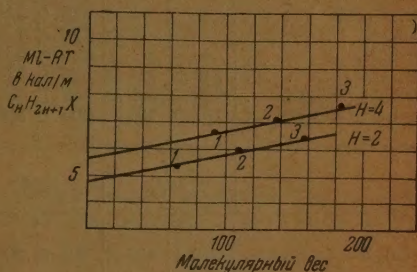


Рис. 13. 1 — Cl; 2 — Br; 3 — I

Таблица 4 [15]

Температуры кипения изологов

Соединение	X=F		X=Cl		X=Br		X=I		A	B
	набл.	рассч.	набл.	рассч.	набл.	рассч.	набл.	рассч.		
CH <sub>3</sub> X . . . . .	195,2	236,2	249,4	248,1	277,8	280,1	315,8	314,0	211,8	0,72
C <sub>2</sub> H <sub>5</sub> X . . . . .	241,2	273,7	285,4	284,5	311,2	313,9	345,4	344,9	241,0	0,66
C <sub>3</sub> H <sub>7</sub> X . . . . .	275,2	308,8	319,8	318,8	344,1	346,0	375,6	374,7	271,0	0,61
C <sub>4</sub> H <sub>9</sub> X . . . . .	—	—	351,2	350,6	374,8	375,5	400,2	401,8	298,8	0,56
C <sub>5</sub> H <sub>11</sub> X . . . . .	336,0	370,8	378,9	379,2	401,1	402,8	429,2	427,7	322,8	0,53
C <sub>6</sub> H <sub>13</sub> X . . . . .	366,3	400,1	407,2	408,4	429,2	430,6	453,2	454,1	348,1	0,50
C <sub>7</sub> H <sub>15</sub> X . . . . .	392,5	425,5	432,7	433,2	452,0	454,1	477,0	476,0	370,0	0,47
C <sub>8</sub> H <sub>17</sub> X . . . . .	415,7	451,2	457,8	458,4	477,2	478,0	498,8	498,7	393,1	0,44
C <sub>9</sub> H <sub>19</sub> X . . . . .	358,3	392,6	405,1	403,2	429,2	431,6	461,6	461,2	331,2	0,64
	X=C		X=Si		X=Ge		X=Sn			
(CH <sub>3</sub> ) <sub>4</sub> X . . . . .	—	—	427,9	426,4	436,7	439,3	454,2	452,7	384,7	0,29
Cl <sub>4</sub> X . . . . .	350,0	323,1	332,2	332,7	358,8	359,4	387,2	387,2	230,9	0,60

Однако характер изменения рассматриваемых свойств с массой моле-  
кул существенно отличается от наблюдающегося в случае плотности и  
вязкости.

Во-первых, значение  $A$  в уравнении прямой с увеличением числа ато-  
мов углерода в углеводородной цепи не остается неизменным, а заметно  
возрастает; во-вторых, первые члены изологических рядов не подчиняются

Таблица 5

## Температуры плавления изологов

Соединение	X=F		X=Cl		X=Br		X=J		А	В
	набл.	рассч.	набл.	рассч.	набл.	рассч.	набл.	рассч.		
$C_2H_5X$ . . . . .	—	—	134,5	136,5	154,2	151,2	164,7	166,7	115,3	0,33
н.- $C_3H_7X$ . . . . .	—	—	150,4	151,4	163,2	162,8	171,8	172,8	133,2	0,23
н.- $C_4H_9X$ . . . . .	—	—	150,1	150,7	160,8	160,2	169,7	170,2	130,9	0,21
$CH_3X_2$ . . . . .	—	—	176,5	175,6	220,4	226,1	278,4	278,4	129,4	0,55
о- $C_6H_4X_2$ . . . . .	—	—	255,6	256,6	275,0	273,2	296,6	297,5	223,7	0,22
п.- $C_6H_4X_2$ . . . . .	249,5	313,3	326,1	327,1	360,0	358,0	402,6	403,1	265,7	0,41
о- $C_6H_4(NO_2)X$ . . . . .	309,7	340,9	356,7	356,7	400,2	399,3	444,2	444,2	206,2	0,95
п.- $C_6H_4(NO_2)X$ . . . . .	267,3	303,7	305,7	306,7	316,2	314,9	322,6	323,6	277,8	0,18
	X=C		X=Si		X=Ge		X=Sn			
$(Cl)_4X$ . . . . .	250,2	195,7	203,2	203,2	223,7	222,6	243,0	243,0	128,1	0,44
	X=P		X=As		X=Sb		X=Bi			
$(Cl)_3X$ . . . . .	161,4	169,0	255,2	252,4	346,6	341,3	503,2	507,0	—92,0	1,90

Таблица 6

## Критические температуры изологов

Соединение	X=F		X=Cl		X=Br		X=J		А	В
	набл.	рассч.	набл.	рассч.	набл.	рассч.	набл.	рассч.		
$CH_3X$ . . . . .	318,0	394,4	414,6	414,6	467,1	468,9	528,1	526,0	353,0	1,22
$C_2H_5X$ . . . . .	—	—	455,6	455,7	499,1	502,4	554,1	551,8	388,0	1,05
$C_6H_5X$ . . . . .	559,0	614,3	632,2	630,3	670,2	673,6	721,2	719,2	521,6	0,97
	X=C		X=Si		X=Ge		X=Sn			
$(Cl)_4X$ . . . . .	556,2	488,9	503,1	505,1	550,0	548,3	591,8	593,9	336,5	0,99

линейной связи и обладают заметно более низким (например, фторсоединения) или более высоким ( $CCl_4$ ) значением свойства, чем рассчитанные по уравнению прямой; в-третьих, для всех рассматриваемых свойств характерен более медленный рост значения свойства с увеличением массы молекул, чем это наблюдается в случае плотности и вязкости.

Обычно при рассмотрении значений температур кипения и поверхностного натяжения изологов ролью различия в массе их молекул пренебрегают [16]. С другой стороны, в эмпирических зависимостях неоднократно подчеркивалась связь между значениями указанных свойств и массой молекул [17], [18]. Это нашло свое выражение и в ряде формул, согласно которым температура кипения оказывается пропорциональной то



Таблица 7

## Скрытые теплоты испарения изологов

Соединение	X=F		X=Cl		X=Br		X=J		A	B
	набл.	рассч.	набл.	рассч.	набл.	рассч.	набл.	рассч.		
$\text{H}_2\text{X}$	—	—	5,38	5,42	5,96	5,92	6,43	6,44	4,70	0,0112
$\text{C}_2\text{H}_5\text{X}$	—	—	5,98	5,98	6,44	6,47	—	—	5,10	0,0112
$\text{C}_4\text{H}_9\text{X}$	—	—	6,70	6,66	7,03	7,06	7,65	7,69	5,63	0,0112
$\text{C}_8\text{H}_{17}\text{X}$	6,9	7,7	7,7	7,8	8,3	8,2	8,6	8,6	7,00	0,0079

Таблица 8

## Соотношение значений различных свойств изологов

Соединение	$M^{1/2} \gamma(20^\circ)$	$M^{1/2} T_{\text{кип}}$	$T_{\text{кип}}$	$T_{\text{кип}}$	$T_{\text{кип}}$	$T_{\text{пл}}$	$ML-RT$	$ML-RT$	$ML-RT$
	$D(20^\circ)$	$D(20^\circ)$	$\gamma(20^\circ)$	$T_{\text{пл}}$	$T_{\text{кр}}$	$T_{\text{кр}}$	$T_{\text{кип}}$	$T_{\text{пл}}$	$T_{\text{кр}}$
$\text{H}_2\text{Cl}$	—	—	—	2,12	0,62	0,29	0,0188	0,0400	0,0118
$\text{H}_2\text{Br}$	—	—	—	2,02	0,62	0,30	0,0191	0,0386	0,0119
$\text{H}_2\text{J}$	—	—	—	2,09	0,62	0,29	0,0186	0,0390	0,0116
$\text{C}_2\text{H}_5\text{Cl}$	—	—	—	2,12	—	—	0,0187	0,0397	—
$\text{C}_2\text{H}_5\text{Br}$	—	—	—	2,11	—	—	0,0187	0,0394	—
$\text{C}_2\text{H}_5\text{J}$	—	—	—	2,18	—	—	—	—	—
$\text{C}_4\text{H}_9\text{Cl}$	804	—	—	2,33	—	—	0,0190	0,0446	—
$\text{C}_4\text{H}_9\text{Br}$	826	—	—	2,33	—	—	0,0187	0,0436	—
$\text{C}_4\text{H}_9\text{J}$	—	—	—	2,35	—	—	0,0191	0,0450	—
$\text{C}_6\text{H}_{11}\text{Cl}$	942	14246	15,1	—	—	—	—	—	—
$\text{C}_6\text{H}_{11}\text{Br}$	956	14163	14,8	—	—	—	—	—	—
$\text{C}_6\text{H}_{11}\text{J}$	1020	14989	14,7	—	—	—	—	—	—
$\text{C}_8\text{H}_{13}\text{Cl}$	—	17874	15,5	—	—	—	—	—	—
$\text{C}_8\text{H}_{13}\text{Br}$	—	17827	15,3	—	—	—	—	—	—
$\text{C}_8\text{H}_{13}\text{J}$	—	17526	15,1	—	—	—	—	—	—
$\text{C}_7\text{H}_{15}\text{Cl}$	1220	19513	15,9	—	—	—	—	—	—
$\text{C}_7\text{H}_{15}\text{Br}$	1226	19407	15,8	—	—	—	—	—	—
$\text{C}_7\text{H}_{15}\text{J}$	1289	20253	15,5	—	—	—	—	—	—
$\text{H}_2\text{Si}$	1236	—	18,7	—	—	—	—	—	—
$\text{H}_2\text{Ge}$	1242	—	18,0	—	—	—	—	—	—
$\text{H}_2\text{Sn}$	1286	—	17,7	—	—	—	—	—	—
$\text{Cl}_4$	—	—	—	—	0,66	0,40	—	—	—
$\text{BrCl}_4$	—	—	—	—	0,65	0,40	—	—	—
$\text{JCl}_4$	—	—	—	—	0,65	0,41	—	—	—

молекулярному весу [19], то корню квадратному из молекулярного веса [20], то некоторой степени молекулярного веса [21]. Распространено также мнение, что температура плавления изологов снижается с ростом молекулярного веса [22]. С другой стороны, отмечается рост температуры плавления в изоэлектронных рядах молекул гидридов [13], у бромпроизводных сравнительно с хлорпроизводными [23] и др.

Установленная выше общая зависимость рассматриваемых свойств от массы молекул нуждается, следовательно, в теоретическом обосновании. Учитывая выпадение первого члена изоэлектронных рядов, а также сравнительно небольшой рост значения рассматриваемых свойств с массой молекул, возможно, однако, что эта зависимость скрыто отражает связь этих свойств с иной молекулярной постоянной и, повидимому, с поляризуемостью молекул.

Из установленного выше следует, что между значениями различных свойств изологов должны наблюдаться вполне определенные соотношения, а именно:

$$\begin{aligned}\frac{\gamma_{t^{\circ}}}{D_{t^{\circ}}} &= \frac{\text{const}' \cdot \sqrt{M}}{\text{const}'' \cdot M} = \frac{\text{const}}{M^{3/4}} \text{ или } \frac{M^{3/4} \gamma_t}{D_{t^{\circ}}} = \text{const}; \\ \frac{T_{\text{кип}}}{\gamma_{20^{\circ}}} &= \text{const}; \quad \frac{M^{3/4} T_{\text{кип}}}{D_{20^{\circ}}} = \text{const}; \quad \frac{T_{\text{пл}}}{T_{\text{рп}}} = \text{const}; \\ C_{p20^{\circ}} \cdot D_{20^{\circ}} &= \text{const}.\end{aligned}$$

и др. Данные, приведенные в табл. 8, полностью подтверждают это. При этом в некоторых случаях соответствующая константа, как правило, закономерно растет с удлинением углеводородной цепи.

### Выводы

1. Самые разнообразные физические свойства в изологических рядах изменяются в основном линейно с изменением массы молекул.

2. Плотность и вязкость жидкостей увеличиваются пропорционально массе молекул; удельная теплоемкость жидкостей уменьшается обратно пропорционально массе молекул.

Политехнический институт  
им. В. И. Ленина  
Харьков

Поступила  
5.1.1950

### ЛИТЕРАТУРА

1. Н. Корр, Lieb. Ann., 50, 71, 1844; L. Meyer, Die modernen Theorien der Chemie, 1884; Horstmann u. Landolt, Lehrb. d. phys. Chemie, B. III, 1898; S. Smiles, Chem. Konstitution u. physikal. Eigenschaften, 1914; S. Sugden, The Parachor and Valency, 1930; В. Хюккель, Теоретические основы органической химии, т. II, 1934; Р. Креман и М. Пестемер, Зависимость между физическими свойствами и химическим строением, 1939 и др.
2. В. Оствальд, Основания теоретической химии, 77, 1902.
3. В. В. Марковников, Материалы по вопросу о взаимном влиянии атомов в химических соединениях, Казань, 1869; Х. Ингольд, Сб. «Электронная теория в органической химии», 1936, 144; J. Platt, Journ. Chem. Phys., 15, 419, 1947 и др.
4. Ч. Смайс, Диэлектрическая постоянная и структура молекул, 1937; Г. Стюарт, Структура молекул, 1937; Я. К. Сыркин и М. Е. Дяткина, Химическая связь и строение молекул, 1946 и др.
5. P. Gross, Phys. Zeit., 30, 504, 1929; C. Clark, The Fine Structure of Matter, т. II, 1938, 380.
6. А. Е. Луцкий, Тр. Харьк. хим.-техн. ин-та, 7, 37, 1949.
7. R. Gatenmeister, Z. phys. Chem., 6, 524, 1890.
8. Я. И. Френкель, Кинетическая теория жидкостей, 1945, стр. 181; С. Глестон, К. Лейдлер и Г. Эйринг, Теория абсолютных скоростей реакций, 1948, стр. 466; С. Браслери и А. Линдерман, ЖЭТФ, 10, 250 (1940).
9. В. Я. Курбатов, I. с. Журн. общ. хим., 18, 385, 1948.
10. А. Е. Луцкий, Журн. физ. хим., 24, 786, 1950.
11. Справочн. физ., хим. и технол. величин, т. VII.
12. R. Robinson u. W. Scotte, Journ. Chem. Soc., 972, 1932.
13. Л. Паулинг, Природа химической связи, 1947, стр. 285.
14. A. Vogel, Journ. Chem Soc., 636, 1943; S. Sugden u. H. Wilkins, Journ. Chem. Soc., 1929, 316, 1298, 1931, 126; N. Sidgwick u. Laubengayer, Journ. Amer. Soc., 54, 948, 1932.
15. Справочник физ. хим. и техн. велич., т. I.
16. G. Briegleb, Zwischenmolekulare Kräfte u. Molekülstruktur, 1937, стр. 48.
17. F. Jaeger, Z. anorg. allg. Chem., 100, 1, 1917.
18. Вант-Гоф, Зависимость между физическими и химическими свойствами составом, 1903, стр. 47—49 и др.
19. K. Billig, Ber., 76, 300, 1943.
20. В. Никифоров, Журн. физ. хим., 9, 449, 1937.
21. Walker, Journ. Chem. Soc., 65, 193, 725, 1884.
22. O. Behagel u. H. Seibert, Ber., 66, 922, 1933; H. Drew u. J. Lanquar, Journ. Chem. Soc., 1480, 1935; M. Forward, Bowden u. Jones, там же, 121, 1949.
23. W. Nernst, Theoretische Chemie, 1929, стр. 387.



## КИНЕТИКА СОВМЕСТНОЙ ПОЛИМЕРИЗАЦИИ ВИНИЛАЦЕТАТА И МЕТИЛМЕТАКРИЛАТА

*М. В. Поляков и Т. П. Корниенко*

Общепринятым в настоящее время является мнение о цепном механизме полимеризации. В нашей лаборатории был установлен автокаталитический и даже взрывной характер процессов полимеризации в условиях плохого теплоотвода [1,2]. Оказалось возможным предположение перерождения в таких условиях цепного механизма полимеризации в автокаталитическую. Нами также было показано, что автокаталитическая реакция полимеризации винилацетата зарождается на стенках реакционного сосуда [3]. Этот факт подтверждает высказанное раньше С. С. Медведевым предположение о вероятности такого зарождения в случае полимеризации, инициируемой перекисными катализаторами.

В данном исследовании было выяснено, что автокаталитичность полимеризации проявляется не только в условиях плохого теплоотвода, но и в том случае, когда реакционный сосуд термозолирован вакуумированной трубкой. В несколько меньшей степени автокаталитичность полимеризации винилацетата и метилметакрилата обнаруживается в обычных условиях проведения подобных процессов. Это обстоятельство заслуживает особого внимания, поскольку обычно оно не учитывается даже при изучении кинетики полимеризации, когда постоянство температуры является необходимым методическим требованием.

Измерение температуры полимеризата в процессе его образования позволяет сделать суждение о кинетике и механизме процесса полимеризации. Нами было показано, что это особенно важно в случае мало изученных реакций сополимеризации, механизм которых представляет большой теоретический и практический интерес.

Не случайно вопрос о том — образуются ли цепи в процессе сополимеризации из одинаковых структурных единиц, или в построении каждой цепи принимают участие все компоненты смеси, привлекает в последнее время внимание исследователей [6,7].

Нам казалось возможным ответить на этот вопрос при помощи метода, основанного на измерении температуры, развивающейся за счет теплоты реакции внутри реакционного сосуда. Этот метод подробно описан в предыдущих сообщениях [1,2].

Объектом исследования была избрана сополимеризация винилацетата ( $T = 72-73,5^\circ\text{C}$ ;  $n_D^{20} = 1,396$ ) и метилметакрилата ( $t_k^0 = 100^\circ\text{C}$ ;  $n_D^{20} = 1,416$ ).

В качестве катализатора применялась перекись бензоила, очищенная двукратной перегонкой из этилового спирта.

Опыты производились в присутствии кислорода воздуха. Однако последнее обстоятельство не могло повлиять на выводы, сделанные на основании опытов, которые проводились в одинаковых условиях в присутствии перекиси бензоила.

Предварительное сообщение о полученных результатах было сделано в 1948 г. [5]. Здесь эти результаты будут изложены более подробно.

# Результаты работы

На рис. 1—4 представлены четыре серии кривых, показывающих зависимость кинетики сополимеризации винилацетата и метилметакрилата

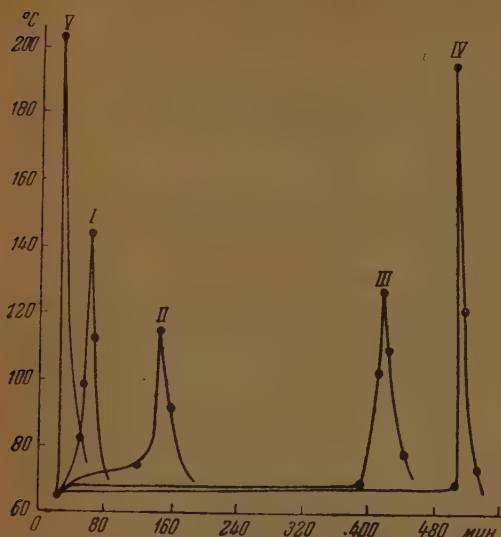


Рис. 1. Кинетика сополимеризации винилацетата и метилметакрилата при начальной температуре 65° C

I — 0% винилацетата, 100% метилметакрилата; II — 30% винилацетата, 70% метилметакрилата; III — 50% винилацетата, 50% метилметакрилата; IV — 70% винилацетата, 30% метилметакрилата; V — 100% винилацетата, 0% метилметакрилата

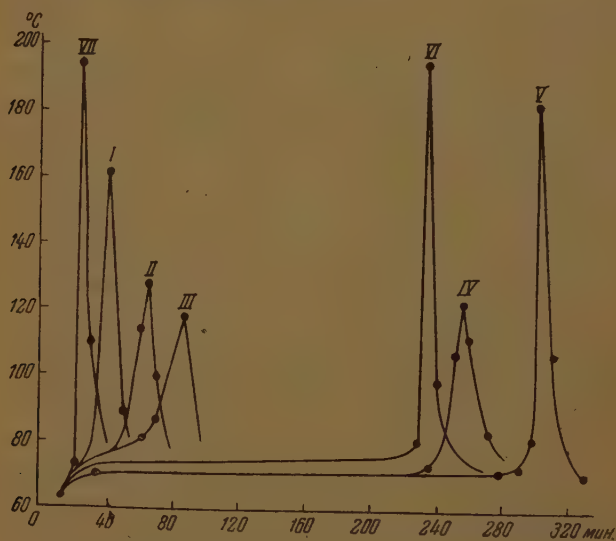


Рис. 2. Кинетика сополимеризации винилацетата и метилметакрилата при начальной температуре 70° C

I — 0% винилацетата, 100% метилметакрилата; II — 15% винилацетата, 85% метилметакрилата; III — 30% винилацетата, 70% метилметакрилата; IV — 50% винилацетата, 50% метилметакрилата; V — 70% винилацетата, 30% метилметакрилата; VI — 85% винилацетата, 15% метилметакрилата; VII — 100% винилацетата, 0% метилметакрилата

соотношения между обоими компонентами в реакционной смеси и начальной температуры при одном и том же количестве катализатора (перекиси бензоила), равному всегда 1% (весовому). Из рисунков видно,



каждая кривая состоит из трех участков, характеризующих следующие стадии реакции:

- 1) период индукции, т. е. медленную реакцию с почти незаметным повышением температуры;
- 2) автокаталитическую реакцию с очень быстрым ростом температуры — течение 2—3 мин. достигается максимальная температура реакции; обычно в этот период полностью заканчивается превращение мономерной смеси в полимер, причем при некоторых условиях процесс может заканчиваться взрывом;

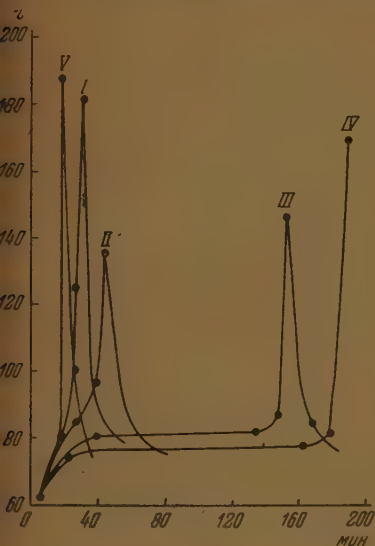


Рис. 3. Кинетика сополимеризации винилацетата и метилметакрилата при начальной температуре 75° C:

I — 0% винилацетата, 100% метилметакрилата; II — 30% винилацетата, 70% метилметакрилата; III — 50% винилацетата, 50% метилметакрилата; IV — 70% винилацетата, 30% метилметакрилата; V — 100% винилацетата, 0% метилметакрилата

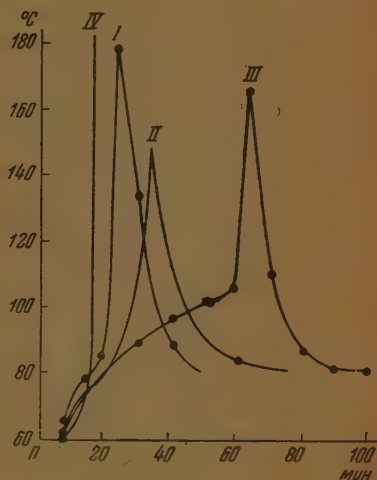


Рис. 4. Кинетика сополимеризации винилацетата и метилметакрилата при начальной температуре 80° C

I — 0% винилацетата, 100% метилметакрилата; II — 30% винилацетата, 70% метилметакрилата; III — 50% винилацетата, 50% метилметакрилата; IV — 100% винилацетата, 0% метилметакрилата

3) охлаждение продуктов реакции до температуры термостата (правые ветви кривых). На рис. 3 (кривая IV) этой ветви нет, так как опыт окончился взрывом и разрушением прибора.

Кривые для исходных винилацетата и метилметакрилата показывают, что в условиях нашего эксперимента оба эти вещества полимеризуются достаточно быстро — период индукции в интервале температур 65—80° C колеблется между 25 и 16,5 мин. для винилацетата и 65—20 мин. для метилметакрилата.

Вполне естественно было предположить, что при сополимеризации винилацетата и метилметакрилата период индукции, в зависимости от отношения между компонентами в исходной смеси, будет принимать какие-то промежуточные значения.

Однако наши опыты показали совершенно обратную картину. Из тех же рис. 1—4 видно, что период индукции в смеси винилацетат — метилметакрилат увеличивается при всех исследованных нами начальных температурах во много раз, достигая в отдельных случаях нескольких часов. Особенно наглядно это видно из рис. 5, где период индукции представлен в виде функции состава смеси. С увеличением содержания винилацетата период

индукции сначала растет, а затем падает, причем максимальное его значение для всех исследованных нами температур соответствует смеси, состоящей из 70% винилацетата и 30% метилметакрилата. Заслуживает внимания и то обстоятельство, что период индукции при этом составе достигает значительной величины — при начальной температуре 65° период индукции превышает 8 час.

Зависимость периода индукции от начальной температуры показана на рис. 6. Из этого рисунка следует, что изменение периода индукции в зависимости от начальной температуры происходит вполне закономерно.

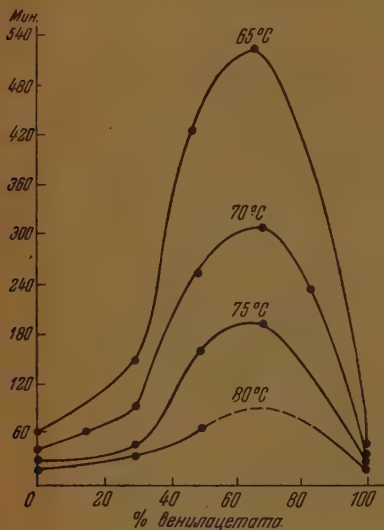


Рис. 5. Зависимость периода индукции от соотношения между метилметакрилатом и винилацетатом при начальных температурах 65, 70, 75 и 80°С

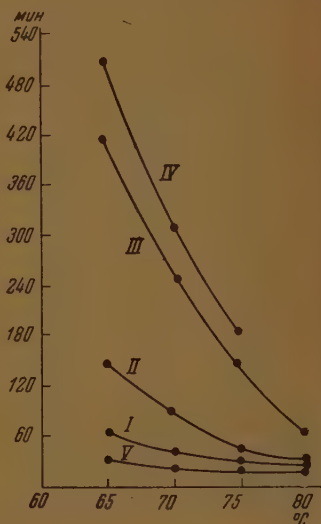


Рис. 6. Зависимость периода индукции от начальной температуры  
I — 0% винилацетата, 100% метилметакрилата; II — 30% винилацетата, 70% метилметакрилата; III — 50% винилацетата, 50% метилметакрилата; IV — 70% винилацетата, 30% метилметакрилата; V — 100% винилацетата, 0% метилметакрилата

Из рис. 7 видно, что и максимальная температура ( $t_{\text{макс}}$ ) так же закономерно меняется в зависимости от состава реакционной смеси. в данном случае вполне определенный состав, а именно 30% винилацетата и 70% метилметакрилата, обуславливает минимальный разогрев сополимеризата независимо от исходной температуры.

В связи с изложенным значительный интерес приобретают и рис. 8. На рис. 8 показана зависимость удельной вязкости сополимеризата от состава исходной смеси. Значение удельной вязкости с увеличением содержания винилацетата растет, проходит через максимум, а затем падает. Из рис. 9 видно, что существует зависимость удельной вязкости сополимеризата и от начальной температуры его образования. Кривая I относится к составу, содержащему 30% винилацетата, а кривая II — 50% этого компонента. Зависимость удельной вязкости от начальной температуры особенно велика в интервале 70—80°С.

На рис. 10 приведена зависимость сополимеризации винилацетата и метилметакрилата от соотношения между этими компонентами при начальной температуре 90°С в реакционном сосуде, не имевшем внешней эвакуированной трубки. Из рис. 10 видно, что и в этих усл.

ях кинетика сополимеризации имеет обычный для автокаталитических процессов характер. Отсутствие теплоизоляции приводит только к снижению максимального разогрева и к увеличению периода индукции; при более низких начальных температурах необходимо поэтому теплоизоляция.

На рис. 11 показано, что отсутствие специальной теплоизоляции не приводит и к изменению характера зависимости периода индукции от отношения между компонентами. Значения периодов индукции только несколько увеличиваются, что выше уже было отмечено.

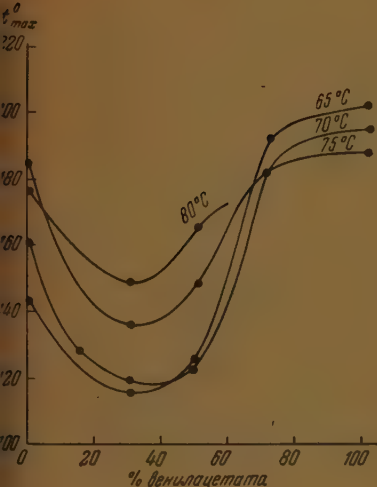


Рис. 7. Зависимость максимальной температуры разогрева сополимеризата от отношения между метилметакрилатом и винилацетатом при начальных температурах 65, 70, 75 и 80°С

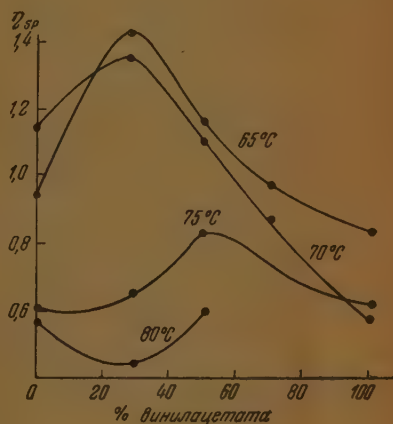


Рис. 8. Зависимость удельной вязкости сополимеризата от соотношения между метилметакрилатом и винилацетатом при начальных температурах 65, 70, 75 и 80°С

В дальнейшем опыты производились при начальной температуре, равной 90°С и без теплоизоляции. Эти опыты имели целью выяснить важный в принципиальном отношении вопрос — не является ли каждый из компонентов разбавителем для другого.

Если судить по кривым рис. 5 и 11, то напрашивается ответ в положительном смысле, а именно, что метилметакрилат препятствует полимеризации винилацетата, и наоборот. Однако было все же целесообразно подтвердить правильность такого вывода другим путем. Это было сделано в опытах, посвященных полимеризации каждого из компонентов в растворе бензола.

На рис. 12 приведены кривые полимеризации метилметакрилата в условиях отсутствия термоизоляции, а на рис. 13 — кривые полимеризации винилацетата. Роль второго компонента в обоих случаях играет бензол, который сам не полимеризуется, а является только растворителем-разбавителем.

Если данные рис. 12 и 13 представить в виде зависимости  $t_{\text{макс}}$  от состава смеси (рис. 7), то получается картина, представленная на рис. 14. Кривая I этого рисунка относится к смесям метилметакрилата и винилацетата; кривая II — к смесям винилацетата и бензола, а кривая III — к смесям метилметакрилата и бензола. Кривые II и III вместе составляют кривую, идентичную по своему характеру с кривой I. Различие между



контрольной кривой *I* и объединенной кривой *II + III* заключается лишь в том, что во втором случае роль разбавителя играет только бензол, а в первом эту роль выполняет каждый из компонентов по отношению к другому.

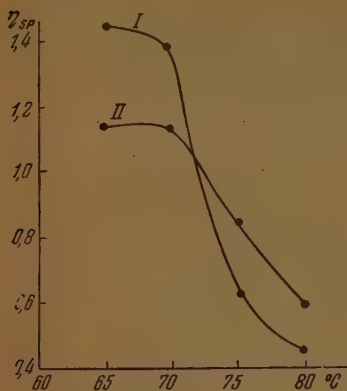


Рис. 9. Зависимость удельной вязкости сополимеризата от начальной температуры

*I* — 30% винилацетата, 70% метилметакрилата; *II* — 50% винилацетата, 50% метилметакрилата

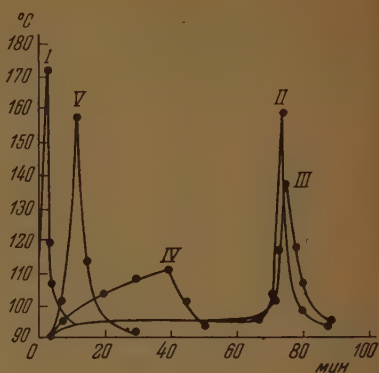


Рис. 10. Кинетика сополимеризации винилацетата и метилметакрилата при начальной температуре 90° C

*I* — 100% винилацетата, 0% метилметакрилата; *II* — 70% винилацетата, 30% метилметакрилата; *III* — 50% винилацетата, 50% метилметакрилата; *IV* — 30% винилацетата, 70% метилметакрилата; *V* — 0% винилацетата, 100% метилметакрилата

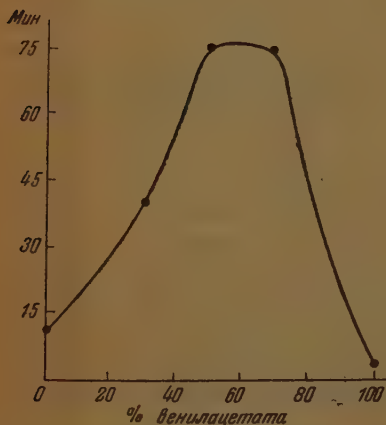


Рис. 11. Зависимость периода индукции от соотношения между метилметакрилатом и винилацетатом при начальной температуре 90° C

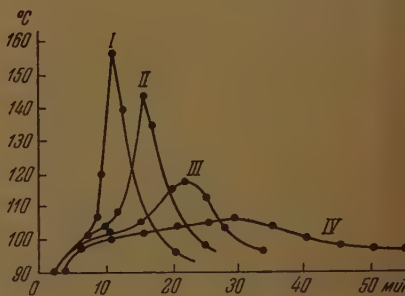


Рис. 12. Кинетика сополимеризации метилметакрилата и бензола при начальной температуре 90° C в растворе бензола

*I* — 100% метилметакрилата, 0% бензола; *II* — 90% метилметакрилата, 10% бензола; *III* — 80% метилметакрилата, 20% бензола; *IV* — 70% метилметакрилата, 30% бензола

Также в общем, но в менее ярко выраженной форме, дело обстоит с зависимостью периода индукции от состава (рис. 5 и 11). И в этом случае влияние разбавителя-растворителя бензола идентично влиянию метилметакрилата на винилацетат, и наоборот. С увеличением примеси бензола

под индукции полимеризации каждого из этих веществ закономерно растает.

Была также сделана попытка выявить зависимость удельной вязкости от состава (рис. 8) для смесей с бензолом. Однако эта попытка не увенчалась успехом. Сказалось то обстоятельство, что бензол сам не полимеризуется, а только разбавляет полимеризующийся компонент, в то время как винилацетат и метилметакрилат не только разбавляют друг друга, а сами при этом полимеризуются, что увеличивает общую вязкость полимеризата.

### Обсуждение [результатов работы]

Из рис. 1—4 видно, что кинетика сополимеризации винилацетата и метилметакрилата в условиях плохого теплоотвода имеет ярко выраженный автокаталитический и даже взрывной характер. Сополимеризация в этом отношении ничем не отличается от полимеризации, кинетика которой нами ранее изучена [1,2].

Автокаталитичность сополимеризации проявляется и в отсутствии специальной теплоизоляции, если начальная температура процесса достаточно высока (рис. 10). В этом случае даже разбавление мономера бензолом не уничтожает автокаталитичности процесса (рис. 12 и 13).

Приведенные на указанных рисунках факты дают основание говорить о аналогии между реакциями, о которых здесь идет речь, и реакциями горения и взрыва. И те, и другие процессы в условиях плохого теплоотвода приобретают автокаталитический и взрывной характер. Аналогия, вероятно, существует и в отношении механизма этих процессов. Все эти реакции принято считать цепными. Этот механизм, повидимому, перерождается в тепловой, взрывной в условиях плохого теплоотвода.

Однако задача данного исследования заключалась не только в установлении аналогии между реакциями горения, полимеризации и сополимеризации. Как уже отмечалось во введении, основной задачей работы было использование разработанного в нашей лаборатории метода для выяснения механизма процесса сополимеризации, для выяснения, в первую очередь, вопроса о составе полимеризационных цепей: образуются ли они из одинаковых частиц, или участие в их образовании принимают оба компонента смеси. Вот почему в данной работе особое внимание было уделено изучению зависимости кинетики сополимеризации и ее важнейших особенностей от соотношения между компонентами.

Уже из рис. 1—4 и 6 видно, что эта зависимость весьма велика. Особенно хорошо это видно из рис. 5 и 7, где показано, что разбавление метилметакрилата винилацетатом, и наоборот, ведет к значительному падению скорости процесса, к росту периода индукции, т. е. периода, в течение которого реакция приобретает автокаталитический характер.

Следует отметить, что подобное же торможение реакции отмечают Н. Ушаков и П. А. Матузов [8] для смесей хлорстирол — метилметакрилат, причем указанные авторы только констатируют этот факт, не делая от него никаких выводов.

Единственно правильная трактовка описанной на рис. 5 и 7 закономерности заключается, по нашему мнению, в том, что каждый из компонентов смеси является разбавителем для другого и полимеризуется самостоятельно, без участия другого компонента. Этот важный в принципиальном отношении вывод хорошо подтверждается зависимостью максимального разогрева сополимеризата  $t_{\text{макс}}$  от состава (рис. 7 и 14). Из этих рисунков следует, что каждый из компонентов сополимеризации играет в отношении другого такую же роль разбавителя, как неполимеризующийся вовсе бензол в отношении метилметакрилата и винилацетата.

На основании изложенного выше можно, таким образом, сказать, что основная задача данного исследования решена удовлетворительно. Пока-



зано, что методом измерения температуры разогрева сополимеризата можно определить характер процесса: образуется ли смесь однородных полимеризационных цепей, или же каждая цепь складывается из различных частиц. В случае сополимеризации винилацетата и метилметакрилата, повидимому, имеем дело с образованием смеси, состоящей из однородных цепей.

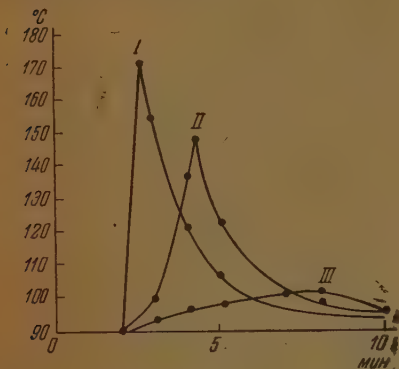


Рис. 13. Кинетика сополимеризации винилацетата при начальной температуре 90°С в растворе бензола

I — 100% винилацетата, 0% бензола; II — 70% винилацетата, 30% бензола; III — 50% винилацетата, 50% бензола

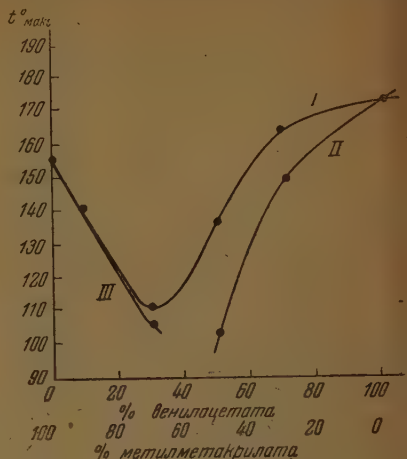


Рис. 14. Зависимость максимальной температуры разогрева от состава смеси при начальной температуре 90°С

I — винилацетат + метилметакрилат; II — винилацетат + бензол; III — метилметакрилат + бензол

### Выводы

1. Разработан метод изучения кинетики и механизма сополимеризации.
2. Установлено, что кинетика сополимеризации винилацетата и метилметакрилата имеет автокаталитический характер.
3. Изучен ряд закономерностей, на основании которых сделаны выводы о механизме сополимеризации.
4. Одним из этих выводов является следующий: при сополимеризации винилацетата и метилметакрилата образуются цепи однородного состава из одинаковых частиц. Каждый компонент полимеризуется самостоятельно. Соплимер представляет собой смесь цепей, состоящих из одинаковых частиц.
5. Показана возможность применения разработанного метода для выяснения характера сополимеризации.

Академия Наук УССР  
Институт физической химии  
им. Л. В. Писаржевского  
Киев

Поступила  
4. II. 1950

### ЛИТЕРАТУРА

1. М. П. Поляков, А. Я. Павлушина и Т. П. Корниенко. ДАН, 62, 101, 1948.
2. М. В. Поляков, А. Я. Павлушина и Т. П. Корниенко. В. В. Шаля, Журн. физ. хим., 25, 647, 1951.
3. А. Я. Павлушина и М. В. Поляков, ДАН 63, 297, 1948.
4. С. С. Медведев, Л. М. Гиндин и М. Лазарева, Журн. физ. хим., вып. 10, 1939.
5. М. В. Поляков и Т. П. Корниенко, ДАН, 63, 407, 1948.
6. Е. Н. Алексеева, Журн. общ. хим., 11, 353, 1941.
7. Е. Н. Алексеева и Р. М. Белецкая, Журн. общ. хим., 11, 358, 1941.
8. С. Н. Ушаков и П. А. Матусов, Журн. прикл. хим., 17, 52, 1944.

# МАССА АТОМНЫХ ЯДЕР И ПЕРИОДИЧЕСКИЙ ЗАКОН

## 1. СТАБИЛЬНЫЕ ЯДРА

Э. С. Саркисов

До открытия нейтрона предполагалось, что атомное ядро построено из протонов и  $\alpha$ -частиц. Число последних приравнивалось наибольшему числу, учающемуся при делении массового числа на четыре, и, следовательно, считалось, что число протонов в ядре не могло быть выше трех. В результате этого, ядра классифицировались по типам:  $4n$ ,  $4n + 1$ ,  $4n + 2$  и  $4n + 3$ , где  $n$  — число  $\alpha$ -частиц. Различные авторы в своих работах по ядру, руководствуясь этими представлениями, не пришли к удовлетворительным результатам, так как основные свойства ядер в рамках указанной гипотезы не могли быть объяснены.

К существенным результатам не привела также гипотеза о том, что атомное ядро состоит исключительно из протонов и электронов [1].

Решение данного вопроса получило свое развитие в исследованиях Резерфорда [2], по которому ядро состоит из центральной группировки  $\alpha$ -частиц, окруженной известным числом нейтральных частиц. В качестве нейтральных частиц Резерфорд принимал незаряженные  $\alpha$ -частицы, которые применялись еще раньше Гейтнером и Мейтнер [3]. Однако гипотеза Резерфорда не была достаточно разработана из-за недостаточного обоснования основных фактов.

В дальнейшем в работах Е. Н. Гапона [4] впервые была сделана попытка применения принципа Паули к объяснению построения ядра, по аналогии с теорией электронной оболочки атомов. Е. Н. Гапон считал, что ядро состоит из зоны положительно заряженных частиц (первая зона ядра) и зоны нейтральных частиц (вторая зона ядра). В качестве положительно заряженных частиц Е. Н. Гапон принимал протоны и  $\alpha$ -частицы, в качестве нейтральных — частицы, состоящие из протона и электрона, и частицы, состоящие из  $\alpha$ -частицы и двух электронов, которые Мейтнер обозначала, как  $(\alpha + 2\beta)$ -частицы. Соответствующие формулы для ядра по Е. Н. Гапону [5] имели следующий вид:

$$\left[ \begin{smallmatrix} n & n \\ p & p \end{smallmatrix} \right]_m \left\{ \begin{smallmatrix} n_x \\ p_x \end{smallmatrix} \right. \text{ и } \left[ \begin{smallmatrix} n & n \\ p & p \end{smallmatrix} \right]_m \left\{ \begin{smallmatrix} n_x \\ p_x \end{smallmatrix} \right.$$

где  $\left[ \begin{smallmatrix} n & n \\ p & p \end{smallmatrix} \right]$  —  $\alpha$ -частица,  $n$  — нейтрон,  $p$  — протон,  $m$  и  $x$  — соответствующие коэффициенты. Например, для  ${}_{17}\text{Cl}^{37}$  формула имела вид  $\left[ \begin{smallmatrix} n & n \\ p & p \end{smallmatrix} \right]_8 \left\{ \begin{smallmatrix} n_4 \\ p_4 \end{smallmatrix} \right.$ , для  ${}_{17}\text{Cl}^{39}$  —  $\left[ \begin{smallmatrix} n & n \\ p & p \end{smallmatrix} \right]_8 \left\{ \begin{smallmatrix} n_6 \\ p_4 \end{smallmatrix} \right.$ , для  ${}_{18}\text{Ar}^{40}$  —  $\left[ \begin{smallmatrix} n & n \\ p & p \end{smallmatrix} \right]_9 \left\{ \begin{smallmatrix} n_4 \\ p_4 \end{smallmatrix} \right.$  и т. д.

Искусственность этих формул видна из описания хода процессов радиоактивного  $\alpha$ - и  $\beta$ -распада, приводимых Е. Н. Гапоном:

$$\begin{aligned} \left[ \begin{smallmatrix} n & n \\ p & p \end{smallmatrix} \right]_m^{n_x} &\xrightarrow{\alpha} \left[ \begin{smallmatrix} n & n \\ p & p \end{smallmatrix} \right]_m \left\{ \begin{smallmatrix} n_x - 4 \\ \beta_2 \end{smallmatrix} \right. \xrightarrow{\beta} \left[ \begin{smallmatrix} n & n \\ p & p \end{smallmatrix} \right]_m \left\{ \begin{smallmatrix} n_x - 4 \\ \beta \end{smallmatrix} \right. \xrightarrow{\beta} \left[ \begin{smallmatrix} n & n \\ p & p \end{smallmatrix} \right]_m \left\{ \begin{smallmatrix} n_x - 4 \\ \beta \end{smallmatrix} \right. \\ \left[ \begin{smallmatrix} n & n \\ p & p \end{smallmatrix} \right]_m \left\{ \begin{smallmatrix} n_x \\ \beta \end{smallmatrix} \right. &\xrightarrow{\beta} \left[ \begin{smallmatrix} n & n \\ p & p \end{smallmatrix} \right]_m \left\{ \begin{smallmatrix} n_x - 4 \\ \beta \end{smallmatrix} \right. \xrightarrow{\alpha} \left[ \begin{smallmatrix} n & n \\ p & p \end{smallmatrix} \right]_m \left\{ \begin{smallmatrix} n_x - 4 \\ \beta \end{smallmatrix} \right. \xrightarrow{\beta} \left[ \begin{smallmatrix} n & n \\ p & p \end{smallmatrix} \right]_m \left\{ \begin{smallmatrix} n_x - 4 \\ \beta \end{smallmatrix} \right. \\ &\searrow \beta \quad \nearrow \alpha \end{aligned}$$



Теория о строении ядра получила новое развитие после открытия нейтронов позитронов. Д. Д. Иваненко [6] впервые указал, что в состав ядер входят только нейтроны и протоны. Следовательно, по Д. Д. Иваненко, в ядрах вообще не существуют электроны и позитроны. В настоящее время данная точка зрения стала общепринятой.

Существует ряд гипотез о силах, действующих между нейтронами и протонами в ядре. Общим у всех этих гипотез является то, что силы, возникающие между протонами и нейтронами, носят «обменный» характер, т. е. внутриядерные связи связаны с обменом электронами и позитронами. Так, по мезонной теории протон расщепляется на нейтрон и положительный мезон, который затем распадается на позитрон и нейтрино. Аналогично нейтрон расщепляется на протон и отрицательный мезон, а последний, в свою очередь, распадается на электрон и нейтрино. Предполагают, что благодаря обмену мезонами возникают ядерные силы. Однако эта гипотеза, хотя и позволила в отдельных случаях правильно теоретически связать ряд опытных фактов [7], оказалась неудовлетворительной для полного понимания природы атомного ядра.

Также неспособна правильно описать строение ядра и теория жидкой капли, особенно при рассмотрении легких ядер.

Несмотря на то что за последние годы экспериментальное и теоретическое изучение атомных ядер достигло значительных успехов, теория ядра находится все еще в зачаточном состоянии. Большое число стабильных и нестабильных изотопов остается разрозненными индивидами, не объединенными общей закономерностью в единую систему, вследствие чего и проблема ядерных сил остается неразрешенной.

В настоящей работе была поставлена цель найти и показать закон объединяющий все изотопы в общую систему, т. е. установить в многообразии изотопов закономерное единство. Для разрешения данной задачи необходимо было искать связь между определенными свойствами изотопов.

То обстоятельство, что согласно Д. И. Менделееву, периодический закон связывает свойства химических элементов с массой атомов, которая в основном сосредоточена в ядрах, делает естественным предположение о том, что между массовым числом как индивидуальной характеристикой ядра и свойствами всех ядер должна быть связь основанная на законе периодичности. Другими словами, концепция Д. И. Менделеева о массе (атомном весе), приведшая к открытию периодической системы химических элементов, должна сыграть еще более существенную роль в выявлении периодического закона ядер.

Однако было бы неправильно думать, что для установления периодического закона изотопов возможно использовать существующую таблицу химических элементов Д. И. Менделеева. Это невозможно делать хотя бы потому, что элементы являются совокупностью различных изотопов и, следовательно, нельзя грубо отождествлять общие свойства элементов со свойствами ядер отдельных изотопов.

К сожалению, некоторые авторы [8, 9], не понимая этого положения, механически используют таблицу химических элементов Д. И. Менделеева, лишая при этом какого-либо физического содержания группы и периоды. Известно, что в менделеевской таблице значение группы соответствует максимальной положительной валентности элементов, а период — главному квантовому числу. Для «обоснования» таблицы Д. И. Менделеева применительно к ядрам, например, А. П. Знойко [9] (используя в качестве характеристической величины  $Z/A$ ) прибегает к произвольному отбору по одному изотопу для каждого химического элемента, называя их «главными» изотопами, якобы, по словам этого автора, возникшим «в период образования элементов в наблюдаемом участке вселенной». Достаточно упоминания этих фактов, чтобы показать, что данные исследования в области периодизации ядер носят умозрительный характер и противоречат природе элементов и их изотопов. Следует, однако, отметить, что сама постановка вопроса в приведенных выше работах о периодизации ядер представляет положительный факт.

Для того чтобы вскрыть общую закономерность, которая объединяла бы все изотопы, необходимо, по нашему мнению, рассматривать любой стабильный и нестабильный изотоп, безотносительно к химиче-

му элементу, как вполне самостоятельный индивидуум, фундаментальной характеристикой которого является массовое число, т. е. общее число нуклонов ядра.

Такая, на наш взгляд, правильная постановка вопроса позволила выбрать и другой необходимой характеристики. Известно, что в ядре нет возможности изучить такое изобилие свойств, какое имеет место при изучении химических свойств элементов; имеется лишь весьма ограниченное число основных экспериментальных фактов. Однако то положение, что по современной теории ядро состоит из нейтронов и протонов, позволяет считать число нуклонов, не связанных с ядром нейтрон-протон, как одно из свойств, характерно выделяющих класс изотопов. Это число нуклонов, как правило, представляет разность между массовым числом и удвоенным зарядом ядра, называемую изотопическим номером  $J = A - 2Z$ . Почти во всех случаях изотопический номер выражает число несвязанных нейтронов ( $J_n$ ). Но в некоторых случаях он может выражать и число несвязанных протонов ( $J_p$ ).

Так, для ядер  $H^1$  и  $He^3$  имеется по одному несвязанному протону. Этот факт следует всегда учитывать, так как определение несвязанных нуклонов в таких случаях по выражению  $J = A - 2Z$  дает значения нуклонов с отрицательным значением, лишенных физического смысла. В свете этих соображений будет более правильно выразить число несвязанных нуклонов (изотопический номер), как  $A - 2N_\pi$ , где  $N_\pi$  — число пар нейтрон-протон в ядре. Тогда для  $H^1$   $N_\pi = 0$ ; для  $He^3$   $N_\pi = 1$  и  $J = 1$ ; для  $He^4$   $N_\pi = 2$  и  $J = 0$ ; для  $T^3$   $N_\pi = 1$  и  $J = 1$ ; для  $He^5$   $N_\pi = 2$  и  $J = 1$  и т. д. Если для  $H^1$  и  $He^3$  изотопический номер  $J = 1$  означает наличие одного несвязанного протона, то для  $T^3$  и  $He^5$   $J = 1$  означает, наоборот, что в этих ядрах имеется один несвязанный нейтрон.

Используя величину изотопического номера, некоторые авторы устанавливали для изотопов ряд интересных закономерностей. Например, Беккер и Бечер [10], анализируя характер флуктуации изотопического номера для существующих в природе изотопов от массового числа, ограничиться лишь поверхностным указанием на то, что  $J$  при своем возрастании периодически задерживается.

Факт скачкообразного изменения изотопического номера приводится также в работе М. А. Левитской [11]; она установила, что изотопический номер  $J$  местами внезапно делает скачок исключительно для четных ядер большего содержания.

Подобные попытки систематизации ядер показали лишь существование некоторой закономерности, однако из них невозможно построить классификационные схемы, содержащие в себе выражения общего закона, хотя бы для стабильных изотопов.

Для установления закономерности, объединяющей все изотопы, мы хотели искать функциональную зависимость между изотопическими номерами и их массовыми числами, которые являются, с нашей точки зрения, более подходящими и точными константами. Анализ материала, относящегося ко всем изотопам, в связи с данными о массовом числе  $A$  и изотопном номере  $J$  показал, что для обнаружения необходимой зависимости величину изотопного номера нужно наносить на график в зависимости от общего числа нейтронов ядра  $N$  (рис. 1).

В самом деле, если за ординаты принять число нуклонов, не связанных с ядром нейтрон-протон ( $J_n$  и  $J_p$ ), а за абсциссы — соответствующее данному ядру общее число нейтронов ядра ( $N$ ), и нанесенные таким способом точки для всех стабильных изотопов соединить сплошной линией по возрастанию массового числа, то, как видно из рис. 1, между значениями  $J$  и  $A$  существует явная периодичность.

Прежде всего, семейство кривых рис. 1 содержит изотопы в порядке, повторяющемся изображение периодичности для химических элементов. Если к числу электронов связи  $f$  (внешние электроны) и порядковым но-



мером, которое было показано в нашей работе [12]. На рис. 2 дается зависимость значения  $f$  от порядкового номера  $Z$  для химических элементов. Определенная аналогия в характере кривых рис. 1 и 2 указывает на то, что на рис. 1 семейством кривых ясно представлена закономерная периодичность с изменением массового числа.

Периодически изменяющиеся значения  $J$ , очевидно, связаны с внешней частью ядра, которая должна отличаться от внутренней части. По мере увеличения массового числа, вероятно, имеет место последовательное

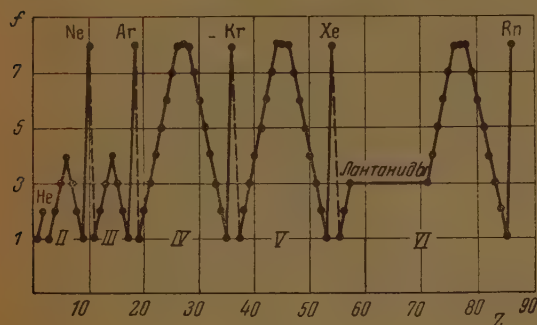


Рис. 2

развитие ядерных структур, которое идет с периодическим возвращением сходных внешних нуклонных образований. Скачок между соседними полосами всегда обусловлен двумя нейтронами. Если каждую полосу уподобить большому периоду, то последний количественно должен характеризоваться нейтронами, не спаренными с протонами, число которых при переходе от одного большого периода другому скачкообразно возрастает на два. Следовательно, каждую такую полосу мы будем именовать в дальнейшем большим периодом ядер.

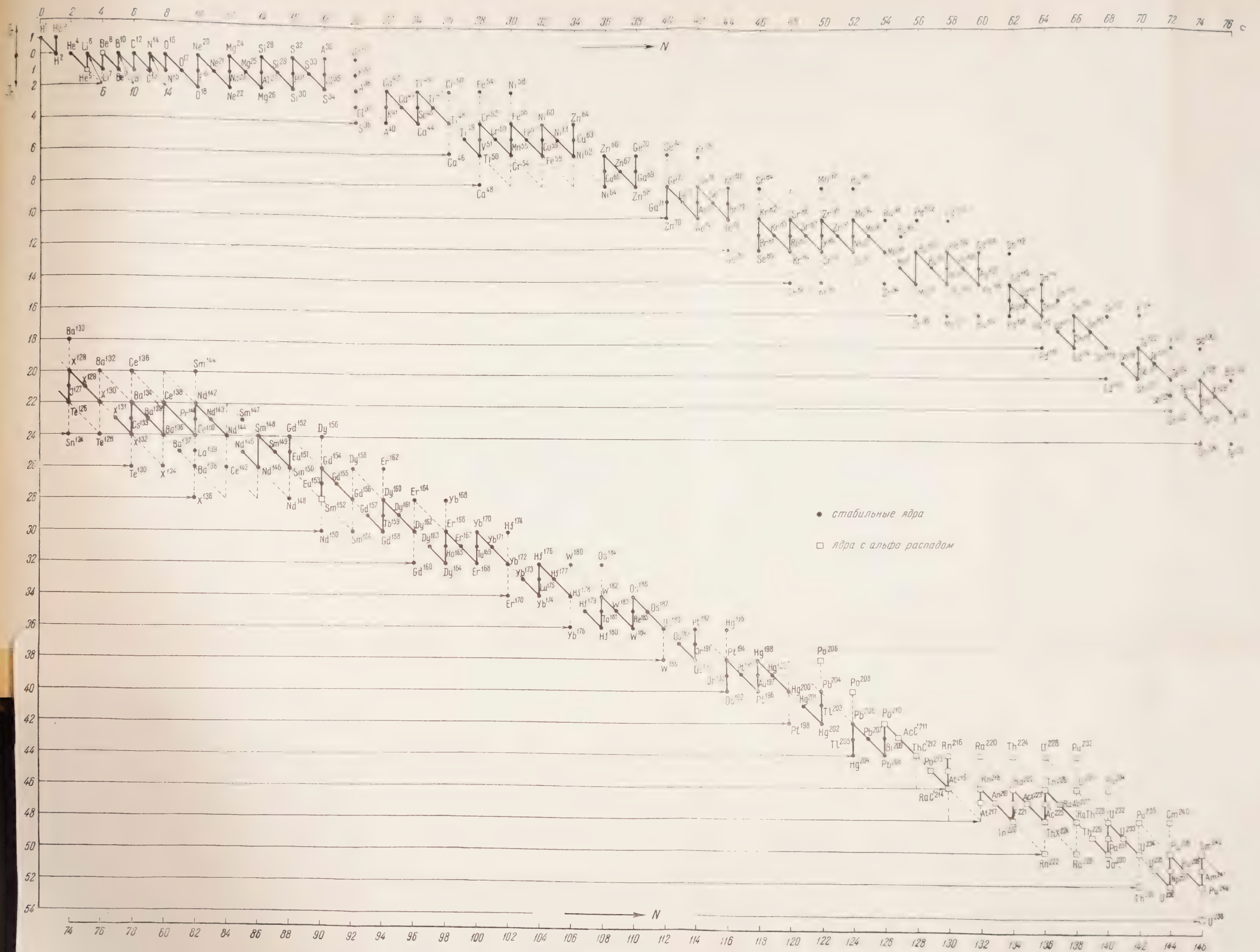
Перейдем теперь к более детальному анализу кривых рис. 1. Из этого рисунка видно, что семейство кривых состоит из горизонтальных полос. Каждая полоса, в свою очередь, состоит из периодических повторяемых треугольников. Расположение полос изменяется скачкообразно. Скачок между соседними полосами всегда обусловлен двумя нейтронами. Если каждую полосу уподобить большому периоду, то последний количественно должен характеризоваться нейтронами, не спаренными с протонами, число которых при переходе от одного большого периода другому скачкообразно возрастает на два. Следовательно, каждую такую полосу мы будем именовать в дальнейшем большим периодом ядер.

Нетрудно видеть, что каждый большой период состоит из некоторого числа малых периодов, которые изображены на рис. 1 в виде треугольников. По характеру расположения точек изотопов на этих треугольниках можно считать, что малые периоды состоят из четырех ядер, среди которых три являются изотопами одного и того же элемента с четным значением заряда ядра и одно — изотоп элемента с нечетным зарядом ядра.

Подобно большому периоду, малые периоды должны также иметь свою постоянную характеристику. Естественно, что для четырех изотопов любого малого периода такой общей характеристикой может быть значение заряда четного ядра, которое обозначим через  $Z_0$ .

То обстоятельство, что внутри каждого малого периода значение массовых чисел ядер закономерно изменяется в пределах нескольких нуклонов, указывает на то, что эти нуклоны, отличающиеся от всех остальных, должны находиться во внешней части ядер. Характер кривых малых периодов, изменяющийся периодически, очевидно, определяется числом этих внешних нуклонов и строением образованных ими слоев, подобно внешним валентным электронам в атомах. Поскольку в ядрах должны существовать внешние нуклоны, число которых, как видно из расположения точек изотопов по кривым малых периодов, изменяется в пределах от нуля до трех, то естественно, что остальное число нуклонов будет составлять внутреннюю часть ядра, которую мы назовем сердцевинкой. Эти внешние нуклоны указывают также на то, что существуют группы аналогичных изотопов со сходными структурами. Периодичность кривых рис. 2 обусловлена именно повторяемостью конфигураций внешних нуклонов.

\* Как видно из рис. 1, точки всех известных ядер с  $\alpha$ -распадом легли так же подобно точкам стабильных ядер. Классификация их будет дана нами в следующем сообщении, при анализе нестабильных ядер различных видов.







Наглядным выражением периодичности является система стабильных изотопов, представленная нами в таблице (см. вклейку). Эта таблица, построенная на основании вышеприведенного анализа семейства кривых с. 1, складывается из малых и больших периодов и групп.

Как было показано выше, значение малого периода определяется общим числом протонов четного ядра, а значение большого периода — числом нейтронных пар. Это обстоятельство позволяет допустить, что в ядрах имеются две категории квантованных ячеек — «нейтронная» и «протонная», каждая из которых содержит не более двух нуклонов.

В «нейтронной» ячейке должны размещаться не больше двух нейтронов, у которых, подобно электронам атома, по принципу Паули спины ориентированы антипараллельно. Следовательно, суммарный спин заполненной «нейтронной» ячейки равен нулю. Общее число энергетически разрешенных «нейтронных» ячеек определяется численным значением большого периода.

В отличие от «нейтронной» ячейки, в «протонной» ячейке протон связывается не с протоном, а с нейтроном. Эти нуклоны в «протонной» ячейке отличаются своим электросвойством: один нуклон несет положительный заряд, другой является нейтральным. Наличие или отсутствие заряда представляет дополнительный признак, отличающий эти два нуклона в «протонной» ячейке, поэтому спины протона и нейтрона в этой ячейке должны быть параллельны. Принимаем спины протона и нейтрона равными по величине, суммарный спин заполненной «протонной» ячейки будет равен единице. Общее число «протонных» ячеек в ядре определяется численным значением протонов данного изотопа. Используя эти представления о распределении нуклонов по энергетическим ячейкам, возможно по таблице сделать определенный вывод о структуре ядер.

Например, ядро  ${}_{20}\text{Ca}^{44}$  расположено в таблице во второй группе и принадлежит 20-му малому периоду второго большого периода. Принадлежность к 20-му малому периоду указывает на то, что все 20 протонов его ядра принадлежат сердцевине, создавая в нем 20 разрешенных «протонных» ячеек. Протон и нейтрон попарно занимают каждую такую ячейку. Следовательно, 20 «протонных» ячеек сердцевины ядра  $\text{Ca}^{44}$  вмещают в себя 40 нуклонов. Нахождение  $\text{Ca}^{44}$  одновременно во втором большом периоде означает, что это ядро имеет еще две «нейтронные» ячейки. Из общего числа «нейтронных» ячеек, как правило, на долю внешней части ядра приходится одна ячейка, остальные — на сердцевину.

Если обозначим значение большого периода через  $\Pi$ , то число «нейтронных» ячеек, приходящееся на сердцевину, выразится, как  $(\Pi - 1)$ , а общее число нейтронов в сердцевине, попарно занимающих эти ячейки, будет составлять  $2(\Pi - 1)$ . В частности, в случае ядра  $\text{Ca}^{44}$   $\Pi = 2$ , т. е. общее число «нейтронных» ячеек равно двум. Из них сердцевине принадлежит  $2 - 1 = 1$  ячейка, заполненная двумя нейтронами. Вторая же «нейтронная» ячейка  $\text{Ca}^{44}$  сосредоточена во внешней части ядра и также заполнена двумя нейтронами.

Таким образом в изотопе  $\text{Ca}^{44}$  все энергетические ячейки являются заполненными, и его периодические свойства обязаны двум спаренным внешним нейтронам, заполняющим единственную разрешенную «нейтронную» ячейку внешней части ядра.

Нуклонную формулу ядра  $\text{Ca}^{44}$  можно написать следующим образом:

$$\begin{array}{c|c|c} 20 & 1 & 1 \\ \hline p & n & n \end{array}$$

и, опуская единицы,

$$\begin{array}{c|c|c} 20 & 1 & 1 \\ \hline p & n & n \end{array}$$

Знаком  $\begin{array}{c} n \\ | \\ p \end{array}$  обозначается заполненная «протонная» ячейка, состоящая из

пары протон - нейтрон, а знаком  $\begin{array}{c} n \\ | \\ n \end{array}$  — заполненная «нейтронная» ячейка

состоящая из двух спаренных нейтронов. Вертикальная линия указывает условную «границу» между сердцевинной и внешними нуклонами ядра.

Находящиеся в I и 0 группах ядра  $\text{Ca}^{43}$  и  $\text{Ca}^{42}$ , которые расположены в том же 20 малом периоде, что и  $\text{Ca}^{44}$ , имеют идентичную структуру сердцевинны и отличаются от  $\text{Ca}^{44}$  только состоянием внешней части ядра. Это становится понятным при сравнении их нуклонных формул:

$$\text{Ca}^{43} - 20 \begin{array}{c} n \\ | \\ p \end{array} \begin{array}{c} n \\ | \\ n \end{array} \begin{array}{c} | \\ | \\ | \end{array}; \quad \text{Ca}^{42} - 20 \begin{array}{c} n \\ | \\ p \end{array} \begin{array}{c} n \\ | \\ n \end{array} \begin{array}{c} | \\ | \\ | \end{array}.$$

Из формулы  $\text{Ca}^{43}$  следует, что во внешней части данного ядра имеется одна заполненная наполовину «нейтронная» ячейка с «им холостым нейтроном». Формула  $\text{Ca}^{42}$  указывает на то, что во внешней части данного ядра хотя и имеется одна дозволенная «нейтронная» ячейка (обозначаемая нами короткой вертикальной чертой), но она пустует.

В том же 20 малом периоде расположено ядро  $\text{Sc}^{45}$ , которое обладает также идентичной структурой сердцевинны, но отличается от остальных ядер того же периода составом и распределением внешних нуклонов.

$$\text{Sc}^{45} - 20 \begin{array}{c} n \\ | \\ p \end{array} \begin{array}{c} n \\ | \\ n \end{array} \begin{array}{c} | \\ | \\ | \end{array} \begin{array}{c} | \\ | \\ | \end{array}.$$

Ввиду того что значение 20-го малого периода в данном случае определяется общим числом протонов четного ядра кальция,  $\text{Sc}^{45}$  имеет во внешней части ядра помимо «нейтронной» ячейки, заполненной наполовину одним холостым нейтроном, «протонную» ячейку, заполненную парой протон - нейтрон. Из формулы  $\text{Sc}^{45}$  видно, что последний имеет только внешних нуклонов.

Аналогичная картина развития повторяется и для других стабильных изотопов. Это видно из нуклонных формул ядер различных больших периодов, приводимых ниже в качестве примеров:

$$\Pi = 1 \left\{ \begin{array}{l} \text{O}^{16} - 8 \begin{array}{c} n \\ | \\ p \end{array} \begin{array}{c} | \\ | \\ | \end{array}; \quad \text{Ne}^{20} - 10 \begin{array}{c} n \\ | \\ p \end{array} \begin{array}{c} | \\ | \\ | \end{array}; \quad \text{Mg}^{24} - 12 \begin{array}{c} n \\ | \\ p \end{array} \begin{array}{c} | \\ | \\ | \end{array}; \\ \text{O}^{17} - 8 \begin{array}{c} n \\ | \\ p \end{array} \begin{array}{c} | \\ | \\ n \end{array}; \quad \text{Ne}^{21} - 10 \begin{array}{c} n \\ | \\ p \end{array} \begin{array}{c} | \\ | \\ n \end{array}; \quad \text{Mg}^{25} - 12 \begin{array}{c} n \\ | \\ p \end{array} \begin{array}{c} | \\ | \\ n \end{array}; \\ \text{O}^{18} - 8 \begin{array}{c} n \\ | \\ p \end{array} \begin{array}{c} | \\ | \\ n \end{array}; \quad \text{Ne}^{22} - 10 \begin{array}{c} n \\ | \\ p \end{array} \begin{array}{c} | \\ | \\ n \end{array}; \quad \text{Mg}^{26} - 12 \begin{array}{c} n \\ | \\ p \end{array} \begin{array}{c} | \\ | \\ n \end{array}; \\ \text{F}^{19} - 8 \begin{array}{c} n \\ | \\ p \end{array} \begin{array}{c} | \\ | \\ p \end{array} \begin{array}{c} | \\ | \\ n \end{array}; \quad \text{Na}^{23} - 10 \begin{array}{c} n \\ | \\ p \end{array} \begin{array}{c} | \\ | \\ p \end{array} \begin{array}{c} | \\ | \\ n \end{array}; \quad \text{Al}^{27} - 12 \begin{array}{c} n \\ | \\ p \end{array} \begin{array}{c} | \\ | \\ p \end{array} \begin{array}{c} | \\ | \\ n \end{array}. \end{array}$$

Все эти ядра принадлежат первому большому периоду ( $\Pi = 1$ ), поэтому «нейтронная» ячейка в сердцевине отсутствует ( $\Pi - 1 = 1 - 1 = 0$ ).

31.7.0

11

11



9/29



3. Ядра II группы имеют два внешних нейтрона, спаренных в имеющуюся «нейтронную» ячейку.

4. Ядра III группы имеют три внешних нуклона, из которых два нейтрона и один протон, создающий дозволенную «протонную» ячейку. Из этих трех нуклонов в «протонной» ячейке расположена пара нейтрон-протон; в «нейтронной» ячейке — один нейтрон, заполняющий ее наполовину.

Таким образом номер группы в таблице соответствует общему числу внешних нуклонов, подобно менделеевской периодической системе химических элементов, где номер группы отвечает верхней границе положительной валентности (внешним электронам).

Весьма интересен факт существования в таблице нулевого периода с ядрами  $n^1$ ,  $H^1$ ,  $D^2$ ,  $T^3$  и  $He^3$ . Так как последние изотопы расположены в нулевом периоде ( $\Pi = 0$ ;  $Z_0 = 0$ ), у их ядер не может быть сердцевин и дозволенной «нейтронной» ячейки; они должны состоять лишь из внешних нуклонов. Так, нейтрон ( $n^1$ ), являющийся ядром первой группы, расположен в энергетически недозволённой «нейтронной» ячейке и, следовательно, он не стабилен ( $\bar{\beta}$ ). Точно так же тритий ( $T^3$ ) — ядро III группы — состоит из трех внешних нуклонов и может иметь одну дозволенную «протонную» ячейку с нейтрон-протонной комбинацией и одну недозволённую «нейтронную» ячейку, в которой располагается оставшийся холостой нейтрон. Существование в тритии недозволённой «нейтронной» ячейки с одним нейтроном делает этот изотоп также нестабильным. Для этих двух ядер нуклонные формулы будут иметь следующий вид:

$$\text{для } n^1 - \begin{vmatrix} & n \\ & \\ n & \end{vmatrix} \text{ и для } T^3 - \begin{vmatrix} n & & \\ & n & \\ p & n & \end{vmatrix}$$

В случае ядер  $H^1$ ,  $D^2$  и  $He^3$  мы являемся свидетелями существования новых конфигураций внешних нуклонов с дозволенными «протонными» ячейками.

Единственный протон ядра  $H^1$  и протон-нейтронная комбинация  $D^2$  расположены в дозволенных «протонных» ячейках. Точно так же и ядро  $He^3$  состоит из двух дозволенных «протонных» ячеек, одна из которых заполнена протон-нейтронной комбинацией, а вторая заполнена лишь наполовину одним протоном.

Эти новые конфигурации внешних нуклонов можно изобразить следующими формулами:

$$\text{для } H^1 - \begin{vmatrix} & n \\ & \\ p & \end{vmatrix}; \text{ для } D^2 - \begin{vmatrix} n & \\ & \\ p & \end{vmatrix}; \text{ для } He^3 - \begin{vmatrix} n & & \\ & n & \\ p & p & \end{vmatrix}.$$

Анализ данных конфигураций будет дан в следующем сообщении при рассмотрении структур радиоактивных ядер, и, как будет видно, их существование не противоречит вышеприведенному основному выводу о том, что для стабильных ядер существует четыре вида конфигураций внешних нуклонов:

$$\begin{vmatrix} & n \\ & \\ n & \end{vmatrix}; \begin{vmatrix} n & \\ & \\ n & \end{vmatrix}; \begin{vmatrix} n & & \\ & n & \\ p & n & \end{vmatrix}.$$

Чрезвычайно важным фактом можно считать то обстоятельство, что  $He^4$  является тем первым ядром, в котором образовалась сердцевина. Он расположен в нулевой группе I большого периода с нуклонной формулой

$2 \begin{vmatrix} n & & \\ & n & \\ p & p & \end{vmatrix}$ . Из этой формулы видно, что  $He^4$  состоит только из сердцевины с двумя



заполненными «протонными» ячейками. Данный факт определенно проливает свет на природу самих ядерных сил.

Тот общеизвестный в физике ядра факт, что насыщение ядерных сил получается, начиная с  $\text{He}^4$ , т. е. когда в ядре имеется не меньше четырех взаимодействующих частиц, прекрасно согласуется с началом образования сердцевин. Следовательно, надо полагать, что в сердцевинах ядер пины любых двух «протонных» ячеек направлены в противоположные

стороны ( $\begin{smallmatrix} n & n \\ \uparrow & \downarrow \\ p & p \end{smallmatrix}$ ), и каждая пара таких ячеек образует в сердцевине устойчивую комбинацию четырех нуклонов, т. е. фактически  $\alpha$ -частицу со спином, равным нулю.

Скачкообразное изменение значений малых периодов на два протона (см. таблицу) также служит указанием на существование  $\alpha$ -частиц в сердцевинах ядер\*.

Мы приходим к выводу, что сердцевинны всех ядер представляют весьма тонкую систему из спаренных нейтронных пар и  $\alpha$ -частиц, нуклоны которых расположены в двух спаренных «протонных» ячейках\*\*.

Существование в сердцевинах ядер  $\alpha$ -частиц одновременно позволяет выражать значение малых периодов в таблице также и через числа этих  $\alpha$ -частиц.

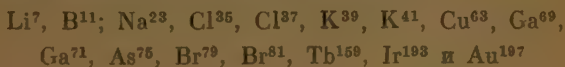
Заполненность ячеек и равенство суммарного спина нулю являются характеристикой сердцевины любого ядра. Спины ядер поэтому должны в основном определяться спинами внешних нуклонов. Таким образом все изотопы нулевой группы таблицы, не имея внешних нуклонов, должны иметь спины, равные нулю. Вследствие того положения, что ядра, принадлежащие ко II группе, имеют по два внешних нейтрона со спинами, направленными в противоположные стороны, они также, подобно изотопам нулевой группы, должны иметь спины, равные нулю.

Следовательно, существующее эмпирическое правило, не имеющее настоящего времени исключений, о том, что все ядра с четными  $Z$  и четными  $N$  имеют спин нуль, получило вполне удовлетворительное объяснение.

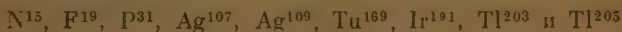
Ядра I группы, имеющие по одному холостому внешнему нейтрону, естественно, должны иметь спин, равный  $1/2$ .

Наконец, изотопы III группы, как было показано выше, имеют три внешних нуклона, расположенных в двух ячейках; одна из них «протонная» ячейка содержит протон-нейтронную пару со спином единица. Вторая — один холостой нейтрон со спином  $1/2$ . Спин этого холостого нейтрона может быть направлен или противоположно, или параллельно спинам двух нуклонов «протонной» ячейки. В первом случае спин ядер данной группы будет равняться  $1/2$ , во втором случае —  $3/2$ .

В самом деле, свыше 50% ядер, расположенных в III группе, для которых экспериментально измерены спины, имеют спин, равный  $1/2$  или  $3/2$ . Так, например, стабильные ядра III группы:



имеют спин, равный  $3/2$ ;



имеют спин, равный  $1/2$ .

\* Представление о том, что  $\alpha$ -частица содержится в ядре в готовом виде, получило удовлетворительное обоснование еще в 1929 г. при разработке количественной теории  $\alpha$ -распада.

\*\* Наше представление о строении сердцевин ядер совпадает в принципе гипотезой Резерфорда [2], согласно которой ядро состоит из центральной группировки  $\alpha$ -частиц, окруженной известным числом нейтральных частиц.

Лишь около 20 ядер третьей группы имеют спины, превышающие эти численные значения в пределах  $5/2 - 9/2$ .

Такое отклонение для нас является не понятным, но связано, вероятно, со специфическим состоянием сердцевин ядра. Мы можем, однако, до некоторой степени преодолеть последнюю трудность, допуская, что отдельные, единичные  $\alpha$ -частицы сердцевин могут распариваться на две составные «протонные» ячейки таким способом, что протон-нейтронные пары приобретут параллельные спины, в сумме равные двум. Такое представление хотя и носит умозрительный характер, но если оно в какой-то степени правдоподобно, то тогда эти отклонения делаются доступными для понимания. Например, в случае ядер  $\text{Sc}^{54}$ ,  $\text{V}^{51}$ ,  $\text{Co}^{59}$ ,  $\text{Cs}^{133}$  и др., если допустить, что происходит распаривание одной  $\alpha$ -частицы сердцевин, то спины их будут равны  $7/2$ . Тогда в случае ядер  $\text{Nb}^{93}$ ,  $\text{In}^{115}$  и  $\text{Bi}^{209}$ , имеющих спины, равные  $9/2$ , должно иметь место распаривание двух  $\alpha$ -частиц сердцевин, а спин внешнего холостого нейтрона направлен противоположно спинам двух нуклонов внешней «протонной» ячейки.

Из 22 изотопов I группы таблицы, для которых экспериментально определены спины, 14 изотопов имеют, как и следовало ожидать, спины, равные  $1/2$ .

Отклонения и в этом случае мы можем объяснить распариванием соответствующего числа  $\alpha$ -частиц сердцевин. Например, для ядер  $\text{Be}^9$ ,  $\text{Xl}^{31}$ ,  $\text{Ba}^{135}$ ,  $\text{Ba}^{137}$ ,  $\text{Hg}^{201}$ , имеющих спин равный  $3/2$ , можно допустить, что спин одного внешнего нейтрона ( $I=1/2$ ) направлен противоположно параллельным спинам двух протон-нейтронных пар сердцевин ( $I=2$ ), которые должны возникнуть в результате распаривания одной  $\alpha$ -частицы. Наоборот, в ядрах  $\text{Zn}^{67}$  и  $\text{Yb}^{178}$  со спинами, равными  $5/2$ , при наличии распаривания одной  $\alpha$ -частицы, спин одного внешнего нейтрона должен быть направлен параллельно спинам двух протон-нейтронных пар.

Точно так же, если учесть, что внешними нуклонами ядер  $\text{D}^2$ ,  $\text{Li}^6$ ,  $\text{V}^{10}$  и  $\text{N}^{14}$  является протон-нейтронная пара, которая заведомо имеет спин единица, то совершенно естественно, что спины этих ядер равны единице.

Теперь дадим толкование другим известным основным фактам относительно стабильных ядер.

Основное свойство изотопов, состоящее в том, что ядра с четными  $Z$  многочисленнее ядер с нечетными  $Z$ , обусловлено периодически изменяющимся характером внешних нуклонов ядер, которые являются периодической функцией массового числа  $A$ . Вопрос о существовании в природе многих изобарных пар, для которых  $Z$  и  $A$  четны, и отсутствие изобар для ядер с нечетными  $A$  (за исключением нескольких ядер с  $A = 113$ , 115 и 123) рассматривается нами в следующем сообщении при анализе не-стабильных ядер.

Из таблицы видно, что изотопы наибольшего содержания с четными  $Z$  весьма специфически распределены в соответствующих группах. В таблице они обозначены черными кружками. Все изотопы наибольшего содержания для четных  $Z$  расположены в нулевой или во второй группах. При этом бросается в глаза то обстоятельство, что вначале изотопы наибольшего содержания распределены в нулевой группе первых трех больших периодов. Исключения составляют лишь  $\text{Ag}^{40}$  и  $\text{Ti}^{48}$ . В последующих больших периодах все изотопы наибольшего содержания, за исключением  $\text{Zr}^{90}$ ,  $\text{Nd}^{142}$  и  $\text{Er}^{168}$ , наоборот, расположены исключительно во второй группе. Такая своеобразность в распределении изотопов наибольшего содержания в таблице правильно согласуется с нашим представлением о структуре ядер.

Наиболее стойкими структурами, естественно, можно считать те, которые не имеют внешних нуклонов и состоят исключительно из сердцевин ядер. Такими структурами обладают изотопы нулевой группы, поэтому они и являются ядрами наибольшего содержания в первых трех больших периодах. Однако появление в сердцевине со второго большого периода нейтронных пар вызывает постепенное понижение стабильности структуры этого типа, так как появившиеся нейтроны сердцевин начинают стре-

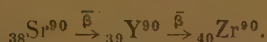
иться занять свободные места дозволенной внешней «нейтронной» ячейки ядер нулевой группы. Это стремление особенно ярко проявляется, когда число нейтронов в сердцевине превышает четыре. Начиная с IV большого периода, когда в сердцевинах ядер число нейтронов превышает четыре, изотопы наибольшего распространения распределяются уже во I группе. Следовательно, с появлением в сердцевине нейтронных пар структура ядер II группы, у которых внешняя «нейтронная» ячейка заполнена двумя спаренными нейтронами, становится более стабильной, чем структура ядер нулевой группы.

Исключение в случае аргона и титана, для которых изотопами наибольшего содержания оказались ядра II группы  $\text{Ar}^{40}$  и  $\text{Ti}^{48}$ , следует отнести за счет неустойчивых партнеров. Как известно,  $\text{Ar}^{40}$  со временем дополнительно обогащается в результате K-захвата нестабильного  $\text{K}^{40}$  ( $\text{K}^{40} \xrightarrow{\text{K}} \text{Ar}^{40}$ ).

Естественно, что и  $\text{Ti}^{48}$  со временем, очевидно, обогащается в результате  $\beta$ -распада  $\text{Ca}^{48}$ , продолжительность жизни которого, вероятно, весьмаольшая  ${}_{20}\text{Ca}^{48} \xrightarrow{\beta} {}_{21}\text{Sc}^{48} \xrightarrow{\beta} {}_{22}\text{Ti}^{48}$ . Наше указание о том, что  $\text{Ca}^{48}$  является нестабильным изотопом ( $\beta$ ), будет подтверждено при рассмотрении радиоактивных ядер в следующем сообщении. Следовательно, в случае аргона и титана максимально стабильными ядрами нужно считать изотопы нулевой группы  $\text{Ar}^{36}$  и  $\text{Ti}^{46}$ , являющиеся наибольшими по распространенности после  $\text{Ar}^{40}$  и  $\text{Ti}^{48}$ .

Аналогичным образом должны рассматриваться также и исключения для Zr, Nd и Er, изотопы наибольшего содержания которых ( $\text{Zr}^{90}$ ,  $\text{Nd}^{142}$  и  $\text{Er}^{166}$ ) расположены в нулевой группе вместо второй.

В частности, обогащение со временем  $\text{Zr}^{90}$ , очевидно, происходило за счет радиоактивного ядра  $\text{Sr}^{90}(\beta)$ , которое в результате полного распада исчезло в природе:



Указанием того, что ядро  $\text{Sr}^{90}$  существовало в природе, служит характер расположения его места в VII большом периоде. Как видно, во второй группе этого периода между стабильными ядрами  $\text{Kr}^{86}$  и  $\text{Zr}^{94}$  имеется свободная клетка для  $\text{Sr}^{90}$ .

Поэтому, в случае циркония в качестве наиболее стабильного ядра необходимо считать ядро  $\text{Zr}^{92}$ , расположенное во II группе и являющееся наибольшим по распространенности в природе после  $\text{Zr}^{90}$ .

По Ридлеру [13], аномально большую распространенность  $\text{Nd}^{142}$  необходимо отнести за счет распада ядра  $\text{Sm}^{146}$ , которое, подобно ядру  $\text{Sm}^{152}$ , излучало, очевидно,  $\alpha$ -частицы, но с очень малой продолжительностью жизни. Такое допущение обосновано нарушением общего правила, которое заключается в том, что четные изотопы данного химического элемента всегда образуют ряд последовательных четных чисел без пропусков.

Исключение из этого правила составляют лишь ядра самария, где недостает массового числа 146 между 144 и 148. Поэтому в качестве наиболее стабильного ядра в случае неодимия необходимо считать ядро  $\text{Nd}^{144}$ , расположенное во II группе и являющееся наибольшим по распространенности в природе после  $\text{Nd}^{142}$ .

## Выводы

1. Анализ материала, относящегося ко всем изотопам, в связи с данными о массовом числе  $A$  и об изотопном номере  $J$  показал, что если графически выразить число нуклонов, не связанных в пары нейтрон - протон ( $J_n$  и  $J_p$ ) в зависимости от общего числа нейтронов ядра  $N$  таким



способом, чтобы точки для всех стабильных изотопов соединить сплошной линией по возрастанию массового числа  $A$ , то между значениями  $J$  и  $A$  существует явная периодичность.

2. Периодически изменяющиеся значения  $J$  нами связываются с понятием внешних нуклонов ядра и строением образованных ими слоев, т. е. повторяемостью конфигураций внешних нуклонов, число которых изменяется в пределах от нуля до трех.

3. Расшифровка семейства кривых в координатах  $J - N$  позволила сделать определенный вывод о структуре ядер и составить периодическую таблицу стабильных изотопов, которая складывается из больших и малых периодов и четырех групп.

Москва

Поступила  
19. VI. 1950

#### ЛИТЕРАТУРА

1. S. D. Bryden, Phys. Rev., 38, 1989, 1931.
2. E. Rutherford, Proc. Phys. Soc. (London), 39, 359, 1927.
3. L. Meitner, Festschrift d. Kaiser Wilhelm Gesellsch., 1921.
4. Е. Н. Гапон, Журн. общ. хим., 2, 837; 851; 862, 1932.
5. Е. Н. Гапон, Z. f. Phys., 84, 520, 1933.
6. Д. Д. Иваненко, Nature, 189, 798, 1932.
7. И. Е. Тамм, Phys. Z. Sowjetun., 10, 507, 1936; ДАН, 21, 106, 1938.
8. И. А. Вайсман, ДАН, 62, 211, 1948.
9. А. П. Знойко, ДАН, 68, 837; 1021, 1949.
10. Г. А. Бете и Р. Ф. Бечер, Физика ядра, ОНТИ, Москва, стр. 196, 1938.
11. М. А. Левитская, ДАН, 60, 45; 61, 55, 1948; 64, 61, 1949.
12. Э. С. Саркисов, Журн. физ. хим., 24, 487, 1950.
13. В. Ридлер, Введение в ядерную физику, ГИИЛ, 1948, стр. 220.

# КАТАЛИТИЧЕСКАЯ АКТИВНОСТЬ КОМПЛЕКСНЫХ СОЕДИНЕНИЙ МЕДИ

Л. А. Николаев

Проблема связи между строением комплексного соединения и его каталитической активностью представляет для экспериментального исследования ряд трудностей. Прежде всего надлежит выбрать такие комплексы, орые в данной реакции были бы достаточно активны как катализаторы; ем важно найти условия, в которых их каталитическая деятельность можно меньше затушевывалась бы побочными реакциями с субстратом, ущими к необратимым изменениям и порче катализатора. Наконец, тральным пунктом задачи является подбор таких комплексных соединий металла, с которыми можно было бы проследить влияние отдельных конституционных изменений на величину каталитической активности.

Надлежит установить основные структурные элементы комплекса, ивирующие каталитическую способность данного металлического иона. может способствовать выяснению связи строения и активности.

Металлы типа меди и железа и реакции окисления — восстановления ираны потому, что для них решение указанной задачи может дать ование для более общих заключений. Металлы переходной группы, собенно медь и железо, играют существенную роль в биохимических ислительно-восстановительных процессах и функционируют там именно иде комплексных соединений.

Систематическое исследование вопроса о влиянии природы адденда каталитические свойства комплекса может облегчить решение ряда ач, касающихся сложноструктурных катализаторов и особенно металло-ержащих ферментов.

В ранних работах [1—3] я показал, что некоторые комплексы меди, содержащие ный азот, являются мощными каталазами катализаторами. В этой статье изла-тятся результаты дальнейших исследований влияния природы адденда на активность-ых комплексов.

Комплексы с аминами получаются уже при смешивании растворов солей меди с-тими аминами. Анион соли почти совершенно не сказывается на каталазной актив-ти комплексного катиона; мы проверили это на сульфатах, нитратах, хлоридах и-татах. Для приготовления комплексов обычно употреблялся сульфат; в опытах олипептидами и полиуретами, где получение комплекса производится в щелочной-де, лучшие результаты достигаются при использовании ацетата [4]. Избыток амина-исторе всегда сказывается на активности. Для того чтобы результаты были сравними, анавливалась концентрация избыточного амина, при которой комплекс проявлял-высшую активность. Для некоторых соединений, вследствие их крайней неустой-ости, пришлось применять избыток амина и тем несколько подавлять их активность.

Более или менее детальному исследованию были подвергнуты каталитические свой-а комплексных соединений меди со следующими веществами, содержащими амин-з группу: аммиак\*, метиламин\*, этиламин\*, бутиламин\*, изобутиламин, амилами-идин, пиколин, пиперидин, аминопиридин, диметиламин, триметиламин, диэтил-ин, этилендиамин\*, пропилендиамин\*, диметилтриметилендиамин, диэтилпентамет-диамин, пентаметилендиамин\*, тетраметилендиамин, гексаметилендиамин, эта-тамин, диэтаноламин, триэтаноламин, фенилпропиламин, фенилэтиламин, гли-золь\*, этиловый эфир гликоля\*, аланин\*, бета-аминовалериановая кислота\*, урет\*, аспарагин, дилицилглицин\*, триглицилглицин\*, формилглицин, биуре-ые комплексы с пептонами, желатиной\*, альбумином\*, казеином, комплексы\*

\* Каталитическая активность комплексов с этими соединениями описывалась-ышеуказанных статьях.

с инсулином, адсорбционные комплексы медь-гистидин-инсулин\* и, кроме того, ряд комплексов с кислородсодержащими соединениями, оксикислотами и др. Формулы аминных соединений меди, устойчивых в водном растворе, как правило, соответствуют координационному числу 4 и в большинстве случаев известны. Изменения происходящие в составе комплекса с изменением концентрации адденда, подробно обсуждены при рассмотрении связи числа атомов азота в координационной сфере и каталитической активности. В большинстве случаев препараты медных комплексов с аминами были выделены в кристаллическом состоянии; исключение составляют комплексы с гексаметилендиамином, полиуретами, белками, диэтиламинометилпентаметилендиамином некоторые неустойчивые соединения не вполне определенного состава, отмеченные в конце статьи. Последующее растворение кристаллических соединений в растворе содержащем избыток адденда, обычно дает растворы точно такой же активности, как у первоначального продукта.

В цитированных работах описан подробно метод измерения активности (обычно газометрический или перманганатометрический). Мы приведем сначала данные, более детально характеризующие простые амины, а затем перейдем к сложным аддендам, упоминавшимся в ранних работах.

### Метиламин

Метиламин образует каталазно активный комплекс; для того чтобы он был устойчив, приходится добавлять к раствору некоторый избыток амина, что, тем не менее, не полностью устраняет разложение. Количество метиламина в большинстве опытов отвечало  $2 \text{ см}^3$  чистого амина на  $62 \text{ см}^3$  общего объема реакционной смеси. Уменьшение этого количества до  $1 \text{ см}^3$  повышает начальную скорость приблизительно на 15%, но разложение комплекса перекисью при этом столь значительно, что измерения делаются совершенно ненадежными.

Зависимость скорости реакции от концентрации перекиси выражается прямой; эта прямая, однако, не проходит через начало координат. Другими словами, переход от слабых к более концентрированным растворам вызывает прогрессирующее падение активности; в результате кривая приобретает изгиб и тангенс угла наклона к оси абсцисс уменьшается. Это также есть следствие возрастающего разложения катализатора. Для линейного участка кривой, начиная с концентрации перекиси  $0,01 N$  выше, зависимость скорости от концентрации перекиси удовлетворительно передается уравнением:

$$v = 2 \cdot 10^3 \cdot c_{\text{H}_2\text{O}_2}$$

где  $v$  выражено в молях перекиси, разложенной одним граммом меди в литре раствора при  $18^\circ$  в течение первой минуты. Так, для  $0,1 N$  раствора имеем фактическую начальную скорость:  $v = 2 \cdot 10^3 \cdot 5 \cdot 10^{-2} = 100$ . Экстраполяция к началу момента увеличивает эту величину приблизительно в 1,6 раза. Таким образом наиболее верная величина активности метиламинового комплекса выражается числом 160 молекул перекиси на один атом меди в минуту, что примерно в 6—7 раз меньше активности аммиаката. Несомненно метилирование понижает и активность и устойчивость комплекса.

В дальнейшем изложении мы сосредоточим особое внимание на связи между природой аддендов и активностью комплекса, уделяя меньше места обзору довольно однообразных кинетических закономерностей.

### Этиламин

Активность комплекса с этиламином значительно меньше, чем у метиламинового. Этот комплекс вполне устойчив и при избытке амина в растворе ( $1 \text{ см}^3$  на  $60 \text{ см}^3$  раствора) не обнаруживает и признаков разложения. Активность этиламинового комплекса составляет всего 31,5 (при  $7^\circ C$

\* См. сноску на стр. 931.



### Бутиламин

Замечательно, что активность этого комплекса в тех же условиях выше активности этиламинового соединения и выражается числом 60.

Таким образом, если пониженную активность метиламинового комплекса сравнительно с аммиаком связывать со стерическими препятствиями, придется признать, что нарастание массы углеводородного радикала соответствует усилению действия другого специфического фактора, который у бутиламина уже превалирует над стерическим.

### Амиламин

Эта закономерность подтверждается и на комплексе с амиламином, активность которого достигает уже 150; комплекс непрочен и легко отщепляет амин, образуя белую эмульсию.

### Изобутиламин

Активность изобутиламинового комплекса не превышает 46% активности бутиламинового. Здесь структурный фактор проявляется очень отчетливо.

### Диметиламин

При смешивании раствора ацетата меди (концентрация 0,6 мг меди/см<sup>3</sup>) 23% раствором амина получается комплекс желтоватого цвета. В растворе, содержащем небольшой избыток амина, он устойчив к действию растворов перекиси водорода. Активность в начальный период около единицы; через 3 мин. она равна двум. Такой ход кривой указывает на медленное формирование промежуточного продукта. Здесь наблюдается с еще большей ясностью то же явление, которое мы описали у аммиаков. Однако в данном случае большая устойчивость и меньшая активность промежуточного продукта позволили нам подробнее его изучить. По мере образования промежуточного продукта одновременно с подъемом кинетической кривой цвет раствора изменяется и делается красно-фиолетовым; эта окраска исчезает после разложения всей перекиси. Мы приготовили концентрированный раствор ацетата меди (без подкисления, так что жидкость содержала взвесь основных солей). После охлаждения до 0° к раствору был прибавлен трехкратный объем 23% раствора диметиламина. Образовался желто-коричневый раствор. В этот раствор был влит концентрированный (15%) холодный раствор перекиси водорода, и вся смесь охлаждена до -8°. Получился темнофиолетовый раствор, застывший затем в чернофиолетовые кристаллы. Часть кристаллов была перенесена в газометрический аппарат, где при температуре 10° началось быстрое разложение перекиси водорода, причем цвет раствора все время оставался краснофиолетовым. После того как выделилось 50 см<sup>3</sup> кислорода, цвет раствора начал быстро меняться. С момента изменения цвета до полного прекращения выделения кислорода было выделено еще 6 см<sup>3</sup> кислорода, после чего реакция сразу прекратилась, и раствор стал желто-зеленым. Благодаря различию в окрасках и прочности отдельных видов комплексов с диметиламином на их примере можно ясно проследить ряд интересных превращений, о которых мы уже упоминали при обзоре других аминок комплексов. Цвет комплекса меди с диметиламином в растворе, содержащем избыток амина, желтоватый; если в раствор добавить воды, то цвет комплекса медленно переходит в синий. Это цвет аквакомплекса. Таким образом, в этих условиях свободные места в координационной сфере занимают молекулы воды, тогда как при избытке амина в растворе они заняты лабильно связанными молекулами амина. Чем больше амина, тем более прочно закрыт комплекс и тем ниже его активность. При введении в рас-

твор такого комплекса перекиси водорода происходит вытеснение лабильно связанных молекул амина молекулами перекиси и образуется промежуточный комплекс, красно-фиолетового цвета. Начинается каталитический распад перекиси, с окончанием которого цвет раствора быстро делается зеленым. Это значит, что на место молекул перекиси вошли частично молекулы воды (синий комплекс), частично молекулы амина (желтый комплекс).

Спустя 10—12 час., раствор делается синим вследствие полного перехода комплекса в аквоформу. Внимательное кинетическое исследование хода выделения кислорода до момента, когда цвет начинает меняться и во время изменения, проведенное нами в более разбавленных (чем выше было описано) растворах перекиси (3,4%), позволило обнаружить еще одну интересную и важную особенность кинетики этой реакции. Именно: в момент, когда распад перекиси в растворе закончен и начинается распад самого комплекса (сопровождающийся ясным изменением цвета), скорость распада сильно возрастает; кинетическая кривая обнаруживает резкий излом. Кинетическое толкование этих явлений предполагается дать в другой статье, посвященной собственно механизму каталазного действия аминных комплексов меди.

### Триметиламин

Комплекс с триметиламином очень неустойчив и может быть изучен лишь в растворах, содержащих большой избыток амина. Его активность равна единице при 12°. Значительное увеличение избытка амина приводит почти к полной инактивации.

Принимая во внимание сложную конфигурацию этого комплекса, надо полагать, что роль стерических препятствий здесь очень велика, и активность комплекса не может быть большой.

### Диэтиламин

Комплекс был получен из ацетата меди и 50% водного раствора амина. Если измерять скорость разложения перекиси в течение первых 5 мин., то активность комплекса оказывается равной трем. Однако на 7-й минуте скорость разложения перекиси возрастает и активность комплекса между 8 и 10-й минутами равна уже 15 (при 12°). Это явление того же характера, что и описанное нами для диметиламина. Оно связано с медленным образованием промежуточного соединения — комплекс-перекись водорода. Скорость образования этого соединения, значительная у аммиака (но все же измеримая), делается меньше у диметиламина и еще более уменьшается у диэтиламина. Сложная структура этого последнего комплекса задерживает «внедрение» молекул перекиси в координационную сферу иона меди.

### Замещенные амины. Этаноламин

Комплекс с этаноламином очень устойчивый, обладает крайне слабой каталазной активностью, равной (в тех же единицах) 2,0. Этот факт показывает, что одного только введения гидроксильной группы в углеводородный радикал амина достаточно для понижения каталазной активности более чем в 15 раз.

### Диэтаноламин и триэтаноламин

С увеличением числа этанольных групп увеличивается активность медных комплексов. Диэтаноламин образует очень прочный комплекс, не изменяющийся в 0,05 и 0,1 N растворах перекиси водорода; его активность равна 2,7.

Активность триэтаноламинного комплекса равна 12. Это значит, что увеличение числа слабо активирующих групп в составе протогена спо-

компенсировать понижение активности, вызванное специфическим структурным фактором. Весьма вероятно, что мы здесь имеем дело с пониженной активностью триэтиламинового комплекса, которая могла быть довольно значительной, если бы этот комплекс сохранял активность в растворах перекиси водорода.

Введение гидроксидов в диэтиламин также должно снижать активность, это было с этиламином: и на самом деле, активность падает приблизительно в 5 раз. Следовательно, возрастание активности в ряду этаноламов (моно-ди-триэтаноламин) объясняется тем обстоятельством, что дезактивирующее действие гидроксидов ослабляется по мере увеличения замещающих групп у азота. Иными словами, введение второго этила снижает активность в меньшей степени, чем введение гидроксидов в этил-

### Альфа-метилгидроксиламин

является непрочным, по активный комплекс. При 8° активность равна 50; 16° около 80. Сравнение этих данных с данными для метиламина показывает, что замена метила метоксидом понижает активность примерно в 2 раза. С дезактивирующим действием атома кислорода мы уже встречались.

### Бензиламин

Так как мы уже имеем сведения о том, что введение метила к углероду в метиламине, т. е. переход к этиламину, соответствует сильному падению активности, то, очевидно, представляет интерес выяснить, каково влияние фенильной группы в тех же условиях. Комплекс с бензиламином, исследованный нами, показал (при 17°) активность, равную 63. Это значит, что в этом случае введение фенила вместо метила, несмотря на очевидное увеличение стерических препятствий, оказывает несомненное активирующее действие — активность сравнительно с этиламином возрастает в 2 раза. При действии 0,1 N раствора перекиси водорода комплекс медленно разлагается, образуя белую эмульсию.

### Фенилпропиламин

Активность этого комплекса больше предыдущего приблизительно на 1/5 и равна 90.

### Метилбензиламин

Активность медного комплекса с этим амином равна 31,5; активность, тем самым, равна активности этиламинового комплекса. Введение метила в альфа-положение к аминогруппе, следовательно, не вызывает дезактивирующего эффекта.

Сравнительное действие алифатического радикала в такой структуре будет рассмотрено ниже.

### Диаминны. Этилендиамин

Комплексное соединение с этилендиамином, получаемое при добавлении этилендиамина к раствору сульфата меди в виде светлосиней кристаллической муки, имеет состав:



Соединение, растворимое в воде, получается упариванием раствора сульфата меди и этилендиамина и соответствует формуле:

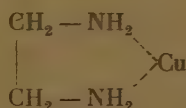


Замечательна большая разница в активностях твердого порошкообразного соединения и гомогенного раствора. Активность растворимого комплекса мала; она равна (в тех же единицах) 5,0. Активность осадка



трудно точно оценить из-за отсутствия данных о степени его дисперсности, однако эта активность, по крайней мере, в 9—10 раз больше активности растворимого соединения. Сильная активность в этом случае соответствует большому числу координационно связанных атомов азота, при этом на поверхности твердой фазы условия не благоприятствуют образованию мало активных «закрытых» комплексов. По существу это есть случай адсорбционной автоактивации, когда активирующий носитель состоит из того вещества, что адсорбированный слой\*.

Малая активность гомогенного раствора показывает, что замыкание пятичленного цикла, т. е. образование в координационной сфере структурного элемента



наряду с малым числом атомов азота в координационной сфере соответствует уменьшению каталазной активности.

### Триметилендиамин

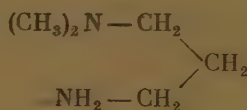
Активность комплекса с триметилендиамином, напротив, оказалась очень высокой. В 0,1 *N* растворе перекиси она равна 91. Зависимость скорости от концентрации перекиси показана для большого интервала концентраций. Как видно, на кинетической кривой имеется ясно выраженный линейный участок от  $10 \cdot 10^{-2} N$  до  $25 \cdot 10^{-2} N$ .

### Диметилтриметилендиамин $(\text{CH}_3)_2\text{N} - (\text{CH}_2)_3 - \text{NH}_2$

Это соединение интересно тем, что оно содержит дважды замещенную амминную группу и дает таким образом возможность оценить влияние заместителей при одном из атомов азота в диаминах.

Комплексы, содержащие этот амин, оказались весьма активными, однако они претерпевают заметное разложение в растворах перекиси водорода. По величинам начальных скоростей можно составить представление о величине каталитического эффекта. Большие концентрации перекиси применять нецелесообразно вследствие усиления распада катализатора. Удобная температура для опытов — порядка 8—12°.

Газометрический метод исследования мало пригоден для этого соединения, так как жидкость в колбе шюттель-аппарата сильно пенится. Метод титрования перманганатом дает вполне удовлетворительные результаты. Активность комплекса с диметилтриметилендиамином при температуре 11° равна приблизительно 720 (!) и таким образом уже превышает активность аммиаков (при тех же условиях). Триметилендиаминовый цикл в модных комплексах чрезвычайно легко активируется. Сам по себе структурный элемент



несомненно, должен быть отнесен к числу сильнейших активаторов

\* Нечто подобное наблюдалось на ртутных соединениях в реакции Кучера [5].

\*\* Значение именно триметиленового цикла подчеркивается тем фактом, что аммиак  $\text{NH}_2 \cdot \text{CH}_2 \cdot \text{CH}(\text{NH}_2) \cdot \text{CH}_3$  дает прочный комплекс с меньшей активностью, равной по нашим данным, 64. Сравнение с этилендиамином позволяет заключить, что комплекс с этим последним может активироваться при метилировании.

лазной функции иона меди. Он, однако, не способен давать устойчивые в присутствии перекиси водорода комплексы.

### Диэтилтриметилендиамин

Замена в предыдущем амине метила на этил, т. е. использование в качестве адденда диэтилтриметилендиамина, снижает активность. Активность непрочного к действию перекиси медного комплекса равна в 0,1 *N* в воде всего 40 (12° C). Активирующее действие именно метила вырисовывается довольно отчетливо.

### Диэтиламинометилпентаметилендиамин

Этот амин образует столь лабильный комплекс, что при измерениях скорости даже экстраполяция к начальному моменту не дает удовлетворительных результатов.

### Полиметилены

Тетраметилендиамин и пентаметилендиамин вообще с трудом образуют комплексы; с кобальтом соответствующие соединения, как показал Вер- [6], совсем не образуются. Это связано с малой стойкостью циклов, содержащих 7 и более звеньев. Характерные отличия полиметилендиаминов от других соединений к солям никеля были отмечены Л. А. Чугаевым [7]. Тетра- и пентаметилендиамины в наших опытах давали с ацетатом меди очень стойкие комплексы, малая активность которых наводила на мысль о том, что они построены иначе, чем триметиленовое соединение, т. е. без замыкания цикла. Тот же эффект наблюдался и с гексаметилендиамином. Из-за малой прочности этих комплексов было бы неосторожным давать количественную характеристику их активности. Для гексаметилендиамина активность, по видимому, лежит около 25.

### 2-аминогептан $\text{CH}_3-\text{CH}(\text{NH}_2)\cdot\text{C}_5\text{H}_{11}$

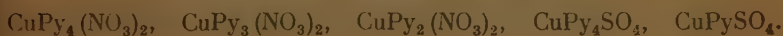
Этот амин дает комплекс, обнаруживший очень большую активность. Его активность равна 180 (18°). Комплекс непрочен, но добавлением небольшого избытка амина удается создать условия, в которых начальные скорости вполне удобоизмеримы.

Нельзя не дооценивать той ясно ощущаемой закономерности, в силу которой каждый раз, когда удачный подбор адденда дает в наши руки высокоактивный (каталазно) медный комплекс, этот комплекс оказывается прочным и разлагается перекисью даже в сравнительно слабых растворах. Если мы примем во внимание, что хотя каталаза (т. е. соединение железа) тоже разлагается уже 0,1 *N* перекисью, но это разложение соответствует активности  $10^5$  молекул  $\text{H}_2\text{O}_2/\text{сек.}$ , то станет ясным, что склонность к необратимым изменениям под влиянием субстрата возрастает пропорционально с активностью у соединений обоих металлов. Однако у меди разложение комплексов делается катастрофическим при таких значениях активности, которые далеко отстоят от соответствующих значений у соединений железа.

Мы продолжим теперь дальнейший обзор каталазно активных комплексов меди.

### Пиридин и пиперидин

Ион меди образует с пиридином целый ряд комплексов, в которых количество пиридина на один атом меди изменяется в довольно широких пределах. Известны следующие меднопиридиновые комплексы:



Мы приготовили комплекс, содержащий четыре молекулы пиридина на атом меди. Кристаллический препарат употреблялся для опытов с добавлением некоторого избытка пиридина. Комплексы с пиридином, как мы установили, очень легко переходят в аммиакаты при добавлении к раствору даже малых количеств аммиака. Это обнаруживается по появлению в таких смесях высокой каталазной активности, свойственной аммиакатам. С другой стороны, большие размеры молекулы пиридина увеличивают стерические препятствия в реакционной сфере комплекса.

В соответствии с этим мы наблюдаем быстрое падение активности комплексов при увеличении в растворе концентрации пиридина.

Комплекс неустойчив и под действием перекиси водорода разлагается, если не добавить в раствор некоторого избытка амина. Продукты разложения и здесь состоят из перекиси меди.

При температурах около  $40^\circ$  в концентрированных растворах (1—2 M) перекиси водорода делается заметным окисление и самого пиридина. Зависимость активности комплекса от температуры будет рассмотрена в другой работе; мы отметим здесь только, что при понижении температуры активность сначала убывает слабо, а затем, при температуре  $10^\circ$  наблюдается довольно резкое снижение активности.

Это явление, как мы ранее отмечали, носит общий характер и свойственно, в различной степени, всем аминным комплексам меди. Активное пиридиновое комплекс, таким образом, сильно зависит от целого ряда факторов, и ее трудно выразить одним числом; в среднем эту активность можно принять равной 70—80 молекулам перекиси на атом меди, т. е. она ниже, чем активность аммиакатов.

Пиридиновый комплекс интересен еще и в том отношении, что промежуточное соединение, которое он образует с перекисью водорода, удалось выделить при сильном охлаждении. Если чистый кристаллический препарат меднопиридинового соединения ( $\text{CuPy}_4\text{SO}_4$ ) растворить в малом количестве воды и, охладив раствор в смеси снега с солью до начала выделения кристаллов льда, смешать с 15% раствором перекиси водорода, охлажденным до нуля, то каталазный процесс идет довольно медленно. Смесь скоро замерзает, образуя наряду с кристаллами льда светлофиолетовые кристаллы промежуточного соединения. Их не удалось полностью отделить от примесей; при температуре  $-2,5^\circ$  они разлагаются с выделением кислорода и вся масса принимает обычную светлосинюю окраску.

Характерно, что цвет этого промежуточного комплекса тот же, что и цвет промежуточного соединения перекиси водорода с меднодиметиламинным комплексом.

Перейдем теперь к пиперидиновому комплексу. Активность этого комплекса удалось изучить лишь при  $8^\circ$ ; она составляет всего около 1, сопоставление с активностью пиридинового комплекса при этой же температуре, показывает, что переход от пиридина к пиперидину соответствует падению активности примерно в 50 раз.

### Пиколин

Комплекс с пиколином еще менее устойчив к действию перекиси водорода, чем пиридиновое соединение. Активность его, экстраполированная к начальному моменту, равна 10 ( $18^\circ$ ).

### Циклогексиламин

Активность комплекса с циклогексиламином довольно велика и составляет при  $18^\circ$  90 моль/атом меди. Этот результат следует сопоставить с данными для анилина; однако хотя анилин и образует с медью комплексное соединение, но при действии на него растворов перекиси окисление направляется на адденды — анилин быстро окисляется сам. При



ом нельзя заметить никакого каталазного эффекта. Ядро циклогексиллина есть, несомненно, активирующий структурный элемент.

### Аминопиридин

Комплекс получается легко, но действие перекиси водорода направляется на адденд и приводит к окислительному распаду комплекса (пероксидное действие иона меди).

### Отдельные представители других классов аминов—пуриновые производные

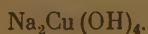
Кофеин и теофиллин образуют с ацетатом меди в щелочной среде комплексы синего цвета, содержащие четыре молекулы пуринового производного на атом меди. Активность теофиллинового соединения равна 6,3. Кофеин дает менее стойкий и менее активный комплекс; активность равна четырем. Пурины следует причислить к слабо активируемым структурам. Надо иметь в виду, что в обоих комплексах адденды подвергаются сильному окислению во время каталазной реакции. Поэтому абсолютные величины активностей не в полной мере характеризуют первоначально взятые вещества.

### Тиомочевина

Хорошо известные комплексы меди с тиомочевинной оказались практически неактивными.

### Комплексные соединения меди, не содержащие азота

При добавлении раствора солей меди (сульфата, ацетата или хлорида) к концентрированному раствору щелочи (10% NaOH в наших опытах) получаются, как известно, синие куприты, где координационное число меди имеет обычное значение, равное четырем:



Эти растворы обладают каталазной активностью, но легко распадаются, образуя коричневый золь перекиси меди. В этом случае мы имеем дело каталазно активным анионом. Устойчивость самой перекиси водорода сильно щелочных растворах настолько понижена, что трудно сравнить активность купритов с активностью аминных комплексов. Разбавление раствора ведет к немедленному разложению куприта; вода разрушает куприты гораздо сильнее, чем аминные комплексы. Несомненно, однако, что активность купритов гораздо меньше таковой аминных комплексов.

Нами были исследованы также комплексные соединения меди с винной, яблочной, лимонной и янтарной кислотами; оба соединения по отношению к 0,05 N перекиси: течение 1 часа наблюдения не показали вовсе каталазной активности. Салат получается в виде осадка при добавлении оксалата натрия к раствору меди и имеет состав  $\text{CuC}_2\text{O}_4 \cdot \text{H}_2\text{O}$ . Соединение, получаемое добавлением щелочи к смеси винной кислоты и соли меди, содержит, по видимому, две молекулы кислоты на атом меди, хотя строение этих комплексов нельзя считать окончательно выясненным.

Для наших целей существенно то, что наличие в координационной сфере на кислородных атомах есть фактор, понижающий каталазную активность. Неактивными оказались также комплексы меди с глицерином, манитом и очень малую активность обнаружили ацетат меди.

Все эти данные относятся к тем условиям, в которых обычно исследовались активные комплексы, т. е. к концентрациям порядка 1 мг меди на 100 см<sup>3</sup> раствора, содержащего 0,1—0,2 N перекиси водорода при температуре от 12 до 25°.

### Выводы

Изучена и описана зависимость между каталазной активностью и природой адденда у комплексных соединений меди с метиламином, этиламином, бутиламином, амиламином, изобутиламином, диметиламином, триметиламином, диэтиламином, этаноламинами, метилгидроксиламином бензиламином, фенилпропиламинном, метилбензиламином, этилендиамином, триметилендиамином, диметилтриметилендиамином, диэтилтриметилендиамином, полиметилендиамином, аминогептаном, пиридином, пиперидином, пиколоном, циклогексиламином, тиомочевинной, пуриновыми производными и некоторыми не содержащими азота соединениями.

Отмечено, что рост активности сопровождается у медных комплексов падением устойчивости к действию растворов перекиси водорода.

Московский институт инженеров  
транспорта  
имени И. В. Сталина

Поступила  
4.VII.1950

### ЛИТЕРАТУРА

1. Л. А. Николаев, Вестн. Моск. гос. ун-та, № 2, 105, 1946.
2. Л. А. Николаев, Вестн. Моск. гос. ун-та, № 1, 70, 1947.
3. Л. А. Николаев и Н. И. Кобозев, Журн. физ. химии, 19, 323, 1945.
4. Л. А. Николаев, Вестн. Моск. гос. ун-та, № 10, 169, 1948.
5. И. Н. Шляпентох, Г. А. Поспелова, Н. И. Кобозев, Л. А. Николаев, Журн. физ. химии, 21, 65, 1947.
6. А. Вернер, Новые воззрения в области неорг., химии, 1936, стр. 33.
7. Л. А. Чугаев, Вег., 39, 3197, 1906.

## О СВЯЗИ МЕЖДУ СТРУКТУРОЙ И КАТАЛИТИЧЕСКОЙ АКТИВНОСТЬЮ У НЕКОТОРЫХ КОМПЛЕКСНЫХ СОЕДИНЕНИЙ

*Л. А. Николаев*

В течение геологических эпох происходила смена форм не только растений и животных, но также и молекул, осуществлявших жизненные циклы живой материи.

Созданные ходом эволюции в течение долгого времени активные группы металлосодержащих катализаторов изумляют однообразием строения. хлорофилла, катализирующего фотосинтез, у гемоглобина, у каталазы, роксидазы, гемоцианина, выполняющих совершенно другие и вполне специфические функции, необходимым элементом активной группы является протопорфириновое ядро. Это обстоятельство наводит на мысль о несообразности выяснения общих закономерностей, касающихся строения и каталитической активности комплексных соединений. Решение этих вопросов, хотя бы для частного случая, было бы полезно, во-первых, тому, что оно дало бы материал для исследования основной проблемы катализа — рационального подбора катализатора для заданной реакции; во-вторых, оно приблизило бы нас к пониманию механизма биохимических процессов, и, наконец, оно, быть может, осветило бы пути генезиса биологически активных структур.

Ввиду того что отношения величин каталитической активности простого металлического иона и того же иона в составе фермента часто имеет порядок величины  $10^{-5}$ — $10^{-6}$ , особый интерес приобретает изучение металлических комплексов, обладающих промежуточными значениями активности.

Однообразие, которое мы наблюдаем в строении активных групп различных металлосодержащих ферментов, неизменное наличие в них порфириновых циклов, не имеет никакого объяснения. Поэтому нами были предприняты поиски катализаторов «модельного» типа, на примере которых можно проследить особенности, связанные с проявлением высокой каталитической активности.

В ряде работ [1, 2, 3], я изложил результаты исследования каталазной и оксидазной активности комплексных соединений меди и железа. удалось установить, что аминные комплексы меди являются очень активными каталазными катализаторами и представляют собой поэтому богатый материал для изучения вышеупомянутых проблем.

Сравнение каталазной активности различных медных комплексов прежде всего показало, что активность в сильнейшей степени зависит от природы адденда.

Была изучена каталитическая активность комплексных соединений меди с аминами (первичными и вторичными), замещенными аминами, аммоноиспотами, амидами кислот, ароматическими аминами, диаминами, стероидными рядами пиридина, пептидами, биуретом, триуретом, некоторыми белками и т. п.

При надлежащем выборе адденда удавалось повысить активность иона меди в  $10^6$  раз; следовательно, в найденных моделях структурный фактор изменяет активность иона в такой же мере, в какой это наблюдается у металлосодержащих ферментов.

Далее, была изучена оксидазная функция медных комплексов, затем



каталазная и оксидазная активность некоторых комплексов железа и наконец, каталазная активность комплексных соединений кобальта, цинка, кадмия и серебра.

К настоящему времени мы располагаем рядом новых данных относительно каталитической активности комплексных соединений, позволяющих сделать некоторые общие заключения.

Рассмотрим сначала особенности строения аддендов, влияющие на каталазную активность соединений меди. Каталазная активность в приведенных ниже таблицах выражена в молях перекиси водорода, разложенных одним граммом меди в 0,1 N раствора перекиси в течение первой минуты после начала реакции (при 18°C). Кинетические кривые имеют, как правило, линейный вид; в тех случаях, когда это условие не строго соблюдается, начальная скорость получена экстраполированием кривой зависимости скорости от времени к началу момента ( $t = 0$ ).

В ряду первичных аминов парафинового ряда, нормального строения метиламин дает комплекс, активность которого равна 160. Однако при сопоставлении активностей, соответствующих другим аминам этого ряда, получается картина конкуренции двух факторов: активирующего действия, которое производит наращивание углеродной цепи, и угнетающего действия, обусловленного ростом стерических препятствий. Поэтому снижение активности, вызванное заменой метила на этил, компенсируется почти полностью у амиламина (см. табл. 1).

Таблица 1

## Адденд : Первичные амины

Название	Каталитическая активность
Метиламин . . . . .	160
Этиламин . . . . .	31,5
Бутиламин . . . . .	60
Амиламин . . . . .	150

По аналогичным причинам и разветвление цепи у изобутиламина приводит к резкому снижению активности. Если сравнить активности комплексных соединений, содержащих в качестве аддендов следующие амины

$C_6H_5 - CH_2 - NH_2$ . . . . .	63
$CH_3 - CH_2 - NH_2$ . . . . .	31,5
$C_6H_5 - CH_2 - CH_2 - CH_2 - NH_2$ . . . . .	90
$CH_3 - CH_2 - CH_2 - CH_2 - NH_2$ . . . . .	60

то делается ясным, что замещение метила на фенил приводит к активации. Вместе с тем очевидно, что с ростом длины цепи, т. е. выходом части молекулы адденда далеко за пределы первой координационной сферы, относительная роль цепи как стерического фактора уменьшается; амиламины имеют активность, почти равную активности метиламина (160 и 150).

Нет оснований полагать, что активность просто пропорциональна длине цепи. Опыты с некоторыми высокомолекулярными аминами, дающими правда, очень неустойчивые комплексы, скорее заставляют думать, что существует определенная оптимальная длина цепи, с превышением которой активность начинает опять уменьшаться.

Увеличение числа замещающих групп в аминах приводит к своеобразным результатам. Диметиламин дает слабоактивный комплекс, медленно реагирующий с перекисью водорода, так что легко удается наблюдать промежуточные продукты.

Активность этого комплекса равна двум; следовательно, появление в комплексе около иона меди восьми метильных радикалов настолько затрудняет реакцию, что активность снижается в 80 раз.

Относительный эффект замещения у этиламина гораздо слабее: активность диэтиламинового соединения равна 15 (т. е. имеем снижение лишь в два раза сравнительно с этиламином). Здесь уже имеются значительные стерические препятствия, обуславливающие пятикратное по сравнению с метиламином понижение активности.

Переходя к этаноламинам, мы встречаемся с общим понижением активности, связанным с появлением атомов кислорода в координационной цепи. Активности этаноламина и диэтаноламина близки и равны соответственно 2,0 и 2,7.

Однако триэтаноламинный комплекс дает значительно большую активность (приблизительно 12). Эта группировка, повидимому, является специфической.

Роль кислорода в координационной сфере в наиболее чистом виде выясняется сравнением активностей метиламина (160) и альфаметилгидроксиламина (80). Если уменьшить число атомов азота в координационной сфере, перейдя, например, к внутрикомплексным соединениям, образуемым аминокислотами, то падение активности делается очень резким. Табл. 2 дает представление о степени снижения активности в этих случаях.

Таблица 2

Роль кислорода в координационной сфере комплексного иона

Название	Каталитическая активность
Метиламин . . . . .	160
$\alpha$ -Метилгидроксиламин . . . . .	80
Аланин . . . . .	0,001
$\beta$ -Аминомасляная кислота . . . . .	2,5
$\beta$ -Аминовалериановая кислота . . . . .	0,7

Важнейшим источником активации является образование циклов, включающих пон-комплесообразователь. Здесь, как и в других случаях, наивысшая активность достигается тогда, когда прочность цикла делается наименьшей. Переход от этилендиамина к триметилендиамину соответствует увеличению активности почти в 20 раз, и еще в 8 раз возрастает активность при введении метилов (но не этилов) к азоту. В диметилтриметилендиаmine мы имеем сильнейший активатор каталазной функции. Активность его медного комплекса превышает активность аммиакатов. Вместе с тем это — комплекс нестойкий и легко разлагается перекисью водорода, если не добавить в раствор некоторого избытка амина.

Дальнейшее удлинение метиленовой цепи сильно снижает активность. Соответствующие комплексы (например, с гексаметилендиамином) не содержат циклических группировок (см. табл. 3).

Таблица 3

Адденд: Диамины

Название	Каталитическая активность
Этилендиамин . . . . .	5,0
Триметилендиамин . . . . .	91,0
Диметилтриметилендиамин . . . . .	800
Гексаметилендиамин . . . . .	25

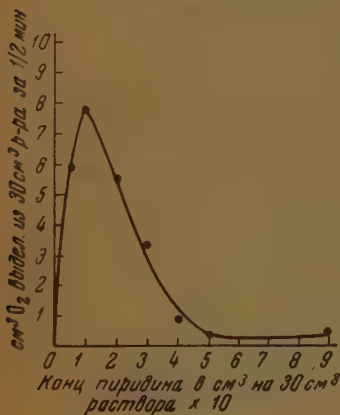
Пиридин дает активный комплекс, очень чувствительный к избытку пиридина, т. е. легко «закрывающийся» (см. рисунок). Его активность равна 80. Введение метила — переход к пиколину — снижает активность в 8 раз.

Переход к пиперидину соответствует падению активности почти в 70 раз. Чувствительность активного соединения к структурным изменениям здесь определенным образом локализована. Особенно чувствительной точкой является аминный азот, воздействием на который мы в наших «модельных» катализаторах можем очень сильно изменять активность комплекса.

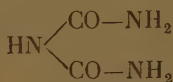
Возможно, что эту формулировку надлежит расширить в том смысле, что все изменения, происходящие внутри координационной сферы комплекса в непосредственной близости к центральному иону, сильно отражаются на активности. Таково, например, действие атома водорода в пиридиновом комплексе; введение атома водорода снижает активность пиридинового соединения приблизительно в 80 раз.

Можно полагать, что реакция распада перекиси водорода совершается по рекомбинационному механизму, именно в том реакционном пространстве, которое соответствует первой координационной сфере, и поэтому все факторы, затрагивающие состояние этой сферы, сильно влияют на активность. Однако, помимо этого, следует обратить внимание на существование особых высокоактивных структур из таких совокупностей атомов, которые, конечно, нельзя разместить в непосредственной близости к иону металла. К таким структурам относятся прежде всего комплексы, образуемые диаминами и биуретом.

Исследованный нами комплекс с биуретом (амид аллофановой кислоты) показал активность, превосходящую все измеренные нами активности до сих пор; она лежит около 1000. Комплекс очень непрочен, а избыток биурета в растворе снижает активность. Во всяком случае группа



Зависимость активности меднопиридинового комплекса от концентрации пиридина  $[Cu^{2+}] = 0,055 \text{ мг/30 см}^3$   $[H_2O_2] = 0,1N$



должна быть признана наиболее мощным катализным активатором иона меди. Но переход к триурету уже вызывает падение активности [1].

Эти активные структуры обладают тем характерным свойством, что введение в них каких-либо заместителей способно сразу очень резко изменить величину активности. Так, в диаминах включение метиленовой группы увеличивает активность в 18 раз, а метилирование при азоте — еще в 10 раз.

Среди биологически важных веществ типа ферментов, витаминов, гормонов и т. п. это явление резкого колебания активности иногда выражено столь сильно, что можно говорить о симбатности величин активности и активированности. С физико-химической точки зрения это означает, что в этих веществах изменение состояния в одном месте молекулы способно изменить состояние удаленных частей сложной молекулы, т. е. способно «транслироваться» на значительные расстояния.

Чувствительность активных соединений железа даже к незначительным структурным изменениям такова, что активность легко изменяется в 100 раз (метилование карбоксильной группы гемина по Кюстеру, присоединение гидроксила вместо хлора при переходе от гемина к гематину



и т. д.). Эта чувствительность еще более возрастает при переходе к наиболее активной структуре — ферменту каталазе, активность которой изменяется в  $10^5$  раз при адсорбции ионов ртути на белке каталазы, при действии следов окислов азота и. т. п.

Важно, что при таких инактивирующих воздействиях мы не наблюдаем постепенного плавного снижения активности, а обычно резкий скачок ее сразу на много порядков. Это дает повод думать, что развитие природных активных биокатализаторов шло не столько путем их постепенного активирования, сколько путем отбора тех из них, которые способны сразу активироваться при надлежащем воздействии на определенные элементы их структуры.

Активируемость структуры есть важный фактор биохимического эволюционного отбора, и можно полагать, что из множества разнообразных соединений, возникающих в разные периоды, когда жизнь была представлена лишь простейшими формами, именно наиболее активируемые структуры обладали наивысшей биохимической ценностью.

Процесс биологической эволюции должен был достигать наибольшей интенсивности как раз у тех организмов, у которых жизненно важные катализаторы состояли из сильно активируемых соединений. И не случайно именно у организмов, достигших высокой степени развития, мы находим в числе биокатализаторов, регулирующих важнейшие жизненные процессы, комплексные соединения железа и меди, у которых активируемость особенно велика.

В связи с этим приобретает интерес вопрос об активности и активируемости комплексных соединений того же типа (т. е. с теми же аддендами), но содержащих другие металлы.

Нами были изучены некоторые соединения цинка, кадмия, кобальта и серебра. Малая активность соединений кобальта с координационным числом 6 уже отмечалась. Цинк также склонен давать комплексы с координационным числом шесть. За недостатком места мы приводим лишь краткий обзор данных, относящихся к цинку и кадмию.

Аммиакаты цинка обладают ясно выраженной каталазной активностью. Их активность гораздо меньше, чем у меди, и поэтому приходится употреблять довольно большие (сравнительно) концентрации катализатора. Комплекс с пиридином, легко образующийся при добавлении пиридина к раствору сульфата или ацетата цинка, также обладает каталазной активностью, меньшей, чем активность аммиаката цинка.

Оба комплекса устойчивы только в присутствии избытка адденда в растворе; при недостатке амина комплексы разлагаются с выделением белого осадка перекисных соединений. Во всем этом легко видеть полную аналогию с поведением соответствующих медных комплексов. Активности пиридинового и бутиламинового комплекса меди почти совпадают; у цинка бутиламин дает более активное соединение. Пиколиновый комплекс у цинка, так же как и у меди, крайне непрочен и уже через 5 мин. после начала реакции с перекисью обнаруживает признаки разложения. Его активность, как и у меди, меньше активности пиридинового и бутиламинового соединения. Таким образом, хотя, вследствие симметричного строения и иной природы центрального иона абсолютные активности в данном случае очень малы, общий тип изменения активности здесь тот же, что и у меди. Однако амплитуда колебаний величины активности у цинка в десятки раз меньше, чем у меди. Цинковые комплексы, следовательно, являются в смысле влияния на их каталазную функцию менее чувствительными, труднее активируемыми, чем медные. Что касается соединений кадмия, то слабая каталазная активность ацетата кадмия отмечалась еще в работе К. Златарова [4].

Мы исследовали каталазную активность аммиакатов, комплексов с пиридином и тиомочевинной. Точно так же, как и у меди, аммиакаты оказались активными, а комплекс с тиомочевинной совершенно неактивным.

Последний, кроме того, заметно разлагается в растворах перекиси водорода. Аммиакаты устойчивы в растворе перекиси лишь в присутствии очень большого количества аммиака ( $10 \text{ см}^3 25\% \text{ NH}_4\text{OH} + 60 \text{ см}^3$  раствора перекиси водорода). Комплекс с пиридином непрочен, но его активность (как и у меди) значительно меньше таковой аммиаката. Следовательно, и здесь распределение величин активности по различным аддендам совпадает с распределением, характерным для меди.

Аммиачные и аминные комплексы серебра отличаются крайней неустойчивостью в растворах перекиси водорода; даже в присутствии избытка аммиака они разлагаются перекисью и образуют пероксиды серебра. Последние сами по себе очень активны, вследствие этого указание Эйлера [5], что каталазная активность аммиаката серебра исключительно высока, следует относить именно к этим пероксидам, а не к комплексному соединению.

К индивидуальным особенностям серебра относятся следующие данные. По исследованию Жоба [6] константа диссоциации комплексного аммиачно-серебряного иона равна  $2,75 \cdot 10^{-8}$ , т. е. почти в 200 раз больше таковой для  $\text{Cu}(\text{NH}_3)_4$  ( $5 \cdot 10^{-10}$ ). Еще легче диссоциируют комплексы с диметиламином ( $1,23 \cdot 10^{-6}$ ) и с этилендиамином ( $10^{-5}$ ), причем в этом случае в комплексе не образуется цикл, характерный для комплексов меди с диаминами, содержащими менее 5 атомов углерода.

Из этих весьма ограниченных данных нельзя, разумеется, делать заключения, что комплексобразование не способно вообще значительно активировать ионы цинка, кобальта и т. д. Наоборот, известны указания на наличие комплексно связанных цинка, марганца, хрома, а возможно и других ионов, в составе некоторых ферментов; однако исключительную роль меди и железа в генезисе ферментных систем, выполняющих ответственные функции, целесообразно сопоставить с высокой каталитической активностью и активируемостью их азотсодержащих комплексов.

В заключение рассмотрим вопрос об энергии активации катализированного распада перекиси водорода.

Комплексные соединения меди с аминами можно с известным приближением рассматривать, как «медные» модели фермента каталазы. Однако их активность приблизительно на два порядка ниже, чем активность фермента. Представляет большой интерес выяснить, что собственно является причиной относительно низкой активности модели: величина энергии активации или стерический фактор.

Определение энергии активации в реакциях, вызываемых медными комплексами, затрудняется тем обстоятельством, что при низких ( $0^\circ$ — $10^\circ \text{ C}$ ) температурах резко возрастает стойкость промежуточных продуктов, образуемых катализатором с перекисью водорода.

Второе обстоятельство касается тщательной очистки растворов перекиси водорода от пыли и других гетерогенных примесей; весьма малое количество пыли, попавшее в раствор во время измерения активности, может совершенно исказить результат. Ионы металлов, как нами было показано, способны сильно активироваться при адсорбции на частицах пыли. Поэтому был применен специальный прибор, дающий возможность удалять пылевидные частицы из растворов перекиси и тех солей, которые применялись как катализаторы.

В результате ряда измерений для некоторых комплексов меди были найдены следующие величины энергии активации в том температурном интервале, в котором выполняется уравнение Аррениуса (табл. 4).

Для сравнения укажем, что для каталазы энергия активации составляет около 6600.

У исследованных комплексов нет прямой связи между энергией активации и активностью; так, аммиакаты гораздо более активны, чем метиламиновый комплекс, характеризующийся большей энергией активации.

Таким образом, различие в активностях как между отдельными комплек-

Таблица 4

Название адденда	Энергия активации адденда	Исследованный температурный интервал, °C
Аммиак . . . . .	9500	19—40
Гликоколь . . . . .	5600	18—28
Этиловый эфир гликоколя . . . . .	7000	18—44
Этаноламин . . . . .	9800	12—24
Триэтаноламин . . . . .	4000	12—24
Метиламин . . . . .	5500	16—26

и, так и между ферментами и их моделями в значительной мере должно быть отнесено на счет пространственных факторов. Вместе с тем близкие значения энергии активации у медных комплексов и каталазы оправдывает трактовку аминных комплексов именно как моделей фермента.

### Выводы

1. В комплексных органических соединениях меди каталитическая активность существенно зависит от природы адденда. Высокой катализной активностью обладают аминные комплексы. Простые амины обнаруживают изменение активности вместе с ростом длины углеродной цепи. Метил- и этиламин отклоняется от этого правила вследствие сравнительно меньших стерических препятствий. Фенил обладает более сильным активирующим действием, чем метил.

2. Наличие кислородных атомов в первой координационной сфере повышает активность. Внутрикомплексные соединения, содержащие два атома азота, и карбоксилы в координационной сфере обнаруживают очень высокую активность.

3. Комплексы с пиридином крайне чувствительны к избытку адденда в растворе; вхождение адденда на 5-е и 6-е место в координационной сфере (перехватные комплексы) соответствует падению активности.

4. В каталитически активных комплексных соединениях изменение состояния в первой координационной сфере очень сильно сказывается на величине активности.

5. Если адденд представляет собой сложную молекулу, то лишь часть ее располагается в первой сфере, относительное увеличение стерических препятствий для внедрения молекулы субстрата (перекиси водорода) в первую сферу уменьшается по мере того, как увеличивается общий объем молекулы комплексного иона. Поэтому гексаметилендиамин, лишь «одним концом» соединенный с медью, дает комплекс немногим менее активный, чем этиламин.

6. Введение специфически действующих групп —  $\text{NH}_2$ , —  $\text{OH}$ ,  $\text{CH}_2$  —, —  $\text{COOH}$ , —  $\text{COOC}_2\text{H}_5$ , —  $\text{CONH}_2$  отражается на активности не только тогда, когда эти группы попадают в первую сферу, но и когда они входят в сравнительно удаленные части молекулы.

7. Особенный интерес представляют те адденды, в которых изменение состояния в одной части молекулы сильно сказывается на активности несмотря на то, что часть молекулы, подвергшаяся изменению, не лежит непосредственной близости к центральному иону-комплексобразователю.

Существуют специфические структуры, дающие высокоактивные комплексы, — это полиметилениаминаминовые и биуретовые комплексы. Они очень чувствительны к изменениям состояния, и их активность резко падает при метилировании, введении в цепь метиленовых групп и т. п.



8. В этом отношении сильно активируемые комплексы напоминают биокатализаторы, в которых часто незначительное изменение в одной части молекулы (например, отщепление иона водорода) сильно изменяет свойства молекулы (например, ее спектр поглощения).

9. Способность комплексных соединений металлов активировать под влиянием введения в их молекулу специфически действующих групп зависит не только от природы адденда, но и от металла; наибольшей активируемостью обладают комплексы меди и железа.

10. Различие в активностях между ферментом каталазой и ее «модельными» моделями в значительной мере сводится к различию в пространственных, геометрических факторах, которые у фермента в большей мере благоприятствуют реакции распада перекиси, чем у модели.

Московский институт  
инженеров транспорта  
имени И. В. Сталина

Поступила  
4.VII.1950

#### ЛИТЕРАТУРА

1. Л. А. Николаев, Вестн. Моск. унив., № 2, 105, 1946; № 1, 70, 1947; № 7, 147, 1947; № 6, 83, 1948; Журн. физ. хим., 19, 323, 1945.
2. Л. А. Николаев, Всесоюзн. конф. по катализу, Тезисы, стр. 35, 1947.
3. Л. А. Николаев, Методы изучения катализаторов, Акад. Наук СССР, 1948, стр. 297.
4. К. Златаров, Успехи биол. химии, 13, 31, 1937.
5. Euler u. Joseffson, Sitz.-Ber. Akad. d. Wiss., II, B, 138, 1922.
6. P. Job. Ann. d. Chem., 9, 114, 1927.

# ПАССИВНОСТЬ СПЛАВОВ НИКЕЛЯ С ЖЕЛЕЗОМ И ХРОМОМ В ЩЕЛОЧНЫХ РАСТВОРАХ

Л. М. Волčkова, Л. Г. Антонова и А. И. Красильщиков

Высокая устойчивость анодно работающего никеля в достаточно концентрированных растворах щелочи позволяет выделить его из среды остальных технических металлов и поставить наряду с благородными металлами, например с платиной. В связи с этим представляло интерес выяснить, сохраняется ли анодная устойчивость никеля в растворах щелочи также и в его сплавах с другими металлами, в первую очередь, железом и хромом.

Таблица 1

Материал анода	Никель	Хром	Железо	Марганец	Кремний	Сера	Фосфор	Углерод	Алюм.
	В процентах								
Э-334	76,9	20,1	1,94	0,88	0,56	0,01	0,02	0,13	0,06
ЭН-60	57,74	16,17	23,74	0,97	1,20	0,013	0,020	0,15	—
Э-3С	25,10	18,70	53,12	0,51	2,16	0,010	0,018	0,38	—
Э-1	8,45	17,42	72,19	0,35	0,72	0,012	0,018	0,14	—
Э-20	0,10	0,16	98,85	0,47	0,16	0,035	0,016	0,11	—
Э-10	—	97,61	1,74	—	0,58	—	0,06	0,04	—

Вопросам пассивности железа и его сплавов с хромом и никелем посвящено большое число исследований [1—9]. Анодному поведению никеля в щелочи были посвящены наши предыдущие работы [10, 11].

Настоящая работа посвящена изучению анодного поведения различных сплавов никеля с железом и хромом в щелочных растворах. Исследование проводилось в 0,1 и 5,0 N растворах химически чистой калиевой щелочи при 80° С методом снятия поляризационных кривых. Методика измерения была сохранена прежняя [10, 11]. В качестве исследуемых сплавов были использованы различные железохромоникелевые и железо-хромоникелевые сплавы. Потенциалы анодов на графиках выражены против нормального водородного электрода.

## Железохромоникелевые сплавы

Исследования были проведены на четырех сплавах, близких по содержанию хрома и отличающихся по содержанию никеля. Состав исследуемых материалов приведен в табл. 1. Полученные результаты приведены на рис. 1 и 2. Из рассмотрения рисунков следует, что поведение сплавов ЭН-1, ЭН-3С и ЭХН-60 аналогично. На поляризационных кривых наблюдается резкая зависимость поведения этих анодов от концентрации щелочи. В то время как в 0,1 N растворе аноды быстро пассивируются, в 5,0 N растворе они до некоторой плотности тока остаются активными. На поляризационных кривых резко различаются три ветви: первая ветвь

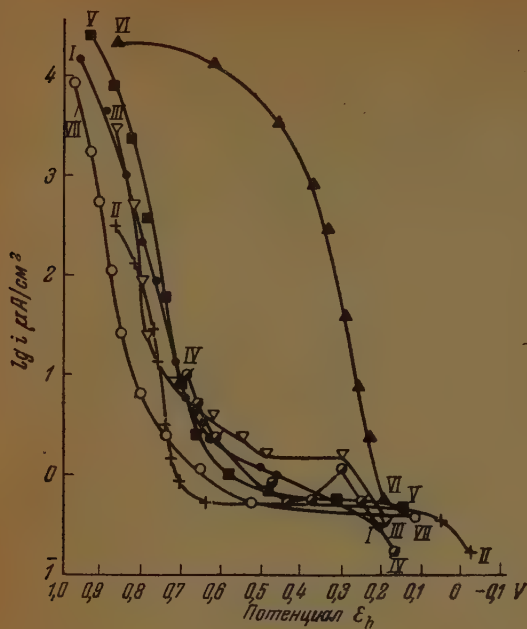
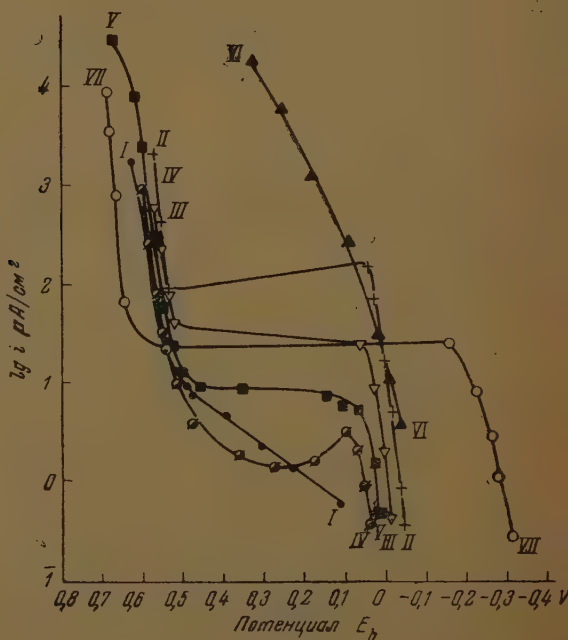


Рис. 2. Электролит 5N KOH, насыщенный воздухом,  $t=80^{\circ}\text{C}$ . I—никель; II—ЭЯ-1; III—ЭЯ-3С; IV—ЭИ-334; V—ЭХН-60; VI—хром; VII—сталь-20





етствует процессу перехода металла в раствор, вторая — его пассивации, и третья ветвь отражает выделение кислорода. Из рассмотрения этих следует, что предельная плотность тока перехода металла в раствор в 5 N КОН уменьшается по мере повышения содержания никеля в сплаве (табл. 2).

несколько отлично ведет себя анод из ЭИ-334. Следует отметить, что ЭИ-334 представляет, в сущности, хромоникелевый сплав, так как содержание железа в нем не превышает 2%. Однако, несмотря на то что в этом сплаве содержится около 77% никеля, в начале поляризации наблюдается переход металла в раствор.

Для выяснения вопроса, за счет какого компонента следует отнести неустойчивость сплавов, поляризационные кривые были сняты кроме сплава никеля и сплавов также и из обычной углеродистой стали 20 и хрома. Хром по своему поведению при анодной поляризации резко отличается от остальных исследованных анодов. Кривые поляризации для хрома как в 0,1, так и в 5 N растворе идут почти вертикально, с малыми изменениями потенциала. Прямой и обратный ход кривой почти полностью совпадают. Такой ход кривой указывает на весьма малую поляризацию электрода: хром почти количественно переходит в раствор.

Для 5 N щелочи все аноды, за исключением хрома, близки между собой. Для 5 N раствора в начале поляризации наблюдается разброс кривых, характеризующий различное поведение анодов в этих условиях. На рисунке ясно видно, что ни один из сплавов, за исключением ЭИ-334, не приближается по своему поведению к никелю. Следует отметить также, что на аноде из стали 20 перенапряжение выделения кислорода выше, чем на всех остальных металлах.

Ввиду того что влияние железа и хрома в тройном сплаве может проявляться различным содержанием никеля, представлялось целесообразным выяснить отдельно влияние различных количеств никеля в сплавах на его устойчивость в сплавах с железом.

### Железоникелевые сплавы

В качестве анодов были взяты железоникелевые сплавы ЭН-5, ЭН-25 и ЭН-46. Их состав приведен в табл. 3.

Таблица 3

Материал анода	Никель	Хром	Железо	Марганец	Кремний	Сера	Фосфор	Углерод
	В процентах							
ЭН-5	46,57	—	52,75	6,34	0,43	—	—	0,02
ЭН-25	25,0	3,0	71,65	0,40	0,25	—	—	0,3
ЭН-46	4,63	0,06	94,18	0,41	0,23	0,016	0,018	0,15

Результаты, полученные на железоникелевых сплавах, представлены на поляризационных графиках, рис. 3 и 4. По ходу кривых и по данным табл. 4 видно, что аноды из железоникелевых сплавов также легче пассивируются.

руются в 0,1 N растворе щелочи, чем в 5 N. Характер кривых и их взаимное расположение указывают на сходство различных анодов в 0,1 N щелочи между собой и с никелем. Однако, начиная с плотности тока, поряд

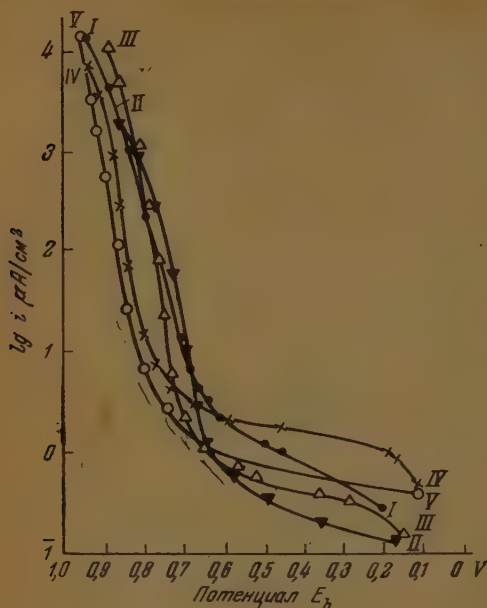
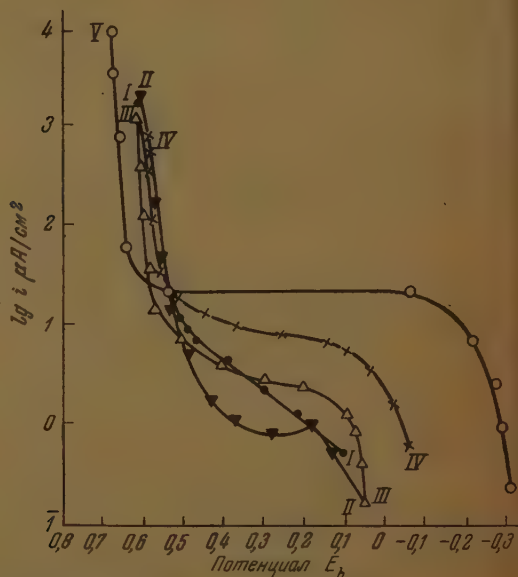


Рис. 3. Электролит 0,1 N KOH, насыщен воздухом,  $t = 80^\circ\text{C}$ . I — никель; II — ЭН-46; III — ЭН-25; IV — ЭН-5; V — сталь-20

Рис. 4. Электролит 5 N KOH, насыщен воздухом  $t = 80^\circ\text{C}$ . I — никель; II — ЭН-46; III — ЭН-25; IV — ЭН-5; V — сталь-20



$2,5 \cdot 10^{-3} \text{ A/cm}^2$ , анод ЭН-5 становится неустойчивым и разрушается с образованием местных очагов коррозии.

Кривые для никелистых сплавов в 5 N растворе имеют совсем иной ход. Если проследить за ходом кривых для электродов, начиная от жидкого и кончая никелевым, рис. 4, то становится ясным облагораживающее действие никеля в сплавах.

Потенциал анода ЭН-5, как видно на рис. 4, резко сдвигается в сторону положительных значений, и характер поляризационной кривой вызывает на более легкую пассивируемость анода ЭН-5 по сравнению с железом. Анод ЭН-25, как можно судить по ходу поляризационной кривой, довольно близко подходит к никелю, хотя до плотности тока  $1,5 \cdot 10^{-6}$  А/см<sup>2</sup>, повидимому, происходит переход металла в раствор. Наиболее близким к никелю является, естественно, анод из ЭН-46. Начиная с плотности тока  $1,0 \cdot 10^{-6}$  А/см<sup>2</sup>, анод ЭН-46 пассивируется. При высоких плотностях тока все три анода в 5 N растворе щелочи сохраняют свою устойчивость.

Аналогия в анодном поведении анода ЭН-46 и никеля подтверждает также и тем, что углы наклона участка кривой, отражающей процесс выделения кислорода на аноде ЭН-46, весьма близки к углам наклона кривой для никеля. Это обстоятельство заставляет предположить, что механизм выделения кислорода на никеле и аноде из ЭН-46 является логичным.

### Выводы

1. Проведено исследование анодов из железохромоникелевых сплавов ЭН-5, ЭН-25 и ЭН-46 в 5 N растворе едкого калия при 80° С. На основании полученных данных установлено, что железохромоникелевые аустенитные стали устойчивы на аноде в концентрированной щелочи при 80° С. Причиной устойчивости является хром, который в чистом виде при анодной поляризации в щелочных растворах количественно переходит в раствор.
2. Хром, обуславливающий пассивность нержавеющей сталей в окислительных средах, резко уменьшает их способность к пассивации в щелочных средах.
3. Проведено исследование железоникелевых сталей на аноде в 0,1 N растворе едкого калия при 80° С. Способность никеля пассивироваться в щелочных растворах передается также и его сплавам с железом. Добавка 5% никеля (сплав ЭН-5) оказывает облагораживающее действие на железо, хотя этот сплав еще не является полностью устойчивым при больших плотностях тока в разбавленном растворе. Сплавы с содержанием 25 и 46% никеля по своей устойчивости в щелочных растворах близки к никелю.

Москва

Поступила  
28. VII. 1950

### ЛИТЕРАТУРА

1. Г. В. Акимов и Г. Б. Кларк, ДАН, 45, 399, 1944.
2. Г. В. Кларк и Г. В. Акимов, Тр. 2-й конф. по корр. мет., 2, 33, 1943.
3. Б. П. Артамонов и А. И. Шульгин, Тр. 2-й конф. по корр. мет., 2, 86, 1943.
4. В. В. Скорчелетти и А. И. Шульгин, Корр. и борьба с ней, 4, 114, 1938.
5. Ф. Ф. Химушин, Нержавеющие, кислотоупорные и жароупорные стали, Металлургиздат., стр. 159, 319, 1945.
6. Б. Н. Кабанов, Журн. физ. хим., 20, 995, 1946.
7. В. Н. Кабанов и Д. И. Лейкис, ДАН, 58, 1685, 1947.
8. П. А. Изгарышев, Исследования в области электродных процессов, 1914.
9. В. А. Кистяковский, Электрохимические реакции и электродные потенциалы, 1910.
10. Л. М. Волчкова и А. И. Красильщиков, Журн. физ. хим. 23, 441, 1949.
11. Л. М. Волчкова, Л. Г. Антонова и А. И. Красильщиков, Журн. физ. хим., 23, 714, 1949.



## К ТЕОРИИ СОВМЕСТНОГО ДЕЙСТВИЯ КАТАЛИЗАТОРОВ В РАСТВОРЕ

### IV. КИНЕТИКА КАТАЛИЗА $\text{H}_2\text{O}_2$ В ПРИСУТСТВИИ $\text{AgNO}_3 + \text{Na}_2\text{WO}_4$

*Г. А. Богданов и А. И. Пастухова*

Каталитическое разложение перекиси водорода производилось газометрически, по скорости выделения кислорода. Скорость катализа  $v$  изображалась графически, как функция концентрации реагирующего вещества  $c$ . На оси ординат откладывалась скорость реакции в г-экв. на литр в минуту, а на оси абсцисс — концентрация перекиси водорода

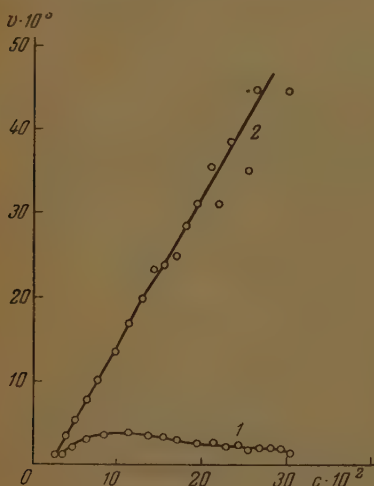


Рис. 1

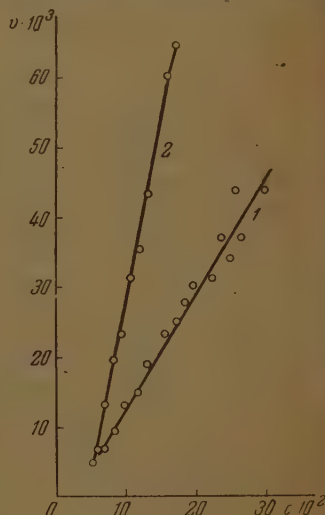


Рис. 2

в г-экв. на литр. Оказалось, что один нитрат серебра не катализирует процесс распада  $\text{H}_2\text{O}_2$  в кислой и нейтральной среде; раствор представляет гомогенную, бесцветную фазу.

На рис. 1 кривая 1 отвечает катализу  $\text{H}_2\text{O}_2$  под влиянием одного вольфрамата натрия, кривая 2 соответствует объединенному действию вольфрамата натрия и нитрата серебра. Опыты выполнены в условиях нейтральной среды при  $c_{\text{W}} = 0,00834 \text{ M}$ ,  $c_{\text{Ag}} = 0,0167 \text{ M}$ ,  $c_{\text{H}_2\text{O}_2} = 0,31 \text{ M}$ ,  $t = 25^\circ\text{C}$ . Кривая 1 имеет максимум, между тем как кривая 2 — совместного действия катализаторов — подчиняется уравнению первого порядка с достаточно постоянной константой скорости, равной  $0,167$ . Константа скорости вычислена из соотношения  $k = \frac{v}{c}$ . Как видно, прибавление нитрата серебра, совершенно не катализирующего разложение  $\text{H}_2\text{O}_2$ , к вольфрамату натрия вызывает не только очень сильное увеличение скорости реакции, но и резко изменяет характер кинетики.

ских кривых. Уже это одно указывает на различные механизмы течения обоих каталитических процессов.

Как было доказано ранее одним из нас, максимум кинетических кривых в идеальном катализе обусловлен образованием двух различных промежуточных соединений [1]. Наблюдаемый первый порядок в присутствии объединенного действия  $\text{AgNO}_3$  и  $\text{Na}_2\text{WO}_4$  может быть определен возникновением одного активного промежуточного продукта.

С качественной стороны реакционная смесь в присутствии нитрата серебра и вольфрамата натрия оставалась от начала до конца катализа гомогенной. В реакционной смеси образуется осадок светложелтого цвета, и лишь после практически полного разложения перекиси водорода цвет осадка становится белым.

На рис. 2 представлены результаты опытов с различными концентрациями соли серебра при постоянных всех остальных факторов, влияющих на скорость катализа:  $t = 25^\circ\text{C}$ ,  $c_{\text{H}_2\text{O}_2} = 0,31 \text{ N}$ ,  $c_{\text{W}} = 0,00834 \text{ M}$ , для кривой 1 концентрация соли серебра  $c_{\text{Ag}} = 0,0167 \text{ M}$ , а для кривой 2 концентрация соли серебра в два раза меньше —  $c_{\text{Ag}} = 0,004175 \text{ M}$ .

Обе кривые соответствуют реакции первого порядка. Уменьшение концентрации катализатора должно было бы уменьшить скорость реакции, однако кривая 2 лежит гораздо выше кривой 1.

В условиях катализа, отвечающих кривой 1, в реакционной смеси образовался светложелтый осадок, который после разложения  $\text{H}_2\text{O}_2$  становится белым. Отсюда следует наиболее вероятный вывод, что в данных условиях катализ осуществляется через образование некоторого довольно нестойкого промежуточного продукта. Предположение об образовании адсорбционных соединений мало вероятно на основании характера кинетических кривых, который имеет мало сходства с изохромами адсорбции.

Оказывается, что при концентрации  $c_{\text{Ag}} = 0,004175 \text{ M}$  в реакционной смеси образовался золь серебра. С этим связано резкое увеличение скорости реакции, несмотря на уменьшение концентрации катализатора. Катализ золем серебра осуществляется более интенсивно, чем при образовании промежуточного продукта.

Следующая серия опытов посвящена изучению температурной зависимости.

На рис. 3 кинетические кривые 1, 2 отвечают температурам, соответственно равным  $15^\circ\text{C}$  и  $25^\circ\text{C}$  при  $c_{\text{H}_2\text{O}_2} = 0,31 \text{ N}$ ,  $c_{\text{Ag}} = 0,004175 \text{ M}$ ,  $c_{\text{W}} = 0,00834 \text{ M}$ . При обеих температурах имел место золь серебра. Температурный коэффициент и энергия активации не остаются постоянными на протяжении всей реакции; они постепенно понижаются по мере уменьшения концентрации  $\text{H}_2\text{O}_2$ . При концентрации  $c_{\text{H}_2\text{O}_2} = 0,30 \text{ N}$  температурный коэффициент равен 4,4 и энергия активации равна 5,3 ккал, а при концентрации субстрата, в два раза меньшей, равной  $0,15 \text{ N}$ , температурный коэффициент и энергия активации уменьшились почти вдвое: 2,3 и 14,2 ккал. Постепенное изменение температурного коэффициента и энергии активации по мере течения реакции

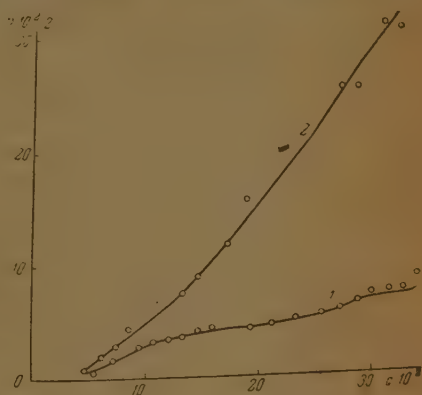


Рис. 3

обусловлено не только некоторым изменением порядка реакции в связи с изменением температуры, но и изменением механизма процесса. Это важнейшее положение было на целом ряде случаев непосредственно доказано одним из нас [2].

На рис. 4 представлены результаты опытов при полном отсутствии золь серебра и при наличии в реакционной смеси светложелтого осадка, которым, как указывалось, осуществляется катализ. Кинетические кривые 1, 2 отвечают температурам, соответственно равным 15, 25°C. Температурный коэффициент катализа в этих условиях равен 2,1 и энергия активации равна 12,6 ккал.

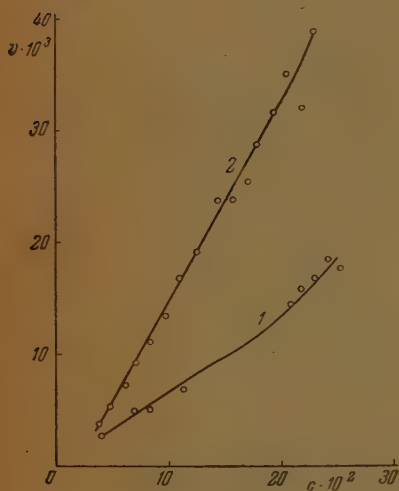


Рис. 4

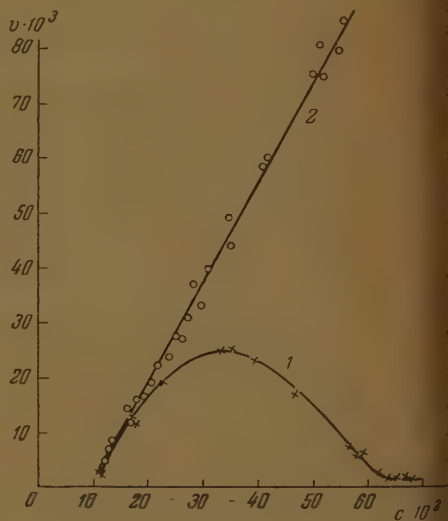


Рис. 5

Как видно, изменение температурного коэффициента и энергии активации, действительно, связано с механизмом самого процесса.

Исследовано повторное действие субстрата на катализаторы при  $c_{Ag} = 0,004175 M$ ,  $c_W = 0,00834 M$ ,  $c_{H_2O_2} = 0,68 N$ ,  $t = 15^\circ C$ . На рис. 5 кинетическая кривая 1 отвечает первичному взаимодействию катализаторов с субстратом. Скорость реакции постепенно увеличивается, достигая максимума, после которого она постепенно падает, подобно тому как это имеет место при автокаталитических реакциях. Вначале при взаимодействии катализаторов с субстратом золь серебра почти нет, затем его количество постепенно увеличивается, и скорость реакции при этом тоже увеличивается. Уменьшение скорости реакции после максимума связано с уменьшением концентрации  $H_2O_2$ . При вторичном прибавлении перекиси водорода, после практического окончания первичной реакции, когда в реакционной смеси образовался золь серебра от первичного опыта, скорость катализа непрерывно падает по уравнению первого порядка; первый порядок передает кривая 2 на рис. 5. Полученные результаты вполне согласуются с опытными данными, представленными на рис. 2.

На рис. 6 приведена кинетическая кривая, отвечающая повторному действию субстрата на катализаторы, при  $c_W \approx 0,00834 M$ ,  $c_{Ag} = 0,004175 M$ ,  $c_{H_2O_2} = 0,65 N$ ,  $t = 15^\circ C$ . Как видно, скорость реакции постоянна на весьма значительном протяжении, между тем в первичном опыте она все время падает. В этих опытах, в отличие от опытов, представленных



рис. 5. золь серебра как в первичной, так и во вторичной реакциях существовал.

При первичном действии перекиси водорода образовался светложелтый осадок, который в самом конце реакции становится белым. Состав этого осадка, как показали проведенные анализы, отвечает приблизительно формуле  $\text{Ag}_2\text{WO}_4$ . Таким образом в данных условиях катализует некоторый промежуточный продукт светложелтого цвета.

При вторичном прибавлении к реакционной смеси  $\text{H}_2\text{O}_2$ , после практически полного разложения перекиси в первичном опыте, появляется снова желтоватый осадок, менее интенсивно окрашенный, чем в первичном опыте. От повторного действия субстрата вновь получается промежуточный продукт, но в меньшем количестве. Его образование идет

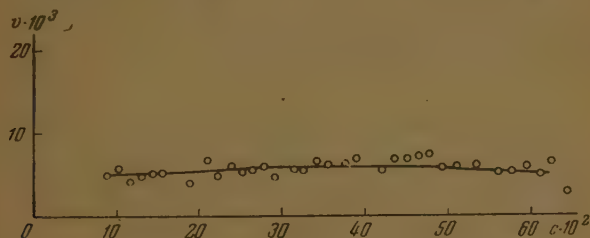


Рис. 6

по схеме:  $Q + S \rightleftharpoons M$ , где  $Q$  — белый продукт, в состав которого входят катализаторы,  $S$  — перекись водорода,  $M$  — промежуточный продукт. При избытке перекиси водорода  $S$  концентрация промежуточного продукта  $m$  постоянна; но скорость катализа  $v$  при отсутствии золя серебра определяется концентрацией промежуточного продукта, т. е.  $v = km$ , где  $k$  — константа распада промежуточного вещества, характеризующая степень его неустойчивости. Если  $m = \text{const}$ , то и  $v = km = \text{const}$ . Наблюдаемое малое абсолютное значение скорости реакции в повторном опыте объясняется малым значением  $m$ .

Итак, каталитическое разложение перекиси водорода при совместном действии вольфрамата натрия и нитрата серебра производится золем серебра и посредством некоторого промежуточного соединения. В зависимости от условий может возникать или промежуточное соединение перекисного характера, в состав которого входят серебро, вольфрам и кислород, или же серебро может находиться в реакционной смеси в виде золя, и светложелтого осадка вовсе не образуется\*.

Последний этап исследования состоял в поисках предполагаемого промежуточного продукта. Выделение его в чистом виде при непосредственном взаимодействии вольфрамата серебра и перекиси водорода, как и следовало ожидать на основе кинетических данных, не привели к желаемым результатам. Однако в полном согласии с данными кинетики установлено, что на поверхности твердой фазы возникает весьма нестойкое перекисное соединение.

Естественное всего пытаться выделить предполагаемый промежуточный продукт, действуя при низкой температуре на  $\text{H}_2\text{O}_2$  катализаторами в той последовательности, в какой они вносились в реакционную смесь при изучении кинетики катализа.

10 мл 30%  $\text{H}_2\text{O}_2$  охлаждается до  $-10^\circ\text{C}$  и к ним прибавляется 8 мл почти насыщенного раствора  $\text{Na}_2\text{WO}_4$  охлаждаемого приблизительно до  $0^\circ\text{C}$ . Затем к этой смеси прибавляется небольшими порциями концентрированный раствор  $\text{AgNO}_3$  при возможно быстром охлаждении

\* Или же одновременно образуются промежуточный продукт и золь серебра.

смеси сухим льдом. Тотчас же выпадает осадок желтоватого цвета. Осадок отфильтровывается при отсасывании насосом на стеклянном фильтре, охлаждаемом снаружи сухим льдом, промывается несколько раз последовательно сильно охлажденными этиловым спиртом и эфиром и анализируется. Количество перекисного кислорода определялось газометрически: полученный продукт, около 0,15—0,35 г, помещается в стеклянную тугоплавкую пробирку длиной около 8 см и диаметром приблизительно 0,6 см. Открытый конец пробирки быстро соединяется с газовой бюреткой и содержимое подвергается разложению при постепенном нагревании пробирки до 200—300°C.

Сухой остаток, полученный после удаления перекисного кислорода, взвешивается и обрабатывается при кипячении азотной кислотой. После обработки остатка азотной кислотой, раствор отфильтровывается. Количество серебра в растворе определяется титрованием  $\text{NaCl}$ , твердый осадок прокаливается и взвешивается полученный  $\text{WO}_3$ .

Результаты анализа приводят к формуле  $\text{Ag}_2\text{WO}_6$ . Полученный продукт до сих пор не был описан в литературе. Он оказался весьма неустойчивым на воздухе и в воде. При комнатной температуре он в течение нескольких минут разлагается с выделением перекисного кислорода и образованием  $\text{Ag}_2\text{WO}_4$ . Цвет  $\text{Ag}_2\text{WO}_6$  имеет светложелтый. При рассматривании на холоду в поляризационный микроскоп ясно видны кристаллы. Наличие кристаллизационной воды в нем не устанавливалось. Выделение нового перекисного соединения явилось следствием предложенного механизма процесса и служит непосредственным доказательством справедливости исходных положений.

Опыты по выделению первовольфрамата серебра попутно выяснили возможность получения перекисей реакциями обмена. Новый первовольфрамат серебра получен реакцией обмена в растворе нитрата серебра с первовольфрамом натрия, возникающего, как было доказано ранее одним из нас, при взаимодействии  $\text{H}_2\text{O}_2$  и  $\text{Na}_2\text{WO}_4$  [3].

В заключение мы выражаем искреннюю признательность профессору Б. М. Беркенгейму, который при обсуждении этого исследования проявил исключительное внимание.

### Выводы

1. Установлено, что нитрат серебра не катализирует процесс распада  $\text{H}_2\text{O}_2$  в кислой и нейтральной среде; между тем прибавление  $\text{AgNO}_3$  к вольфраму натрия очень резко увеличивает скорость катализа и изменяет порядок реакции.

2. Доказано, что каталитическое разложение  $\text{H}_2\text{O}_2$  в присутствии  $\text{AgNO}_3$  и  $\text{Na}_2\text{WO}_4$  осуществляется золем серебра и образующимся при этом промежуточным соединением. Золь серебра производит гораздо большее каталитическое действие, чем при распаде  $\text{H}_2\text{O}_2$  с образованием промежуточного вещества. Реакция, катализируемая как золем серебра, так и промежуточным соединением, подчиняется уравнению первого порядка.

3. Данные кинетического анализа приводят к заключению об образовании общего промежуточного продукта перекисного типа, состоящего из серебра, вольфрама и кислорода. Поиски предполагаемого промежуточного продукта привели к открытию нового перекисного соединения. Разработана методика его получения и установлен его состав.

Москва

Поступила  
2.X.1950

### ЛИТЕРАТУРА

1. Г. А. Богданов, Журн. физ. хим., 25, 61, 1951.
2. Г. А. Богданов, Журн. физ. хим., 24, 1450, 1950.
3. Г. А. Богданов, Журн. физ. хим., 25, 49, 1951.

## ОБ ОСОБЕННОСТЯХ В ТЕМПЕРАТУРНОЙ ЗАВИСИМОСТИ НЕКОТОРЫХ ТЕРМОДИНАМИЧЕСКИХ ФУНКЦИЙ ПОВЕРХНОСТНЫХ СЛОЕВ ЖИДКОСТЕЙ

*П. М. Четаев*

Рассматриваемый вопрос представляет интерес в связи с возможностью получить дополнительные данные о характере перехода свойств поверхностных (и вообще пограничных) слоев к свойствам их объемных жидких фаз.

Литературные данные по вопросу о соотношении структур поверхностных слоев и объемных фаз жидкостей противоречивы. Так, Адам [1] и ряд других авторов считают, что переход от свойств поверхностных слоев к свойствам их объемных фаз совершается скачком. В противоположность этой точке зрения многие авторы полагают, что этот переход осуществляется на расстояниях, во много раз превышающих размеры молекул.

Например, Б. В. Дерягин [2] из величины эффекта расклинивающего действия поверхностных слоев нашел, что их толщина для отдельных жидкостей достигает нескольких десятых долей микрона.

Данные, имеющиеся в литературе и устанавливающие упорядоченность структуры жидкости при температурах, близких к точкам плавления [3,4], показывают, что изменение температуры должно изменять структурные соотношения поверхностных слоев и объемных фаз жидкостей. Очевидно, что изменения структурных соотношений поверхностных слоев жидкостей и их объемных фаз, в свою очередь, должны отразиться на значениях соответствующих термодинамических функций поверхностных слоев. Последние в своей температурной зависимости должны отразить эту изменчивость структурных соотношений поверхностных и объемных фаз с температурой.

В наших предыдущих сообщениях [5,7] мы показали, что в температурной зависимости поверхностного натяжения вблизи точек фазовых превращений жидкостей постоянство температурного коэффициента поверхностного натяжения не имеет места. Кроме того, нам удалось показать [6], что в некоторых случаях аналогичный эффект может быть обнаружен и для объемных свойств (например, коэффициента преломления света). Характер обнаруженных нами явлений (для бензола) был описан раньше [5, 6] и представлен на прилагаемом графике (рис. 1) температурной зависимости поверхностного натяжения (нижняя кривая) и коэффициента преломления света (верхняя кривая).

Исходя из результатов наших измерений поверхностного натяжения, мы произвели соответствующие расчеты некоторых термодинамических функций поверхностных слоев — сгущения поверхностной энтропии, полной энергии поверхности и удельной теплоемкости поверхности.

На рис. 2 представлена зависимость температурного коэффициента поверхностного натяжения бензола, как функция от температуры. Значения температурного коэффициента даны как в условных показаниях прибора, так и в абсолютных величинах.

Из графика функции  $\frac{\Delta\gamma}{\Delta T} = f(T)$  совершенно отчетливо виден характер изменения этой функции с температурой. Так как  $-\frac{d\gamma}{dT} = \eta_s$ , где  $\eta_s$  —

сгущение поверхностной энтропии, то эта функция является выражением температурной зависимости сгущения поверхностной энтропии вблизи точек фазовых превращений жидкостей.

Обращает внимание близость расположения резких максимумов и минимумов на кривой к температурным точкам взаимных превращений структур жидких фаз. Столь же отчетливо видно стремление обеих этих величин ( $-\frac{d\gamma}{dT}$  и  $\eta_s$ ) к нулю в точках взаимного превращения жидких фаз, что уже ранее оценивалось нами [5, 7] как свидетельство наступающей энергетической тождественности структур поверхностного слоя и объемных фаз жидкости.

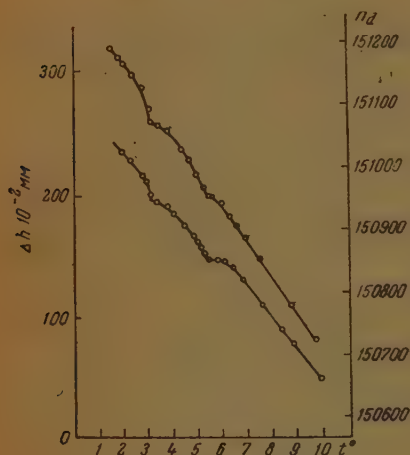


Рис. 1

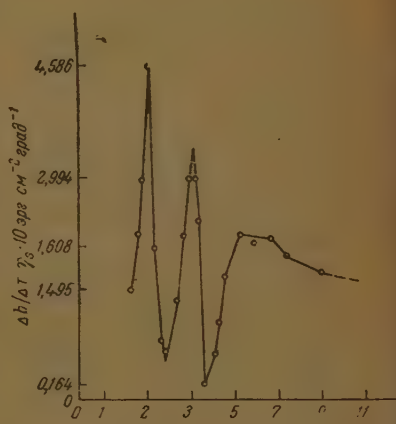


Рис. 2

Стремление к нулю, для поверхностного сгущения энтропии в точках взаимного превращения структур жидких фаз, должно выражать достижение предельной предкристаллизационной степени упорядочения поверхностных слоев жидкости, близкой к таковой в кристаллической фазе вещества.

Как видно из графика зависимости от температуры величины полной энергии поверхности  $E_s = \gamma - T \frac{\Delta\gamma}{\Delta T}$  (рис. 3), значение ее также резко падает к точкам взаимных превращений структур жидких фаз и стремится для них к значению величины свободной поверхностной энергии, что мы уже раньше отмечали в анализе особенностей кривых  $\gamma = f(t)$ .

Это также является свидетельством установления «предкристаллизационной» структуры поверхностного слоя жидкости и находится в согласии с экспериментальными данными о том, что при отсутствии посторонних зародышей кристаллизация расплавов начинается с пограничного слоя.

Характерным является резкое возрастание полной энергии поверхности при переходе к переохлаждению, т. е. при температурах, близких к точкам фазовых превращений, с последующим падением значения величины к следующим точкам превращений (структурных или фазовых). По абсолютному значению максимумы отвечают величине полной энергии поверхности, в 2—3 раза превышающей ее значение для нормального (непереохлажденного) состояния.



На основании приведенных данных легко может быть рассчитана и удельная теплоемкость поверхностного слоя, что позволяет сделать некоторые выводы о характере происходящих структурных изменений поверхностного слоя.

На рис. 4 приведена графическая зависимость удельной теплоемкости поверхностного слоя как функция от температуры  $C_s = f(T) = \frac{\Delta \epsilon_s}{\Delta T}$ .

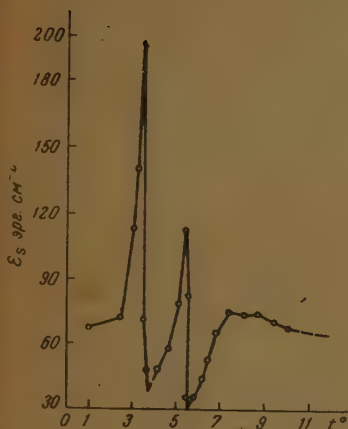


Рис. 3

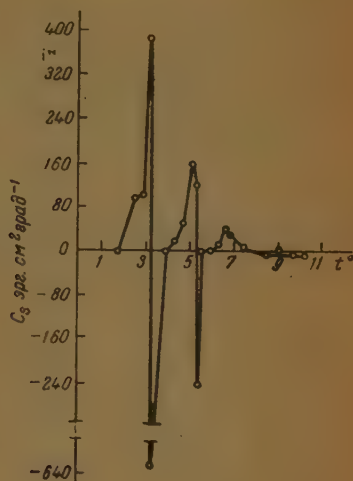


Рис. 4

Из графика следует, что:

1) Удельная теплоемкость поверхности увеличивается при понижении температуры и достигает максимума вблизи точки фазового превращения (со стороны высоких температур). Это свидетельствует о более быстром росте сил сцепления, т. е. о большем упорядочении в поверхностном слое по сравнению с объемной фазой.

2) При дальнейшем понижении температуры, по мере приближения ее к фазовой точке, удельная теплоемкость поверхности падает и в непосредственной близости от нее сохраняет нулевое значение до момента начала переохлаждения. Это равенство нулю удельной теплоемкости поверхности в некотором интервале температур свидетельствует об энергетической тождественности структур поверхностного слоя и объемных фаз жидкости в этом же интервале.

3) Дальнейшее понижение температуры, т. е. переход к переохлажденному состоянию, связано с резким падением  $C_s$  до больших отрицательных значений. Из этого следует, что падение сил сцепления происходит резче для поверхностных слоев, чем для объемных фаз жидкости. Иначе говоря, структурные превращения жидкости сопряженно проявляются и в ее поверхностных (пограничных) слоях.

4) Последующее понижение температуры приводит к резкому увеличению  $C_s$  до значительных положительных значений и связано с резким возрастанием сил сцепления в поверхностном слое вблизи новой точки структурного превращения, т. е. с большей степенью упорядоченности поверхностных слоев по сравнению с объемной фазой.

Далее, с понижением температуры к следующей точке взаимного превращения структур жидкостей  $C_s$  снова падает до нуля в этой точке. В отличие от точки, отвечающей температуре плавления стабильной

формы, в этой и других температурных точках превращений, значение  $C_s$  проходит через нулевое значение. Наконец, при последующем понижении температуры описанный характер изменения сохраняется и перед точкой наступающего фазового превращения (кристаллизации).

Таким образом, подытоживая все сказанное о зависимости  $C_s = f(T)$ , можно отметить:

а)  $C_s$  достигает максимального значения вблизи точек структурных (или предстоящих фазовых) превращений со стороны высоких температур.

б)  $C_s$  падает до нуля вблизи точки плавления вещества и проходит через нулевое значение при всех других структурных (фазовых) превращениях структур жидкостей.

в)  $C_s$  проходит через отрицательные значения в области переохлажденного состояния перед точками предстоящих структурных превращений.

г) Кривая  $C_s = f(T)$  как в области положительных значений величины, так и в области отрицательных значений, имеет вид типичных  $\lambda$  точек, характеризующих фазовые превращения 2-го рода.

Обращает внимание глубокое сходство данной кривой (кроме наличия области отрицательных значений) с кривой температурной зависи-

мости теплоемкости переохлажденных жидкостей [8], что еще раз доказывает природу обнаруженных нами явлений, как фазовых превращений 2-го рода.

Правильность приведенного истолкования подтверждается сравнением вида кривой  $C_s = f(T)$ , данной на рис. 4, с кривой температурной зависимости температурного коэффициента преломления света  $\frac{\Delta n_0}{\Delta T} = \varphi(T)$ , представленной на рис. 5. Это сходство легко объясняется, если учесть, что поверхностное натяжение жидкостей и коэффициент преломления света прямо связаны с третьим, наиболее фундаментальным свойством жидкости — ее плотностью.

На основании приведенного можно утверждать, что температурная зависимость тепловых функций поверхностных слоев наглядно характеризует происходящие с температурой изменения структурных соотношений поверхностных слоев и объемных фаз жидкостей.

В заключение выражаю признательность академику П. А. Ребиндеру и профессору А. Б. Таубману за ряд советов при выполнении этой работы.

### Выводы

1. На основании измерений температурной зависимости поверхностного натяжения бензола рассчитаны термодинамические функции его поверхностного слоя — сгущения полной поверхностной энергии, поверхностной энтропии и удельной теплоемкости поверхности.

2. Показано, что зависимость этих функций от температуры позволяет установить связь между превращениями структур объемных фаз

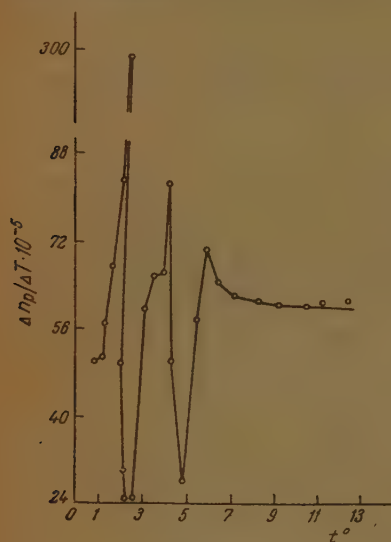


Рис. 5

очках фазовых превращений жидкости и процессами изменения ана-  
личных структур в поверхностных слоях.

Харьков

Поступила  
22. XI. 1950

#### ЛИТЕРАТУРА

- Н. К. Адам, Физика и химия поверхностей, 1948.  
В. Дерягин, Журн. физ. хим., 3, 29, 1932; Изв. АН СССР, сер. хим., 5,  
119, 1937; ЖЭТФ, 16, 179, 1946  
В. И. Данилов, Рассеяние рентгеновых лучей в жидкостях, 1935.  
П. А. Ребиндер, Исследование в области поверхностных явлений, 1936.  
С. Уразовский и П. М. Четаев, ДАН, 67 № 1, 101, 1949.  
С. Уразовский и П. М. Четаев, ДАН, 67, № 2, 313, 1949.  
С. Уразовский и П. М. Четаев, Журн. физ. хим. 23, 1421, 1949.  
С. Уразовский и И. А. Сидоров, ДАН 70, № 5, 859, 1950.

## ИССЛЕДОВАНИЕ КАТАЛИТИЧЕСКОГО ОКИСЛЕНИЯ АММИАКА

М. В. Поляков, В. И. Уризко и Н. П. Галенко

В ряде лабораторных исследований [1—3] было установлено для каталитического окисления аммиака в окись азота существование оптимальных температуры и длительности контактирования воздушно-аммиачной смеси с катализатором — платиновой сеткой.

При температурах ниже оптимальной и чрезмерно больших скоростях газового потока выход окиси азота падает из-за проскока аммиака, а при температурах выше оптимальной и чрезмерно малых скоростях газового потока значительная часть аммиака превращается не в окись азота, а в азот.

В нескольких исследованиях была установлена линейная связь между оптимальными для выхода окиси азота температурой и длительностью контактирования воздушно-аммиачной смеси с катализатором. Были предложены эмпирические формулы для этой зависимости [4, 5].

В ряде работ было обнаружено аномальное влияние примесей на выход окиси азота. Например, весьма малые примеси сероводорода в неоптимальных для окиси азота условиях повышают этот выход на 5—6% [6] и даже на 20—30% [7]. При этом наблюдается смещение оптимумов в сторону более низких температур (с 800 до 700°C).

В нескольких исследованиях [8, 9] были выделены промежуточные продукты, например: имид, гидроксилламин, азотистая и азотная кислоты.

Приведенные, а также аналогичные им, закономерности и факты легли в основу различных гипотез о механизме каталитического окисления аммиака. Здесь можно упомянуть лишь о схемах с гетерогенно-гомогенным механизмом реакции, поскольку именно эти схемы особенно тесно связаны с приведенными закономерностями и фактами.

Согласно одной схеме [10, 11], на поверхности катализатора происходит разложение аммиака до имида и окисление освобождающегося при этом водорода в воду. В неоптимальных для выхода окиси азота условиях, при чрезмерно высоких значениях температуры и длительности контактирования, имеет место также гетерогенное превращение имида в азот; только своевременное испарение имида в объем содействует (при оптимальных условиях) гомогенному превращению его в гидроксилламин по схеме  $\text{NH} + \text{H}_2\text{O} \rightarrow \text{NH}_2\text{OH}$ , а затем через ряд промежуточных стадий в окись азота.

Согласно схеме Маркова [12], образующийся на поверхности катализатора атомарный кислород дает в оптимальных условиях с аммиаком сначала гидроксилламин, а затем окись азота и воду:



В неоптимальных же условиях гидроксилламин диффундирует с поверхности объема, где приводит к выделению элементарного азота. При чрезмерно высоких значениях температуры и длительности контактирования это происходит до катализатора (диффузия гидроксилламина против газового потока), а при низких значениях этих параметров — за катализатором.

Приведенные схемы базируются на опытных данных по выделению гидроксилламина [13], который при низких давлениях за катализатором гомогенно превращается в азот и воду, но и в азотистую, а затем в азотную кислоты. Это обстоятельство говорит в пользу первой схемы, согласно которой гетерогенно образуется имид, а не гидроксилламин.

Серьезным обоснованием правильности той или иной схемы служил тот факт, что дефиксация азота в неоптимальных условиях не обуславливается разложением окиси азота на поверхности катализатора; в нашей лаборатории были подтверждены данными других авторов, согласно которым это разложение протекает примерно в 200 раз медленнее процесса дефиксации азота.

Возможность повышения выхода окиси азота в неоптимальных условиях при помощи ядов, например сероводорода, также указывала на вероятность гетерогенного



огенного механизма окисления аммиака. Яд отравляет наиболее активные центры поверхности, на которых аммиак разлагается до азота, и таким путем содействует азотанию имида, превращающегося затем гомогенно в окись азота. В связи с изложенным выше вопрос о реальности оптимальных условий приобрел значительный интерес, тем более что этот вопрос на протяжении многих лет был предметом дискуссии.

Некоторые исследователи [14—16] утверждали, что наблюдаемые оптимумы являются следствием других, побочных причин, а не разложения окиси азота или аммиака поверхностью катализатора.

Основной задачей данного исследования было выяснение вопроса о оптимальности отмеченных в литературе оптимумов температуры и времени контактирования при окислении аммиака до окислов азота.

### Методика исследования

На рис. 1 показана схема установки, применявшейся нами для изучения каталитического окисления аммиака в окись азота кислородом воздуха при помощи платиновых сеток с диаметром в 0,8, 1,4 и 1,8 см. Число отверстий на 1 см<sup>2</sup> сетки равнялось

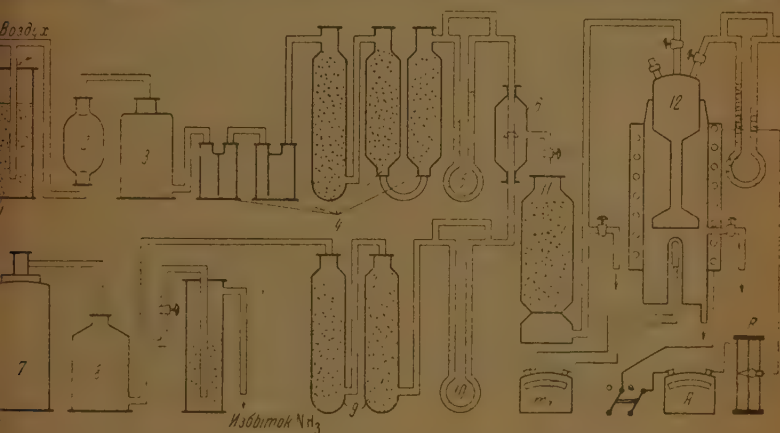


Рис. 1. Схема установки для каталитического окисления аммиака

регулятор, 2 — противодавление с активированным углем, 3 — буферная бутылка, 4 — склянка с кислотой (олеум), ловушка, колонны с NaOH и CaCl<sub>2</sub>, 5 — реометр, 6 — смеситель, баллон с жидким аммиаком, 8 — буферная бутылка, 9 — колонна с NaOH, 10 — реометр, 11 — смеситель, 12 — контактный аппарат

Концентрация аммиака в воздушно-аммиачной смеси колебалась в пределах 8—10%.

Контактный аппарат состоял из кварцевой трубки длиной в 21 см и диаметром 1 см, окруженной обогревательной спиралью и тепловой изоляцией. В эту трубку вставлялась другая трубка длиной в 12,5 см, на конце которой прикреплялась платиновая сетка определенного диаметра. Температуру в контактном аппарате регулировали при помощи электрообогрева и измеряли платино-платинородиевой термобатом, которая находилась в кварцевом футляре и помещалась на расстоянии 1 мм от поверхности сетки в центральной ее части. Такой способ измерения температуры реагирующей и выходящей через сетку газов в значительной степени исключал искажения, обычно неизбежные в связи с разогревом газов не только за счет внешнего нагрева, но и за счет теплоты сильно экзотермической реакции.

Определение содержания аммиака и окиси азота в газовой смеси производилось обычным способом по методу эвакуированных колоб Гайера. Способ подачи, отсчета и измерения аммиака и воздуха не требует описания; он ясен из приведенной на рис. 1 схемы установки. Следует только добавить, что небольшие количества сероводорода и других газов подавались в контактный аппарат через специальный реометр.

### Результаты работы и их обсуждение

Зависимость выхода окиси азота от температуры и скорости газового потока получалась на платиновых сетках диаметром в 0,8; 1,4 и 1,8 см в интервале температур 310—1040° и объемных скоростей 18—360 л/час.

Для иллюстрации найденных закономерностей на рис. 2 сопоставлена серия кривых зависимости выхода окиси азота от температуры при объемных скоростях газового потока от 18 до 360 л/час. Диаметр сетки был равен 1,4 см. Аналогичные серии кривых были получены для указанной зависимости на сетках диаметром в 0,8 и 1,8 см.

Из рис. 2 видно следующее: 1) с повышением температуры выход окиси азота сначала растет, достигает оптимума при температурах порядка

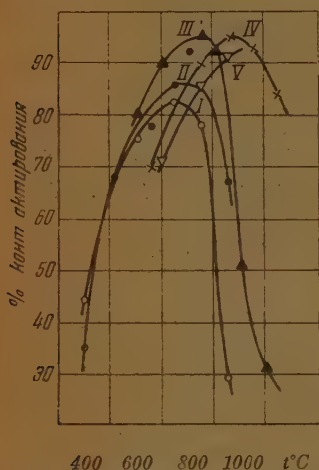


Рис. 2. Зависимость выхода окиси азота от температуры и скорости потока аммиачно-воздушной смеси. Диаметр сетки 1,4 см

I — скорость потока 0,3 л/мин., II — скорость потока 0,5 л/мин., III — скорость потока 1,0 л/мин., IV — скорость потока 3,0 л/мин., V — скорость потока 6,0 л/мин

750—850°C; а затем падает; 2) с увеличением скорости газового потока оптимумы смещаются в сторону более высоких температур. Закономерный характер этого смещения виден из рис. 3, на котором дан

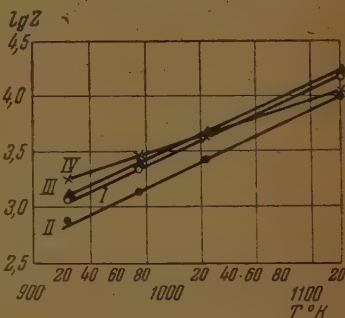


Рис. 3. Зависимость оптимальной длительности контактирования реакционной смеси с катализатором от температуры. Диаметр сетки 1,4 см

I — по формуле Атрошенко, II — по формуле Борескова, III — по формуле Андрусова, IV — по формуле Либинсона

ные рис. 2 представлены в координатах  $\lg z - T^{\circ}\text{K}$ , где  $z$  — длительность контактирования, а  $T$  — абсолютная температура. Значения были рассчитаны по четырем формулам, предложенным В. И. Атрошенко, Г. К. Боресковым, Андрусовым и И. М. Либинсоном. Диаметр сетки 1,4 см.

На рис. 4 и 5 приведены две серии прямых, полученных с платиновыми сетками диаметром 1,8 и 0,8 см. В этих случаях имеет место линейная связь между оптимальными  $\lg z$  и  $T$ . Прямые для  $z$ , рассчитанных по формуле И. М. Либинсона, имеют углы наклона, отличающиеся от углов наклона прямых, для которых  $z$  рассчитывался по формулам В. И. Атрошенко, Г. К. Борескова и Андрусова.

На рис. 6 сопоставлены прямые, рассчитанные по формуле В. И. Атрошенко для сеток трех различных диаметров: 0,8; 1,4 и 1,8 см. Мы видим, что угол наклона прямой для сетки диаметром в 1,4 см резко отличается от почти одинаковых углов наклона прямых для сеток диаметром в 0,8 и 1,8 см. Этот факт привел к заключению, что в возникновении оптимумов играют роль не только температура и длительность контактирования, но и квадратные стенки сосудов, поскольку сетки диаметром в 0,8 и 1,8 см изучались в одном сосуде, а сетки диаметром в 1,4 см — в сосуде с большей величиной поверхности стенок.

В связи с изложенным значительный интерес приобретает рис. 7, в котором показана зависимость выхода окиси азота от линейной скорости газового потока при температурах 650, 750, 850 и 950° для сеток диаметром 0,8 и 1,8 см в одном и том же сосуде. Сплошные части кривых относятся к сетке диаметром 0,8 см, а пунктирные — к сетке диаметром 1,8 см.

Мы видим, что сплошные и пунктирные части составляют целые кривые, характерные для зависимости выхода  $\text{NO}$  от длительности контактирования; на эту зависимость явно не влияют размеры сетки. Следовательно, изменение наклона прямой для сетки в 1,4 см (рис. 6) также обуславливается не размерами сетки, а величиной поверхности прилегающих к стенке внутренних трубок реакционного сосуда; эти стенки в определенных условиях явно участвуют в реакции, содействуют превращению аммиака в азот, обуславливая при высоких температурах и малых скоростях газового потока (рис. 2 и 7) возникновение оптимумов.

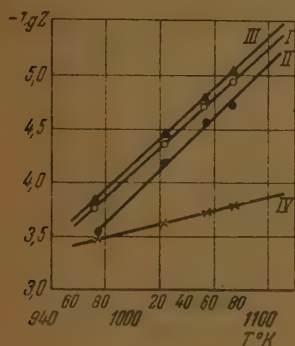


Рис. 4. Зависимость оптимальной длительности контактирования реакционной смеси с катализатором от температуры. Диаметр сетки 0,8 см

I — по формуле Атрощенко, II — по формуле Борескова, III — по формуле Андрусова, IV — по формуле Либинсона

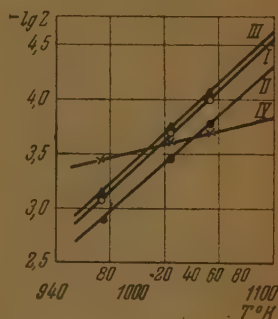


Рис. 5. Зависимость оптимальной длительности контактирования реакционной смеси с катализатором от температуры. Диаметр сетки 1,8 см

I — по формуле Атрощенко, II — по формуле Борескова, III — по формуле Андрусова, IV — по формуле Либинсона

Предварительно был проведен ряд опытов, целью которых было выяснение роли разложения окиси азота в наблюдаемой в неоптимальных условиях дефиксации азота. Была изучена зависимость степени разложения окиси азота от температуры при скорости газового потока 7 л/час/см<sup>2</sup> на сетке диаметром 1,8 см; смесь содержала 8% окиси азота, 2% воздуха, а также 8% окиси азота и 92% азота.

Опыт показал, что повышение температуры с 800 до 1100°C приводит к росту степени распада окиси азота от 0,4 до 8% и что, следовательно, этот распад не может быть причиной дефиксации азота в неоптимальных условиях каталитического окисления аммиака: степень этой дефиксации в указанном интервале температур достигает 70—90%.

Таким образом, наши опыты подтвердили правильность данных других исследователей [16], делавших вывод о невозможности объяснения причины возникновения оптимумов распадом окиси азота.

Правильность предложенного в настоящей работе объяснения этой причины была проверена в большой серии опытов, посвященных изучению разложения аммиака в трубках, свободных от катализатора, и в условиях загрязнения стенок этих трубок небольшими количествами примеси сероводорода в качестве яда. Мы предполагали таким путем не только вскрыть причину возникновения оптимумов, но и выяснить механизм повышения выхода окиси азота на 5—6% [6] и даже на 20—30% [7], при помощи больших примесей яда — сероводорода. Мы полагали, что это повышение выхода окиси азота является следствием снижения дефиксаций аммиака на стенках кварцевого сосуда благодаря отравлению этих стенок сероводородом.

Однако до начала указанных опытов было обнаружено, что удаление сетки из реакционного сосуда не обеспечивает полного удаления из него платины; последняя в распыленном состоянии покрывает значительную часть стенок, обуславливая примерно 40—50% активности катализатора: выход окиси азота после удаления сетки снижается с 91—95% до 40—50%.

Этот факт вскрывает механизм активации платинового катализатора на протяжении многих часов, достигаемой путем пропускания через сосуд реакционной смеси при температурах порядка 700—800° С.

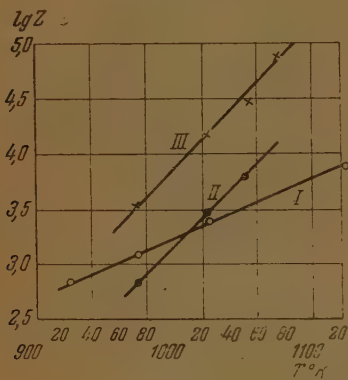


Рис. 6. Сопоставление кривых I рис. 3, 4 и 5, рассчитанных по формуле Атрошенко.

Диаметры сеток: 1,4; 1,8 и 0,8 см. Расчет (2) произведен по формуле Атрошенко: I для сетки  $d=1,4$  см, II — для сетки  $d=1,8$  см, III — для сетки  $d=0,8$  см.

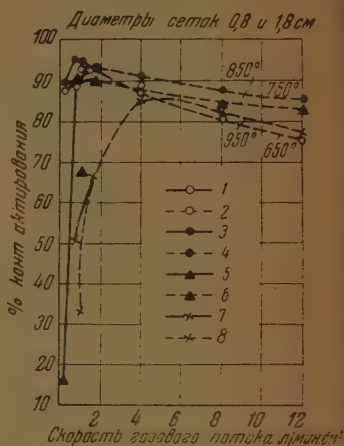


Рис. 7. Зависимость выхода окиси азота от линейной скорости потока реакционной смеси при температурах 650, 750, 850 и 950° С.

Диаметры сеток 0,8 и 1,8 см. 1 — 650° на сетке 1,8 см, 2 — 650° на сетке 0,8 см, 3 — 750° на сетке 1,8 см, 4 — 750° на сетке 0,8 см, 5 — 850° на сетке 1,8 см, 6 — 850° на сетке 0,8 см, 7 — 950° на сетке 1,8 см, 8 — 950° на сетке 0,8 см.

Механизм активации катализатора явно не ограничивается изменением структуры или величины поверхности платиновой сетки. В процессе активации часть стенок сосуда покрывается распыленной платиной, что неизбежно ведет к значительному увеличению поверхности катализатора и, что не менее важно, к уменьшению поверхности стенок, участвующих в дефиксации аммиака и в снижении выхода окиси азота.

Иллюстрацией того, что происходит при полном удалении платины многократной обработкой сосуда парской водкой и кипящей дистиллированной водой, является кривая II рис. 8, описывающая зависимость разложения аммиака от температуры в свободном от платины сосуде (скорость газового потока 1 л/мин).

Это разложение (10—20%) заметно идет уже при температурах ниже 500° С и доходит почти до 100% при температурах порядка 1000° С.

Кривая I того же рисунка показывает зависимость выхода окиси азота от температуры при тех же условиях и в том же сосуде при каталитическом окислении аммиака при помощи платиновой сетки. Сопоставление обеих кривых приводит к заключению, что правая ветвь кривой I является следствием дефиксации аммиака до азота с участием поверхности стенок кварцевой трубки, свободной от распыленной платины. Именно эта платина является причиной снижения дефиксирующего влияния стенок сосуда в сравнении с тем, что получается в некаталитических условиях ведения процесса (кривая II). Что же касается левой ветви кривой I, то она связана, главным образом, с проскоком аммиака, уве-



пьющимся при снижении температуры. Надо полагать, что даже в оптимальных условиях мы никогда не имеем стопроцентного окисления аммиака в окись азота потому, что небольшая часть его превращается с участием стенок сосуда в азот, а часть проскакивает через сетку.

Из рис. 9 и 10 видно, что разложение аммиака в сосуде, свободном от платины, имеет вполне закономерный характер. На рис. 9 приведена зависимость процента разложения аммиака от температуры для скоростей воздушно-аммиачной смеси 0,5 л/мин (кривая I), 2 л/мин (кривая II) и 4 л/мин (кривая III), а на рис. 10 — зависимость процента разложения аммиака от скорости воздушно-аммиачного потока при температурах 500°C (кривая I), 700°C (кривая II) и 800°C (кривая III).

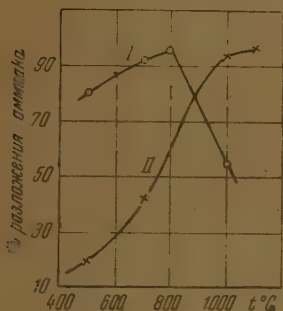


Рис. 8. Сопоставление кривой зависимости выхода окиси азота от температуры (I) с кривой зависимости степени разложения аммиака от температуры (II). Объемная скорость газового потока 1 л/мин, диаметр сетки 1,4 см. I — окисление  $\text{NH}_3$ , II — разложение  $\text{NH}_3$ .

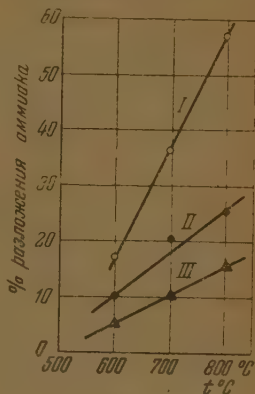


Рис. 9. Зависимость степени разложения аммиака с участием стенок кварцевого сосуда от температуры при объемной скорости газового потока воздушно-аммиачной смеси 0,5 л/мин (кривая I), 2,0 л/мин (кривая II) и 4,0 л/мин (кривая III). Поверхность стенок 52 см<sup>2</sup>. I — 0,5 л/мин, II — 2,0 л/мин; III — 4,0 л/мин.

Удовлетворительная воспроизводимость опытов по разложению аммиака хорошо видна из сопоставления кривой II рис. 8 и кривой I рис. 9. Эти кривые были получены в разное время разными сотрудниками.

На рис. 11 показана зависимость процента разложения аммиака от температуры при двух скоростях газового потока азото-аммиачной смеси (8% аммиака). Кривая I относится к объемной скорости 0,5 л/мин, а кривая II — к скорости 2 л/мин.

Сопоставление данных рис. 11 и 9 приводит к заключению об участии сероводорода аммиачно-воздушной смеси в экзотермическом окислении аммиака до азота; это повышает интенсивность разложения аммиака в несколько раз в сравнении с тем, что дает разложение аммиака в присутствии азота.

На рис. 12 сопоставлены две кривые зависимости разложения аммиака от температуры в сосуде, свободном от платины; кривая I была получена в условиях отсутствия сероводорода, а кривая II — при наличии примеси того каталитического яда. Скорость аммиачно-воздушного потока в обоих опытах была равна 2 л/мин. Из рис. 12 видно, что ничтожно малая примесь сероводорода снижает разложение аммиака больше чем в два раза. Сероводород явно отравляет поверхность стенок кварцевого сосуда, уча-

ствующих в этом процессе. Не трудно представить себе, к чему должно привести отравление стенок сосуда сероводородом при каталитическом окислении аммиака в окись азота. В этих условиях сероводород, препятствуя разложению аммиака стенками сосуда и содействуя попаданию его на поверхность катализатора, должен повышать выход окиси азота.

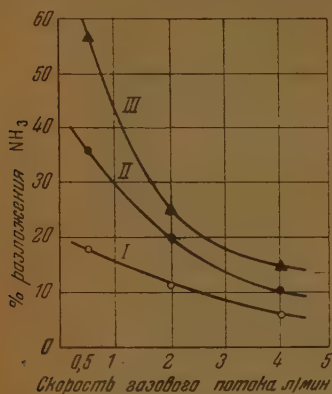


Рис. 10. Зависимость степени разложения аммиака с участием стенок кварцевого сосуда от объемной скорости газового потока воздушно-аммиачной смеси при температурах 600°С (кривая I), 700°С (кривая II) и 800°С (кривая III). Поверхность стенок 52 см<sup>2</sup>. I — процент разложения NH<sub>3</sub> при 600°, II — процент разложения при 700°, III — процент разложения NH<sub>3</sub> при 800°С

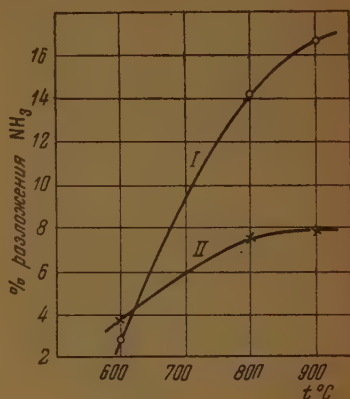


Рис. 11. Зависимость степени разложения аммиака с участием стенок кварц. сосуда от температуры, при объемной скорости газового потока азото-аммиачной смеси 0,5 л/мин. (кривая I) и 2 л/мин (кривая II). Поверхность стенок 52 см<sup>2</sup>. I — 0,5 л/мин, II — 2 л/мин

Из табл. 1 видно, что так в действительности это и происходит. Результаты, приведенные в этой таблице, были получены в двух последовательно соединенных контактных аппаратах с общей поверхностью стенок, равной

Таблица 1

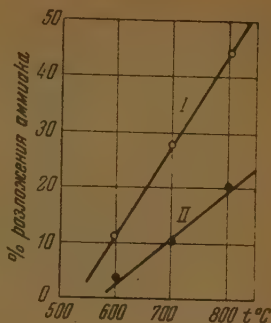
Скорость газового потока л/мин	Температура верхнего аппарата без катализатора °С	Температура нижнего аппарата с платин. сеткой °С	% сероводорода	% окисления аммиака в окись азота
0,5	—	800	—	90,17
	700	800	—	63,20
	600	700	—	33,39
	600	700	0,1	49,07
	600	700	—	27,76
	600	700	0,1	94,35
	500	600	—	22,01
	500	600	0,1	79,77
	800	—	—	51,46

176,5 см<sup>2</sup>. Верхний аппарат с поверхностью, равной 59,3 см<sup>2</sup>, был предварительно освобожден от платиновой сетки и распыленной платины и служил только для увеличения поверхности кварца до катализатора. Нижний аппарат содержал платину, как обычно при проведении опытов по каталитическому окислению аммиака.

Оба аппарата нагревались при помощи отдельных электрообмоток. Воздушно-аммиачная смесь поступала в верхний аппарат, нагревалась до определенной температуры и попадала на катализатор в нижнем аппарате. В случае применения примеси сероводорода (0,1%) вся смесь также сначала поступала в верхний, а затем нижний аппарат. До отбора пробы для анализа реакционная смесь пропусклась в течение 2—3 час.

Из табл. 1 следует, что увеличение нагретой до  $700^{\circ}\text{C}$  поверхности кварцевых стенок до катализатора приводит к понижению выхода окиси азота 90,17 до 63,2%, а прибавление 0,1% сероводорода повышает выход окиси азота с 27,76 до 94,35%, т. е. более чем на 60%.

Рис. 12. Зависимость степени разложения аммиака с участием стенок кварцевого сосуда от температуры без примеси сероводорода (кривая I) и с содержанием в воздушно-аммиачной смеси 0,1% сероводорода. Объемная скорость газового потока 2 л/мин. Поверхность стенок  $52\text{ см}^2$ . I — без  $\text{H}_2\text{S}$ ; II — 0,1 %  $\text{H}_2\text{S}$



Следует отметить, что в опытах, проведенных в тех же двух кварцевых аппаратах без платиновой сетки, было обнаружено 51,46% окиси азота, ожившейся благодаря распыленной на стенке нижнего аппарата платине. Интересно также отметить, что увеличение концентрации сероводорода с 2% дает уже значительное падение выхода окиси азота. В этих условиях отравляются не только стенки сосуда, но и платиновый катализатор, то ведет к появлению дыма нитрата и нитрита аммония, как это обычно имеет место при проскоке через сетку непрореагировавшего аммиака.

Из табл. 1 следует, что основной причиной дефиксации азота и соответствующего снижения выхода окиси азота при каталитическом окислении аммиака при чрезмерно высоких значениях температуры и длительности контактирования является окисление аммиака до азота с участием свободных от платины стенок кварцевого сосуда до катализатора.

Из всех изложенных данных, таким образом, следует, что возникновение оптимумов связано не с механизмом основного каталитического процесса, а с побочной реакцией, от которой, однако, трудно полностью избавиться. Так, в ряде работ внешний обогрев стенок всего сосуда или только части его до катализатора не производился вовсе, а оптимумы и связанная с ними дефиксация все же оставались. Объясняется это тем, что сильный разогрев катализатора ( $800^{\circ}\text{C}$  и выше) неизбежно ведет к нагреву стенок перед катализатором до  $400\text{--}600^{\circ}\text{C}$ , т. е. до температур, при которых уже имеет место (см. рис. 8) значительное разложение аммиака, особенно при чрезмерно малых скоростях газового потока.

Наиболее надежным средством борьбы с вредным влиянием стенок сосуда до катализатора было бы, как это следует из данной работы, полное покрытие обогреваемых частей стенок сосуда платиной или другим материалом, инертным или способствующим не разложению, а окислению аммиака в окись азота. Сказанное относится к лабораторным опытам. Что же касается заводских условий, то этот вопрос требует дополнительного изучения.

## Выводы

1. Выяснена причина возникновения оптимумов по температуре и длительности контактирования при каталитическом окислении аммиака на платиновых сетках в лабораторных условиях. Этой причиной является превращение аммиака в азот до катализатора с участием стенок реакционных сосудов. Это превращение особенно интенсивно происходит при высоких значениях температуры и большой длительности контактиро-

вания, что ведет к возникновению оптимумов и линейной связи между ними в таких условиях.

2. Выяснена причина повышения выхода окиси азота при введении небольших примесей яда — сероводорода на 5—6 [6] и даже на 20—30% [7]. Сероводород отравляет стенки реакционной трубки, расположенные до платинового катализатора, и таким путем снижает процент разложения аммиака и повышает, соответственно, степень превращения его в окись азота.

3. Выяснена причина активации катализатора путем пропускания через него реакционной смеси при оптимальных для получения окиси азота условиях температуры ( $800^{\circ}\text{C}$ ) и длительности контактирования. В этих условиях значительно увеличивается поверхность катализатора благодаря, главным образом, покрытию стенок сосуда распыленной платиной, что одновременно ведет к уменьшению величины свободной поверхности стенок, к снижению, следовательно, процента разложения аммиака до попадания его на катализатор и к соответствующему росту выхода окиси азота.

4. Из того, что для основного каталитического окисления аммиака в окись азота оптимумы и линейная связь между ними не характерны, следует вывод о необходимости пересмотра и корректива теорий, базирующихся на этих оптимумах: необходимо также улучшение методики лабораторных и заводских исследований с учетом того, что на стенках реакционной аппаратуры имеет место окисление аммиака до азота и окиси азота (распыленный катализатор). Был предложен способ устранения этого недостатка.

5. В результате участия кислорода в дефискации азота свободными от платины стенками сосуда происходит (до катализатора) не разложение, а окисление аммиака до азота, если условия температуры и длительности контактирования в неоптимальных условиях этому благоприятствуют. Такое окислительное разложение аммиака имеет гетерогенно-гомогенный механизм [17]: стенки сосуда только зарождают гомогенное окисление аммиака в азот до катализатора; аналогичный процесс имеет место, как это в нашей [11] и других работах [12] установлено, и за катализатором. В целом каталитическое окисление аммиака представляет собой сложный гетерогенно-гомогенный процесс. Однако место и механизм образования окиси азота остались невыясненными и в данном исследовании.

Академия Наук УССР  
Институт физической химии  
им. И. В. Писаржевского  
Киев

Поступила  
27. XI. 1950

## ЛИТЕРАТУРА

1. В. И. Маляревский и Н. Маляревская-Кобаченко, Журн. прикл. хим., 2, 7, 1925.
2. L. Andrussoff, Z. angew. Chem., 39, 321, 1926; Ber., 59, 458, 1926.
3. И. Е. Ададуров и Р. И. Вайнштейн, Укр. хим. журн., 5, 1, 1930.
4. И. М. Либинсон, Журн. прикл. хим., 8, 342, 1931.
5. Г. К. Боресков, Журн. прикл. хим., 5, 2, 1932.
6. J. Yee and R. Emmett, Journ. Ind. and Eng. Chem., 23, 1090, 1931.
7. М. В. Поляков, Ф. М. Вайнштейн и Л. А. Костюченко, Изв. ИОХ АН УССР, 14, 1947.
8. M. Bodenstein G. Büttner, Z. angew. Chem., 47, 364, 1934.
9. W. Krauss and H. Schuleit, Z. Phys. Chem. 45, 1, 1940.
10. J. A. Christiansen, Handbuch d. Katalyse, 3, 300, 1943.
11. М. В. Поляков и Ф. М. Вайнштейн, Журн. физ. хим., 15, 2, 1941.
12. В. И. Атрощенко и С. И. Каргин, Технология азотной кислоты, Госхимиздат, 1949.
13. М. Боденштейн, Сборник «Окисление аммиака», ОНТИ, 1936, 119.
14. В. И. Атрощенко, Журн. прикл. хим., 8, 25, 1935.
15. В. И. Атрощенко и Е. Г. Седашева, Журн. прикл. хим., 14, 500, 1941.
16. Л. Е. Апельбаум и М. И. Темкин, Журн. физ. хим., 22, 2, 1948.
17. М. В. Поляков, Усп. химии, 3, 351, 1948.



## ИСТИННАЯ ТЕПЛОЕМКОСТЬ СИСТЕМЫ ФЕНОЛ—ВОДА В ОБЛАСТИ КРИТИЧЕСКОЙ ТЕМПЕРАТУРЫ

*К. Г. Хомяков, В. А. Холлер и М. А. Некрашевич*

Согласно теории В. К. Семенченко [1] фазовые переходы второго рода следует определить, как критические явления в обобщенном смысле слова, которым соответствует точка прекращения на кривой  $=X_i(T)$ , где под  $X_i$  разумеется обобщенная сила. Общим для всех критических явлений и фазовых переходов II рода является прохождение рез максимум таких дифференциальных величин, как истинная теплоемкость, термический коэффициент расширения и т. д.

С точки зрения В. К. Семенченко область критических явлений жидких растворах также должна быть причислена к фазовым переходам II рода. Экспериментального материала, характеризующего поведение двойных жидких систем в критической области, который мог бы быть использован для проверки теории В. К. Семенченко, не имеется, исключением, разве, работ Скарпа [2] и Фридлендера [3], обнаруживших увеличение температурного коэффициента вязкости в критической точке смешения жидкостей.

В настоящей работе сделана первая попытка измерить истинную теплоемкость системы фенол—вода в температурном интервале, захватывающем критическую температуру смешения\*.

Определение кривой истинной теплоемкости системы фенол—вода в интервале температур 60—70 оказалось вовсе не простой задачей. Сделанные нами предварительные измерения теплоемкости методом непрерывного нагревания в адиабатических условиях с достаточно интенсивным перемешиванием сопряженных жидких фаз не увенчались успехом. Основная трудность опыта, затруднявшая получение достаточно сходящихся результатов, заключалась, повидимому, в невозможности в обычном калориметре получить настолько быстрое перераспределение фенола и воды между фазами, чтобы в каждый момент в процессе нагрева система находилась в условиях, достаточно близких к равновесию. Однако это затруднение устраняется полностью в охлаждающейся системе, нагретой предварительно выше критической температуры. В момент расслаивания, так же как и при более низких температурах, система всегда будет находиться в равновесии даже и при значительной скорости охлаждения. Опыты, проведенные по методу охлаждения без мешалки в герметично закрытом сосуде Дьюара, подтвердили это предположение.

Излагаемая ниже экспериментальная работа не является строго калориметрической и поэтому совершенно не претендует на ту степень точности, которая достижима в обычной калориметрии. Несмотря на это, работа дала возможность удачно и в то же время очень просто осуществить впервые поставленную нами задачу — измерить ход истин-

\* Со времени окончания настоящей работы были опубликованы две работы, экспериментально подтверждающие теоретические выводы В. К. Семенченко. (В. К. Семенченко и В. П. Скрыпов, Журн. физ. хим., 25, 362, 1951; В. К. Семенченко и Е. Л. Зорина, ДАН 73, № 2, 331, 1951.)

ной теплоемкости двойной жидкой системы в критической области температур.

Начало изучения систем с ограниченной взаимной растворимостью было положено в 1876 г. В. Ф. Алексеевым [4]. Способ определения температуры расщепления таких систем, предложенный В. Ф. Алексеевым, является классическим при исследовании взаимной ограниченной растворимости. Способ заключается в наблюдении за появлением и исчезновением молочно-белой мути в запаянной ампуле жидкой смеси.

И. А. Каблуков и В. И. Малышева разработали другой — волнометрический метод для определения растворимости аналогичных смесей [5].

Из многочисленных определений критической температуры смешения и составов сопряженных фаз в системе фенол — вода заслуживают внимания данные Гилла и Малисова [6].

В работе Гилла и Малисова, применявших для исследования как способ [4] Алексеева, так и способ [5] Каблукова — Малышева, критическая температура смешения системы вода — фенол определена равной  $65,8 \pm 0,15^\circ \text{C}$ . Этими же авторами показано, что кривые растворимостей в критической области идут параллельно оси состава между 28 и 36% фенола, причем по правилу прямолинейного диаметра В. Ф. Алексеева значение критической концентрации определяется в 34% фенола.

Теплоты смешения фенола с водой в различных соотношениях были определены Фергюссоном при температуре  $71^\circ \text{C}$  [7].

### Расчет теплоемкости равновесной системы фенол — вода

Знание состава сопряженных фаз в системе фенол — вода и теплоты их образования позволяет рассчитать истинную теплоемкость этой гетерогенной системы в зависимости от температуры.

Пусть имеется (при температуре  $t$ ) 100 г смеси, содержащей 34 г фенола и 66 г воды. Водная фаза содержит  $z_1\%$  фенола и фенольная —  $z_2\%$  фенола.

Рассчитаем тепло, поглощаемое обеими фазами при их нагревании на  $dt^\circ$ . Для этой цели отделим сопряженные фазы одна от другой и в каждой фазе — фенол от воды.

Поглощенное тепло составит  $q_{z_1}x + q_{z_2}y$ , если  $q_{z_1}$  и  $q_{z_2}$  — теплоты образования 1 г водной и, соответственно, фенольной фазы, а  $x$  и  $y = 100 - x$  — их количества, выраженные в граммах. Полученные фенол и воду нагреем на  $dt^\circ$  и затем, разделив в соотношениях, отвечающих составам равновесных фаз при  $t + dt^\circ$ , образуем снова сопряженные фазы.

Поглощенное тепло составит  $(34c_{\text{ф}} + 66c_{\text{H}_2\text{O}})dt + x'q_{z_1}' + yq_{z_2}'$ , где обозначения со штрихами относятся к температуре  $t + dt$ ,  $c_{\text{ф}}$  — теплоемкость фенола и  $c_{\text{H}_2\text{O}}$  — воды.

Составы водной и фенольной фаз при  $t + dt$  будут  $z_1 + \frac{dz_1}{dt}dt$  и соответственно  $z_2 + \frac{dz_2}{dt}dt$ . Очевидно,

$$\frac{\left(z_1 + \frac{dz_1}{dt}dt\right)x'}{100} + \frac{\left(z_2 + \frac{dz_2}{dt}dt\right)y'}{100} = 34.$$

Далее, так как  $x' + y' = 100$ , то  $x' = x + \frac{100 \frac{dz_2}{dt}dt}{z_2 - z_1}$  и  $y' = 100 - x - \frac{100 \frac{dz_2}{dt}dt}{z_2 - z_1}$ , где  $x$  и  $y$ , в свою очередь, равны:  $x = \frac{100z_2 - 3400}{z_2 - z_1}$  и  $y = 100 - x = \frac{3400 - 100z_1}{z_2 - z_1}$ .

Теплоты образования 1 г водной и соответственно фенольной фазы равны при  $t + dt^\circ$ :

$$q_{z_1}' = q_{z_1} + \left(\frac{\partial q_{z_1}}{\partial z_1}\right)_t dz_1 + \left(\frac{\partial q_{z_1}}{\partial t}\right)_{z_1} dt$$

$$q_{z_1}' = q_{z_1} + \left( \frac{\partial q_{z_1}}{\partial z_2} \right)_t dz_2 + \left( \frac{\partial q_{z_1}}{\partial t} \right)_{z_1} dt.$$

Сотая часть общего баланса поглощенной теплоты будет представлять истинную теплоемкость системы:

$$c = \frac{(34c_{\text{Ф}} + 66c_{\text{Н}_2\text{О}})}{100} + \frac{x}{100} \left\{ \left[ \left( \frac{\partial q_{z_1}}{\partial z_1} \right)_t \frac{dz_1}{dt} + \left( \frac{\partial q_{z_1}}{\partial t} \right)_{z_1} \right] - \left[ \left( \frac{\partial q_{z_2}}{\partial z_2} \right)_t \frac{dz_2}{dt} + \left( \frac{\partial q_{z_2}}{\partial t} \right)_{z_2} \right] \right\} - \left[ \frac{q_{z_2} - q_{z_1}}{z_2 - z_1} - \left( \frac{\partial q_{z_2}}{\partial z_2} \right)_t \right] \frac{dz_2}{dt}.$$

Это уравнение показывает, что теплоемкость должна быстро возрастать при приближении к критической температуре, чтобы в момент достижения стать равной бесконечности, так как при критической температуре, хотя бы для одной точки,  $\frac{dz_1}{dt} = \infty$  и  $\frac{dz_2}{dt} = -\infty$ . Если

и предельные значения  $\frac{dz}{dt}$  имеют место для конечного отрезка кривой става сопряженных фаз, то образование гомогенной системы связано наличием скрытой теплоты процесса. Определения состава сопряженных фаз вблизи критической температуры никогда, однако, не достигали той точности, которая позволяла бы утверждать что-либо определенное на основании опыта относительно того, имеет ли место «мгновенное» значение  $c = \infty$  или же действительно переход через критическую температуру сопровождается поглощением скрытой теплоты.

При практическом использовании уравнения для истинной теплоемкости возможно пренебречь зависимостью теплот образования фаз от температуры, т. е. считать собственно теплоемкость аддитивной, а для числения  $\frac{dz}{dt}$  и  $\frac{\partial q_z}{\partial z}$  необходимо представить эмпирические данные, определяющие составы сопряженных фаз в зависимости от температуры теплоты образования их в зависимости от состава, интерполяционными формулами.

Составы сопряженных фаз, определенные Гиллем и Малисовым, хорошо представляются в пределах температур  $57^\circ - 65,7^\circ$  уравнением вида  $= B(1 - e^{-kx})$ . Если начало координат перенести в точку  $z_1 \approx 14,7\%$   $t = 57^\circ$ , то уравнение, выражающее состав водной фазы в зависимости от температуры, будет иметь вид

$$t = 65,85 - 8,85 \cdot e^{-(z_1 - 14,7)k_1},$$

где 65,85 есть критическая температура и среднее значение  $k_1$ , вычисленное по данным Гилля и Малисова, равно 0,241.

Для фенольной фазы соответственно

$$t = 65,85 - 8,85 \cdot e^{(z_2 - 56,7)k_2}$$

значение  $k_2 = 0,2312$ .

Оба уравнения действительны в пределах температур  $57 - 65,7^\circ$ .

Из этих уравнений получаем

$$\frac{dz_1}{dt} = \frac{1}{k_1 \lg e} \cdot \frac{1}{65,85 - t},$$

$$\frac{dz_2}{dt} = - \frac{1}{k_2 \lg e} \cdot \frac{1}{65,85 - t},$$

действительные от  $57^\circ$  вплоть до критической температуры.

Зависимость теплоты образования 1 г раствора фенола в воде по данным Фергюссона хорошо выражается в пределах от 10 до 55% фенола интерполяционным уравнением

$$-q_2 = 1,28 + 0,613p - 0,0359p^2 + 0,001p^3,$$

где  $p = \frac{z-5}{5}$ .

В табл. 1 даны вычисленные нами при помощи приведенных выше соотношений истинные теплоемкости от 60 °С и на рисунке дано их графическое изображение.

Значение  $\frac{34c_{\text{Ф}} + 66c_{\text{Н}_2\text{О}}}{100}$  принято равным 0,846.

### Экспериментальная часть

Экспериментально ход истинной теплоемкости воднофенольной смеси был определен нами методом охлаждения.

Воднофенольная смесь помещалась в калориметр — сосуд Дьюара на 500 мл с узким отверстием, которое герметично закрывалось резиновой пробкой. Для уменьшения испарения на поверхность жидкости наливалось несколько капель вазелинового масла, не растворяющегося в воднофенольных растворах.

Через пробку проходил термометр Бекмана со шкалой на 5° и, кроме того, тонкостенная стеклянная трубка, содержащая электрический нагреватель. Для выравнивания температуры внутри сосуда Дьюара применялись спирали из алюминиевых стружек. На алюминий фенол не действует корродирующе.

Сосуд Дьюара со взвешенным количеством нагретой выше критической температуры воднофенольного раствора предварительно размешивался от руки и потом герметично закрытый ставился в ванну с таяющим льдом.

Отсчеты температуры охлаждающегося раствора начинали, когда на шкале термометра Бекмана показывался конец ртутного столбика, что происходило часа через 1 после начального перемешивания. При помощи двух секундомеров отмечались промежутки времени, требующиеся для охлаждения жидкости на 0,2°. Скорость охлаждения на 1° С была от 11 до 17 мин.

По закону охлаждения Ньютона количество тепла, теряемое телом вследствие теплообмена с окружающей средой, пропорционально времени  $\Delta\tau$  и разности температур  $T$  — тела и  $\theta$  — окружающей среды

$$\Delta Q = a(T - \theta)\Delta\tau. \quad (1)$$

Коэффициент пропорциональности  $a$  выражает собственно радиацию, т. е. потерю тепла в единицу времени при разности температур тела и окружающей среды, равной единице.

В то же время потерянное количество тепла  $\Delta Q$  вызывает внутри сосуда Дьюара падение температуры  $\Delta T$ , величина которого зависит от теплоемкости веществ, в нем заключенных, и их массы

$$\Delta Q = (K + mc)\Delta T, \quad (2)$$

где  $K$  — тепловое значение сосуда Дьюара, оснащенного термометром Бекмана, электрическим нагревателем и алюминиевыми стружками;  $m$  — масса последующей воднофенольной смеси,  $c$  — ее теплоемкость. Следовательно,

$$(K + mc)\Delta T = a(T - \theta)\Delta\tau, \quad (3)$$

$c$  — искомая истинная теплоемкость воднофенольной системы определяется отсюда равной

$$c = \frac{a(T - \theta)\Delta\tau - K\Delta T}{m\Delta T}. \quad (4)$$

Таким образом в одном непрерывном опыте получались данные для расчета ряд значений теплоемкостей, близких к истинным теплоемкостям в исследуемом интер-



температур. Чтобы рассчитать значения истинной теплоемкости по данным измерения, надо знать величину радиации при условиях опыта для исследуемого вещества температур и тепловое значение  $K$  пустого сосуда Дьюара с термометром, нагревателем и алюминиевыми стружками.

Радиация при той разности температур, которая имеется в процессе проведения опыта, т. е.  $a(T - \theta)$ , определялась нами экспериментально при помощи электрического нагревателя по способу, описанному В. А. Холлер [8], а именно: в электрический нагреватель, находящийся в заземленном жидкостью сосуде, подавалось такое количество электрической энергии, чтобы она компенсировала потерю тепла радиацией. При этом условии температура в калориметре не изменяется.

Величина радиации в 1 сек. определяется равенствами для мощности подводимого тока, той  $\Delta Q = a(T - \theta) = 0,2389 \cdot I \cdot V$ , где  $I$  — ток, выраженная в амперах,  $V$  — напряжение, выраженное в вольтах.

Сообщаемая нагревателю электрическая энергия измерялась при помощи высокоомного вольтметра ППТВ.

Значение радиации измерялось при температуре 67,2 и 62,2° С (что соответствовало показаниям по термометру Бекмана 5° и 0°) и было найдено равным 0,52 кал/сек. при 67,2° С и 0 кал/сек. при 62,2° С. Для промежуточных температур значения радиации интерполировались.

Необходимое для расчетов тепловое значение пустого сосуда Дьюара было определено независимыми опытами охлаждения с водой и было найдено равным 78 кал. Мы его принимаем постоянным в исследуемом интервале температур. Так как тепловое значение сосуда также зависит от наполнения, то опыты проводились всегда с одним и тем же объемом воды.

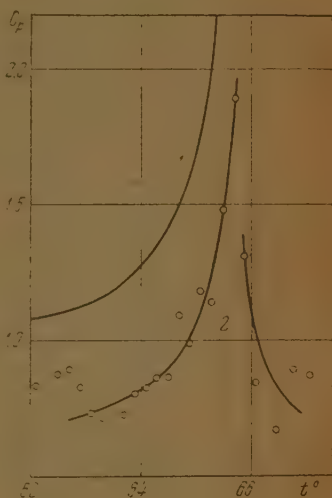
Результаты измерений приведены на рисунке, кривая 2, где на оси абсцисс нанесена температура и на оси ординат — истинная теплоемкость в калориях на градус на грамм.

Таблица 2

Температура °С	Истинная теплоемкость кал/град. г.	Температура °С	Истинная теплоемкость кал/град. г.
67,4	0,87 <sub>1</sub>	64,5	0,86 <sub>4</sub>
66,8	0,87 <sub>1</sub>	64,3	0,86 <sub>2</sub>
66,5	0,87 <sub>3</sub>	64,1	0,86 <sub>3</sub>
66,3	1,03	63,9	0,86 <sub>0</sub>
66,1	0,84 <sub>8</sub>	63,7	0,72 <sub>5</sub>
65,9	1,03	63,5	0,72 <sub>1</sub>
65,7	1,89 <sub>1</sub>	63,3	0,71 <sub>1</sub>
65,5	1,48	63,1	0,72 <sub>8</sub>
65,3	1,14	62,9	0,82 <sub>3</sub>
65,1	1,17	62,7	0,82 <sub>1</sub>
64,9	0,99 <sub>0</sub>	62,5	0,87 <sub>5</sub>
64,7	1,09	62,1	0,83 <sub>4</sub>

Значения  $\frac{dz}{dt}$  при температурах, удаленных от критической, в действительности имеют меньшее значение, в особенности, для  $\frac{dz_2}{dt}$ . Кроме того, выяснилось наличие значительного разброса экспериментальных точек в интервале 62—64° требует дальнейшей экспериментальной работы.

Необходимо, однако, что как расчет, так и опыт приводят к кривой теплоемкости, имеющей  $\lambda$ -образную форму. По опытным данным при



Как видно из кривой рисунка, рассчитанные и экспериментальные определенные истинные теплоемкости значительно отличаются друг от друга, хотя кривые полностью накладываются при их относительном смещении, т. е. выражают одну и ту же зависимость теплоемкости от температуры.

Рассчитанные значения теплоемкости могут оказаться завышенными, если принятые по данным Гилля и Мали-

температуре  $65,7^{\circ}\text{C}$  значение теплоемкости для интервала  $0,2^{\circ}$  больше чем в два раза превышает среднее значение для температур, далеких от критической.

Теоретические высказывания В. К. Семенченко, рассматривающего критические явления в двойных жидких системах с ограниченной взаимной растворимостью, как фазовые переходы второго рода, находят себе, таким образом, экспериментальное подтверждение.

Появление пика на кривой время охлаждения — температура водно-фенольных систем (или на кривой истинная теплоемкость — температура) соответствует температуре расслаивания и поэтому может быть использовано и для построения диаграммы растворимости.

Нами были изучены некоторые смеси с определенным составом и были получены следующие температуры расслаивания:

для 34% содержания фенола	— $65,7^{\circ}$
» 32%           »           »	— $65,4^{\circ}$
» 27%           »           »	— $65,2^{\circ}$
» 44%           »           »	— $64,5^{\circ}$

Очевидно, что наблюдение за кривыми охлаждения дает возможность определить температуры расслаивания не менее тонко, чем наблюдение за появлением и исчезновением опалесценции.

Следует отметить, что скачки истинной теплоемкости делаются меньше по мере удаления от критической температуры расслаивания.

### Выводы

1. Расчетным путем показано, что истинная теплоемкость водно-фенольной системы в зависимости от температуры быстро возрастает при приближении к критической температуре и при этой температуре принимает значение бесконечности.

2. Экспериментально методом охлаждения была определена истинная теплоемкость воднофенольной системы критического состава вблизи критической температуры расслаивания (ниже и выше нее).

3. Показано, что кривая истинной теплоемкости в зависимости от температуры имеет  $\lambda$ -образную форму, характерную для фазовых превращений второго рода. Экспериментально обнаружены, таким образом, аномалии истинной теплоемкости и ниже и выше критической температуры расслаивания.

4. Появление пика на кривой — время охлаждения (или истинная теплоемкость) в зависимости от температуры связано с расслаиванием систем и поэтому может быть использовано для построения диаграммы растворимости жидкостей с ограниченной взаимной растворимостью.

5. Настоящая работа является первым разведочным исследованием истинной теплоемкости в критической области двойных жидких систем. Повидимому, более точное исследование таких систем возможно с применением методов микрокалориметрии и с применением электрических способов измерения температур.

Московский  
государственный университет  
им. М. В. Ломоносова

Поступила  
1. XII. 1950

### ЛИТЕРАТУРА

1. В. К. Семенченко, Журн. физ. хим., 21, 1461, 1947, 25, 362, 1951.
2. O. Scarpa, Journ. de Chim. phys., 2, 450, 1904.
3. Friedländer, Z. f. phys. Chem., 411, 1901.
4. В. Ф. Алексеев, Журн. Русск. физ. хим. о-ва, 8, 329, 1876; 15, 195, 1883.
5. И. А. Каблуков и В. И. Малышева, Труды НИИХ МГУ, 1925.
6. Hill a. Malisoff, Journ. Amer. Chem. Soc., 48, 922, 1926.
7. J. B. Fergusson, Journ. Phys. Chem., 31, 757, 1927.
8. В. А. Холлер, Вестн. Моск. гос. ун-та, № 6, 1948.

## ПРИМЕНЕНИЕ ИССЛЕДОВАНИЯ ИНТЕНСИВНОСТИ ЛИНИЙ КОМБИНАЦИОННОГО РАССЕЯНИЯ СВЕТА ДЛЯ ИЗУЧЕНИЯ МОЛЕКУЛЯРНЫХ СОЕДИНЕНИЙ

*П. П. Шорыгин и А. Х. Халилов*

Вопрос о строении молекулярных соединений еще далек от полного решения. Характер и величина сил взаимодействия между компонентами, в большинстве случаев, не установлены, а предложенные объяснения часто являются спорными. Трудно установить истинным путем правильность той или иной точки зрения. В каждом конкретном случае необходимы всесторонние исследования, в том числе исследования тех изменений в состоянии компонентов, которые возникают при образовании соединения. Для изучения этих изменений могут быть полезны данные по колебательным спектрам. Деформация молекул может проявиться в смещении линий спектров, а перегруппировка атомов может быть обнаружена по исчезновению одних линий и появлению новых.

Интенсивность линий комбинационного рассеяния также может быть привлечена для решения некоторых вопросов строения молекулярных соединений. Рассмотрим результаты исследования соединения анилина с уксусной и муравьиной кислотами.

Исследования электропроводности [1], показателей преломления [2], вязкости [3], удельного веса и др. доказывают существование соединения анилина с уксусной кислотой при обычных температурах в растворах. Экстремумы изотерм различных свойств отвечают неодинаковому содержанию анилина — 20—33%, что дает основание причислить систему к частично диссоциирующим, протонным системам. В этой работе было проведено спектроскопическое исследование растворов анилина с уксусной и муравьиной кислотами. Это исследование основывалось на измерении интенсивности характерной для производных бензола полосы ( $1600\text{ см}^{-1}$ , наблюдаемой в спектрах комбинационного рассеяния света (Раман-спектрах)). Для получения спектров применялся трехпризмный спектрограф с линейной дисперсией  $27\text{ Å/мм}$  в области  $4300\text{ Å}$ . Ширина щели спектрографа соответствовала  $20\text{ см}^{-1}$ . Возбуждение спектров производилось синей линией ртути  $4358,3\text{ Å}$ . Измерения интенсивности линий комбинационного рассеяния производились методом фотографической фотометрии с нанесением марок почернения и микрофотометрированием на регистрирующем микрофотометре. Определялась интенсивность линий (полос) в максимуме, соответствовавшая интегральной интенсивности. За единицу интенсивности принята  $1/100$  интенсивности линии  $3\text{ см}^{-1}\text{ CCl}_4$  (при пересчете на равные молярные концентрации). Для каждой линии определялось среднее значение по данным 3—4 повторных измерений.

При измерении коэффициентов интенсивности полос мы пользовались методом введения добавки «внутреннего эталона». Эталонным веществом был взят  $\text{CCl}_4$  (в отдельных случаях применялся циклогексан). Сравнение интенсивности производилось по линиям  $459\text{ CCl}_4$  или  $1442\text{ циклогексана}$ ; среднее значение коэффициента интегральной интенсивности у полосы  $459\text{ CCl}_4$  составляет 103 единицы, а у полосы  $1442\text{ циклогексана}$  33 единицы.

Общее представление о том, как различаются коэффициенты интенсивности полос бензольного кольца у разных ароматических соединений можно получить, рассматривая данные табл. 1, в которой приведены указанные коэффициенты для полос, лежащих в области  $1000\text{ см}^{-1}$  (соответствующих симметричному валентному колебанию кольца) и в области  $1600\text{ см}^{-1}$  [6].

Таблица 1

Соединение	Коэффициенты интенсивности полос		$k = \frac{I_{1000}}{I_{1600}}$
	$\nu_s \sim 1000\text{ см}^{-1}$	$\nu_s \sim 1600\text{ см}^{-1}$	
Толуол . . . . .	65	22	0,34
Хлорбензол . . . . .	—	35	—
Фенол . . . . .	120	36	0,30
Анизол . . . . .	—	50	—
Фенетол . . . . .	—	45	—
Анилин . . . . .	120	160	1,33
Бензонитрил . . . . .	120	140	1,16
Ацетофенон . . . . .	115	180	1,60
Нитрбензол . . . . .	110	220	2,00

Данные таблицы показывают, что коэффициенты интенсивности полос  $\sim 1000\text{ см}^{-1}$  сравнительно мало различаются у разных монопроизводных бензола, а коэффициенты интенсивности полос  $\sim 1600\text{ см}^{-1}$ , напротив, сильно зависят от характера заместителя. При наличии заместителей мало взаимодействующих с бензольным кольцом (например, алкильных групп), линия  $1600$  гораздо слабее линии  $1000$  и отношение коэффициентов интенсивности этих линий  $k = \frac{I_{1600}}{I_{1000}}$  мало. При наличии сильного вза-

модействия заместителей с бензольным кольцом (например, у нитробензола, ацетофенона, анилина и др.) полоса  $1600$  усилена, и у некоторых соединений в несколько раз интенсивнее полосы  $1000$ . В связи с этим можно использовать данные об интенсивности полосы  $1600$  или отношение коэффициентов интенсивности линий  $1600$  и  $1000$  как критерий для качественного суждения о наличии взаимодействия заместителя с бензольным кольцом.

У толуола и других моноалкилбензолов коэффициент интенсивности полосы  $1600$  составляет 20—25 единиц, в то время как у анилина он достигает 160 единиц. Взаимодействие бензольного кольца с аминогруппой, по видимому, связано с частичным переходом электрона к бензольному кольцу за счет некоторого приближения азота к четырехвалентному положительному состоянию.

В солянокислом растворе анилина образуются ионы  $\text{C}_6\text{H}_5\text{N}^+\text{H}_3$ , в которых группа  $\text{N}^+\text{H}_3$  уже мало влияет на кольцо; в соответствии с этим интенсивность полосы  $\sim 1600$  и отношение  $k$  здесь резко понижены и приближаются к величинам, найденным у толуола.

Если бы в растворах анилина в органических кислотах анилин присутствовал в виде катионов  $\text{C}_6\text{H}_5\text{N}^+\text{H}_3$ , то коэффициент интенсивности полосы  $1600$  был бы столь же мал, как у солянокислых растворов, и отношение  $k$  было бы соответственно снижено до величин порядка 0,3. Напротив, высокая интенсивность полосы  $1600$  и большое значение  $k$  указывают на то, что основная масса молекул анилина в растворе не присоединяет протона.

Мы исследовали спектры комбинационного рассеяния растворов анилина в уксусной и муравьиной кислотах. Содержание анилина в растворе составляло около 40%.



Уксусная кислота была предварительно очищена многократным морозиванием и дестилляцией и имела температуру плавления  $16,5^\circ$ ; муравьиная кислота была обезвожена многократной обработкой возгонной щавелевой кислотой и имела удельный вес  $d_4^{20} = 1,2194$ .

Отношения  $k$  коэффициентов интенсивности полос 1600 и 1000 у исследованных растворов приведено в табл. 2. У растворов в уксусной и муравьиной кислотах значение  $k$  близко к тому значению, которое наблюдается у чистого анилина. Это говорит о том, что образования настоящих комплексов с органическими кислотами здесь не происходит (в отличие от раствора анилина в соляной кислоте). Повидимому, в растворах образуются молекулярные соединения, которые могут быть частично диссоциированы.

Таблица 2

Система	Отношение коэффициентов интенсивности
Анилин . . . . .	1,33
Анилин + муравьиная кислота . . .	1,20
Анилин + уксусная . . . . .	1,27
Анилин + соляная . . . . .	0,4

Следует заметить, что при различных соотношениях количеств анилина, муравьиной и уксусной кислот (эквимолекулярные смеси и смеси избытком кислоты) не было обнаружено больших различий в коэффициентах интенсивности полос.

Тот факт, что отношение коэффициентов интенсивностей полос 1600  $\text{см}^{-1}$  в уксуснокислом и муравьинокислом растворах имеет столь же льшое значение, как у чистого анилина, указывает на то, что свойства иногруппы и взаимодействие ее с бензольным кольцом в растворах щественно не нарушаются, и атом азота во всяком случае не присоединет протона за счет перехода в четырехвалентное состояние (по крайней ре, у основной массы молекул).

Взаимодействие кислот с аминогруппой можно проследить не только полосе бензольного кольца 1600  $\text{см}^{-1}$ , но и по проявлениям влияния иногруппы на другие замещающие группы, присоединенные к бензольному кольцу.

Ранее было установлено, что электроположительные свойства аминогруппы обуславливают снижение частоты валентного колебания  $\text{NO}_2$  молекуле п-нитроанилина по сравнению с нитробензолом на 13  $\text{см}^{-1}$  резко увеличивают интенсивность полосы комбинационного рассеяния [Частота нитрогруппы незамещенного нитробензола в бензольном створе составляет 1348  $\text{см}^{-1}$ ].

В солянокислом растворе п-нитроанилина все эти особенности чезают, что указывает на образование солянокислой соли и переход ота в четырехвалентное положительное состояние (у катиона солянокислого п-нитроанилина  $\text{H}_3\text{N}^+ - \text{C}_6\text{H}_4 - \text{NO}_2$  уже нет электроположительной группы  $\text{NH}_2$ , а группа  $\text{N}^+\text{H}_3$  мало влияет на бензольное кольцо нитрогруппу). В то же время в уксуснокислом растворе п-нитроанилина азанные выше особенности — пониженное значение частоты нитрогруппы и большая интенсивность полосы, — напротив, сохраняются, причем здесь спектр подобен спектру ацетонового раствора п-нитроанилина. Это показало, что в уксуснокислом растворе аминогруппа не присоединяет протона, и заставило предположить однотипность связи моле-

кул уксусной кислоты и ацетона с аминогруппой и рассматривать комплекс п-нитроанилина с уксусной кислотой не как соль, а как молекулярное соединение.

Рассмотрим подробнее результаты опытов. Спектр раствора п-нитроанилина в уксусной кислоте при возбуждении линией 4358 Å получить не удалось вследствие фотохимического разложения и появления флуоресценции. При возбуждении линией 5460 Å был получен удовлетворительный спектр. В области частот валентного симметричного колебания нитрогруппы была найдена интенсивная линия 1316, а также вторая линия более слабая (1336).

Для того чтобы должным образом оценить эти значения, мы сопоставим их с результатами измерения частот п-нитроанилина в других растворителях (табл. 3). Рядом со значением частот указаны обычные визуальные оценки интенсивности в десятибалльной шкале (цифры в скобках). п-Нитроанилин в ацетоне в рассматриваемой области дает две линии возможной причиной появления I линии является ассоциация п-нитроанилина с растворителем; наиболее вероятной следует считать ассоциацию за счет взаимодействия с аминогруппой.

Таблица 3

Растворитель	Частоты нитрогруппы		
	I	II	III
Соляная кислота . . . . .	—	—	1354 (3)
Бензол . . . . .	—	1335,2 (4)	—
Ацетон . . . . .	1316 (8)	1333,2 (3)	—
Уксусная кислота . . . . .	1316 (6)	1336 (3)	—

Приведенные в табл. 3 цифры показывают, что в уксуснокислом растворе п-нитроанилина снижение частоты нитрогруппы, обусловленное электроположительными свойствами аминогруппы, отнюдь не исчезает.

### Выводы

1. Исследование спектров комбинационного рассеяния, включающее преимущественно исследование интенсивности спектральных линий (пикос), показывает, что в растворах анилина в муравьиной и уксусной кислотах не образуется настоящих солей; повидимому, образуется молекулярное соединение. К аналогичным выводам приводит исследование спектра раствора п-нитроанилина в уксусной кислоте.

2. Данные об интенсивности полосы бензольного кольца 1600 см<sup>-1</sup> могут быть использованы для решения вопроса о валентном состоянии атома азота, присоединенного к бензольному кольцу; данные об интенсивности полосы нитрогруппы могут быть использованы для суждения о характере заместителей, расположенных в пара-положении.

Физико-химический институт  
им. Л. Я. Карпова  
Москва

Поступила  
9.XII.1950

### ЛИТЕРАТУРА

1. Д. П. Коновалов, Журн. Русск. физ.-хим. об-ва, 24, 440, 1892; 25, 221, 1893.
2. В. Я. Аносов, Изв. Института физико-химического анализа, 9, 255, 1947.
3. М. А. Ключко и О. П. Чануквадзе, Изв. АН СССР, сер. хим., 1987, 1947.
4. В. Я. Аносов и С. А. Погодин, Основные начала физико-хим. анализа, 1947.
5. П. П. Шорыгин, Усп. хим., 22, 459, 1950.
6. А. Х. Халилов и П. П. Шорыгин, ДАН, 78, 87, 1951.

## О РОЛИ ГИДРОДИНАМИЧЕСКИХ УСЛОВИЙ В КИНЕТИКЕ СОРБЦИИ УКСУСНОЙ КИСЛОТЫ АКТИВНЫМИ УГЛЯМИ ИЗ ВОДНЫХ РАСТВОРОВ

И. Е. Ампилов и А. Н. Харин

Скорость сорбции растворенных веществ обычно изучается в условиях взбалтывания небольших порций раствора с адсорбентом. Например, в таких условиях И. М. Дубинин и Е. Д. Заверина изучали как функцию времени сорбцию растворенных веществ различными углями и установили, что кинетические кривые  $= f(t)$  при  $t \leq 60$  мин. удовлетворительно описываются уравнениями вида:  $= bt^m$  [1, 2].

В водной, нефтяной, эфирно-масляной промышленности и др. большое значение имеет сорбция веществ слоем сорбента из потока раствора, так называемая динамическая сорбция. В этих случаях, особенно при небольших значениях приведенного числа Рейнольдса  $Re = \frac{\alpha d}{\nu}$  [3] (где  $\alpha$ —скорость потока в см/сек.,  $d$ —средний диаметр зерен сорбента в см и  $\nu$ —кинематическая вязкость в см<sup>2</sup>/сек), скорость сорбции может в значительной мере зависеть от скорости подачи вещества к зернам, что было отчетливо обнаружено в ряде работ А. Н. Харина и сотрудников по изучению динамики сорбции различных веществ из водных растворов [4–8].

Изучение кинетики сорбции растворенных веществ с учетом гидродинамических факторов важно для понимания закономерностей динамики сорбции растворенных веществ, оно необходимо для понимания работы аппаратуры, предназначенной для очистки, разделения и анализа растворенных веществ адсорбционными методами. Роль кинетического фактора подчеркивается в ряде работ по хроматографическому разделению и анализу веществ [9, 10].

В намеченном нами плане кинетика сорбции веществ из потока растворов почти совсем не изучалась, тогда как аналогичная проблема для газов изучена довольно хорошо. Так, например, А. А. Жуховицкий и сотрудниками изучалась кинетика и динамика сорбции газов, и на основе внешнEDIFFУЗИОННЫХ представлений развития теории обоих явлений [11–15]. В работах А. В. Лыкова на основе подобия диффузии и теплопроводности рассмотрена кинетика сорбции и десорбции паров воды различными материалами с учетом внешней и внутренней диффузии [16–18]. В ряде работ эта проблема рассматривается с точки зрения внутренней диффузии как лимитирующего фактора [19, 20].

Рассмотрим особенности кинетики сорбции растворенных веществ по сравнению с газами. В явлениях внутренней диффузии отличие прежде всего заключается в том, что растворенное вещество, проникая в поры сорбента, должно вытеснять находящиеся в них молекулы жидкой среды. На различие скорости внутренней диффузии газов и растворенных веществ также должна влиять большая разница адсорбируемости их углями [11, 19]. (Коэффициент адсорбции для газов имеет значения  $10^3$ – $10^4$ , а для растворенных веществ  $10^1$ – $10^2$ ).

В явлениях внешней диффузии различия в жидких и газообразных адсорбционных средах прежде всего обнаруживаются в коэффициентах внешней диффузии: так, например, в водных средах коэффициенты диффузии растворенных веществ имеют значения  $D \sim 10^{-6}$  см<sup>2</sup>/сек, а для газов  $D \sim 10^{-1}$  см<sup>2</sup>/сек. Это значит, что сорбция растворенных веществ может протекать длительное время при неустойчивом режиме. Своеобразие условий гидродинамики обтекания зерен адсорбента обуславливает в жидкостях гораздо большую возможность, чем в газах, образования застойных мест («мертвых зон» [22]) в слоях зерен, особенно при небольших напорах, когда режим потока ламинарен. Это последнее обстоятельство должно приводить к увеличению путей внешней диффузии и к увеличению времени установления стационарности режима сорбции. При неустойчивом режиме сорбции всякое изменение условий обтекания зерен должно заметно сказываться на скорости сорбции.

Целью настоящей работы и явилось изучение роли различных гидродинамических факторов в кинетике сорбции из растворов. В качестве адсорбата была взята уксусная кислота, динамика сорбции которой изучалась ранее [4, 5].

Определялось количество адсорбированной кислоты  $a$  из потоков раствора за время  $t$  тонкими слоями углей (в одно или несколько зерен) различного зернения

при различных удельных скоростях тока водных растворов ( $\alpha$ ) и при различных условиях обтекания. Кроме того, кинетика сорбции изучалась в условиях быстрого перемещения свободных зерен угля в больших объемах раствора.

Все растворы готовились на дистиллированной прокипяченной (для удаления  $\text{CO}_2$ ) воде из химически чистой ледяной уксусной кислоты.

### Экспериментальная часть

Исходные угли (березовый и антрацитовый гранулированный) отмывались соляной кислотой и водой и прокачивались, как это описано в работах А. Н. Харина и Протасова [4, 5].

Подготовленный таким образом березовый уголь (№ 7) рассеивался на фракции:  $0,35 \div 0,3$  см;  $0,3 \div 0,2$  см;  $0,2 \div 0,15$  см со средними диаметрами: 0,325; 0,25 и 0,175 см. Из антрацитового угля (№ 9) получена фракция  $0,3 \div 0,2$  см с цилиндрическими гранулами длиной до 0,5 см и их осколками (условный средний диаметр  $\sim 0,25$  см). Из части этой фракции раздавливанием зерен и последующим рассевом была получена фракция  $0,2 \div 0,1$  см ( $d = 0,15$  см), частицы которой, так же как и угля № 7, имели неопределенную форму. Характеристика этих углей следующая:

	Уголь № 7	Уголь № 9
Зольность . . . . .	0,3%	3,8%
Влажность . . . . .	0,2%	0,3%
Извлечено кислот при экстракции эфиром	0	0,04 мг-экв/г
Насыпной удельный вес $\Delta$ . . . . .	0,19 г/см <sup>3</sup>	0,43 г/см <sup>3</sup>
Кажущийся удельный вес $\delta$ . . . . .	0,32 г/см <sup>3</sup>	0,70 г/см <sup>3</sup>
Истинный удельный вес $\rho$ . . . . .	1,83 г/см <sup>3</sup>	1,93 г/см <sup>3</sup>
Пористость . . . . .	82,5%	64%
Объем пор $V = \frac{1}{\delta} - \frac{1}{\rho}$ . . . . .	2,57 см <sup>3</sup> /г	0,91 см <sup>3</sup> /г
Ориентировочный объем микропор . . . . .	0,16 см <sup>3</sup> /г	0,16 см <sup>3</sup> /г
Объем микропор в % . . . . .	6,2	17,6

Методы исследования углей оставались прежними [4,5]. Объем микропор вычислялся по М. М. Дубинину [22] из адсорбции уксусной кислоты при больших концентрациях. (В наших опытах он оценен ориентировочно по последним точкам изотермы на рис. 1  $\sim 2,7 \frac{\text{мг-мол}}{\text{г}}$  при концентрации  $\sim 3N$ .)

Статическая адсорбция устанавливалась по разности исходной и равновесной концентрации после настаивания в течение трех суток определенного объема раствора с 0,4 г угля [4,5], а также разработанным нами методом определения адсорбированной уксусной кислоты экстракцией диэтиловым эфиром, оказавшимся более удобным и точным, чем метод экстракции кислот этиловым спиртом [4]. Метод экстракции эфиром заключается в следующем.

После установления равновесной концентрации уксусной кислоты мокрый уголь взвешивался и помещался в подвеску с сифоном П изображенного на рис. 2 аппарата. В колбу К емкостью 100 см<sup>3</sup> наливался определенный объем титрованного раствора щелочи и 10–15 см<sup>3</sup> перегнанного эфира, промытого предварительно щелочью.

Рис. 1. Изотермы адсорбции уксусной кислоты на углях № 7 и № 9

Колба закрывалась припаянным конком холодильника. Число сливаний в таком «микросоклете» достигает 200–250 в час и через 2–3 часа полностью заканчивается экстракция кислоты даже из мокрого зернового угля \*. После экстракции в колбу добавлялся спиртовой раствор фенолфталеина и избыток щелочи оттитровывался соляной кислотой. Из определенного таким образом коли-

\* В подвеску может поместиться до 4 см<sup>3</sup> угля. Извлекаемая при каждом сливе кислота связывается щелочью. При работе расходуется очень мало эфира,



ества кислоты вычислялось ее содержание в жидкости, смачивающей уголь, для чего надо знать вес этой жидкости и концентрацию кислоты в ней, т. е. равновесную концентрацию.

Обе изотермы изображены на рис. 1.

В пределах ошибок измерений для разных фракций одного и того же угля изотермы совпадают. При концентрациях до  $\sim 60 \frac{\text{мг-моль}}{\text{л}}$  оба метода дают близко сходящиеся результаты. При больших концентрациях расхождения больше и воспроизводимость результатов хуже. Найденные методом наименьших квадратов константы уравнения Лангмюра по первым четырем точкам не одинаково отражают опытные результаты (для



Рис. 2. Прибор для экстракции кислоты, адсорбированной углем

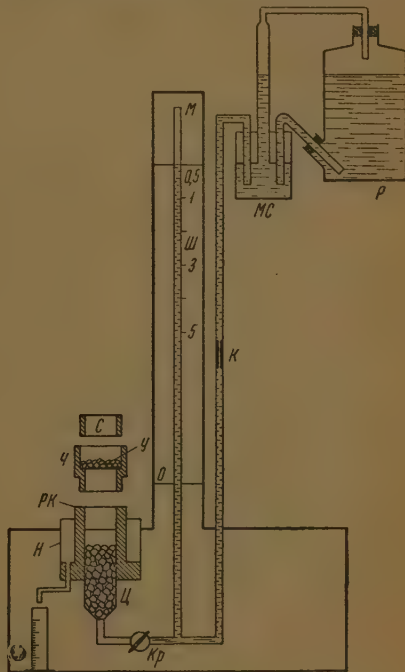


Рис. 3. Прибор для изучения кинетики адсорбции кислоты из потока раствора

угля № 7 лучше, чем для угля № 9), а во всей области концентраций (до  $3N$ ) уравнение Лангмюра не может выразить опытные данные ни для первой, ни для второй изотермы.

Для изучения кинетики сорбции мы пользовались прибором, изображенным на рис. 3. Он состоит из резервуара для раствора  $P$ , малого сосуда с постоянным уровнем  $MC$ , трубки с капилляром  $K$ , шкалы с манометрической трубкой  $M$ , регулировочного крана  $K_p$  и рабочей чашки  $Ч$ , выточенной из толстостенной медной трубки с внутренним диаметром 3 см. В нее впаяна медная сетка, на которую накладывался слой угля в одно зерно  $У$ . Навеска угля бралась равной произведению насыщенного веса угля ( $\Delta$ ) на площадь сетки ( $S = 7 \text{ см}^2$ ) и на диаметр зерен угля ( $d$ ).

Уголь сверху закрывался или медной сеткой  $С$  или засыпался кусочками стекла (такого же среднего диаметра). Чашка вставлялась в толстостенное резиновое кольцо  $РК$ , надетое на стеклянный цилиндр  $Ц$ , который был засыпан кусочками стекла. В некоторых опытах в цилиндр вставлялась резиновая пробка

с отверстием и вместо чашечки в отверстие вставлялась стеклянная трубочка высотой 3 см с внутренним поперечным сечением  $S = 1,7 \text{ см}^2$ . В трубку между медными сетками закладывался слой угля высотой в 1 см (или в 2,5 см). Во время работы жидкость стекает через края чашки (или трубки) в наружный цилиндр  $H$  и вытекает в мерный цилиндр через сливное отверстие. Во всех кинетических опытах навески сухого угля кипятились 30 мин. в дистиллированной воде и подавались мокрыми для исследования. Опыты проводились при температуре 17—20°C.

При закрытом кране  $K_p$  жидкость в манометрической трубке  $M$  достигает уровня ее в малом сосуде  $MC$ . Если кран открыт полностью, то уровень ее в трубке  $M$  будет почти на уровне слива из чашки. При таких условиях из чашки будет вытекать некоторый объем жидкости  $V \text{ см}^3/\text{мин}$ , который может пропустить капилляр  $K$  в минуту.

Прикрывая кран, можно уменьшить скорость тока до желаемой величины  $V_{Kp} < V$ , которой будет соответствовать определенный уровень жидкости в трубке  $M$ , тем более высокий, чем меньше будет скорость потока. Удельная скорость  $\alpha \text{ см/мин}$

(в слое угля) получалась из отношения  $\frac{V_{Kp}}{S}$ ,  $S = 7 \text{ см}^2$  для опытов в чашечке (слой в 1 зерно) и  $S = 1,7 \text{ см}^2$  для опытов в слое в 1 см.

Для опытов с чашечкой мы пользовались двумя капиллярами. Одним для  $\alpha$  от 0 до 2 см/мин. и другим от 2 до 16 см/мин. В начале каждого опыта устанавливалась нужная скорость по высоте жидкости в манометрической трубке. Затем в резиновое кольцо вставлялась чашечка с углем. Секундомер включался, когда жидкость появлялась за слоем угля. Объем жидкости, вытекающей в мерный цилиндр, начинал контролироваться через 1—2 мин. В нужный момент кран  $K_p$  закрывался, чашечка (или трубочка) сейчас же вынималась из цилиндрика, мокрый уголь взвешивался и в нем определялось содержание  $\text{CH}_3\text{COOH}$  методом экстракции эфиром. Для построения кинетической кривой  $\alpha = f(t)$  производилось 4—5 опытов с одним или двумя контрольными определениями. Пример воспроизводимости результатов этих определений приведен в табл. 1. Эти опыты были произведены со слоем в одно зерно (между двумя сетками) с углом № 7,  $d = 0,25 \text{ см}$ ;  $\alpha = 1 \text{ см/мин.}$ ;  $c_0 = 7 \text{ мг-мол/л}$ . Навески угля равнялись  $\Delta S d = 0,19 \cdot 7 \cdot 0,25 = 0,332$ .

Отклонения отдельных определений сорбции от средних не превышает  $\pm 0,02 \text{ мг-мол/г}$ . Особенно хорошо воспроизводятся опыты со слоем в 1 см.

Средние отклонения отдельных определений можно оценить в  $\pm 0,01 \text{ мг-мол/г}$ .

В табл. 2 и 3 приведены результаты опытов по адсорбции из потока раствора различными слоями углей.

В табл. 4 приведены результаты, полученные в условиях быстрого перемещения свободных зерен угля в баллонах с 10 л раствора при  $c_0 = 7 \frac{\text{мг-мол}}{\text{л}}$ . Для этого две навески угля № 7 по 0,3 (или 0,6 г угля № 9),

Таблица 1

Опыты для построения одной кинетической кривой со „слоем в одно зерно“

Адсорбировано $\alpha$ мг-мол г	Продолжитель- ность опыта, мин.
0,154 } 0,15	10
0,152 }	10
0,244 } 0,23	30
0,208 }	30
0,302 } 0,30	60
0,297 }	60
0,421 } 0,42	180
0,417 }	180

прокипяченные в воде, помещались в две стеклянные трубочки диаметром 2 см и длиной 6 см. Концы трубок закрывались медными сетками. Трубки прикреплялись в вертикальном положении медной проволокой к длинной стеклянной палочке, при помощи которой они опускались и поднимались в баллоне со скоростью 10—15 см в сек. При такой скорости обтекания зерен раствором приведенное число Рейнольдса достигает нескольких сотен, и режим обтекания должен быть турбулентным.

Через определенное время трубки быстро вынимались из раствора и в угле определялось содержание кислоты методом экстракции эфиром.

Концентрацию в расчетах можно было принимать за постоянную, равную исходной, так как ее изменения во время опытов были ничтожны. Например, в опытах с углем № 7 максимальное изменение ее может

Таблица 2

Количество адсорбированной кислоты  $a = \frac{\text{мг/мол}}{\text{г}}$  углем № 7 из тока раствора

$$c_0 = 7 \frac{\text{мг/мол}}{\text{л}}$$

t, мин.	Условия									
	Слой в одно зерно — 0,233 г					Слой в 1 см 0,323 г				
	d, см									
	0,175					0,175				
	$\alpha \frac{\text{см}}{\text{мин.}}$									
	0,5	1	3	8	16	0,5	1	3	8	
10	0,18	0,19	0,23		0,25		0,13		0,23	
30	0,28	0,32	0,36	0,40	0,43		0,29		0,41	
60	0,33	0,38	0,43	0,49	0,47		0,39		0,50	
90	—	—	—	—	—		0,46		—	
120	0,39	0,46	0,51	0,57	—		0,50		0,58	

t, мин.	Условия									
	Слой в одно зерно — 0,332 г.					Слой в 1 см — 0,323 г				
	d, см									
	0,25					0,25				
10	0,10	0,15	0,17	—	0,19	0,075	0,10	0,14	0,21	
30	0,19	0,23	0,29	0,31	0,32	0,17	0,205	0,27	0,32	
60	0,26	0,30	0,34	0,39	0,40	0,23	0,32	0,38	0,40	
90	—	—	—	—	—	0,29	0,38	0,435	—	
120	0,31	—	—	0,45	—	0,33	0,43	0,48	0,50	
180	0,36	0,42	0,45	—	—	—	—	—	—	

$t$ , мин.	У с л о в и я							
	Слой в одно зерно, засыпанный стеклом 0,382 г				Слой в одно зерно на удвоенной площади (14 см <sup>2</sup> ) 0,332 г			
	$d$ , см							
	0,25				0,25			
10		0,14	0,20	0,27			0,09	
30		0,22	0,28	0,34			0,18	
60		0,31	0,36	0,41			0,26	
120		0,41	0,44	0,47			0,34	

мин.	Условия								
	Слой в одно зерно — 0,432 г					Слой в 1 см — 0,323 г			
	0,325					0,325			
10	0,06	0,07	0,13	0,14	0,14		0,09	0,12	0,16
30	0,12	0,15	0,21	0,26	0,27		0,19	0,23	0,26
60	0,17	0,22	0,27	0,33	0,32		0,27	0,33	0,36
90	—	—	—	—	—		0,33	—	—
120	0,26	0,29	0,33	0,37	0,38		0,36	0,39	0,43

Таблица 3

Количество адсорбированной кислоты  $\alpha \frac{\text{мг-мол}}{\text{г}}$  углем № 9 из  
тока раствора с  $c_0 = 7 \frac{\text{мг-мол}}{\text{л}}$

$t$ , мин.	У с л о в и я			
	Слой в 1 см 0,730 г		Слой в 1 см 0,730 г	
	$d$ , см			
	0,15		0,25	
	$\alpha \frac{\text{см}}{\text{мин.}}$			
	1	3	1	3
10	0,07	0,105	0,04	0,06
30	0,16	0,19	0,09	0,10
60	0,22	0,24	0,13	0,15
90	0,255	0,28	—	—
120	0,27	0,30	0,17	0,19

Таблица 4

Количество адсорбированной кислоты  $\alpha \frac{\text{мг-мол}}{\text{г}}$  при бы-  
стром движении зерен в 10 л раствора

$t$ , мин.	Уголь				
	№ 7			№ 9	
	$d$ , см				
	0,175	0,25	0,325	0,15	~0,25
10	0,40	0,26	0,19	0,15	0,09
30	0,56	0,48	0,40	0,24	0,14
60	0,61	0,58	0,51	0,31	0,19

достигать только  $\frac{0,3 \cdot 2 \cdot 0,6}{10} = 0,036 \frac{\text{мг-мол}}{\text{л}}$  ( $0,6 \frac{\text{мг-мол}}{\text{л}}$  это значение статистического насыщения при  $c_0 = 7 \frac{\text{мг-мол}}{\text{л}}$  по опытной изотерме).

Этим именно обстоятельством условия наших опытов отличаются от условий обычно применяемого взбалтывания угля с малыми количествами раствора, когда во время самого опыта заметно меняется концентрация, что очень осложняет теоретический анализ результатов. Однако эти опыты потребовали очень большого количества раствора уксусной кислоты.

### Обсуждение результатов

Остановимся на анализе полученных результатов с точки зрения существующих теорий диффузии и кинетики сорбции.

В работах А. В. Лыкова [17,18] рассмотрена задача симметричного поглощения паров воды шарообразным телом из газообразной среды с постоянной влажностью. При этом учитывалась как внешняя, так и внутренняя диффузия. Решение этой задачи может быть рассмотрено на случай адсорбции шарообразными зёрнами угля.



Это решение для случая прямолинейной изотермы имеет вид:

$$\frac{a}{a_0} = 1 - 6 \sum_{n=1}^{\infty} \frac{H^2 R^2}{\mu_n^2 (\mu_n^2 + H^2 R^2 - HR)} e^{-\mu_n^2 \tau}, \quad (1)$$

где  $H = \frac{\beta' R}{\Gamma D}$ ;  $R$  — радиус зерна в сантиметрах;  $\beta'$  — кинетический коэффициент внешней передачи в 1/сек;  $\Gamma$  — коэффициент адсорбции (безразмерный);  $D$  — коэффициент внутренней диффузии в  $\text{см}^2/\text{сек}$ ;  $t$  — время в секундах;  $\tau = \frac{Dt}{R^2}$ ;  $\frac{a}{a_0}$  — отношение количества адсорбированного вещества  $a$  за время  $t$  к статической адсорбции  $a_0$ , равновесной с подаваемой концентрацией  $c_0$ ,  $\mu_n$  — корни характеристического уравнения:

$$\mu_n = -\frac{\mu_n}{HR - 1}.$$

Из анализа уравнения (1) вытекает, что при  $HR > 10$   $\mu_n \approx n\pi$ ,  $\frac{H^2 R^2}{\mu_n^2 + H^2 R^2 - HR} \approx 1$ .

Для этого случая получается приближенное уравнение:

$$\frac{a}{a_0} = 1 - \frac{6}{\pi^2} \sum_{n=1}^{\infty} \frac{1}{n^2} e^{-\frac{n^2 \pi^2 Dt}{R^2}}. \quad (2)$$

Так как в уравнении (2) ряд быстро сходится, то, ограничиваясь только первым членом ряда и полагая  $\frac{6}{\pi^2} \approx 1$ , будем иметь\*

$$\frac{a}{a_0} = 1 - e^{-\frac{\pi^2 Dt}{R^2}}. \quad (3)$$

Опыты, результаты которых даны в табл. 4, ставились с намерением вести кинетику сорбции к внутридиффузионному режиму (большое  $HR$ ) при постоянной концентрации около зерен, лежащей в начальной области изотермы, которую можно принять за прямолинейную. Поэтому по результатам этих опытов мы попытались, пользуясь уравнением (3), оценить величину коэффициента внутренней диффузии, несмотря на неполное соответствие условий опытов с предположениями этого уравнения.

Принимая для угля № 7  $a_0 = 0,60 \frac{\text{мг-мол}}{\text{г}}$

$$\left( \Gamma = \frac{a_0 \cdot \Delta \cdot 1000}{c_0} = \frac{0,6 \cdot 0,19 \cdot 1000}{7} = 16,3 \right)$$

подставляя опытные значения  $a$  и  $t$  (в секундах) в уравнение (3), мы получили

для фракции  $d = 0,325$  см:  $D = 1,57 \cdot 10^{-6} \frac{\text{см}^2}{\text{сек.}}$  (из трех значений  $\frac{1,68 + 1,63 + 1,41}{3} \cdot 10^{-6}$ )

для фракции  $d = 0,25$  см:  $D = 1,47 \cdot 10^{-6} \frac{\text{см}^2}{\text{сек.}}$

\* Такое же уравнение получил Вилке, исходя из предположений о лимитирующей роли внутренней диффузии, но вместо  $D$  у него стоит  $\frac{Di}{A}$  [20].  $Di$  соответствует  $AD$  или в нашем обозначении  $\Gamma D$ , так как  $A = \Gamma$ .

для фракции  $d = 1,75$  см:  $D = 1,25 \cdot 10^{-6} \frac{\text{см}^2}{\text{сек.}}$ ,

$$\text{Среднее } D = 1,43 \cdot 10^{-6} \frac{\text{см}^2}{\text{сек.}}$$

и  $GD = 2,33 \cdot 10^{-5} \frac{\text{см}^2}{\text{сек.}}$

Для угля № 9 ( $a_0 = 0,35 \frac{\text{мг-мол}}{\text{г}}$  и  $\Gamma = 21,5$ )

для фракции  $d \approx 0,25$  см:  $D = 0,57 \cdot 10^{-6} \frac{\text{см}^2}{\text{сек.}}$ ,

для фракции  $d = 0,15$  см:  $D = 0,42 \cdot 10^{-6} \frac{\text{см}^2}{\text{сек.}}$

$$\text{Среднее } D = 0,49 \cdot 10^{-6} \frac{\text{см}^2}{\text{сек.}}$$

и  $GD = 1,05 \cdot 10^{-5} \frac{\text{см}^2}{\text{сек.}}$

Коэффициент внутренней диффузии для оказался меньше, чем для угля № 7. По

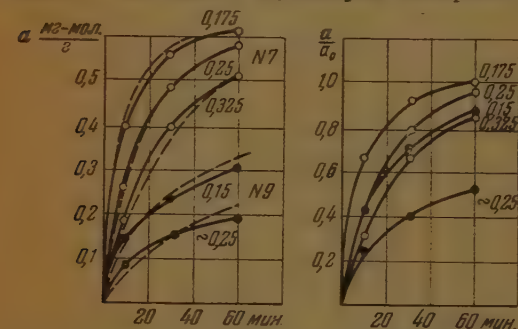


Рис. 4. Кривые кинетики адсорбции кислоты при быстром перемещении зерен угля в большом объеме раствора

о чем можно судить по правой половине рис. 4.

Переходя к анализу результатов, полученных при сорбции кислоты слоями угля из потока (табл. 2 и 3), прежде всего необходимо подчеркнуть, что во всех случаях для соответствующих фракций угля № сорбция идет гораздо медленнее, чем при быстром перемещении зерен в растворе, даже если удельные скорости потока доводить до  $16 \frac{\text{см}}{\text{сек.}}$  Кроме того, ясно обнаруживается зависимость скорости сорбции от скорости потока и от условий обтекания зерен в слое. Для примера на рис. 5 изображены кривые  $a = f(t)$  для угля № 7 с  $d = 0,25$ , полученные при сорбции из потока слоем в одно зерно при удельных скоростях от 0,5 до 16 см/мин. и для сопоставления приведена соответствующая кривая (с  $d = 0,25$ ) из рис. 4 (отмеченная  $a \rightarrow \infty$ ), лежащая гораздо выше остальных. Такая же картина получается и с другим фракциями обоих углей.

На рис. 6 приведены кривые кинетики, полученные при одной и той же удельной скорости  $\alpha = 1 \frac{\text{см}}{\text{мин.}}$  с углем № 7 ( $d = 0,25$  см) и при разных условиях обтекания зерен.

1 — кривая со слоем в одно зерно (между двумя сетками);

2 — кривая со слоем в 1 см;

более плотного угля № 7 найденным средним значением  $D$  на рис. 4 пунктиром построены теоретические кривые [по уравнению (3)], которые находятся не в плохом соответствии с опытными кривыми (сплошные линии), особенно, если учесть неполное соответствие условий опытов (особенно формы зерен) с предположениями вывода уравнения (3) и приближенный характер последнего. Надлежит полагать, что в условиях этих опытов действительно главную роль играет внутренняя диффузия.

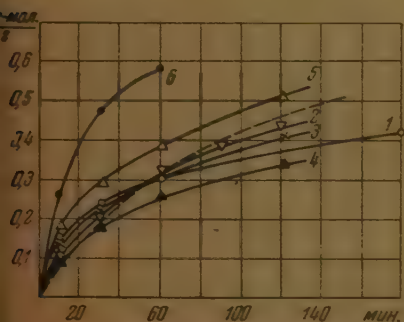
Уголь № 7 насыщается гораздо быстрее угля № 9

- 3 — кривая со слоем в одно зерно, засыпанном стеклом (без верхней сетки);  
 4 — кривая с навеской угля, как в слое в одно зерно, но на удвоенной площади (между двумя сетками);  
 5 — кривая со слоем в 1 см с переменной направления потока через две 5 мин;  
 6 — кривая в условиях быстрого перемещения свободных зерен угля в растворе. Пунктирная кривая вычислена по теоретическому уравнению (7) (см. ниже).

Все эти результаты показывают, что в условиях сорбции из тока раствора главную роль играет внешняя диффузия, передающая как фактор, лимитирующий скорость сорбции. В этом смысле наше исследование полностью подтверждает выводы о роли внешней диффузии, сделанный ранее при изучении динамики сорбции растворенных веществ при  $\alpha \leq 5 \frac{\text{см}}{\text{мин}}$  в работах нашего коллектива [8].

Заслуживает внимания, что при работе слоя в одно зерно вначале скорость сорбции быстро уменьшается и делается совсем маленькой при больших временах (кривая 1 на рис. 6), когда насыщение угля еще не достигает статического.

При очень малом напоре, который имеет место в условиях этих опытов при ламинарном потоке, водный раствор в основном протекает



6. Кривые кинетики адсорбции кислоты различными условиями обтекания зерен № 7 со скоростью  $\alpha = 1 \text{ см/мин}$

При размещении той же навески на удвоенную площадь (табл. 2) стояния между зернами увеличиваются, пути внешней диффузии становятся еще больше и кривая кинетики (4 на рис. 6) ложится ниже 1. Воборот, засыпая зерна угля кусочками стекла и уменьшая тем самым стояния между частицами, мы достигали лучших результатов, особенно в больших временах (кривые 3 на рис. 6). Еще большее увеличение адсорбции при больших временах достигается в слое угля

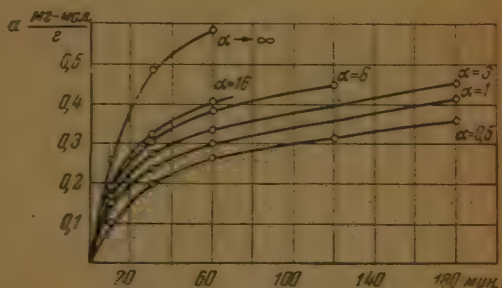


Рис. 5. Кривые кинетики адсорбции кислоты углем № 7 со слоем в одно зерно между двумя сетками при разных скоростях потока раствора

в больших просветах между зернами, оставаясь почти неподвижным вблизи зерен и в местах узких просветов. Если исходить из закона Пуазейля, то расход должен быть пропорционален четвертой степени «радиуса просвета» [21]. В таких застойных местах раствор обедняется сорбатом. Пути внешней диффузии становятся большими, и сорбция длительное время должна будет протекать при неустойчившемся режиме, следовательно, чего должно быть сильное замедление сорбции с течением времени. Это и наблюдается в ходе сорбции со слоем в одно зерно (кривая 1).

в 1 см. очевидно, из-за дальнейшего улучшения условий обтекания зерен (см., например, кривую 2 на рис. 6).

Интересно, что при малых временах уголь в слое в 1 см сорбирует меньше, чем слой в одно зерно (табл. 2 и рис. 6), причём это может быть объяснено понижением концентрации раствора между зёрнами при малых временах в слое в 1 см, чем в слое в одно зерно.

Как видно, условия обтекания зерен угля играют существенную роль в кинетике сорбции из потока раствора. Обстоятельством, обнаруженным нами, увеличение скорости сорбции в опытах со слоем угля ( $M_1 - a_1 = 0.25$  см) в 1 см, в которых нахлесты 5 мин. изменялось направление потока ( $\alpha = 1 \frac{\text{см}}{\text{мин}}$ ), через слой угля, что достигалось быстрым перерыванием нахлест раз трубочки с углем (см. кривую 5 на рис. 6).

Внешнелиффузионная кинетика газовой сорбции удовлетворительно описывается приближенным уравнением (4) [12]

$$\frac{da}{dt} = \beta(c - y),$$

которым пользуются, в частности, А. А. Жуховицкий и соавторы в теории динамики сорбции газов [13—15].

При  $c = c_0 = \text{const}$  и при линейной изотерме:  $a = \Gamma y$ . Уравнение (4) превращается в

$$\frac{da}{dt} = \frac{\beta}{\Gamma}(a_0 - a),$$

где  $a_0$  — адсорбция, равновесная с  $c_0$ . Все величины  $c_0$ ,  $y$ ,  $a_0$  и  $a$  выражаются в  $\frac{\text{мг-моль}}{\text{см}^3}$ .

Это уравнение, как приближенное, получается из уравнения (1) во внешнелиффузионном режиме сорбции, так как при  $HR \ll 1$   $\frac{a}{a_0} \approx 3HR$  (17, стр. 78) уравнение (1) даёт приближенное уравнение:

$$\frac{a}{a_0} = 1 - \frac{6H^2R^2}{3HR(3HR + H^2R^2 - HR)} e^{-3HR}.$$

Пологая  $3H^2R^2 \ll 6H^2R^2$ , можно написать

$$\frac{a}{a_0} = 1 - e^{-\frac{3a}{\Gamma}}.$$

Заменяя  $3a/\Gamma = \beta$ , получаем уравнение

$$\frac{a}{a_0} = 1 - e^{-\frac{\beta a}{\Gamma}},$$

которое является интегральной формой уравнения (5).

Это уравнение, как и более общее уравнение (4), предполагает постоянство режима сорбции при заданных условиях, при которых  $\beta$  не зависит от времени, что в основном выполняется при адсорбции газа из потока как слоем угля в одно зерно, так и отдельным зерном [1]. Если же, пользуясь уравнением (7), по цифрам табл. 2 и 3, вычислять по нашим опытам со слоем в одно зерно, то получаются не постоянные значения для данной кривой кинетики, а уменьшающиеся со временем.

\* В случае сорбции плоскими телами вместо уравнения (2) получается уравнение  $\frac{a}{a_0} = 1 - e^{-\frac{\beta a}{\Gamma}}$ , тождественное с уравнением (7).



и при малых удельных расходах газа. Это, по нашему мнению, все время говорит о недостаточности режима при сорбции на потоке газа в этих условиях. Уменьшение  $\beta$  зависит от условий обтекания и в слое.

Например, по опытам: углом № 7;  $d = 0,25$  мм, при  $\alpha = 1 \frac{\text{см}}{\text{мин}}$  получены следующие значения  $\beta$   $\frac{1}{\text{мин}}$ .

Время, мин.	10	20	30	40	50	Среднее по 5 измерениям
в слое зерен	0,09	0,10	0,09	0,14	0,12	0,10
в слое зерен, за- полненном	0,13	0,15	0,16	0,17	0,16	0,15
в 1 см	0,10	0,10	0,11	0,08	0,17	0,10

Наименьшие изменения  $\beta$  наблюдаются в слое  $d = 1$  см, т.е. в условиях течения, которые имеют место в динамической сорбции.

Кроме указанных значений  $\beta$ , приведенных в последнем столбце, вычисляли усредненные кинетические коэффициенты по времени, по формуле  $\alpha = 0,5 \alpha_0$ , по уравнению

$$\beta_{\text{ср}} = \frac{\Gamma}{t} \ln 2. \quad (8)$$

Усредненные значения  $\beta$ , вычисленные двумя способами, более или менее соответствовали друг другу или совпадали друг с другом. В табл. 5 приведены значения  $\beta_{\text{ср}}$  для всех опытов.

Если по опытным значениям  $\beta$  (табл. 5) строить кривые по уравнению (7), то можно обнаружить, что степень несовпадения их с кривыми, полученными из кинетики сорбции, от динамического режима и от условий обтекания зерен в слое. Например, кривая 1 на рис. 6 (слой в 1 см зерен) находится в меньшем соответствии с теоретической (гипотетической) линией, чем кривая 2, полученная слоем в 1 см. Это, конечно, связано с уменьшением путей внешней диффузии во втором слое, а значит, и с уменьшением времени установления стационарного режима сорбции, что приближает условия к требованию уравнения (7). Однако выведенному уравнению (7) для кинетики сорбции слоем 1 см при  $\alpha = 1 \frac{\text{см}}{\text{мин}}$  для угла № 7 с различным параметром зерен можно дать на рисунке 7. При больших скоростях  $\alpha = 8$  см/мин, отступения больше, что, возможно, связано с дополнительными наложениями явления вытесненной диффузии. В ранее выполненных работах нашего института в 8 см усматривалась причина отступлений динамики сорбции от статических значений (растущих с ростом  $\alpha$  и  $\beta$ ) от требований теории А. Кухаренко и других [4—8]. Вопрос о возможности и роли вытесненной диффузии в кинетике сорбции веществ с малыми молекулами углерода в потоке требует дальнейшего изучения.

Относя формулы к кинетике углеродистых газов на угле № 7, мы вычисляли расчет теоретических кривых:  $\alpha = 1$  по формуле (уравнению Давида) для начального участка кривой и по формуле (уравнению (8) для постоянного  $\beta$ . Расчет по формуле (уравнению (8) для постоянного  $\beta$ , которое мы не приводим см. [6], существенно не изменяет значения теоретической кривой по сравнению с вычисленной по уравнению (7) и, т.е. из линейной кинетики.

Таблица 5

## Значения кинетических коэффициентов

Уголь № 7										
d, см	$\alpha \frac{\text{см}}{\text{мин.}}$	Слой в одно зерно		Слой в одно зерно, засыпанный стеклом		Слой в 1 см		Из опытов А. Н. Харина и П. Н. Протасова по динамике сорбции $\text{CH}_4$ $\text{COOH}$ [4,5] $\beta \frac{1}{\text{мин.}}$	$\beta_{\text{выч}} = \frac{28,4 D_{\text{внешн}} \alpha^{0,41}}{\sqrt{0,41 d^3 1,69}}$	
		$t_{0,5}$ мин.	$\beta_{0,5} \frac{1}{\text{мин.}}$	$t_{0,5}$ мин.	$\beta_{0,5} \frac{1}{\text{мин.}}$	$t_{0,5}$ мин.	$\beta_{0,5} \frac{1}{\text{мин.}}$			
0,175	0,5	42	0,27	—	—	—	—	—	$\frac{1}{0,0042 \text{ сек.}}$	$\frac{1}{0,25 \text{ мин.}}$
	1	26	0,43	—	—	34	0,33	—	0,0057 "	0,34 "
	3	19	0,59	—	—	—	—	—	0,0088 "	0,53 "
	8	15	0,75	—	—	16	0,70	—	0,0132 "	0,79 "
	16	14	0,80	—	—	—	—	—	—	—
0,25	0,5	106	0,41	—	—	100	0,11	0,43	0,0023 "	0,44 "
	1	60	0,19	—	0,20	57	0,20	0,20	0,0032 "	0,19 "
	3	37	0,30	—	0,31	36	0,31	0,33	0,0050 "	0,30 "
	8	28	0,40	—	0,49	26	0,43	—	0,0073 "	0,44 "
	16	26	0,49	—	—	—	—	—	—	—
0,325	0,5	157	0,07	—	—	78	0,14	—	0,0016 "	0,096 "
	1	130	0,09	—	—	50	0,22	0,15	0,0022 "	0,13 "
	3	90	0,13	—	—	40	0,28	—	0,0033 "	0,20 "
	8	44	0,26	—	—	—	—	—	0,0048 "	0,29 "
	16	42	0,27	—	—	—	—	—	—	—
Уголь № 9										
Слой в 1 см										
d, см	$\alpha \frac{\text{мин.}}{\text{см}}$	$t_{0,5}$ мин.	$\beta_{0,5} \frac{1}{\text{мин.}}$	$\beta_{\text{выч}}$	d, см	$t_{0,5}$ мин.	$\beta_{0,5} \frac{1}{\text{мин.}}$	$\beta_{\text{выч}}$		
0,15	1	36	0,41	$\frac{1}{0,0072 \text{ ссек.}}$	0,25	120	0,12	$\frac{1}{0,0032 \text{ ссек.}}$	$\frac{1}{0,19 \text{ мин.}}$	
	3	25	0,59	0,0112 "	—	80	0,19	$\frac{1}{0,0050 \text{ ссек.}}$	0,30 "	

Из табл. 5 можно видеть, что значения  $\beta_{0.5}$ , найденные по кривым кинетики сорбции слоем в 1 см, почти в точности совпадают со значениями  $\beta$ , найденными А. Н. Хариным и П. Н. Протасовым [4, 5] по результатам динамических опытов с уксусной кислотой с применением теории А. А. Жуковского и сотрудников [13—15].

Удовлетворительная приложимость этой теории к динамике сорбции растворенных веществ при небольших скоростях потока объясняется высокой выполнимостью уравнения (7) при таких условиях обтекания зерен в слое, какие имеют место в реальных слоях угля.

Следует подчеркнуть, что нахождение усредненных значений  $\beta$  по кривым  $a = f(t)$ , полученным со слоем угля толщиной в несколько зерен, может оказаться более полезным, чем метод нахождения их по результатам динамических опытов [4], вследствие большей точности. Практически это важно, так как кинетические коэффициенты играют существенную роль в расчетах динамики сорбции.

Для установления более общего вида функции  $\beta = f(a, d)$ , чем это было сделано по нескольким результатам динамических опытов [4, 5], мы вычислили значения критериев  $Nu = \frac{\beta d^2}{D_{\text{внеш}}}$  и

$Re = \frac{a d}{\nu}$  по результатам кинетических опытов со слоем в 1 см ( $D_{\text{внеш}} = D_{\text{внеш}} = 10^{-5} \frac{\text{см}^2}{\text{сек.}}$ , кинематическая вязкость

$\nu = 0,01 \frac{\text{см}^2}{\text{сек.}}$ ) и искали зависимости между этими критериями в форме  $Nu = k Re^n$ , как это делают в теплопередаче [23] и как ее отыскивали Л. Забежинский, А. А. Жуховицкий и А. Н. Тихонов для газов [15]. На

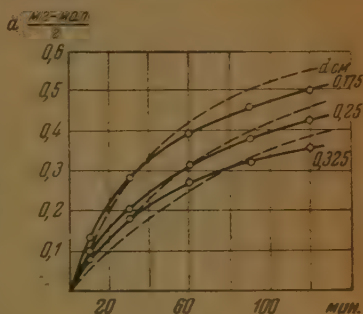


Рис. 7. Кривые кинетики адсорбции на зернах угля № 7 разного диаметра при  $a = 1$  см/мин. и при толщине слоя в 1 см

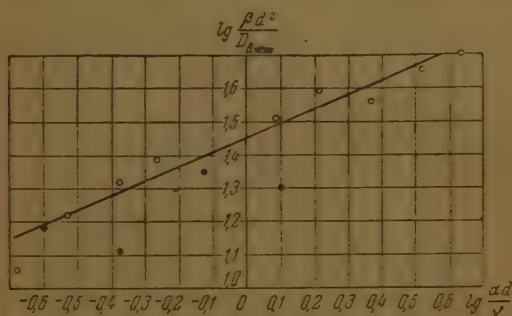


Рис. 8

рис. 8 графически показана зависимость между  $\lg Nu$  и  $\lg Re$ . Точками отмечены результаты, полученные с углем № 9, из которых две точки (для фракции  $d \sim 0,25$  с гранулированными зернами) легли значительно ниже прямой, проведенной на рисунке, около которой легли другие точки для угля № 9 (с  $d = 0,15$ ) и все точки для угля № 7.

Как и в динамике сорбции растворенных веществ [8], здесь обнаруживается замедленный процесс сорбции гранулированным углем (зани-

женные  $\beta$ ), очевидно, из-за большей возможности образования «мертвых» зон [8].

Такая чувствительность к форме зерен, а также независимость усредненных значений  $\beta$  от сорта угля лишний раз свидетельствует о том, что в кинетике сорбции растворенных веществ из потока (при  $\alpha \leq 8 \frac{\text{см}}{\text{мин.}}$ ) в основном лимитирующую роль играет внешняя передача.

Уравнение прямой на рис. 8 имеет вид:

$$\lg \frac{\beta d^2}{D_{\text{внеш}}} = 1,453 + 0,41 \lg \frac{\alpha d}{v},$$

откуда

$$\beta_{\text{выч}} \left( \frac{1}{\text{сек.}} \right) = 28,4 \frac{D_{\text{внеш}} \alpha^{0,41}}{v^{0,41} d^{1,59}}. \quad (9)$$

Вычисленные по уравнению (9)  $\beta_{\text{выч}}$  приведены в последнем столбце табл. 5. Уравнение (9) аналогично уравнению:

$$\beta = 1,6 \frac{D \alpha^{0,54}}{v^{0,54} d^{1,46}},$$

найденному для газов [15], и отличается от него главным образом величиной константы.

Пользуемся случаем выразить благодарность А. А. Жуховицкому и Я. Л. Забежинскому за ценные советы и постоянное внимание к нашей работе.

### Выводы

1. В работе доказано, что скорость сорбции уксусной кислоты из потока водного раствора зависит от скорости потока и от гидродинамических условий обтекания зерен угля и, следовательно, от условий внешней передачи растворенного вещества сорбенту. Варьируя эти условия, можно изменять скорость сорбции веществ.

2. Обнаружены отступления кинетических кривых сорбции тонкими слоями углей (в одно или несколько зерен) из потока раствора от вычисляемых по приближенному уравнению внешнедиффузионной кинетики:  $\frac{\partial a}{\partial t} = \beta(c - y)$ , которое требует быстрого установления стационарности режима сорбции.

3. Обнаруженные отступления выражаются в большем замедлении сорбции во времени, чем это следует из приведенного уравнения, и степень отступлений зависит от гидродинамических условий обтекания зерен, от скорости потока раствора и от диаметра зерен угля. Невыполнение этого уравнения, даже при малых скоростях потока раствора  $\alpha \leq 3$  см/мин, должно быть в первую очередь объяснено большими временами установления стационарности режима сорбции в растворах, обусловленными малыми коэффициентами диффузии в жидкостях и особенностями гидродинамики обтекания зерен.

4. При небольших скоростях потока ( $\alpha \leq 3$  см/мин.) уравнению внешнедиффузионной кинетики лучше всего соответствуют опытные кривые, полученные со слоем угля в несколько зерен (слой в 1 см), из-за меньших путей диффузии в этих условиях.

5. Усредненные кинетические коэффициенты, найденные по кривым кинетики со слоем в 1 см, совпадают с ранее найденными значениями  $\beta$  по динамическим опытам с уксусной кислотой [4, 5].

6. Доказано, что кривые кинетики сорбции  $a = f(t)$ , полученные при быстром перемещении зерен угля в большом объеме раствора с кон-



традией, лежащей в почти линейной части изотермы, проходят значительно выше кривых для соответствующих фракций угля, полученных при адсорбции тонкими слоями угля из потока раствора, и не плохо описываются в рамках приближенного уравнения внутридиффузионной кинетики сорбции:  $\frac{a}{a_0} = 1 - e^{-\frac{\pi^2 D t}{R^2}}$ , по которому были вычислены коэффициенты внутренней диффузии уксусной кислоты в зернах двух сортов я.

Педагогический и учительский институт  
Краснодар

Поступила  
23 XII 1950

### ЛИТЕРАТУРА

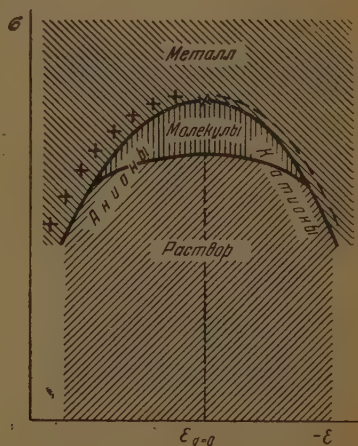
- М. М. Дубинин и Е. Д. Заверина, Журн. физ. хим., 4, 257, 1933.  
 М. М. Дубинин, Физико-химические основы сорбционной техники, Госхимтехиздат, 1935.  
 Я. Л. Забежинский, Журн. физ. хим., 13, 1858, 1939.  
 А. Н. Харини П. Н. Протасов, Журн. физ. хим., 22, 1219, 1948.  
 П. Н. Протасов, А. Н. Харин, Л. М. Войтко, Т. Г. Боголюбова и Л. Г. Свищова, Журн. физ. хим., 24, 182, 1950.  
 А. Н. Харин и Л. М. Войтко, Журн. прикл. хим., 22, 835, 1949.  
 А. Н. Харин и Л. М. Войтко, Журн. прикл. хим., 22, 1191, 1949.  
 Л. М. Войтко и А. Н. Харин, Журн. прикл. хим., 22, 1237, 1949.  
 М. М. Сенявин, Успехи химии, 18, 203, 1949.  
 «Хроматография», Сборник статей под ред. М. М. Дубинина, 1949 (Статья Г. Томаса, Хроматография как проблема кинетик).  
 А. А. Жуховицкий, Я. Л. Забежинский и А. П. Веничкина, Журн. физ. хим., 15, 174, 1941.  
 Я. Л. Забежинский, Журн. физ. хим., 17, 32, 1943.  
 А. А. Жуховицкий, Я. Л. Забежинский, и А. Н. Тихонов, Журн. физ. хим., 19, 253, 1945.  
 А. Н. Тихонов, А. А. Жуховицкий и Я. Л. Забежинский, Журн. физ. хим., 20, 119, 1946.  
 Я. Л. Забежинский, А. А. Жуховицкий и А. Н. Тихонов, Журн. физ. хим., 23, 192, 1949.  
 А. В. Лыков, Кинетика и динамика процессов сушки и увлажнения, Гизлегпром, 1938.  
 А. В. Лыков, Теплопроводность и диффузия в производстве кожи, заменителей и других материалов, Гизлегпром, 1941.  
 А. В. Лыков, Теплопроводность нестационарных процессов, Госэнергоиздат, 1948.  
 G. D amköhler, Z. physik. Chem., B. 174, 222, 1935.  
 E. Wicke, Koll. Z., 86, 167, 295, 1939; 90, 156, 1940; 93, 130, 1940.  
 В. Л. Александров, Техническая гидромеханика, Гостехиздат, 1946.  
 М. М. Дубинин, Структура и сорбционные свойства активных углей, Юбилейный сборник. Изд-во АН СССР, 1947.  
 М. А. Михеев, Основы теплопередачи, Госэнергоиздат, 1949.  
 Л. С. Лейбензон, Движение природных жидкостей и газов в пористой среде, Гостехиздат, 1947.

## О РОЛИ ПОТЕНЦИАЛА НУЛЕВОГО ЗАРЯДА В НЕОБРАТИМЫХ ЭЛЕКТРОХИМИЧЕСКИХ ПРОЦЕССАХ

Л. И. Антропов

При рассмотрении электродных процессов обычно используют равновесные потенциалы и потенциалы электродов под током или стационарные потенциалы (преимущественно при исследовании коррозии металлов). Сопоставление потенциалов под током и равновесных потенциалов позволяет получить сведения о роли диффузии, природе замедленной стадии электрохимической реакции и т. д. Сопоставление стационарного и равновесного потенциалов дает возможность судить о степени пассивации металла, роли анодного и катодного процессов при коррозионном разрушении и т. д.

Рис. 1. Изображение электрокапиллярной кривой с указанием заряда металла и областей преимущественной адсорбции анионов, катионов и молекулярных веществ



В этой статье показывается, что более полная картина электродных явлений может быть получена при учете также и потенциала нулевого заряда (нулевой точки металла), который уже использовался в отдельных случаях, при рассмотрении явлений перенапряжения [1] и электроосаждения органических соединений [2].

Нулевая точка разграничивает, как известно, области потенциалов, отвечающих положительно и отрицательно заряженным поверхностям металла, а вместе с тем и области преимущественной адсорбции анионов и катионов. Ее положением определяется также и область потенциалов, внутри которой способны адсорбироваться молекулярные вещества. Для ртути, например, нулевая точка лежит при потенциале  $-0,21$  В по водородной шкале (рис. 1). При потенциалах более положительных, чем  $-0,21$  В, т. е. слева от нулевой точки (в области положительно заряженной поверхности металла), должна наблюдаться преимущественная адсорбция анионов. Их поверхностная концентрация растет по мере удаления от максимума электрокапиллярной кривой. Справа — в области потенциалов более отрицательных, чем потенциал нулевого заряда, должна наблюдаться преимущественная адсорбция катионов, облегча-

яется по мере увеличения отрицательного заряда металла. В области потенциалов, примыкающих к нулевой точке, обычно адсорбируются молекулярные вещества; при удалении от максимума электрокапиллярной кривой в ту или иную сторону их поверхностная концентрация уменьшается и может сделаться равной нулю (потенциал десорбции).

Картина, подобная описанной, должна наблюдаться и на других металлах с той разницей, что положения нулевых точек будут, конечно, иными, чем в случае ртути.

Из изложенного следует, что отклонение электродного потенциала, при котором совершается тот или иной процесс, от нулевой точки металла электрода должно определять поверхностные концентрации как прямых участников реакции, так и веществ, способных влиять на ее ход. Это обстоятельство будет сказываться на протекании самых различных процессов, в том числе и на электровыделении водорода, электрокристаллизации металлов, коррозии металлов и электровосстановлении органических веществ. Исходные данные, необходимые для выяснения характера влияния положения нулевой точки на ход перечисленных процессов, собраны в табл. 1. В ней указаны величины нормальных потенциалов ( $\epsilon^0$ ), потенциалов нулевых зарядов ( $\epsilon_{q=0}$ ), стационарных потенциалов ( $\epsilon_s$ ) и катодных потенциалов при выделении водорода  $H\epsilon_i$  — при плотности тока  $1 \cdot 10^{-2}$  А/см<sup>2</sup>) и соответствующих металлов  $Me\epsilon_i$  — при технических плотностях тока).

Таблица 1

Металл	$\epsilon^0$	$\epsilon_{q=0}$	$\epsilon_s$	$H\epsilon_i$	$Me\epsilon_i$
Ni . . . . .	-0,23	$\pm 0,0$	-0,027	-0,61	-0,75
Zn . . . . .	-0,762	-0,63	-0,750	—	-0,90
Ag . . . . .	+0,800	+0,05	+0,216	—	+0,75
Cd . . . . .	-0,402	-0,9	-0,487	-0,90	-0,41
Pt(H <sub>2</sub> ) . . . . .	$\pm 0,00$	+0,28	—	-0,30	—
Hg . . . . .	+0,86	-0,21	—	-1,20	—
Tl . . . . .	-0,336	-0,80	-0,35	-0,71	—
Pb . . . . .	-0,127	-0,67	-0,33	-1,05	-0,2

Примечание. При составлении таблицы величины потенциалов нулевых зарядов были взяты из работ ряда авторов [3], нормальные потенциалы — из справочника [4], стационарные потенциалы — из работы Г. В. Акимова и Г. Б. Кларк [5] (Ni, Zn, Ag, Cd) и из данных нашей лаборатории (Tl, Pb)\*, катодные потенциалы при выделении металлов — из монографии П. А. Изгарышева [6] и руководства В. И. Лайнера и Н. Т. Кудрявцева [7], катодные потенциалы при выделении водорода были измерены в нашей лаборатории.

### Роль потенциала нулевого заряда металла в явлениях перенапряжения

Представление о потенциале нулевого заряда металла неоднократно [1] привлекалось при истолковании влияния добавок на перенапряжение водорода.

На рис. 2 сопоставлены катодные потенциалы при выделении водорода (перенапряжение) и потенциалы нулевых зарядов металлов, служащих катодами. Рисунок показывает, что одна величина катодного потенциала еще не позволяет делать каких-либо заключений о природе преимущественно адсорбирующихся анионов. Так, например, можно было бы ожидать, что на таллии, катодный потенциал которого значительно отрицательнее, чем платины, должна идти преимущественная адсорбция катионов. В действительности, как это вытекает из взаимного расположения  $H\epsilon_i$  и  $\epsilon_{q=0}$ , на таллии должны адсорбироваться, вплоть до самых высоких плотностей тока, анионы, а на платине, даже при незначительных токах, — катионы. Из того же рисунка следует, что на никеле, серебре, платине, ртути и

\* Эти и другие измерения, использованные в настоящем сообщении, были произведены В. В. Листопадным.

свинце практически при всех значениях плотности тока, за исключением весьма малых величин, будет происходить избирательная адсорбция катионов. На таллии, напротив, до весьма больших плотностей тока должны адсорбироваться, главным образом, анионы; лишь после плотности тока, большей чем  $1 \cdot 10^{-2}$  А/см<sup>2</sup>, следует ожидать адсорбции катионов. На кадмии в области обычных плотностей тока должна совершаться преимущественная адсорбция поверхностно-активных молекулярных добавок.

Таким образом, учет потенциала нулевого заряда металла и сопоставление его величины со значением катодного потенциала позволяет заранее определить группу добавок, которая должна наиболее заметно адсорбироваться поверхностью

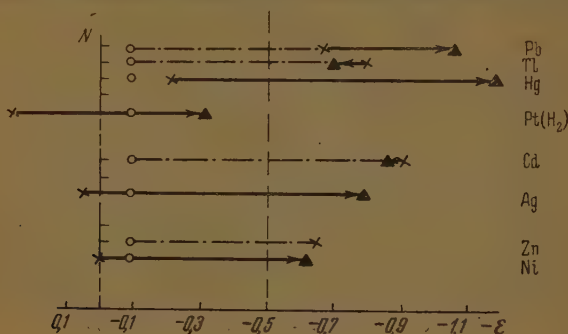


Рис. 2. Взаимное расположение величин катодных потенциалов при выделении водорода на различных металлах ( $H\epsilon_i$  — ▲) и их потенциалов нулевых зарядов ( $\epsilon_{q=0}$  — x). Значения  $H\epsilon_i$  получены в 0,1N серной кислоте при плотности тока  $1 \cdot 10^{-2}$  А/см<sup>2</sup>

катода и оказывать влияние на величину перенапряжения. При этом, если  $\epsilon_{q=0} > H\epsilon_i$ , то следует ожидать преимущественной адсорбции катионов, если  $\epsilon_{q=0} < H\epsilon_i$ , то преимущественно адсорбируются анионы и, наконец, при близких  $\epsilon_{q=0}$  и  $H\epsilon_i$  — молекулярные добавки.

### Роль потенциала нулевого заряда при электрокристаллизации металлов

На рис. 3 показано взаимное расположение нулевых точек и катодных потенциалов при электролитическом выделении никеля, цинка, серебра, кадмия, таллия и свинца из растворов их простых солей. Из рисунка следует, что катодные потенциалы при выделении никеля и цинка сдвинуты вправо от нулевой точки соответствующего металла ( $\epsilon_{q=0} > H\epsilon_i$ ) и отвечают отрицательно заряженным поверхностям металла. Поэтому следует ожидать, что при выделении указанных металлов при рода аниона применяемой соли не должна иметь особого значения. Величина поляризации и структура электролитических осадков могут быть в этом случае изменены, вероятно, путем введения катионных добавок, а для цинка — также и молекулярных (для него  $\epsilon_{q=0}$  не очень далек от  $M\epsilon_i$ ). Напротив, при осаждении серебра, кадмия, таллия и свинца, катодные потенциалы которых лежат левее нулевых точек ( $\epsilon_{q=0} < M\epsilon_i$  и поверхность металла заряжена положительно), природа аниона должна играть решающую роль. Для перечисленных металлов при подборе добавок в гальваническую ванну следует в первую очередь обратить внимание на вещества, содержащие поверхностно-активные анионы.

Богатый опыт гальванотехники подтверждает эти положения [7]. Достаточно хорошо известно, что именно при кадмировании и свинцевании приходится обращать особое внимание на природу аниона соли



то время как при никелировании последняя не играет существенной роли\*. Литературные данные по выделению таллия [8] также говорят о значительном влиянии природы аниона на структуру и катодный потенциал.

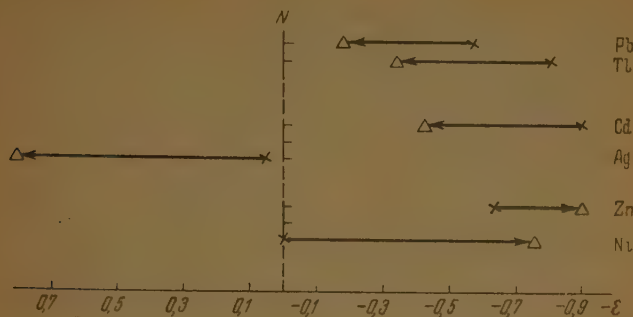


Рис. 3. Взаимное расположение катодных потенциалов при выделении различных металлов ( $M\epsilon_i$  —  $\Delta$ ) и их потенциалов нулевых зарядов ( $\epsilon_{q=0}$  —  $\times$ ). Значения  $M\epsilon_i$  относятся к составам и плотностям тока, применяемым в промышленности

### Роль потенциала нулевого заряда в явлениях коррозии

Как уже упоминалось, сравнение нормальных потенциалов металлов их стационарными потенциалами в различных водных средах позволяет яснить степень пассивации и прочность пассивирующей пленки [9]. Поскольку концентрация ионов металла, отвечающая стационарному потенциалу, значительно ниже 1 г-иона в литре, естественно, что в отсутствие пассивирующей пленки  $\epsilon_s$  должен быть отрицательнее  $\epsilon^0$ ; обратное соотношение указывает на заметную пассивацию.

Сопоставление потенциала нулевого заряда данного металла с его стационарным потенциалом позволяет получить дополнительные сведения о коррозионном процессе. На рис. 4 нанесены значения нормальных и стационарных потенциалов, а также потенциалов нулевых зарядов. Судя из рисунка, что в случае кадмия, ртути, таллия и свинца их потенциалы, отвечающих коррозионному процессу, поверхность талла обладает высоким положительным зарядом, что практически исключает адсорбцию катионов. Здесь скорость коррозионного процесса должна в первую очередь зависеть от природы присутствующих в растворе анионов. Природа катионов, не вступающих в электрохимическое взаимодействие с корродирующим металлом, не играет какой-либо роли. Поиски ингибиторов для перечисленных металлов должны быть направлены поэтому в сторону веществ, содержащих поверхностно-активные анионы. При коррозии никеля, цинка и ряда других металлов следует ожидать, судя по характеру взаимного расположения стационарных потенциалов и нулевых точек (рис. 4), обратной картины — ингибитивными должны быть добавки катионного типа.

Изложенное справедливо лишь в случае коррозии чистых металлов. На практике более важен процесс коррозии технических металлов, идущий за счет работы гальванических микроэлементов. Скорость коррозии в этом случае лимитируется либо катодным процессом, либо анодным, либо, наконец, осуществляется так называемый смешанный контроль, когда интенсивность коррозионного разрушения зависит от

\* Необходимо, однако, отметить, что по некоторым данным природа аниона влияет на величину поляризации при выделении цинка [7].

обеих частных реакций [9]. Обычно принимается, что заметное воздействие анионов на скорость коррозии служит доказательством анодного контроля; преимущественное влияние катионов, напротив, указывает на основную роль катодного процесса. В то же время в литературе не раз отмечалось, что это предположение не всегда согласуется с опытными данными [10]. Так, например, при протекании коррозии за счет работы гальванического микроэлемента, характеризующегося малой анодной поляризацией и высоким перенапряжением водорода, часто наибольшее действие оказывают анионные добавки, тогда как следовало

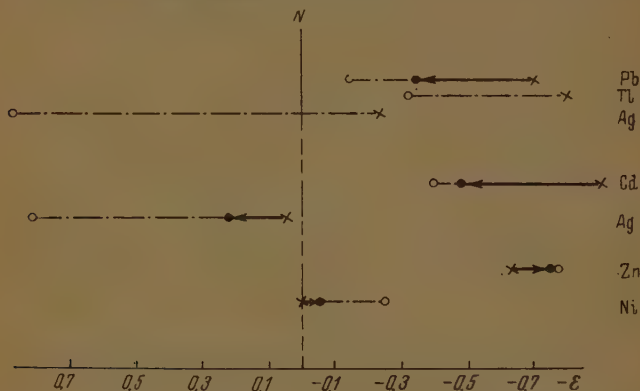


Рис. 4. Взаимное расположение потенциалов нулевых зарядов ( $\epsilon_{q=0}$  — X), нормальных ( $\epsilon_0$  — O) и стационарных ( $\epsilon_s$  — ●) потенциалов различных металлов. Данные по стационарным потенциалам относятся к 0,1 N NaOH (никель, серебро, кадмий), 0,5 N NaCl (цинк) и 0,1 N  $H_2SO_4$  (свинец, таллий)

бы ожидать катодного контроля и заметного влияния катионов. Известны также и обратные случаи — заметное влияние катионов при коррозии с анодным контролем.

При учете потенциалов нулевых зарядов металлов и сопоставления их с соответствующими стационарными потенциалами эти результаты получают естественное толкование. Теоретически мыслимы все четыре возможных случая:

а) преимущественная адсорбция анионов на анодных и катодных участках, что реализуется при следующих условиях:

$$1^{\epsilon_{q=0}} < 1^{\epsilon_s} \quad \text{и} \quad 2^{\epsilon_{q=0}} < 2^{\epsilon_s};$$

б) преимущественная адсорбция катионов на катодных и анодных участках, что реализуется при следующих условиях:

$$1^{\epsilon_{q=0}} > 1^{\epsilon_s} \quad \text{и} \quad 2^{\epsilon_{q=0}} > 2^{\epsilon_s};$$

в) преимущественная адсорбция катионов на катодных участках и анионов на анодных участках, что реализуется при следующих условиях:

$$1^{\epsilon_{q=0}} > 1^{\epsilon_s}, \quad 2^{\epsilon_{q=0}} < 2^{\epsilon_s};$$

г) преимущественная адсорбция анионов на катодных участках и катионов на анодных участках, что реализуется при следующих условиях:

$$1^{\epsilon_{q=0}} < 1^{\epsilon_s}, \quad 2^{\epsilon_{q=0}} > 2^{\epsilon_s}.$$

В качестве примера приведены модели (рис. 5), построенные на основании рис. 4 и иллюстрирующие на конкретных металлах два возможных случая.

Изложенный здесь подход к изучению процессов коррозии кратко может быть сформулирован следующим образом.

Сопоставление стационарных потенциалов двух металлов, образующих пару к коррозии гальваническую, позволяет определить, какой из них играет роль катода, какой — анода. Сопоставление величин перенапряжения водорода на катодном металле и поляризации при растворении одного металла позволяет установить, какой процесс является определяющим. Сопоставление потенциала нулевого заряда и стационарного

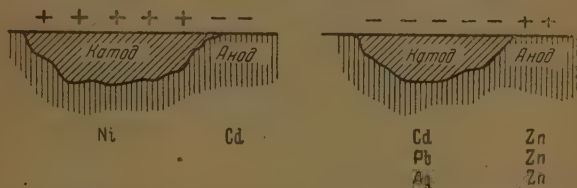


Рис. 5. Модели микроэлементов, иллюстрирующие различные случаи избирательной адсорбции на катодных и анодных участках гальванической пары

$$\begin{aligned} 1\epsilon_{q=0} &> 1\epsilon_s & 1\epsilon_{q=0} < 1\epsilon_s \\ 2\epsilon_{q=0} < 2\epsilon_s & 2\epsilon_{q=0} > 1\epsilon_s \end{aligned}$$

потенциала металлов дает возможность определить природу преимущественно адсорбирующихся частиц, т. е. установить группу веществ, среди которых следует искать наиболее эффективных ингибиторов. Необходимо отметить, что в свете сформулированных здесь положений, для предохранения данного металла от коррозии важно знание химического состава его, так как способ защиты (тип добавок) будет определяться природой примесей.

## Роль потенциала нулевого заряда металла при электровосстановлении органических соединений

Этот вопрос обсуждался нами ранее [2]; высказанные в то время соображения могут быть дополнены и детализированы в связи с новыми данными по потенциалам нулевых зарядов.

Значительный интерес представляет электровосстановление трудно восстанавливаемых органических веществ, таких как альдегиды, кетоны, кислоты. Большинство литературных данных указывает на то, что процесс восстановления подобных соединений начинается не ранее чем будет достигнут катодный потенциал порядка  $-0,6 \div -0,8$  В по водородной шкале. На рис. 6 схематически показано взаимное расположение потенциалов нулевых зарядов различных металлов и области потенциалов, отвечающей процессу электровосстановления. Совместное рассмотрение рис. 1 и 6 приводит к следующим заключениям.

а) Металлы типа платины, серебра и никеля не могут быть рекомендованы для применения в качестве катодов при восстановлении трудно восстанавливаемых соединений. При их использовании катодные потенциалы, обеспечивающие восстановление, оказываются весьма далекими от соответствующих потенциалов нулевых зарядов. В этих условиях адсорбция молекулярных веществ ничтожна и значительная доля тока (в пределе — весь ток) поэтому будет расходоваться на выделение

водорода. В качестве катодного материала здесь следует использовать металлы, нулевые точки которых расположены вблизи или внутри области потенциалов, отвечающих процессу электровосстановления. Таковыми металлами являются, как следует из рис. 6, ртуть, цинк, свинец, таллий и кадмий. Литературные данные по электровосстановлению органических соединений подтверждают это положение. Совершенно очевидно, что при помощи аналогичных рассуждений можно придти к заключению, что металлы типа платины, никеля и серебра могут, судя по величинам их нулевых точек, с успехом применяться при электро-

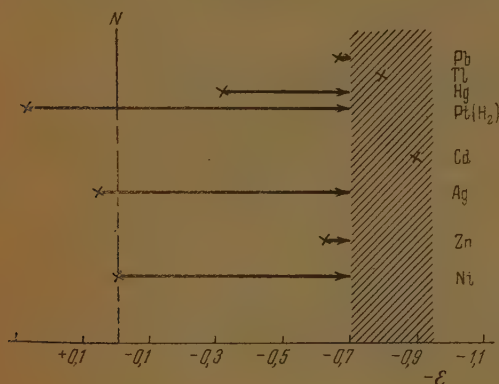


Рис. 6. Взаимное расположение потенциалов нулевых зарядов различных металлов ( $\epsilon_{q=0} - X$ ) в области потенциалов, отвечающих электровосстановлению трудно восстанавливаемых органических соединений

восстановлении легко восстанавливаемых органических веществ. Таким образом, учет величин потенциалов нулевых зарядов приводит в соответствии с опытом к выводу о существовании избирательного восстановления органических веществ и дает ему естественное объяснение.

Высказанное ранее [2] предположение о возможности прекращения электровосстановления за счет вытеснения восстанавливающихся частиц из двойного слоя при значительном удалении от потенциала нулевого заряда металла (предельная адсорбционная плотность тока) в недавнее время получило опытное подтверждение. Так, из работы Н. А. Изгарышева и И. И. Арямовой [11] следует, что при одних и тех же катодных потенциалах щавелевая кислота, восстанавливаясь на ртути, свинце и амальгаме свинца, не подвергается восстановлению на платиновом, железном, никелевом и медном катодах. Восстановление приходится в область потенциалов от  $-0,3$  до  $-0,8$  В, которая включает в себя потенциалы нулевых зарядов ртути ( $-0,21$  В) и свинца ( $-0,67$  В) и далека от нулевых точек платины, никеля и железа, имеющих полскижные значения. В последнем случае поверхностная концентрация органических молекул, повидимому, настолько мала, что катодный процесс сводится лишь к выделению водорода.

В диссертации Н. Т. Ваграмян [12] было показано, что деполяризующее действие фенилгидроксиламина уменьшается по мере удаления потенциала от нулевой точки платины, служившей катодом.

Т. А. Крюковой [13] удалось экспериментально обнаружить полное прекращение электровосстановления ионов персульфата на ртутной капельном электроде при сдвиге потенциала в отрицательную сторону по сравнению с нулевой точкой ртути. Т. А. Крюкова приходит к следующему выводу: «Из наших опытов видно, что появление вызванного действием поля электрохимического барьера приводит, в определенных условиях, к полной остановке реакции, несмотря на увеличение наложенной поляризации». Нужно заметить, что подобный вывод был сделан нами ранее [2] на основе учета роли потенциала нулевого заряда в про-



сесах электровосстановления, что, повидимому, осталось неизвестным А. Крюковой.

б) При восстановлении многих органических веществ, наряду с простыми продуктами гидрирования могут получаться также продукты восстановления бимолекулярного типа, так называемые пинаконы. В одной из цитированных работ [2] было указано, что для получения пинаконов, которое идет через образование промежуточных радикалов типа

ОН  

$$1 - \text{C} - \text{R}_2$$
 необходима высокая поверхностная концентрация восстанавливаемого соединения.

При этом наряду с дальнейшим процессом восстановления за счет столкновения промежуточного радикала со вторым атомом или ионом водорода, становится возможной встреча подобных радикалов друг с другом и объединение их в бимолекулярный продукт — пинакон. Очевидно, что наиболее высокая поверхностная концентрация может обеспечиваться при применении в качестве катодов таких металлов, нулевые точки которых лежат или внутри, или в непосредственной близости к области потенциалов, отвечающих процессу восстановления. Ис. 6 показывает, что образование пинаконов лучше всего должно происходить на кадмии, таллии, свинце и цинке; менее вероятен этот процесс в случае ртутного катода (где должны преобладать простые продукты восстановления) и практически невозможен на катодах из латуны, никеля или серебра. Самые различные литературные источники подтверждают это положение. Можно сослаться на работу по электровосстановлению сорбиновой кислоты [14], где авторы приходят к выводу, что бимолекулярные продукты получают на катодах из кадмия, цинка, свинца, ртути и олова и не могут быть обнаружены при применении катодов из меди или серебра. По данным Слоттербека [15] наибольшее количество пинакона получается при восстановлении ацетона в свинце, осажденном на медной основе. В недавней диссертации И. Арямовой [16] также отмечается, что значительное количество пинакона получается на свинцовом катоде, обновляемом путем обменной реакции с сульфатом меди, насыщающим электролит. Тот же автор отмечает хороший выход пинакона и в случае применения цинковых электродов.

Таким образом, учет потенциала нулевого заряда позволяет установить, какие из металлов целесообразно использовать в качестве катода для проведения реакции электровосстановления в желательном направлении.

### Выводы

1. Отмечена целесообразность учета потенциала нулевого заряда металла при рассмотрении необратимых электрохимических процессов.
2. Рассмотрена роль потенциала нулевого заряда при процессах выделения водорода и металлов, при коррозии и при электровосстановлении органических соединений.
3. Показано, что совместное рассмотрение потенциалов, отвечающих данному электрохимическому процессу (катодный потенциал, стационарный потенциал и т. д.) и потенциалов нулевых зарядов, участвующих в нем металлов, позволяет дать истолкование многим опытным закономерностям и выяснить возможные пути воздействия на эти процессы.

## ЛИТЕРАТУРА

1. П. Д. Луковцев, С. Д. Левина, А. Н. Фрумкин, Журн. физ. хим., 13, 916, 1939; З. А. Иофа, А. Н. Фрумкин, Журн. физ. хим., 17, 268, 1944; В. А. Кузнецов, З. А. Иофа, Журн. физ. хим., 21, 201, 1947 и др.
2. Л. И. Антропов, Труды Ереванского политехн. инст. им. К. Маркса, 2, 71, 97, 1946; Труды 2-й Всес. конф. по теор. и прикл. электрохимии, Киев, 138, 1949.
3. А. Н. Фрумкин, Журн. физ. хим., 5, 240, 1934; Изв. АН СССР, ОХН, 3, 223, 1945 и др.
4. Ю. Ю. Лурье. Расчетные и справочные табл. для химиков, Госхимиздат, 1947.
5. Г. В. Акимов, Г. Б. Кларк, Труды 2-й конф. по коррозии металлов, II, 33, 1943.
6. Н. А. Изгарышев, Электрохимия цветных и благородных металлов, Цветметиздат, 1933.
7. В. И. Лайнер, Н. Т. Кудрявцев, Основы гальваностегии, I, Металлургиздат, 1943.
8. F. Foerster, Z. anorg. Chem., 50, 71, 1897; O. Brown, S. McGlynn, Trans. Am. Electroch. Soc., 53, 351, 1928.
9. Г. В. Акимов, Теория и методы исследования металлов, 1945.
10. Н. Haskermann, H. Schmidt, Corrosion, 5, 237, 1949.
11. Н. А. Изгарышев, И. И. Арямова, Журн. общ. хим., 28, 337, 1948.
12. Н. Т. Ваграмян, Электровосстановление в ряду нитробензол — анилин, Кандидатская диссертация, Ереван, 1949.
13. Т. А. Крюкова, ДАН, 65, 517, 1949.
14. Ch. Wilson, K. Wilson. Trans. Electroch. Soc., 80, 139, 1941.
15. O. Slotterbeck, Trans. Electroch. Soc., 92, 377, 1947.
16. И. И. Арямова, Электровосстановление кетонов, кандидатская диссертация, МХТИ им. Д. И. Менделеева, 1950.

ИЗУЧЕНИЕ СВОЙСТВ РАСПЛАВЛЕННЫХ СУЛЬФИДОВ МЕТОДОМ  
ЭЛЕКТРОДВИЖУЩИХ СИЛI. СИСТЕМЫ  $Pb-PbS$  и  $Cu-Cu_2S$ 

О. А. Есин и И. Т. Срывалин

Несмотря на большое значение жидких штейнов в пирометаллургии, физико-химические свойства расплавленных сульфидов изучены к настоящему времени еще недостаточно. Отклонения их от идеальных растворов исследовались преимущественно А. Н. Вольским и сотрудниками [1], а также Я. И. Герасимовым [2]. Ими установлено, что взаимодействие с водородом одних расплавов, например  $Fe-FeS$ ,  $S-CuS$ ,  $Cu_2S-Bi$ , удовлетворительно подчиняется идеальному закону действующих масс, если компонентами раствора считать сульфиды и металлы; напротив, для других расплавов, в частности  $Ni-Ni_3S_2$ ,  $Cu-Cu_2S$ ,  $Cu_2S-Ni_3S_2$ ,  $Cu_2S-FeS$ , оказывается неприменимым.

В этих работах без специальных обоснований предполагалось существование в расплавах молекул тех или иных сульфидов. Поведение жидких фаз изучалось лишь одним экспериментальным методом, а именно: определением равновесного давления газовой фазы для реакции расплавов с водородом. При этом не во всех случаях достигалась нужная точность измерений. В связи с этим возникает необходимость в разработке и применении других независимых методов исследования, например электрохимического.

Настоящая работа имеет целью: во-первых, подтвердить предположение об электрохимической природе взаимодействия сульфидных расплавов с жидкими силикатами, впервые высказанное А. В. Ванюковым, и, во-вторых, используя метод электродвижущих сил, проверить и дополнить данные об отклонении расплавов  $Pb-PbS$  и  $Cu-Cu_2S$  от идеальных растворов.

## Методика измерений

Рассмотрение электрических и других характеристик расплавленных сульфидов тяжелых металлов показывает, что они, являясь полупроводниками, приближаются своим свойствам к жидким металлическим сплавам. В пользу этого говорят, в частности, высокая удельная электропроводность сульфидных расплавов, относительно малое изменение ее при затвердевании, практически полная невозможность электролиза в чистых сульфидах [4], сравнительно небольшие теплоты образования и характерный металлический блеск.

Следует ожидать поэтому, что жидкие растворы сульфидов в металлах в сочетании с проводниками второго рода должны составить электрохимическую ячейку. Что касается твердых сульфидов, то факт электролиза констатирован как при применении водных растворов электролитов [5], [6], так и для расплавленных солей [7].

Имея в виду, что жидкие шлаки представляют собой электролиты [8], можно предполагать, следуя А. В. Ванюкову [3], что взаимодействие их с расплавленными штейнами является электрохимическим. Для экспериментального обоснования этого была выбрана более простая система. Вместо поликомпонентного штейна были взяты бинарные расплавы  $Pb-PbS$  или  $Cu-Cu_2S$ , а вместо шлака, содержащего в своем составе агрессивный силикат железа, использовалось расплавленное стекло, состава: 70%  $SiO_2$ , 17%  $Na_2O$ , 9%  $CaO$ , и 0,5%  $FeO$ .

Ячейка представляла собой концентрационную цепь. Одним из ее электродов был жидкий сульфид постоянного состава (например,  $PbS$  или  $Cu_2S$ ), а другим — сплав с переменной (от опыта к опыту) концентрацией серы (т. е.  $Pb-S$  или  $Cu-S$  соответственно). Электролитом служило расплавленное стекло, содержащее в себе сульфиды натрия (около 10% от веса стекла). При длительном соприкосновении с сульфидами электролит, принятого состава, сохранял малую концентрацию ионов тяжелых металлов по сравнению с содержанием в нем ионов серы. Силу этого потенциал-определяющим элементом на обоих электродах являлась сера, а не свинец или медь.

Опыты проводились в кристаллической печи (рис. 4) при температурах 1180–1300° С. Измерялась электродвижущая сила отградуированным оптическим пирометром. Колебания тем-

пературы в отдельных опытах обычно не превосходили  $15^\circ$ . В фарфоровых глазурованных тиглях, отделенных друг от друга прослойкой из корундовой массы, находились расплавленные сульфиды (по 15 г каждого). Над ними помещался электролит (50—55 г) указанного состава. Токоотводами служили в случае Pb—PbS силикатные, а во всех остальных — графитовые стержни. Для изоляции их от электролита применялись кварцевые трубки, опущенные в сульфидные расплавы.

Во избежание искажений, связанных с возникновением термоэлектродвижущих сил, токоотводы готовились из одного и того же материала, а внутренние и внешние концы их находились при соответственно одинаковых температурах. Специальными промерами было установлено, что величина термоэлектродвижущей силы не превосходила 10 мВ. Печь закрывалась снизу наглухо, а сверху — асбестовой крышкой с отверстиями для токоотводов и определения температуры.

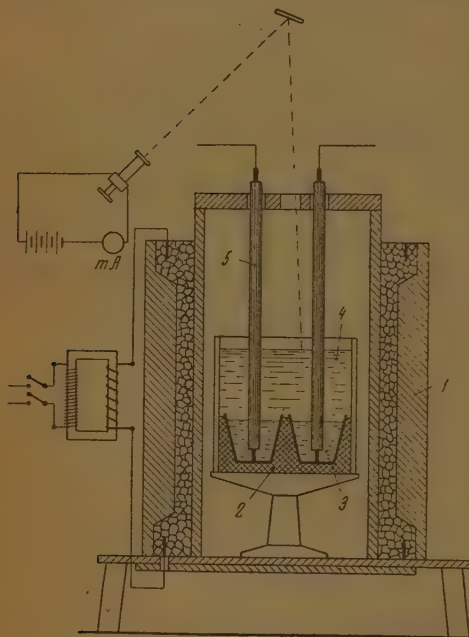


Рис. 1. Схема установки для измерения электродвижущих сил для сульфидных расплавов

1 — кристоловая печь; 2 — тигель; 3 — сульфидный расплав; 4 — жидкий электролит; 5 — токоотводы к кварцевым чехлах; 6 — оптический пирометр

Измерения электродвижущей силы цепи производились обычным компенсационным методом при помощи низкоомного курбельного потенциометра. В качестве нуль-инструмента использовался чувствительный гальванометр. Эталоном сравнения служил нормальный элемент. Для каждой заданной температуры и состава электродов производилось от 5 до 8 замеров, расхождения которых обычно не превосходили 10—15 мВ. Испытание установки показало, таким образом, как существование электродвижущих сил в подобных системах, так и их достаточную устойчивость и воспроизводимость.

## Результаты измерений

### Система Pb — PbS

Исходными материалами служили металлический свинец (99,5% Pb) и его сульфид (~13% S). Предварительные опыты показали возможность измерений электродвижущих сил при температуре  $1180^\circ\text{C}$ , несмотря на заметное изменение состава расплавов со временем. Чтобы уменьшить эти изменения состава, время пребывания расплавов в печи было по возможности сокращено. Тигли помещались в предварительно разогретую печь, общая продолжительность измерений в каждом опыте не превышала 20 мин.

Вследствие расслаивания системы при охлаждении для химического анализа сплава после опыта использовалось все содержимое тигля. В табл. 1 приведены некоторые из полученных результатов. Каждое из значений



электродвижущих сил является средним арифметическим из 5—6 измерений, а содержание серы в расплавах — средним из данных анализов после каждого опыта.

Таблица 1

Зависимость электродвижущей силы от состава одного из электродов для системы Pb — PbS при 1180° С. Содержание серы в другом электроде колебалось около  $N_S = 0,44$

Атомная доля серы $N_S$	Электродвижущие силы $E$ , мВ		Коэффициенты активности		— $\Delta F$ кал/г- атом серы
	измеренные	вычисл. по ур-нию (1)	$\gamma_S$	$\gamma_{Pb}$	
0,0170	199	206	1,00	1,0	9230
0,0182	192	200	1,05	1,0	8860
0,0188	184	198	1,15	1,0	8480
0,0251	165	180	1,17	1,0	7610
0,0290	160	172	1,12	1,0	7380
0,0373	144	155	1,11	1,0	6640
0,0405	138	149	1,12	1,0	6360
0,0655	100	120	1,26	1,0	4610
0,0790	94	109	1,17	1,0	4330
0,0800	90	107	1,23	1,0	4250
0,103	82	91	1,07	1,0	3780
0,106	70	90	1,20	1,0	3230
0,116	73	84	1,15	0,99	3370
0,147	53	70	1,16	0,98	2440
0,170	44	60	1,18	0,98	2030
0,230	40	40,5	—	—	1840
0,300	42	24,0	—	—	1940
0,370	37	11,5	—	—	1710
0,382	22	9,4	—	—	1010

Сопоставление полученных результатов с диаграммой плавкости приводит к рис. 2. Из него видно, что кривая электродвижущих сил имеет три участка, отвечающие трем областям диаграммы. Однофазным сплавам соответствует падение электродвижущей силы с увеличением концентрации серы, а области расслаивания — горизонтальный участок кривой.

Однако имеется некоторое несовпадение пределов расслаивания. Согласно Гюртлеру [9], расслаивание жидкости при 1180° С наблюдается в интервале 4,3—9,2% S (весовых), а по нашим данным — в интервале 4,3—8,5% S. Следует при этом заметить, что пределы расслаивания, найденные различными авторами при построении диаграммы плавкости, сходятся между собой еще больше. Так, например, при температуре 1400° С они составляют 4—10% S по Гюртлеру и 2,6—12% S по Колье [9].

Электродвижущие силы, рассчитанные по уравнению

$$E = 10^{-4} T \lg \frac{N'_S}{N''_S} \quad (1)$$

с. в предположении применимости к расплавам Pb — PbS законов идеальных растворов, не сильно отличаются от экспериментально полученных значений, особенно для расплавов, бедных серой. Об этом же говорят и величины коэффициентов активности серы ( $\gamma_S$ ), вычисленные

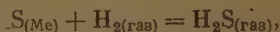
при допущении, что активность серы в наиболее разбавленном растворе равна атомной доле, т. е. в данном случае

$$a_S^0 = N_S^0 = 0,017.$$

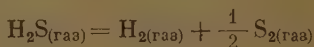
Что касается коэффициентов активности второго компонента, т. е. свинца, то они были найдены из известного термодинамического соотношения:

$$\lg \gamma_{Pb} = \int_0^N \frac{N_S}{N_{Pb}} d \lg \gamma_S, \quad (2)$$

графическим интегрированием. Значения  $\gamma_{Pb}$  близки к единице почти во всем диапазоне изученных концентраций. Для сравнения данные А. Н. Вольского [1] с нашими первыми были пересчитаны. В качестве компонентов расплава принимались не Me и MeS, а Me и S. В этом случае уравнение исследованной им реакции запишется в виде



что в сочетании с процессом диссоциации



дает

$$S_{(Me)} = \frac{1}{2} S_{2(gas)};$$

откуда

$$a_S = k P_{S_2}^{1/2},$$

или

$$\frac{a_S}{a_S^0} = \left( \frac{P_{S_2}}{P_{S_2}^0} \right)^{1/2} \quad (3)$$

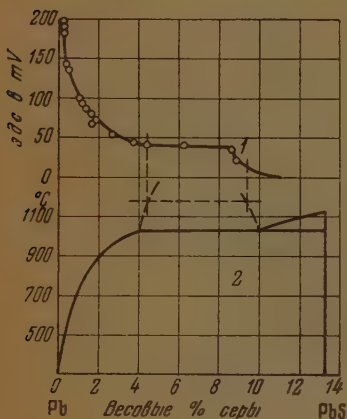


Рис. 2. Зависимость эдс: 1 — для системы Pb — PbS от состава при температуре 1200° С; 2 — в сопоставлении с диаграммой плавкости Pb — PbS.

При помощи уравнения (3) и найденных А. Н. Вольским равновесных значений  $P_{S_2}$  над расплавами Pb — PbS вычислялись активности серы. При этом принималась вышеуказанная нормировка, а именно активность считалась равной атомной доле для наиболее разбавленного раствора. В рассматриваемом случае  $a_S^0 = N_S^0 = 0,023$ .

Из сопоставления коэффициентов активности серы, вычисленных по данным химического равновесия (табл. 2) и на основании измерений электродвижущих сил (табл. 1) видно, что в первом случае они меньше единицы и претерпевают значительные колебания (от 0,5 до 1); напротив, во втором случае они больше единицы и закономерно меняются не более чем на 26% (от 1 до 1,26).

Как известно, расслаивающиеся системы обладают положительными отклонениями от идеальных растворов. Повышение концентрации серы в расплаве Pb — S приводит в конечном итоге к выделению новой фазы, богатой серой. Поэтому  $\gamma_S$  должен быть больше единицы и возрастать с увеличением  $N_S$ . Данные табл. 2 не удовлетворяют первому требованию. Кроме того, они не согласуются и с фактом уменьшения области однородности расплава с понижением температуры (см. диаграмму плавкости), из которого вытекает, что  $\gamma_S$  обязан возрастать с падением

температуры. Повидимому, это является следствием меньшей точности делений  $P_{S_2}$ , чем электродвижущих сил.

Изменения свободной энергии ( $\Delta F$ ) при переходе граммота серы из более концентрированного расплава ( $N_S = 0,44$ ) в любой разбавленный были вычислены как по значениям электродвижущих сил:

$$-\Delta F = nFE = 2 \cdot 23060 \text{ E кал,} \quad (4)$$

Таблица 2

Отклонение расплавов Pb — PbS от идеального раствора при 900° С по данным химического равновесия

$N_S$	$P_{S_2} \cdot 10^3 \text{ ат}$	$\frac{P_{S_2}}{P_{S_2}^0}$	$\gamma_S$	$-\Delta F \text{ кал./г. атом}$
0,0230	6,7	1,00	1,00	3140
0,0286	6,9	1,02	0,82	3100
0,0466	7,8	1,08	0,56	—
0,0482	8,5	1,14	0,55	—
0,0490	8,9	1,16	0,57	2800
0,0526	17,4	1,63	0,72	—
0,0560	21,4	1,82	0,77	—
0,0590	15,9	1,55	0,61	2140
0,0600	14,5	1,47	0,57	—
0,0610	26,3	1,95	0,74	1550
0,0640	21,0	1,75	0,64	—
0,0670	27,5	2,07	0,72	—
0,0691	28,8	2,08	0,70	—
0,0700	21,4	1,80	0,59	—
0,0730	26,3	2,00	0,63	1550
0,0850	26,3	2,00	0,54	1550
0,0990	30,2	2,14	0,50	—
0,1270	41,5	2,50	0,46	1000

и по равновесным давлениям серы над расплавом:

$$-\Delta F = \frac{RT}{2} \ln \frac{P_{S_2}^0}{P_{S_2}}. \quad (5)$$

При этом для чистого PbS при 900° С было принято, что

$$\lg P_{S_2}^0 = -5,0.$$

Из сопоставления значений  $\Delta F_{1180}$  и  $\Delta F_{900}$  (табл. 1 и 2) видно, что с ростом температуры убыль свободной энергии увеличивается. Это находится в качественном согласии с диаграммой плавкости: растворимость серы в свинце повышается вместе с температурой.

Обращает на себя внимание сравнительно большое изменение  $\Delta F$  с температурой. Так, средняя убыль  $\Delta F$  на один градус, закономерно возрастающая с уменьшением  $N_S$ , достигает приблизительно 15 кал для  $N_S = 0,023$ . С другой стороны, из термодинамического соотношения:

$$\begin{aligned} -\left(\frac{\partial \Delta F}{\partial T}\right)_P &= -\left(\frac{\partial \bar{F}}{\partial T}\right)_P + \left(\frac{\partial F_0}{\partial T}\right)_P = \\ &= R \ln \frac{N_S^0}{N_S} + R \ln \frac{\gamma_S^0}{\gamma_S} + RT \left( \frac{\partial \ln \frac{\gamma_S^0}{\gamma_S}}{\partial T} \right)_P, \end{aligned} \quad (6)$$

следует, что для идеальных растворов эта величина не должна превышать 6,5 кал/град, если  $N_S = 0,5$ , а  $N_S = 0,02$ . При переходе к реальным растворам нужно учесть, что  $N_S^0$  отвечает составу, находящемуся по другую сторону от границы расслаивания. Здесь имеют место отрицательные отклонения и  $\gamma_S \leq 1$ . Поэтому второе слагаемое уравнения (6) поведет лишь к уменьшению, а не к увеличению значения, найденного для идеальных растворов. Только третье слагаемое может качественно пояснить большую убыль  $\Delta F$  на один градус. Так как с ростом температуры значения  $\gamma_S^0$  и  $\gamma_S$  сближаются, то производная положительна. Малая величина последней компенсируется множителем  $T$ .

Суммируя изложенное, можно сказать, что ход изменения электродвижущих сил с составом находится в соответствии с диаграммой состояния Pb—PbS, давая примерно те же пределы расслаивания, что и метод плавкости. Далее, полученные результаты качественно согласуются также и с измерениями равновесных давлений серы над расплавами Pb—PbS, выполненными Вольским.

### Система Cu—Cu<sub>2</sub>S

Электродвижущие силы для этой системы измерялись при 1200 и 1300°С. В качестве исходных материалов применялись электролитная медь (99,95% Cu) и сульфид меди (98,5% Cu<sub>2</sub>S). Была сделана попытка замесить стекло заводским отвальным шлаком. При этом было также констатировано наличие электродвижущей силы в ячейке. Однако ее величина была менее устойчивой и воспроизводимой, в силу чего дальнейшие опыты проводились со стеклом ранее указанного состава.

Токоотводами служили графитовые стержни. Расхождения составов сплавов до и после опыта были невелики, несмотря на большую продолжительность измерений (до 1 часа). В остальном методика измерений оставалась прежней.

Некоторые из полученных результатов приведены в табл. 3 и изображены на рис. 3.

Изменение электродвижущей силы с составом при 1200 и 1300°С находится, как это видно из рис. 3, в полном соответствии с диаграммой плавкости. Что касается пределов расслаивания, то наши данные являются промежуточными, они лежат между значениями, полученными различными авторами [9] неэлектрохимическим путем.

Сравнения электродвижущих сил, найденных экспериментально и вычисленных по уравнению (1), показывают, что расплавы Cu—Cu<sub>2</sub>S отклоняются от идеальных растворов сильнее, чем Pb—PbS. Это следует также из сравнения коэффициентов активности серы для обеих жидкостей при 1200°С (табл. 1 и 2). В то время как в системе Pb—PbS величина их не превосходит 1,26, для Cu—Cu<sub>2</sub>S она достигает 2,0.

Большие положительные отклонения расплавов Cu—Cu<sub>2</sub>S от идеальных растворов вполне закономерны. Они вытекают из того, что расслаивание в системе Cu—Cu<sub>2</sub>S начинается при меньших концентрациях серы ( $N'_S = 0,03$  при 1200°С), чем в системе Pb—PbS ( $N'_S = 0,17$  при 1180°С). Поскольку далее купол расслаивания с ростом температуры сужается, отклонения от идеальных растворов должны уменьшаться. Как видно из табл. 3, коэффициенты активности серы падают при переходе от 1200 к 1300°С.

Наконец, большая величина отклонений от идеальных растворов и большая точность измерений (отсутствие помех с испарением) в системе Cu—Cu<sub>2</sub>S позволили выявить также и закономерный рост  $\gamma_S$  с  $N_S$ . Что касается  $\gamma_{Cu}$ , то расчеты по уравнению (2) показывают, что он весьма близок к единице (табл. 3) вплоть до начала расслаивания.



Таблица 3

Зависимость электродвижущей силы для системы  $\text{Cu} - \text{Cu}_2\text{S}$  от состава электрода из электродов при 1200 и 1300° С. Содержание серы во втором электроде составляло около  $N_{\text{S}} = 0,33$

0 $N_{\text{S}}$	E, mV				Коэффициенты активности			
	при 1200° С		при 1300° С		при 1200° С		при 1300° С	
	измеренные	вычислен. по ур-нию (1)	измеренные	вычислен. по ур-нию (1)	$\gamma_{\text{S}}$	$\gamma_{\text{Cu}}$	$\gamma_{\text{S}}$	$\gamma_{\text{Cu}}$
0,22	284	310	306	336	1,00	1,0	1,00	1,0
0,32	248	294	281	317	1,18	1,0	1,00	1,0
0,34	245	290	—	—	1,26	1,0	—	—
0,40	230	280	254	299	1,27	1,0	1,17	1,0
0,48	218	268	—	—	1,29	1,0	—	—
0,52	212	264	236	283	1,35	1,0	1,10	1,0
0,62	195	252	—	—	1,44	1,0	—	—
0,86	171	233	198	248	1,50	1,0	1,08	1,0
0,98	156	224	—	—	1,70	1,0	—	—
1,00	150	220	187	236	1,78	1,0	1,08	1,0
1,16	140	207	—	—	0,88	1,0	—	—
1,72	108	188	150	202	2,00	1,0	1,28	1,0
2,14	92	171	138	186	2,06	0,99	1,29	1,0
2,40	88	166	—	—	2,00	0,99	—	—
2,96	—	—	107	167	—	—	1,32	0,99
3,04	82	151	—	—	1,90	0,98	—	—
3,50	75	144	—	—	—	—	—	—
4,00	81	135	—	—	—	—	—	—
4,4	—	—	103	138	—	—	1,06	0,99
4,6	78	119	—	—	—	—	—	—
5,3	83	98	97	103	—	—	—	—
6,0	75	77	—	—	—	—	—	—
6,0	80	50	—	—	—	—	—	—
6,6	84	37	102	40	—	—	—	—
7,0	—	—	104	35	—	—	—	—
7,8	77	16,6	98	18	—	—	—	—
8,3	74	16,0	—	—	—	—	—	—
9,0	64	5,0	44	5,0	—	—	—	—
9,8	26	3,0	—	—	—	—	—	—

Значения  $\Delta F$  для перехода грамма серы из расплава с  $N'_{\text{S}} = 0,33$  к любому другому вычислялись по уравнению (4). Кроме того, по изменению электродвижущей силы с температурой был подсчитан тепловой эффект ( $\Delta H$ ) этого перехода (средний для интервала 1200—1300° С) помощи соотношения

$$-\Delta H = nF \left( E - T \frac{\partial E}{\partial T} \right). \quad (7)$$

Некоторые из значений  $\Delta F$  и  $\Delta H$  помещены в табл. 4, из которой видно, что они имеют разные знаки.

Положительные значения  $\Delta H$  свидетельствуют о том, что переход серы сопровождается поглощением тепла. Отрицательные значения  $\Delta F$  иллюстрируют самопроизвольность такого рода переходов.

При сравнении полученных результатов с данными другого метода приходится ограничиться лишь областью расслаивания вследствие малого числа измерений, проведенных для гомогенных расплавов. Согласно А. П. Вольскому [1]  $\lg P_{\text{S}_2}$  для двухфазной жидкости составляет —6,0 при 1200° С и —6,2 при 1140° С. Для чистого  $\text{Cu}_2\text{S}$  он при 1150 и 1300° С соответственно —5,6 и —4,7, что дает при интерполяции —5,3 при 1200° С.

Таблица 4

Изменение свободной энергии и тепловой эффект при переходе граммотама серы из расплава  $\text{Cu}-\text{S}$  фиксированного состава в расплав другого состава

100 $N_S$	$-\Delta F$ , кал		$-(\frac{\partial \Delta F}{\partial T})$ средн.	$\Delta H$ кал.	$\Delta F'$ кал		$-(\frac{\partial \Delta F}{\partial T})$ средн.
	1200° C	1300° C			1200° C	1300° C	
0,22	13100	14110	10	1630	0	0	0
0,40	10610	11710	11	5840	2490	2400	0,9
0,52	9810	10890	11	6100	3290	3230	0,6
0,86	7890	9130	12,5	9500	5210	4980	2,3
1,00	7010	8620	16,1	17830	6090	5490	6,0
2,14	4240	6360	21,2	26980	8850	7750	11,1
18,6	3780	4700	9,2	9820	—	—	—
26,8	3550	4520	9,7	10860	—	—	—

Отсюда из уравнения (5) находим:  $-\Delta F_{1200} = 2360$  кал и  $-\Delta F_{1140} = 2000$  кал. По нашим измерениям для двухфазного расплава электродвижущая сила равна 80 мВ при 1200° C и около 100 мВ при 1300° C, что по уравнению (4) дает  $-\Delta F_{1200} = 3680$  и  $-\Delta F_{1300} = 4612$  кал.

Таким образом в обоих случаях убыль свободной энергии возрастает с температурой, что находится в соответствии с сужением купола расслаивания. Однако абсолютные значения  $\Delta F$ , найденные методом электродвижущих сил, примерно в 1,5 раза больше вычисленных из данных Вольского. То же справедливо и для средней убыли изменения свободной энергии на один градус, которая в первом случае составляет примерно 9, а во втором — 6 кал.

Необходимо подчеркнуть, что верхняя граница расслаивания лежит весьма близко к  $N_S = 0,33$ . В силу этого первое слагаемое уравнения (6), соответствующее идеальному раствору, близко к нулю. Поэтому величины 9 и 6 кал должны быть почти целиком отнесены за счет двух последних слагаемых, т. е. рассматриваться как результат неидеальности расплавов.

Особенно рельефно это обстоятельство проявляется при сопоставлении  $\Delta F'$ , т. е. изменений свободных энергий при переходе

граммотама серы из наиболее разбавленного в любой другой расплав до нижней границы расслаивания. Как видно из табл. 4, средняя убыль  $\Delta F'$  на один градус, возрастая вместе с  $N_S$ , достигает 11 кал для  $N_S = 0,02$ . Так как теперь  $N_S^0 < N_S$  и  $\gamma_S^0$  разбавленного раствора также меньше  $\gamma_S$ , то первые два слагаемых уравнения (6) не в состоянии пояснить даже знак  $(\frac{\partial \Delta F'}{\partial T})$ . Последний, как и абсолютная величина производной, определяется третьим слагаемым.

### Выводы

1. Проведены измерения электродвижущих сил при температурах 1200—1300° C в концентрационных цепях, электродами которых слу-

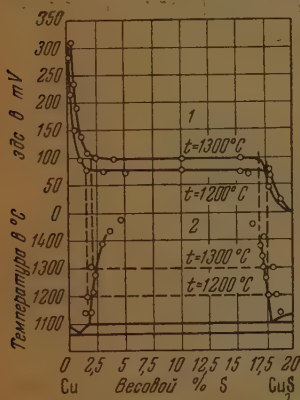


Рис. 3. Сравнение зависимости эдс от состава для системы  $\text{Cu}-\text{Cu}_2\text{S}$ :

1 — при температурах 1200—1300° C;  
2 — с диаграммой плавкости  $\text{Cu}-\text{Cu}_2\text{S}$

или расплавы  $Pb - PbS$  или  $Cu - Cu_2S$ , а электролитом стекло с до-  
вкой  $Na_2S$ .

2. Обнаружено, что электродвижущие силы закономерно изменяются  
составом и температурой; полученные результаты согласуются с дан-  
ными, найденными другими неэлектрохимическими методами (диаграмма  
плавкости, равновесное давление паров серы над расплавом).

3. Сказанное может служить экспериментальным доказательством  
электрохимической природы взаимодействия жидких сульфиднометалли-  
ческих сплавов с расплавленными силикатами.

Уральский политехнический институт  
им. С. М. Кирова  
Свердловск

Поступила  
29. I. 1951

#### ЛИТЕРАТУРА

- А. Н. Вольский, Основы теории металлургических плавов, Металлург-  
издат, 1943.  
Я. И. Герасимов, Успехи химии, 14, 293, 1945.  
В. А. Ванюков, К вопросу о сродстве элементов, Москва, 1916.  
W. Savelsberg, Z. Elektrochem., 46, 379, 1940.  
Д. М. Чижилов, Металлургия тяжелых цветных металлов, Изд-во АН  
СССР, 1948.  
М. А. Лошкарев, О. А. Есин и Г. Лапп, Журн. прикл. химии, 18,  
294, 1945.  
Н. А. Изгарышев и Н. К. Григорьев, Журн. общ. химии, 6, 1676, 1936.  
О. А. Есин, Электролитическая природа жидких плаков, Свердловск, 1946.  
Я. И. Герасимов и А. Н. Крестовников, Химическая термодина-  
мика и цветной металлургии, ОНТИ, вып. II, стр. 123, 1933.

## Дискуссия

### ПО ПОВОДУ СТАТЬИ Н. Б. ВАРГАФТИКА И В. В. КЕРЖЕНЦЕВА «К ВОПРОСУ О ТЕПЛОПРОВОДНОСТИ ДВОЙНЫХ ЖИДКИХ СИСТЕМ»

В. П. Фронтасев

В статье Н. Б. Варгафтика и В. В. Керженцева [1] высказан ряд критических замечаний по поводу нашей работы [2].

Наряду с некоторыми правильными замечаниями авторы, с нашей точки зрения, неправы в ряде своих выводов.

Из восьми изученных нами по теплопроводности двойных жидких систем авторы взяли систему уксусная кислота — анилин. Вид изотермы теплопроводности этой типичной иррациональной системы настолько необычен и интересен, что это, естественно, вызвало у авторов желание повторить и проверить своим методом наши измерения именно по данной системе.

Как это видно на рисунке, полученная нами изотерма теплопроводности системы (1) имеет ярко выраженный максимум в области 80 мол. % уксусной кислоты и не менее ярко выраженный минимум в области 60 мол. % кислоты.

Названная система имеет свою характерную особенность, заключающуюся в том, что ни уксусная кислота, ни анилин в чистом виде, ни раствор анилина в воде практически электропроводностью не обладают. Но в результате образования, как это показали исследования по плавкости [3] и некоторым другим свойствам, в частности по электропроводности [4], в жидкой фазе соединения, по всей вероятности,  $2\text{CH}_3\text{COOH} \cdot \text{C}_6\text{H}_5\text{NH}_2$  растворы системы обнаруживают значительную электропроводность, достигающую величины  $2,7 \cdot 10^{-3} \text{ ом}^{-1} \text{ см}^{-1}$ .

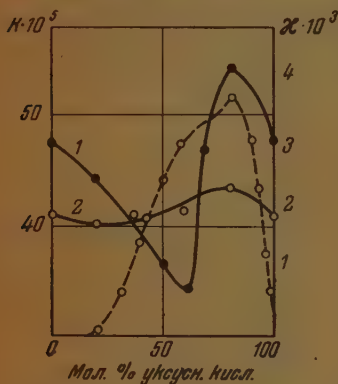
На эту особенность указанной системы обратил внимание почти 60 лет назад еще Д. П. Коновалов. В 1892 г. он впервые изучил электропроводность системы уксусная кислота

— анилин [5]. После электропроводность системы изучалась Паттеном [6], Поунд [7], в сравнительно недавнее время Н. А. Трифоновым и С. И. Чербовым [8] и, наконец, наиболее детально и при различных температурах электропроводность системы изучена М. А. Ключко и О. П. Чануквадзе [4].

Одной из особенностей рекомендуемого авторами для определения теплопроводности жидкостей метода нагретой нити является его неприменимость для измерения теплопроводности электролитов. Это связано с возникновением в установке во время измерений паразитных токов и даже электролиза, искажающих результаты опыта. Как указывает один из авторов, даже в случае измерения теплопроводности воды необходимо принимать специальные меры, чтобы избежать искажающих опыт влияний электропроводности воды, хотя она и незначительна по абсолютной величине — порядка  $10^{-6} \text{ ом}^{-1} \text{ см}^{-1}$  [9].

Очевидно, Н. Б. Варгафтик и В. В. Керженцев, изучая методом нагретой нити систему уксусная кислота — анилин, не учли ее значительной электропроводности. В результате полученные ими данные сильно искажены влиянием электропроводности и электролиза и не имеют достоверности.

На рисунке сопоставлены изотермы теплопроводности: полученная нами (1), а также авторов статьи (2). Коэффициент теплопроводности выражен в  $\text{кал см}^{-1} \text{сек}^{-1} \text{г}^{-1}$ . На рисунке, кроме того, дана кривая электропроводности системы при  $25^\circ \text{C}$  по данным М. А. Ключко и О. П. Чануквадзе.



1 — наши опытные данные,  
2 — по данным авторов статьи;  
пунктирная — по данным  
М. А. Ключко и О. П. Чануквадзе



Обращает на себя внимание то обстоятельство, что хотя абсолютные данные по теплопроводности у авторов искажены явлением электропроводности и электролиза, однако качественно вид изотерм сохранился. Максимум также обнаруживается на кривой в области 80 мол. % кислоты, в то время как минимум оказался сильно смещенным в сторону анилина и выражен очень слабо.

По чистым компонентам системы расхождение наших данных с авторами статьи составило почти одну величину: по кислоте +17% и по анилину +16% и, естественно, не стоило бы ожидать и для других точек системы расхождения такого же порядка. Однако для остальных точек системы, по мере возрастания процентного содержания кислоты, расхождение последовательно составило: +11%, -2%, -18%, +24%. Даже знак расхождения меняется. Причина такого весьма странного расхождения, как нам представляется, заключается в искажающем влиянии электропроводности и электролиза при измерениях методом нагретой нити. Не случайно максимальное расхождение (+24%) падает на точку состава 80% кислоты, где процесс разложения образующего в системе непрочного химического соединения в результате электролиза достигает наибольшего значения. В силу сказанного результаты измерений авторов могут быть сопоставлены с нашими.

В связи с этим заключение авторов о том, что «опытные данные по теплопроводности, полученные оптическим методом, не подтвердились», является необоснованным.

Почтунто следует заметить, что система уксусная кислота — анилин представляет дальнейшее исследование по теплопроводности значительный интерес, так как настоящего времени нельзя считать ее полностью изученной, в частности, в области 3 мол. % анилина, что отвечает стехиометрическому соотношению  $2\text{C}_2\text{H}_3\text{COOH} \cdot \text{H}_5\text{NH}_2$ .

Авторы статьи, кроме того, указывают, что при помощи осуществленного нами оптического метода нельзя получить «надежных абсолютных данных по теплопроводности жидкостей». Однако в предпринятой работе мы и не ставили перед собой этой задачи. Нашей целью являлось выяснение возможности применения в области физико-химического анализа нового физического свойства — теплопроводности.

В связи с этим основное внимание сосредоточивалось на поведении или характере изотерм. Принимая во внимание, что величины коэффициента теплопроводности подающего большинства изученных веществ и их смесей (за исключением воды), сравнительно невелики и по значениям относительно близки, можно полагать, что ошибка даже в процессе всех проведенных измерений с достаточной устойчивостью сохраняется постоянной и не влияла таким образом на характер изотерм (это не могло иметь места для случая воды, но изменение величины ошибки в этом случае не изменило бы общего вида изотермических систем, где вода являлась одним из компонентов). Указанноеображение, как нам кажется, подтверждается сопоставлением наших данных с данными авторов статьи по чистым жидкостям [10]. Расхождение величины коэффициента теплопроводности (за исключением воды, где расхождение составило лишь 1%, и нитробензола — расхождение +32%), во всех остальных пяти случаях приблизительно одно и то же и колеблется около значения 17% (бензол +18%, уксусная кислота +16%, анилин +14%, спирт этиловый +16% и ацетон +19%). Из сопоставления мы исключили данные по бромбензолу, взятые авторами не из собственных измерений.

Для применения оптического метода в целях получения абсолютных значений коэффициента теплопроводности метод, как правильно указывают авторы, нуждается в дальнейшей доработке и некоторой модификации. Работа в этом направлении и ведется.

Саратовский гос. университет  
Институт механики и физики

Поступила  
5.VII.1951

#### ЛИТЕРАТУРА

- Н. Б. Варгафтик и В. В. Керженцев, Журн. физ. хим., 24, 718, 1950.  
В. П. Фронтоасъев, ЖТФ, 20, 91, 1946.  
Ruschin u. Rikowski, Z. phys. Chem., 161, 336, 1932.  
М. А. Ключко и О. П. Чануквадзе, Изв. АН СССР. сер. хим., 987, 1938.  
Д. П. Коновалов, Журн. русск. физ.-хим. о-ва, 24, 440, 1892; 25, 192, 1893.  
H. E. Patten, Journ. Phys. Chem., 6, 554, 1902.  
Round, Journ. Chem. Soc., 125, 1560, 1924.  
И. А. Трифонов и С. И. Чербов, Изв. Биол. научно-исслед. ин-та при Пермском гос. ун-те, 6, 247, 1928.  
Н. Б. Варгафтик, ЖТФ, 10, 13, 1940.  
Н. Б. Варгафтик, Известия ВТИ, 8, 1949.

# АВТОРСКИЙ УКАЗАТЕЛЬ к XXV тому за 1951 г.

- Авакин С. В. и Лашко Н. Ф. Влияние повышенной структурной вязкости на кристаллизацию двойных эвтектик. 480
- — О кристаллизации двойных эвтектик в тройных системах 1085
- — По поводу письма в редакцию Ф. К. Горского (Письмо в редакцию). 638
- Акулович В. М., см. Павлюченко М. М.
- Амелин А. Г., Илларионов В. В. и Бородастова З. Б. Вязкость серного ангидрида. 542
- Амфилогов П. Е. и Харин А. Н. О роли гидродинамических условий в кинетике сорбции уксусной кислоты активными углями из водных растворов. 1479
- Антипина С. А., см. Маслов П. Г.
- Антонова А. Г., см. Волчков Л. М.
- Антропов Л. И. О роли потенциала нулевого заряда в необратимых электрохимических процессах. 1494
- и Ваграмян Н. Т. Электровосстановление в ряду нитробензол—анилин. 409
- см. Ваграмян Н. Т.
- Ауров А. П., см. Шушунов В. А.
- Афанасьев П. Б. и Тодес О. М. Экспериментальная проверка теории распространения осадка в плоском капилляре. 1273
- — Распределение концентраций компонентов реакции и периодическое осаждение ее продукта в плоском капилляре. 1281
- Багоцкая П. А. О механизме окисления ртути кислородом в растворах электролитов. 459
- Багоцкий В. С., см. Фрумкин А. Н.
- Баймаков Ю. В. и Евланников Л. М. К вопросу об электрохимических свойствах никеля. 483
- Барский Г. А. и Зельдович Я. Б. Кинетика горения окиси углерода. 523
- Батуев М. И. Водородная связь и физический идеализм преддиссоциационной ее теории (Дискуссия). 884
- Физический идеализм резонансной теории водородной связи. 995
- Бажутина И. Б., см. Козлов П. В.
- Беренблом Л. С., см. Делимарский Ю. К.
- Беркенгейм Т. И., см. Богданов Г. А.
- Богданов Г. А. Новые материалы к теории промежуточных продуктов в гомогенном катализе. II. 49. III. 61
- К теории совместного действия катализаторов в растворе, I. 323 II. 332
- и Беркенгейм Т. И. III. 1313
- и Пастухова А. И. IV. 1450
- Бонч-Бруевич В. Л. Электронные уровни атомов, адсорбированных на поверхности кристалла. II. 1033
- Борк А. X. и Кириллова С. В. Исследование зависимости скорости дегидратации этилового спирта от давления. 22
- Бородастова З. Б., см. Амелин А. Г.
- Бродский А. И. и Кухтенко И. И. Кинетика и механизм водородной перегруппировки фенола. 920
- , Червяцова Л. Л. и Миклухин Г. П. ответ В. И. Степанову (Дискуссия) 380
- — Заключительный ответ В. И. Степанову (Дискуссия). 994
- Брунс Б. П., см. Шурмовская Н. А.
- Бувакина Л. А., см. Сокольский Д. В.
- Ваграмян Н. Т., см. Антропов Л. И.
- и Антропов Л. И. О влиянии pH на процесс электрохимического гидрирования. 419
- Валеев А. Ш., см. Воздвиженский П. С.
- Веденев А. В. и Скуратов С. М. Теплоты емкости некоторых перекисей и гидратов окисей щелочных металлов. 83
- Вейденбах В. А. и Карпович Е. А. Зависимость цветного проявления от концентрации проявляющих веществ. 90
- Влодавец И. Н. и Пшежецкий С. Я. На какие закономерности кинетики окисления метанола. 612
- Воеводский В. В., см. Лавровская Г. К.
- Воздвиженский Г. С. Валеев А. Ш. Гречухина Т. Н. Анодное окисление текстурированного металла. 87
- , Деизидерьев Г. П. и Дмитриев В. А. Анодное растворение текстурированного металла. 547
- Волчков Л. М., Антонова А. Г. и Крайчиков А. И. Пассивность сплавов никеля с железом и хромом в щелочных растворах. 1445
- Волькенштейн Ф. Ф. О модифицировании катализаторов. 1214
- Галенко Н. П., см. Поляков М. В.
- Гантмахер А. Р. и Медведев С. С. Каталитическая полимеризация ненасыщенных соединений. II. 1428
- Гегузин Я. Е. и Пинес В. Я. Энергия смещения двойных металлических сплавов. I. 1228
- Ганелина С. Г., см. Тейтельбаум Б. Я.
- Герасимов Я. И., см. Резухина Т. Н.
- , см. Симанов Ю. П.
- Герович М. А., Каганович Р. И., Резник И. Ф. Адсорбция ионов на монослоях жирных кислот. 2. 1198
- — 3. 1289

- ман М. Х., Палатник Л. С. и Плотикина Д. Е. Исследование полиморфизма 2-метокси-7-аминофлуоренона. 10
- Твин Ю. М., см. Капустинский А. Ф.
- Удлер Г. А. и Уманский М. М. Гониометрическое и рентгенографическое исследование кристаллов 1,3,8-тринитронафталина. 555
- Удочкин С. В. Ответ на второе письмо Н. Н. Туницкого (Дискуссия). 1133
- и Измайлов А. В. Катодная поляризация при осаждении меди из комплексных электролитов. 1384
- и Жук Н. П. Влияние температуры на скорость процесса электролитического выделения хлора. 841
- Убунова К. М., Соповичев по электрохимии. 1267
- Убунова К. М., Ивановская Т. В. и Шаповал Н. А. Структура и механизм образования блестящих электролитических осадков. I. 981
- Уренбейн Е. Я. Исследования концентрированных электролитных растворов в четырехбромистом олове, как растворителе. Система  $\text{SbBr}_3\text{—AlBr}_3\text{—SnBr}_4$ . 1160
- и Крист Е. Е. Исследование концентрированных растворов  $\text{SbBr}_3\text{—AlBr}_3$  в бромистом мышьяке как растворителе. 791
- Уринов В. А., см. Шустунов В. А.
- Урталова Т. А., см. Тейтельбаум Б. Я.
- Урский Ф. К. Принцип равновероятности кристаллизации фаз эвтектических сплавов (Письмо в редакцию). 637
- Усановская В. Ш., см. Киперман С. Л.
- Усачева Т. Н., см. Воздвиженский Г. С.
- Усмаков С. Д. О некоторых закономерностях в образовании диаграмм состояния бинарных систем. 1014
- Усов Е. Ф., Нельсон К. В. и Слободин Я. М. Спектры комбинационного рассеяния света низкомолекулярных полимеров и полимеризация изобутилена. 504
- Усманов Ю. И., см. Шустунов В. А.
- Усманова Е. Н., Яновская Л. А. и Терентьев А. П. Дипольные моменты производных пиррола. 897
- Усманов П. Д. О книге З. Г. Пинскера «Дифракция электронов» (Библиография). 1001
- Усманов Г. П., см. Воздвиженский Г. С.
- Усмановский Ю. К., Беренблум Л. С. и Шейко И. Н. Определение отдельных электродных потенциалов в расплавленных солях. 398
- Усманов Н. В., см. Шур А. С.
- Усманов Е. П. Комплексообразование и обменное разложение в тройной взаимной системе из хлоридов и сульфатов лития и цезия. 584
- Усманов Г. П., см. Воздвиженский Г. С.
- Усмановская А. А. и Нейман М. Б. Исследование воспламенения газовых смесей, XXI. 1169
- Усманов В. П., Киселев А. В. и Лихачева О. А. Адсорбция паров азота на силикагеле. 740
- Усманов Н. М. и Шатенштейн А. И. Спектры поглощения и электропроводность растворов нитронафтолов в жидком аммиаке. 670
- Евланников Л. М., см. Баймаков Ю. В.
- Евстропьев Е. С., см. Мельникова И. Г.
- Ерофеев Б. В. и Смирнова П. И. Кинетика реакций с участием твердых веществ. О применимости обобщенного уравнения химической кинетики к термодинамическому распаду перманганата калия. 1098
- Есин О. А. и Срывалин П. Т. Изучение свойств расплавленных сульфидов методом электродвижущих сил. I. 1503
- Ефремова Г. Д., см. Кричевский И. Р.
- Жданов Г. С. и Звонкова З. В. О кристаллической структуре озонида калия. 100
- Жук Н. П., см. Горбачев С. В.
- Залкинд Ц. И. и Эршлер Б. В. Адсорбция кислорода на платине при поляризации по кривым заряджения. 565
- Запольская Н. А. О влиянии некоторых пассиваторов на мотозлектрический эффект никелевого электрода. 352
- Звонкова З. В., см. Жданов Г. С.
- Здановский А. Б. О механизме растворения природных солей. 170
- Зезюлинский В. М. Исследование водородной связи фенола с некоторыми органическими соединениями. 702
- Зельдович Я. Б., см. Барский Г. А.
- Зуева Р. В., см. Козлов П. В.
- Иванов Т. Ф. Уравнение физического состояния вещества в частных производных. 538
- Иванова Н. В., см. Клемент Ф. Д.
- Ивановская Т. В., см. Горбунова К. М.
- Измайлов А. В., см. Горбачев С. В.
- Измайлов Н. А. Физико-химический анализ двухкомпонентных систем в растворах. 1070
- Илларионов В. В., см. Амелин А. Г.
- Иогансен А. В., см. Тиличев М. Д.
- Иофа З. А., см. Фрумкин А. Н.
- Кабалкина С. С., см. Китайгородский А. И.
- Каганович Р. И., см. Герович М. А.
- Казарновская Л. И. и Казарновский И. А. Теплота образования супероксида калия  $\text{KO}_2$ . 293
- Казарновский И. А., см. Казарновская Л. И.
- Каневский Е. А. К теории электродного потенциала. II. 854
- Энергия гидратации ионов. II. 1092
- Капустинский А. Ф. и Голутвин Ю. М. Метод предельных теплот. I. 719
- II. 729
- Карпин В. А. и Петров П. Я. Рентгенографическое исследование поливинилового спирта и поливинилхлорида. 345
- Кармилова Л. В. и Кондратьев В. Н. Измерение концентрации атомов кислорода в пламенах при помощи  $\text{NO}$ . 312
- Карпович Е. А. см. Вейденбах В. А.
- Киперман С. Л. и Грановская В. Ш. Об изменении порядка реакции синтеза аммиака. I. 507
- Кириллова С. В., см. Борк А. Х.
- Киселев А. В., см. Древин В. Н.



- Китайгородский А. И. О возможности определения центра симметрии кристалла рентгеноструктурным анализом (Письмо в редакцию). 127
- Китайгородский А. И. и Кожин В. М. Структура кристаллов фенола (письмо в редакцию). 1261
- и Кабалкина С. С. Рентгеноструктурное исследование 1,5-дихлорантрацена. 185
- Рентгеноструктурное исследование 1,5-дихлорнафталина. 71
- Клемент Ф. Д. и Иванова Н. И. О возможности и условиях «холодного» получения кристаллофосфоров и люминесцентном методе диффузии в твердой фазе. 869
- Кобозев Н. И. О теоретических ошибках А. Н. Фрумкина, З. А. Иофа и В. С. Багоцкого (Дискуссия). 1111
- Несколько замечаний о статье Д. В. Сокольского и К. И. Стендер (Дискуссия). 375
- Коввер М. А. и Цимринг Ш. Е. К теории сплошного спектра метана и сходных молекул. 434
- Квантовая механика вырожденных колебаний молекулы метана. 438
- и Чуевиков В. А. К теории водородной связи в димерах. 662
- Кожин В. М., см. Китайгородский А. И.
- Кожеуров В. А. Термодинамика твердых и жидких растворов окислов железа. 694
- Козлов П. В., Зуева Р. В. и Бажутина И. В. Исследование релаксационных явлений при пленкообразовании. 1064
- Кокочанили В. И. Особенности горения смесей водорода с бромом. 444
- Колотырскин Я. М. О стационарных потенциалах саморастворяющихся металлов в кислых растворах. 1248
- и Медведева Л. А. Связь между перенапряжением водорода на свинцовом, кадмиевом и таллиевом электродах и знаком заряда поверхности последних в кислых растворах. 1355
- Кондратьев В. Н., см. Кармилова Л. В.
- Кондрашева Л. Я., см. Литвинов Н. Д.
- Корниенко Т. П., см. Поляков М. В.
- Краснова С. И., см. Товбин М. В.
- Красильщиков А. И., см. Волчкова Л. М.
- Крисс Е. Е., см. Горенбейн Е. Я.
- Кричевский И. Р. и Ефремова Г. Д. Фазовые и объемные соотношения в системах жидкость — газ при высоких давлениях. III. 577
- Крюкова Т. А., см. Попова Т. И.
- Кудра О. К. и Туров П. П. Потенциалы разложения ацетоновых растворов солей кобальта. 513
- Потенциалы разложения ацетоновых растворов солей кадмия. 391
- Потенциалы разложения ацетоновых растворов солей железа и ртути. 519
- Кудрявцев Б. Б. Флуктуации энергии в идеальном газе. 147
- Кузнецов А. Н., см. Ройтер В. А.
- Кузнецов А. Я., см. Мельникова И. Г.
- Кузьминский А. С., см. Постовская А. Ф.
- Куканов А. В., см. Шушунов В. А.
- Кухтенко И. И., см. Бродский А. И.
- Лавровская Г. К. и Воеводский В. В. Реакция атомов Н и О на твердых поверхностях. 1050
- Ландия Н. А. Расчет теплоемкостей неорганических соединений в твердом состоянии. 927
- Лашин Ю. П. и Фрост А. В. Бимолекулярное уравнение скорости каталитических реакций в струе. 971
- Лашко Н. Ф., см. Авакян С. В.
- Левин В. И. Полимолекулярная адсорбция на неоднородных поверхностях. 453
- Левина Р. Я., см. Трещева Е. П.
- Литвинов Н. Д. и Кондрашева Л. Я. Опыт изучения изотермического равновесия пар — жидкость для смеси трех летучих компонентов. 153
- Лихачева О. А., см. Древинг В. П.
- Луцкий А. Е. Масса молекул и физические свойства жидкостей. 1397
- Манкаш Е. К. и Пакшвер А. Б. Кинетика гетерогенного гидролиза полиамидных волокон. 468
- Маринин В. А. Скорость ультразвука в некоторых жидкостях и растворах. 641
- Марков Б. Ф. Совместное осаждение металлов на катоде при электролизе расплавов в отсутствие поляризации. 212
- Маслов П. Г. и Антипина С. А. К определению коэффициентов влияния для колебаний многоатомных молекул. I. 594
- Маслов П. Г. К определению коэффициентов влияния для колебаний многоатомных молекул. II. 803. III. 814
- Матерова Е. А., см. Никольский В. П.
- Медведев С. С., см. Гантмахер А. Р.
- , см. Ткаченко Г. В.
- Медведева Л. А. см. Колотырскин Я. М.
- Мельникова З. Я., см. Шурмовская Н. А.
- Мельникова И. Г., Евстропьев К. С. и Кузнецов А. Я. Электропроводность стекол системы  $PbO - V_2O_5$ . 1318
- Миклухин Г. П. Подвижность атомов водорода в солях уксусной кислоты. 688
- , см. Бродский А. И.
- Мирзехулава П. А. Теория концентрированных растворов сильных электролитов. 1347
- Митенков Ф. М., см. Степучкович А. Д.
- Модестова В. Н. Влияние анионов на кинетику катодного восстановления кислорода (Письмо в редакцию). 1138
- Морозова В. А., см. Резухина Т. Н.
- , см. Симанов Ю. П.
- Мохнаткин М. П. К теории полиморфизма (Дискуссия). 635
- Нагиев М. Ф. О кинетике каталитического крекинга. 29
- Натансон Г. Л. Симметричная электризация капель при механическом распылении жидкостей. 779
- Нейман М. Б., см. Добринская А. А.
- Некрашевич М. А., см. Хомяков К. Г.
- Нельсон К. В., см. Гросс Е. Ф.
- Николаев Л. А. Каталитическая активность



- омплексных соединений меди. 1427  
связи между структурой и каталитической активностью. 1437  
ьский Б. П. и Матерова Е. А. Теория стеклянного электрода. 1335  
ная И. Н., см. Ремпель С. И.
- пина А. Я., см. Поляков М. В.  
ченко М. М., Чекалинская И. И.  
Акулович В. М. Кинетика окисления абиетата серебра. 976  
вер А. Б., см. Манкаш Е. К.  
чик Л. С., см. Глузман М. Х.  
хова А. И., см. Богданов Г. А.  
в Д. А. Некоторые особенности образования соединений в металлических сплавах. 950  
в П. Я., см. Каргин В. А.  
в Б. Я., см. Гегузин Я. Е.  
ов В. А., см. Эршлер Б. В.  
пина Д. Е., см. Глузман М. Х.  
саров М. Н. Ультрамикроскопическое исследование электролиза неводных растворов азотнокислого серебра. 1005  
ов М. В. и Корниенко Т. П. Кинетика совместной полимеризации винилацетата и метилметакрилата. 1407  
авлушина А. Я., Корниенко Т. П.  
Шала В. В. Исследование кинетики механизма полимеризации винилацетата. 647  
Уризко В. И. и Галенко Н. П. Исследование каталитического окисления аммиака. 1460  
на Т. И. и Крюкова Т. А. Полярографические максимумы, возникающие под действием внешнего электрического поля. 283  
вская А. Ф. и Кузьминский А. С. Действие света на натрийбутадиеновый каучук. 863  
екий С. Я., см. Влодавец И. Н.  
евич П. П. I. Температурная зависимость поверхностного натяжения ртути, амальгам натрия и калия. 1365  
к И. Ф., см. Герович М. А.  
пина Т. Н., Герасимов Я. И. и Морозова В. А. Термодинамика редких металлов. II. 93  
иманов Ю. П. и Герасимов Я. И. Термодинамика редких металлов. III. 95  
иманов Ю. П.  
ль С. П. и Озеряная И. Н. О ряде приращений для тяжелых цветных металлов и их сульфидов в расплавленных хлоридах. 1181  
фельд И. Л. Зависимость электродного потенциала железа от концентрации водородных ионов. 732  
р В. А., Юза В. А., и Кузнецов А. Н. Механизме восстановления окислов железа. 960  
кова Л. А., см. Старобинец Г. Л.  
П. Г. О равновесии гидролиза гексафторосиликатона. 654  
влиянии образования кристаллообразов на устойчивость комплексных соединений. 1152
- Саркисов Э. С. Масса атомных ядер и периодический закон. I. 1415  
— Строение органических молекул. 624  
Саука Я. Я. Прецизионные постоянные решетки и коэффициенты термического расширения фтористого свинца. 41  
Семенченко В. К. Фазовые переходы II рода и критические явления. II. 121  
— и Скрипов В. П. III. 362  
Сидорова Е. Е., см. Тейтельбаум Б. Я.  
Симанов Ю. П., Резухина Т. Н., Морозова В. А. и Герасимов Я. И. Термодинамика редких металлов. IV. 357.  
—, см. Резухина Т. Н.  
Синицын П. Г. Обмен ионов бария и вodoreда на пермутите. 82  
Скляренко С. П. и Смирнов И. В. Электропроводность, вязкость и плотность водных растворов ортофосфорной кислоты. 24  
— — Электропроводность, вязкость и плотность растворов иодистого кадмия в метиловом спирте. 181  
Скрипов В. П., см. Семенченко В. К.  
Скуратов С. М., см. Веденеев А. В.  
Славянский В. Т., О поведении расплавленного стекла на платине в атмосфере различных газов. 1059  
Слободин Я. М., см. Гросс Е. Ф.  
Словохотова Н. А. Спектроскопическое исследование растворов неорганических солей в кетонах. 768  
Слюним И. Я. и Чмутов К. В. Диффузия линейных полимеров. II. 296.  
Смирнов И. В., см. Скляренко С. И.  
Смирнова И. И., см. Ерофеев Б. В.  
Сокольский Д. В. и Бувалкина Л. А. Кинетика гидрирования диметиладетиленилкарбинола. 495  
— и Стендер К. И. К вопросу о роли носителя в гетерогенном катализе (Дискуссия). 369  
Срывалин И. Т., см. Есян О. А.  
Старобинец Г. Л. и Старобинец К. С. Адсорбционные слои и диэлектрическая поляризация в системе *n*-дихлорбензолэтиловый спирт. 753  
— — Адсорбционные слои и диэлектрическая поляризация в неводных системах. 759  
— и Рыжикова Л. А. Адсорбционные слои и диэлектрическая поляризация растворов спиртов жирного ряда в бензоле. 1186  
Старобинец К. С., см. Старобинец Г. Л.  
Стендер К. И., см. Сокольский Д. В.  
Степанов Б. И. К вопросу о водородных обменных реакциях производных толуола (Дискуссия). 992  
Степухович А. Д. и Тимонин Л. М. Теория кинетики для двух последовательных односторонних реакций II порядка. 143  
— и Мителков Ф. М. Кинетика цепного распада этана при давлении выше атмосферного. 203  
Стронгин Г. М., см. Шушунов В. А.
- Танцырева Т. И., см. Трещева Е. П.  
Татевский В. М., О некоторых вопросах теории химического строения А. М. Бутлерова (Дискуссия). 241

- Расчет равновесий реакций изотопического обмена. 261
- Применение лемм подобия к расчету колебательного спектра изотопических молекул. 274
- см. Трещева Е. П.
- Тейтельбаум Б. Я., Горталова Т. А. и Сидорова Е. Е. Политермическое исследование поверхностного натяжения водных растворов низших спиртов. 911.
- Ганелина С. Г. и Горталова Т. А. Политермическое исследование поверхностного натяжения водных растворов ацетона, метилэтилкетона, пиридина и хлораля. 1043
- Терентьев А. П., см. Гурьянова Е. Н.
- Тиличев М. Д. Вычисление давления насыщенного пара индивидуальных углеводородов. 942
- и Йогансен А. В. Давление насыщенных паров 2-метилалканов- $C_9$ — $C_{24}$ . 1295
- Тимонин Л. М., см. Степухович А. Д.
- Ткаченко Г. В., Хомиковский П. М. и Медведев С. С. Кинетика полимеризации хлористого винила в растворах. 823
- Товбин М. В. и Краснова С. И. Стабильность пересыщенных растворов солей. II. 161
- Товбин А. В. Кинетика адсорбции из растворов. 1141
- Товбин А. В., см. Товбин М. В.
- Тодес О. М., см. Афанасьев П. Б.
- Трещева Е. Г., Татевский В. М., Танцырева Т. П., Файнзильберг А. А. и Левина Р. Я. Спектры комбинационного рассеяния некоторых алканов. 1239
- Туницкий Н. Н. Ответ на письмо С. В. Горбачева (Дискуссия). 1132
- Туров П. П., см. Кудра О. К.
- Уманский М. М., см. Гольдер Г. А.
- Уразовский С. С. О природе молекулярнополиморфных превращений в жидкостях. 426
- Уризко В. И., см. Поляков М. В.
- Фаерман Г. П. и Шишкина Н. Н. Роль щелочи при цветном проявлении. 1026
- Файнзильберг А. А., см. Трещева Е. П.
- Федотов Н. А. Определение емкости ртутного катода по измерению потенциала после выключения поляризующего тока. 3
- Фрисман Э. В. и Цветков В. Н. Динамическое двойное лучепреломление жидкостей с цепными молекулами. 682
- Фрост А. В., см. Лапин Ю. П.
- Фронтасев В. П. По поводу статьи Н. В. Варгафтика и В. В. Керженцева «К вопросу о теплопроводности двойных жидких систем (Дискуссия). 1512
- Фрумкин А. Н., Иофа З. А. и Бароцкий В. С. Ответ Н. И. Кобозеву (Дискуссия). 1117
- Харин А. Н., см. Ампилов И. Е.
- Холлер В. А., см. Хомяков К. Г.
- Хомиковский П. М., см. Ткаченко Г. В.
- Хомутов Н. Е. Кинетика электрохимического окисления анилина в водных растворах. II. 607
- Хомяков К. Г., Холлер В. А. и Некрашевич М. А. Истинная теплоемкость стемы фенол—вода в области критической температуры. 1469
- Цветков В. Н., см. Фрисман Э. В.
- Цимринг Ш. Е., см. Ковнер М. А.
- Чекалинская И. И., см. Павлюченко М.
- Челинцев Г. В. Письмо в редакцию по поводу статьи В. М. Татевского «О теории резонанса». 239
- Червякова Л. Л., см. Бродский А. И.
- Четаев М. П. Об особенностях в температурной зависимости некоторых термодинамических функций поверхностных слоев жидкостей. 1455
- Черноплоков Н. А. Таблицы функций плоемкости гетеродинамических структур. 878
- Чин С. С. и Чу П. Л. Обобщенное уравнение состояния реальных газов и жидкостей. 115
- — Обобщенное соотношение скрытой теплоты испарения. 118
- , см. Чу П. Л.
- Чматов К. В. К 50-летию М. М. Дубинина. 385
- , см. Слоним И. Я.
- Чу П. Л. и Чин С. С. Обобщенное уравнение для скрытой теплоты испарения. 102
- Чу П. Л. и Чин С. С. Обобщенная  $P$ - $T$ -диаграмма для реальных газов жидкостей. 110
- , см. Чин С. С.
- Чуенков В. А., см. Ковнер М. А.
- Шая В. В., см. Поляков М. В.
- Шатенштейн А. И. О сравнении спектров очень слабых кислот. 1206
- , см. Дыхно Н. М.
- Шахпаронов М. И. О термодинамических свойствах жидких двухкомпонентных систем. 231
- Связь между растворимостью, коэффициентами активности и свойствами частей. 1103
- К теории термодинамических свойств растворов. 1374
- Шейко И. Н., см. Делимарский Ю.
- Шигорин Д. Н. Спектры комбинационного рассеяния света гидрохлорида амидинов и имидозифиров. 798
- О некоторых вопросах теории химического строения молекул (Дискуссия). 737
- Шилов Е. А. О соображениях Абеля относительно надзотистой кислоты (Дискуссия). 1137
- Шипаков Н. А., см. Горбунова К.
- Шишкина Н. Н., см. Фаерман Г. М.
- Шорыгин П. П. О значении колебательного подуровня для интенсивности ли спектров комбинационного рассеяния света. 341
- Шорыгин П. П. и Халплов А. Х. Изменение исследования в интенсивности комбинационного рассеяния света для изучения молекулярных динейн. 1475
- Шур А. С. и Деменев Н. В. Катализаторная активность пленок платины.

мовская Н. А., Брунс Б. П. и Мельникова З. Я. Реакция между CO и  $MnO_2$ . 1306

Гунов В. А., Стронгин Г. М., Грыбин Ю. И. и Куканов А. В. Кинетика реакции фотохлорирования бензола. 404

Гунов В. А. и Ауров А. П. Кинетика реакции магния с парами бромистого этила. 13  
— и Горинов В. А. Катализ эфирами реакции магния с парами бромистого этила. 20

Иер Б. В., см. Залкинд Ц. И.

— и Плесков В. А. Об «абсолютной» шкале потенциалов Е. А. Каневского. 1258

Юза В. А., см. Ройтер В. А.

Яновская Л. А., см. Гурьянова Е. Н.

Яцимирский К. Б. К вопросу об изменении свободной энергии и энтропии при реакциях комплексообразования. 221  
— Константы устойчивости некоторых комплексных соединений свинца. 475

## ПРЕДМЕТНЫЙ УКАЗАТЕЛЬ К XXV ТОМУ ЗА 1951 г.

## Адсорбция

- азота на силикагеле. 710
- ионов на монослоях жирных кислот. 1239
- кислорода на платине. 565
- полимолекулярная на неоднородных поверхностях. 453

## Адсорбционные коэффициенты, методика определения. 38

Адсорбционные слои в системах спирты — *n*-дихлорбензол. 753, 759

## — в системах — спирты — бензол. 1186

## Активности, коэффициенты в двухкомпонентных растворах. 231

## — связь с растворимостью и свойствами частиц. 1103, 1380

## Бинарные системы. 1014

## Вавилов С. И. Некролог. 257

## Влияния, коэффициенты — метана, этана и их замещенных. 594, 803, 814

## Водородная связь

## — к теории. 662

## — фенола с органическими соединениями. 702

## — и физический идеализм (дискуссия). 884, 995

Вязкость растворов  $CdJ_2$  в  $CH_3OH$ . 181— растворов  $H_3PO_4$ . 24

## — серного ангидрида. 542

— системы  $SbBr_3 \cdot AlBr_3 - AsBr_3$ . 792—  $SbBr_3 \cdot AlBr_3 - SnBr_4$ . 1161

## — структурная, влияние на кристаллизацию двойных эвтектик. 480

## Гидрирование этилена на платиновых пленках. 139

## — электрохимическое, влияние рН. 419

## Гониометрическое и рентгеновское исследование 1,3,8-тринитронафталина. 555

Горение смесей  $H_2$  и  $Br_2$ . 444

## — окиси углерода. 523

## Давление насыщенных паров углеводородов. 942, 1295

## Двухкомпонентные системы, термодинамические свойства. 231

## Дегидратация этилового спирта, зависимость от давления. 224

## Действие света на каучук. 863

## Диаграммы равновесия сплавов. 1236, 1308

## — состояния бинарных систем. 1014, 1075

## — тройных систем. 1087

## Дипольные моменты производных пи-рола. 897

## Дискуссия

## — Водородная связь и физический идеализм. 884, 995

## — К теории полиморфизма. 635

## — Об «абсолютной» шкале потенциалов Каневского. 1258

## — О водородных обменных реакциях производных толуола. 992

## — О возможности определения центра симметрии кристалла рентгеноструктурным анализом. 127

## — О книге З. Г. Пинскера (Библиография). 639, 1001

## — О роли носителя в гетерогенном катализе. 369, 375

## — О соображениях Абеля относительно надзотистой кислоты. 1137

## — Ответ С. В. Горбачеву. 1132

## — Ответ Н. И. Кобозеву. 1117

## — Ответ на второе письмо Н. Н. Туникова. 1133

## — Ответ Б. И. Степанову. 380

## — Ответ Б. И. Степанову, заключительный. 994

## — О статье Д. В. Сокольского и К. И. Степанова. 375

## — О статье В. М. Татевского. 239

## — О теоретических ошибках А. Н. Фрумкина, З. А. Иофа и В. С. Багодского. 1111

## — О теории полиморфизма. 635

## — О теории строения молекул. 737

## — По поводу статьи Н. В. Варгафтика и В. В. Керженцева. 1512

## Диффузия коэффициент винильных полимеров. 296

—  $K_2CrO_4$ . 1287

## Диэлектрическая постоянная систем бензол-спирты. 1188

—  $SnBr_4$ . 1165

## — связь с растворимостью. 1378

## Дубинин М. М., — к пятидесятилетию. 385

## Емкость ртутного катода. 4

## Зелинский Н. Д. — к 90-летию. 130

## Изологические ряды. 1397

## Интерметаллические соединения Co — W. 357

## — Fe — W. 305

## Калориметр адиабатический без размешивания. 363

## — высокотемпературный. 1231

## Катализ гомогенный, промежуточные продукты. 49, 61, 328, 333, 1313

## Катализаторы реакции магния с галондами. 21

## Каталитическая активность платиновых пленок. 136

## — комплексных соединений меди. 142

## — некоторых комплексных соединений связь со структурой. 1437

## — связь с растворимостью. 1378

## Кинетика

## — адсорбции из растворов. 1141

— взаимодействия  $MnO_2$  и CO. 1311

## — гетерогенного гидролиза полнамидных волокон. 468



гидрирования диметилацетилкарбинола. 495  
 гидрирования этилена на Pt-сплавах. 139  
 окисления окиси углерода. 522  
 гидрирования ацетона. 775  
 механизм водородной перегруппировки фенола. 920  
 механизм восстановления окиси железа. 860  
 механизм полимеризации винилата. 647  
 механизм растворения природных смол. 170  
 каталитического крекинга. 29  
 каталитической полимеризации стирола. 1333  
 окисления абиетата серебра. 976  
 окисления метанола. 612  
 окисления окиси мезитила. 973  
 распада перхлората натрия. 49  
 распада перекиси водорода. 52, 64, 24, 333, 1317, 1450  
 распада перхромата калия. 61  
 окисления магния с галоидальными. 13  
 окисления аммиака, изменение порядка реакции. 557  
 местной полимеризации винилацетата и метилметакрилата. 1407  
 окисления уксусной кислоты, роль гидродинамических условий. 1479  
 участием твердых веществ. 1048  
 окисления двух последовательных одноэлектронных реакций 2-го порядка. 143  
 окисления бензола. 404  
 одностороннего окисления бутана. 69  
 окисления этана. 203  
 электрохимического окисления анилина. 607  
 окисления очень слабые, сравнение. 1206  
 окисления вырожденные молекул метана. 38  
 окислительное образование, изменение свободной энергии и энтропии. 221  
 окисления восстановления вольфрамата железа. 310  
 окисления вольфрамата кобальта. 359  
 окисления  $\text{SiF}_4$ . 658  
 окисления обменных реакций в дейтерии. 1211  
 окисления комплексных соединений свинца. 475  
 окисления атомов O в пламенах. 312  
 окисления водорода в растворах солей в катодных. 773  
 окисления водорода, влияние на скорость распада солей. 52, 64  
 окисления водорода, влияние на поглощение ионов стекла и на растворимость. 1342  
 окисления водорода, влияние на электрохимическое гидрирование. 419  
 окисления в проявителе, влияние на спектральное поглощение цветной пленки. 28  
 окисления двойных эвтектик в тройных системах. 480, 1085  
 окисления аллофены, «холодное» получение. 869  
 окисления теории резонанса. 239, 241, 737.

Лучепреломление двойное жидкостей. 682  
 Масса атомных ядер и периодический закон. 1415  
 Масса молекул и физические свойства жидкостей. 1397  
 Механизм окисления ртути в растворах электролитов. 459  
 — распада  $\text{H}_2\text{O}_2$ . 324, 333  
 — растворения природных солей. 170  
 — цепного окисления углеводородов. 1178  
 Механические напряжения в пленках. 1066  
 Модифицирование катализаторов. 1214  
 Молекулярнополиморфные превращения в жидкостях. 426  
 Мотоэлектрический эффект никелевого электрода. 353  
 Носитель, роль в гетерогенном катализе (дискуссия) 369, 375  
 Обмен изотопный в жидком аммиаке. 1206  
 — изотопный, расчет равновесия. 261  
 — ионов бария и водорода на пермутите. 82  
 — ионов стекла в щелочных растворах. 1341  
 Окисление аммиака, 1460  
 — анодное, текстурованных металлов. 87  
 — анилина, электрохимическое. 607  
 — ртути в растворах электролитов. 459  
 — углеводородов, полярографическое определение промежуточных продуктов. 1171  
 Осаждение металлов при электролизе. 212  
 Пассивность сплавов никеля с железом и хромом. 1445  
 Перенапряжение водорода  
 — на ртутном катоде. 7  
 — при электровосстановлении нитробензола. 419  
 — связь со знаком заряда поверхности электродов. 1355  
 Письма в редакцию  
 — Влияние анионов на кинетику катодного восстановления. 1138  
 — Принцип равновероятности кристаллизации фаз. 637  
 — По новоду письма Ф. К. Горского. 638  
 — Структура кристаллов фенола. 1261  
 Пламена  
 окиси углерода. 523  
 — концентрация атомов O. 314  
 — распространение в бромоводородных смесях. 444  
 Плотность растворов  $\text{CdJ}_2$  в  $\text{CH}_3\text{OH}$ . 181  
 — растворов водорода и азота в метаноле. 577  
 — растворов  $\text{H}_3\text{PO}_4$ . 24  
 — растворов *n*-дихлорбензола. 753  
 — системы бензол — спирты. 1188  
 — системы  $\text{SbBr}_3$  —  $\text{AlBr}_3$  —  $\text{SnBr}_4$ . 1162  
 Поверхностное натяжение  
 — бензола, температурная зависимость. 1735  
 — растворов спиртов, кетонов, пиридина и хлораля, политемическое исследование. 911, 1043  
 — растворов спиртов в *n*-дихлорбензоле. 753, 759

**Поверхностное натяжение**

— ртути и амальгам, температурная зависимость. 1365

— систем бензол — спирты. 1188

Поглощение ионов стеклами. 1345

Подвижность атомов Н в уксуснокислых солях. 688

Полимеризация изобутилена. 505

— винилацетата. 647

— каталитическая, ненасыщенных соединений, влияние диэлектрической постоянной. 1328

Поляризация анодная никеля. 492

— диэлектрическая, растворов спиртов в л-дихлорбензоле. 753, 759

— диэлектрическая, спиртов в бензоле. 1186

— катодная при осаждении меди. 1384

Потенциалы никеля в присутствии  $H_2$  и  $O_2$ . 485

— нулевого заряда, роль в необратимых процессах. 1496

— отдельные электродные, в расплавленных солях. 399

— разложения ацетоновых солей железа и ртути. 519

— разложения ацетоновых солей кадмия. 391

— разложения ацетоновых солей кобальта. 513

— поверхностные смешанных пленок. 1294

— после выключения поляризующего тока. 4

— стационарные, саморастворяющихся металлов в растворах. 1248

— сплавов анодные. 1445

— стекляного электрода, экспериментальное подтверждение обменной природы. 1335

— электродные, вопросы теории. 854

— — железа, зависимость от рН. 732

— — цветных металлов. 1184

**Равновесие вольфрамата железа с водородом.** 305

— вольфрамата кобальта с водородом. 357

— вольфрамата марганца с водородом. 93

— гидролиза гексафторосиликат-иона. 654

— изотермическое пар — жидкость в тройных системах. 153

— изотопического обмена, расчет. 261

**Распределение концентраций компонентов реакции и периодическое осаждение ее продукта в плоском капилляре.** 1281

**Распространение осадка в плоском капилляре, экспериментальная проверка теории.** 1273

**Растворение анодное, текстурированного металла.** 547

— природных солей. 170

— ртути, зависимость скорости от потенциала электрода. 459

**Растворимость водорода в метаноле.** 577

— тиосульфата и роданида свинца. 475

— связь с коэффициентами активности и свойствами частиц. 1103, 1380

— стекол. 1342

**Растворы**

— — нодистого кадмия в метаноле. 181

концентрированные сильных электролитов, теория. 1347

—, к теории термодинамических свойств. 1374

— серебра коллоидные, образование при электролизе. 1006

— солей, пересыщенные, их стабильность. 161

**Расчет колебательных спектров изотопических молекул.** 274

— равновесия изотопического обмена. 2

— теплоемкостей неорганических соединений. 927

**Реакция атомов Н и О.** 1050

— углекислоты и двуокиси марганца. 13

**Реальные газы и жидкости, обобщенная  $p$ - $V$ - $T$ -диаграмма.** 110

— — обобщенное уравнение состояния. 1

— — обобщенное соотношение для скрытой теплоты испарения. 118

**Резонанса теория, критика.** 239, 241, 73

**Рекомбинации коэффициенты.** 1050

**Релаксационные явления при пленкообразовании.** 1067

**Рентгеновское исследование никеля.** 4

**Рефракция, температурная зависимость.** 4

**Ряд напряжений в расплавленных хлоридах.** 1181

**Свободная энергия**

— вольфрамата железа. 310

— — вольфрамата марганца. 96

— — изменение при комплексообразовании. 221

**Свойства расплавленных сульфидов, темы  $Pb-PbS$  и  $Cu-Cu_2S$ .** 1

**Смачивание платины стеклом.** 1061

**Советские по теории химического строения.** 928

— по электрохимии. 1267

**Соединения в металлических сплавах, обобщенности образования.** 950

— интерметаллические. 305, 357

**Спектры колебательные, изотопических молекул, применении леммы подобия к расчетам.** 274

**Спектры комбинационного рассеяния свечения алканов с третичным углеродом.** 1

— — — гидрохлоридов и имидозофитов. 1

— — — и влияние колебательных уровней на интенсивность линий. 1

— — — квантовая трактовка. 341

— — — низкомолекулярных полимеров изобутилена. 504

— — — применение исследования интенсивности линий для изучения молекулярных соединений. 1477

**Спектры поглощения 2-метокси 7-аминифенола.** 11

— — межмолекулярного взаимодействия растворов нитронафтолов в жидком аммиаке. 670

— — — растворов неорганических солей в тонах. 768

**Спектры сплошные метана и сходных молекул.** 434

**Стабильность пересыщенных растворов солей.** 161

**Стеклый электрод, теория.** 1335

**Строение органических молекул.** 624

**Строение углеводородов и закономерности в энергиях образования (Дискуссия).** 241

- тура 1,5-дихлорнафталина. 71  
 5-дихлорантрацена. 185  
 механизм образования электролитических осадков. 981  
 кристаллов фенола. 1261  
 равновесия фаз в точках фазовых переходов. 1455  
 соли калия. — 100  
 поверхности  $MnO_2$ . 1315  
 поливинилового спирта и поливинилхлорида. 351  
 точек жирных кислот. 1201, 1295  
 3,8-тринитронафталина. 555  
 точек целлюлозных. 1066  
 пер. 1415  
 температура кипения алканов. 1300  
 кипения, плавления и критическая в геологических рядах. 1404  
 критическое расширение фтористого свинца, коэффициент. 41  
 критических металлов. 93, 304, 357  
 емкость  
 гетеродинамических структур, таблицы функций. 878  
 критических бинарных смесей. 362  
 изологов. 1404  
 критическая, системы фенол—вода в области критической температуры. 1469  
 неорганических соединений в твердом состоянии, расчет. 927  
 перекисей и гидроперекисей щелочных металлов. 837  
 поверхностного слоя. 1455  
 сплавов Bi—Cd. 1304  
 Pb—Sn. 1233  
 температурная зависимость. 429  
 точка испарения, скрытая, обобщенное уравнение. 102  
 обобщенное соотношение. 118  
 точка образования вольфрамата железа. 310  
 — вольфрамата кобальта. 359  
 — вольфрамата марганца. 98  
 — селенистого железа. 729  
 — сернистого железа. 719  
 — супероксида калия. 293  
 давления сплавов. 1233, 1305  
 испарения изологов. 1405  
 динамика обобщенных критических явлений. 121  
 растворов окислов железа. 694  
 новые системы солей лития и цезия. 584  
 звуков, скорость в жидкостях и в растворах. 641  
 явление бимолекулярное, скорости каталитических реакций. 971  
 изотермы многослойной адсорбции. 454  
 зависимости давления насыщенного пара от температуры. 1302  
 кинетики адсорбции из растворов. 1141  
 молекулярной электропроводности. 1166  
 — обобщенное, для скрытой теплоты испарения. 102  
 — обобщенное химической кинетики, применимость к распаду перманганата калия. 1098  
 — растворимости. 1378.  
 — суммы энергий гидратации ионов. 1093  
 — упругости диссоциации при наличии кристаллосольватов. 1153  
 — физического состояния вещества. 538  
 Уровни энергетические метана. 434  
 Устойчивость коллоидных систем. 1009  
 — комплексных соединений, влияние образования кристаллосольватов. 1152  
 Фазовые переходы II рода и критические явления. 121, 363  
 — — и объемные соотношения в системах жидкость — газ. 577  
 Физико-химический анализ двухкомпонентных систем. 1070  
 Флуктуации энергии в идеальном газе. 147  
 Цветное проявление, зависимость от концентрации проявляющих веществ. 923  
 — — роль щелочи. 1026  
 Электризация капель при механическом распылении. 778  
 Электровосстановление в ряду нитробензол — анилин. 409  
 — органических соединений. Роль потенциала нулевого заряда. 1501  
 Электрокристаллизация металлов. 1498  
 Электролиз, влияние температуры на скорость. 1132, 1133, 1389  
 — неводных растворов азотно-кислого серебра, ультрамикроскопическое исследование. 1005  
 — расплавов, совместное осаждение металлов. 212  
 Электронные уровни адсорбированных атомов. 1033  
 Электролитическое выделение хлора, влияние температуры. 841  
 Электропроводность  
 — полупроводников, связь с каталитической активностью. 1215  
 — растворов иодистого калия в метаноле. 181  
 — растворов нитронафтолов. 670  
 — растворов фосфорной кислоты. 24  
 — системы  $SbBr_3 \cdot AlBr_3$  —  $AsBr_3$ . 792  
 — системы  $SbBr_3 \cdot AlBr_3$  —  $SnBr_4$ . 1162  
 — стекловых систем  $PbO-B_2O_3$ . 1318  
 Электрохимические свойства никеля. 483.  
 Энергия активации рекомбинации. 1050  
 — — стекол 1330  
 — гидратации ионов, вычисление. 1092  
 Энергия образования и химическое строение углеводородов (Дискуссия). 241  
 — смешения сплавов. 1228, 1300  
 Энтропия, изменение при комплексообразовании. 221  
 — поверхностная. 1455

## СОДЕРЖАНИЕ XXV ТОМА

## ВЫПУСК I

Н. А. Федотов. Определение емкости ртутного катода по измерению потенциала после выключения поляризующего тока . . . . .	3
М. Х. Глузман, Л. С. Палатник и Д. Е. Плоткина. Исследование полиморфизма 2-метокси-7-аминофлуоренона . . . . .	10
В. А. Шушунов и А. П. Ауров. Кинетика реакции магния с парами бромистого этила . . . . .	13
В. А. Шушунов, А. П. Ауров и В. А. Горинов. Катализ эфирами реакции магния с парами бромистого этила . . . . .	20
С. И. Скляренко и И. В. Смирнов. Электропроводность, вязкость и плотность водных растворов ортофосфорной кислоты . . . . .	24
М. Ф. Нагиев. О кинетике каталитического крекинга . . . . .	29
Я. Ч. Саука. Прецизионные постоянные решетки и коэффициенты термического расширения фтористого свинца . . . . .	41
Г. А. Богданов. Новые материалы к теории промежуточных продуктов в гомогенном катализе. II. Кинетика распада первольфрамов натрия в растворе . . . . .	49
Г. А. Богданов. Новые материалы к теории промежуточных продуктов в гомогенном катализе. III. Кинетика распада $K_2CrO_8$ и новые перхроматы . . . . .	61
А. И. Китайгородский и С. С. Кабалкина. Рентгеноструктурное исследование 1,5-дихлорнафталина . . . . .	71
П. Г. Синицын. Обмен ионов бария и водорода на пермутите . . . . .	82
Г. С. Воздвиженский, А. Ш. Валеов и Т. Н. Гречухина. Анодное окисление текстурированного металла . . . . .	87
Т. Н. Резухина, Я. И. Герасимов и В. А. Морозова. Термодинамика редких металлов. II. Равновесие вольфрамата марганца с водородом . . . . .	93
Г. С. Жданов и З. В. Звонкова. О кристаллической структуре озонида калия . . . . .	100
П. Л. Чу и С. С. Чин. Обобщенное уравнение для скрытой теплоты испарения . . . . .	102
П. Л. Чу и С. С. Чин. Обобщенная $p$ - $V$ - $T$ -диаграмма для реальных газов и реальных жидкостей . . . . .	110
С. С. Чин и П. Л. Чу. Обобщенное уравнение состояния реальных газов и реальных жидкостей . . . . .	115
С. С. Чин и П. Л. Чу. Обобщенное соотношение для скрытой теплоты испарения, основанное на обобщенном уравнении состояния для реальных газов и реальных жидкостей . . . . .	118
В. К. Семенченко. Фазовые переходы II рода и критические явления II. Термодинамика обобщенных критических явлений . . . . .	121

## Письмо в редакцию

А. И. Китайгородский. О возможности определения пентра симметрии кристалла рентгеноструктурным анализом . . . . .	127
---	-----

## ВЫПУСК 2

Николай Дмитриевич Зелинский (К девяностолетию со дня рождения) . . . . .	130
А. С. Шур и Н. В. Деменев. Каталитическая активность пленок платины, полученных на поверхностях водных растворов ее соли действием восстановительной газовой среды . . . . .	136
А. Д. Степухович и Л. М. Тимонин. Теория кинетики для двух последовательных односторонних реакций второго порядка . . . . .	143
Б. Б. Кудрявцев. Флуктуации энергии в идеальном газе . . . . .	147
Н. Д. Литвинов и Л. Я. Кондрашова. Опыт изучения изотермического равновесия пар — жидкость для смеси трех летучих компонентов . . . . .	153
М. В. Товбин и С. И. Краснова. Стабильность пересыщенных растворов солей. II. . . . .	161



Б. Здановский. О механизме растворения природных солей . . . . .	170
И. Скляренко и И. В. Смирнов. Электропроводность, вязкость и плотность растворов иодистого кадмия в метиловом спирте . . . . .	181
И. Китайгородский и С. С. Кабалкина. Рентгеноструктурное исследование 1,5-дихлорантрацена . . . . .	185
Д. Степухович и Ф. М. Митенков. Кинетика целного распада этана при давлении выше атмосферного . . . . .	203
Ф. Марков. Совместное осаждение металлов на катоде при электролизе расплавов в отсутствие поляризации . . . . .	212
Б. Яцимирский. К вопросу об изменении свободной энергии и энтропии при реакциях комплексообразования . . . . .	221
Х. Борк и С. В. Кириллова. Исследование зависимости скорости дегидратации этилового спирта от давления . . . . .	224
И. Шахпаронов. О термодинамических свойствах жидких двухкомпонентных систем . . . . .	231

### Дискуссия

В. Челинцев. Письмо в редакцию по поводу статьи В. М. Татевского «О теории резонанса» [1] . . . . .	239
М. Татевский. О некоторых вопросах теории химического строения А. М. Бутлерова. II. Химическое строение углеводов и закономерность в энергиях образования . . . . .	241

### ВЫПУСК 3

Пам'яті великого труженика і організатора науки Сергія Івановича Вавилова . . . . .	257
М. Татевський. Розрахунок рівноваг реакцій ізотопного обміну . . . . .	261
М. Татевський. Застосування лемми подоби́я до розрахунок колибательного спектра ізотопних молекул . . . . .	274
И. Попова и Т. А. Крюкова. Полярнографические максимумы, возникающие под действием внешнего электрического поля . . . . .	283
И. Казарновская и И. А. Казарновский. Теплота образования супероксида калия $\text{KO}_2$ . . . . .	293
Я. Слоним и К. В. Чматов. Диффузия линейных полимеров. II. Температурная зависимость коэффициента диффузии винильных полимеров . . . . .	296
Н. Резухина, Ю. П. Симанов и Я. И. Герасимов. Термодинамика редких металлов. III. Равновесие вольфрамата железа с водородом . . . . .	305
В. Кармилова и В. Н. Кондратьев. Измерение концентрации атомов кислорода в пламенах при помощи $\text{NO}$ . . . . .	312
А. Богданов. К теории совместного действия катализаторов в растворе. I . . . . .	323
А. Богданов. К теории совместного действия катализаторов в растворе. II. Роль промежуточных продуктов на примере катализа $\text{H}_2\text{O}_2$ солями меди и молибдена . . . . .	332
П. Шорыгин. О значении колебательных подуровней эффективных электронных уровней для интенсивности линий спектров комбинационного рассеяния света . . . . .	341
А. Каргин и И. Я. Петров. Рентгенографическое исследование поливинилового спирта и поливинилхлорида . . . . .	345
А. Запольская. О влиянии некоторых пассиваторов на мотозлектрический эффект никелевого электрода . . . . .	352
П. Симанов, Т. Н. Резухина, В. А. Морозова и Я. И. Герасимов. Термодинамика редких металлов. IV. Равновесие вольфрамата кобальта с водородом . . . . .	357
К. Семенченко и В. П. Скрипов. Фазовые переходы 2-го рода и критические явления. III. Теплоемкость жидких бинарных смесей в критической области расслаивания . . . . .	362

### Дискуссия

В. Сокольский и К. И. Стендер. К вопросу о роли носителя в гетерогенном катализе . . . . .	369
И. Кобозев. Несколько замечаний о статье Д. В. Сокольского и К. И. Стендер «К вопросу о роли носителя в гетерогенном катализе» . . . . .	375
И. Бродский, Л. Л. Червяцова и Г. П. Миклухин. Ответ Б. И. Степанову . . . . .	380

## ВЫПУСК 4

К. В. Чматов. К пятидесятилетию со дня рождения академика Михаила Михайловича Дубинина	385
О. К. Кудра и П. П. Туров. Потенциалы разложения ацетоновых растворов солей кадмия	391
Ю. К. Делимарский, Л. С. Беренблум и И. Н. Шейко. Определение отдельных электродных потенциалов в расплавленных хлористом алюминии — хлористом натрия как растворителе	398
В. А. Шушунов, Г. М. Стройгин, Ю. И. Грызгин и А. В. Куканов. Кинетика реакции фотохлорирования бензола	404
Л. И. Антропов и Н. Т. Ваграмян. Электровосстановление в ряду нитробензол — анилин	409
Н. Т. Ваграмян и Л. И. Антропов. О влиянии pH на процесс электрохимического гидрирования	419
С. С. Уразовский. О природе молекулярно-полиморфных превращений в жидкостях	426
М. А. Ковнер и Ш. Е. Цимринг. К теории сплошного спектра метана и сходных молекул	434
М. А. Ковнер и Ш. Е. Цимринг. Квантовая механика вырожденных колебаний молекулы метана	438
В. И. Кокочавили. Особенности горения смесей водорода с бромом	444
В. И. Левин. Полимолекулярная адсорбция на неоднородных поверхностях	453
И. А. Багодкая. О механизме окисления ртути кислородом в растворах электролитов	459
Е. К. Манкаш и А. Б. Пакшвер. Кинетика гетерогенного гидролиза полиамидных волокон в кислой среде	468
К. Б. Яцимирский. Константы устойчивости некоторых комплексных соединений свинца	475
С. В. Авакян и Н. Ф. Лашко. Влияние повышенной структурной вязкости на процесс кристаллизации двойных эвтектик в тройных системах	480
Ю. В. Баймаков и Л. М. Евланников. К вопросу об электрохимических свойствах никеля	483
Д. В. Сокольский и Л. А. Бувалкина. Кинетика гидрирования диметилацетиленилкарбинола на скелетном никелевом катализаторе	495
Е. Ф. Гросс, К. В. Нельсон и Я. М. Слободин. Спектры комбинационного рассеяния света низкомолекулярных полимеров и полимеризация изобутилена	504

## ВЫПУСК 5

О. К. Кудра и П. П. Туров. Потенциалы разложения ацетоновых растворов солей кобальта	513
О. К. Кудра и П. П. Туров. Потенциалы разложения ацетоновых растворов солей железа и ртути	519
Г. А. Барский и Я. Б. Зельдович. Кинетика горения окиси углерода	523
Т. Ф. Иванов. Уравнение физического состояния вещества в частных производных	538
А. Г. Амелин, В. В. Илларионов и З. Б. Бородастова. Вязкость серного ангидрида	542
Г. С. Воздвиженский, Г. П. Десятерьев и В. А. Дмитриев. Анодное растворение текстурованного металла	547
Г. А. Гольдер и М. М. Уманский. Гониометрическое и рентгеновское исследование кристаллов 1,3,8-тринитронафталина	555
С. Л. Киперман и В. Ш. Грановская. Об изменении порядка реакции синтеза аммиака. I. Кинетика реакции на осмиевом катализаторе	557
Ц. И. Залкинд и Б. В. Эршлер. Адсорбция кислорода на платине при поляризации по кривым заряджения	565
И. Р. Кричевский и Г. Д. Ефремова. Фазовые и объемные соотношения в системах жидкость — газ при высоких давлениях III	577
Е. П. Дергунов. Комплексообразование и обменное разложение в тройной взаимной системе из хлоридов и сульфатов лития и цезия	584
П. Г. Маслов и С. А. Антипина. К определению коэффициентов влияния для колебаний многоатомных молекул. I. Коэффициенты влияния метана, дейтерометанов, этана и дейтероэтанола	594
Н. Е. Хомутов. Кинетика электрохимического окисления анилина в водных растворах II	607
И. Н. Влодавец и С. Я. Пшежецкий. Некоторые закономерности кинетики окисления метанола в формальдегид на серебряном катализаторе	612
Э. С. Саркисов. Строение органических молекул и межатомные расстояния	624

## Дискуссия

П. Мохнаткин. К теории полиморфизма . . . . .	635
---	-----

## Письма в редакцию

К. Горский. Принципы равновероятности кристаллизации фаз эвтек- тических сплавов . . . . .	637
В. Авакян и Н. Ф. Лашко. По поводу письма в редакцию Ф. К. Горского . . . . .	638

## Библиография

книге З. Г. Пинскера «Диффракция электронов» . . . . .	639
--	-----

## ВЫПУСК 6

А. Маринин. Скорость ультразвука в некоторых жидкостях и рас- творах . . . . .	641
В. Поляков, А. Я. Павлушина, Т. П. Корниенко и В. В. Шалы. Исследование кинетики и механизма полимеризации винилацетата . . . . .	647
Г. Рысс. О равновесии гидролиза гексафторосиликатнона . . . . .	654
А. Ковнер и В. А. Чуенков. К теории водородной связи в ди- мерах карбоновых кислот . . . . .	662
М. Дыхно и А. И. Шатенштейн. Спектры поглощения и электропроводность растворов нитронафтолов в жидком аммиаке . . . . .	670
В. Фрисман и В. Н. Цветков. Динамическое двойное лучепре- ломление жидкостей с пенистыми молекулами . . . . .	682
П. Миклухин. Подвижность атомов водорода в солях уксусной кис- лоты . . . . .	688
А. Кожеуров. Термодинамика твердых и жидких растворов окислов железа . . . . .	694
М. Зезюлинский. Исследование водородной связи фенола с неко- торыми органическими соединениями по спектрам поглощения их раство- ров в близкой инфракрасной области . . . . .	702
П. Древинг, А. В. Киселев и О. А. Лихачева. Адсорбция паров азота на силикагеле при низкой температуре . . . . .	710
Ф. Капустинский и Ю. М. Голутвин. Метод предельных теплот I. Теплота образования сернистого железа . . . . .	719
Ф. Капустинский и Ю. М. Голутвин. Метод предельных теплот. II. Теплота образования селенистого железа . . . . .	729
Л. Розенфельд. Зависимость электродного потенциала железа от концентрации водородных ионов . . . . .	732

## Дискуссия

Н. Шигорин. О некоторых вопросах теории химического строения молекул . . . . .	737
---	-----

## ВЫПУСК 7

Л. Старобинец и К. С. Старобинец. Адсорбционные слои и дielekтрическая поляризация в системе л-дихлорбензолэтиловый спирт . . . . .	753
Л. Старобинец и К. С. Старобинец. Адсорбционные слои и dielectricкая поляризация в неводных системах: алифатические спир- ты в парадихлорбензоле . . . . .	759
А. Словохотова. Спектроскопическое исследование растворов не- органических солей в кетонах . . . . .	768
Л. Натансон. Симметричная электризация капель при механиче- ском распылении жидкостей . . . . .	779
Я. Горенбейн и Е. Е. Крисс. Исследование концентрирован- ных растворов $SbBr_3$ , $AlBr_3$ в бромистом мышьяке как растворителя . . . . .	791
Н. Шигорин. Спектры комбинационного рассеяния света гидрохлор- идов амидинов и имидоэфиров . . . . .	798
Г. Маслов. К определению коэффициентов влияния для колебаний многоатомных молекул. II. Постоянные потенциальной энергии галоидо- замещенных метана . . . . .	803
Г. Маслов. К определению коэффициентов влияния для колебаний многоатомных молекул. III. О связи коэффициентов влияния с другими параметрами молекул . . . . .	814
В. Ткаченко, П. М. Хомиковский и С. С. Медведев. Кинетика полимеризации хлористого винила в растворах под влиянием пере- киси бензоила . . . . .	823

А. В. Веденеев и С. М. Скуратов. Теплоемкости некоторых перекисей и гидратов окисей щелочных металлов . . . . .	837
С. В. Горбачев и Н. П. Жук. Влияние температуры на скорость процесса электролитического выделения хлора . . . . .	841
Е. А. Каневский. К теории электродного потенциала. II. Некоторые вопросы термодинамической теории электродного потенциала . . . . .	854
А. Ф. Постовская и А. С. Кузьминский. Действие света на натрийбутадиеновый каучук . . . . .	863
Ф. Д. Клемент и Н. И. Иванова. О возможности и условиях «холодного» получения кристаллофосфоров и люминесцентном методе исследования диффузии в твердой фазе . . . . .	869
Н. А. Черноплеков. Таблицы функции теплоемкости гетеродинамических структур . . . . .	878

### Д и с к у с с и я

М. И. Батуев. Водородная связь и физический идеализм предиссоциационной ее теории . . . . .	884
---	-----

### ВЫПУСК 8

Е. Н. Гурьянова, Л. А. Яновская и А. П. Терентьев. Дипольные моменты производных пиррола . . . . .	897
В. А. Вейденбах и Е. А. Карпович. Зависимость цветного проявления от концентрации проявляющих веществ . . . . .	903
Б. Я. Тейтельбаум, Т. А. Гордалова и Е. Е. Сидорова. Политермическое исследование поверхностного натяжения водных растворов низших спиртов . . . . .	911
А. И. Бродский и И. И. Кухтенко. Кинетика и механизм водородной перегруппировки фенола . . . . .	920
Н. А. Ландия. Расчет теплоемкостей неорганических соединений в твердом состоянии при высоких температурах . . . . .	927
М. Д. Тиличев. Вычисление давления насыщенного пара индивидуальных углеводородов путем экстраполяции экспериментальных данных . . . . .	942
Д. А. Петров. Некоторые особенности образования соединений в металлических сплавах . . . . .	950
В. А. Ройтер, В. А. Юза и А. Н. Кузнецов. О механизме восстановления окислов железа водородом, окисью углерода и их смесями . . . . .	960
Ю. П. Лапин и А. В. Фрост. Бимолекулярное уравнение скорости каталитических реакций в струе и его применение к частному случаю . . . . .	971
М. М. Павлюченко, И. И. Чекалинская и В. М. Акулович. Кинетика окисления абиетата серебра . . . . .	976
К. М. Горбунова, Т. В. Ивановская и Н. А. Шишаков. Структура и механизм образования блестящих электролитических осадков. I. Электрономикроскопическое и электронографическое исследование блестящих покрытий из никеля и цинка . . . . .	981
Резолюция совещания по теории химического строения в органической химии . . . . .	988

### Д и с к у с с и я

Б. И. Степанов. К вопросу о водородных обменных реакциях производных толуола . . . . .	992
А. И. Бродский, Л. Л. Червяцова и Г. П. Миклухин. Заключительный ответ Б. И. Степанову . . . . .	994
М. И. Батуев. Физический идеализм резонансной теории водородной связи . . . . .	998

### Б и б л и о г р а ф и я

П. Д. Данков. О книге З. Г. Пинскера «Диффракция электронов» . . . . .	1002
--	------

### ВЫПУСК 9

М. Н. Полукаров. Ультрамикроскопическое исследование электролиза неводных растворов азотнокислого серебра . . . . .	1000
С. Д. Громаков. О некоторых закономерностях в образовании типа диаграмм состояния бинарных систем . . . . .	1014
Г. П. Фаерман и Н. Н. Шишкина. Роль щелочи при цветном появлении . . . . .	1022
В. Л. Бонч-Бруевич. Электронные уровни атомов, адсорбированных на поверхности кристалла. II . . . . .	1032



Я. Тейтельбаум, С. Г. Ганелина и Т. А. Горталова. Политермическое исследование поверхностного натяжения водных растворов ацетона, метилэтилкетона, пиридина и хлораля . . . . .	1043
К. Лавровская и В. В. Воеводский. Реакции атомов водорода и кислорода на твердых поверхностях . . . . .	1050
Т. Славянский. О поведении расплавленного стекла на платине в атмосфере различных газов . . . . .	1059
В. Козлов, Р. В. Зуева и И. Б. Бажутина. Исследование релаксационных явлений при пленкообразовании . . . . .	1064
А. Измайлов. Физико-химический анализ двухкомпонентных систем в растворах . . . . .	1070
В. Авакян и Н. Ф. Лашко. О кристаллизации двойных эвтектик в тройных системах . . . . .	1085
А. Каневский. Энергия гидратации ионов. II. Вычисление сумм стандартных энергий гидратации пар ионов . . . . .	1092
В. Ерофеев и И. И. Смирнова. Кинетика реакций с участием твердых веществ. О применимости обобщенного уравнения химической кинетики к термическому распаду перманганата калия . . . . .	1098
И. Шахпаронов. Связь между растворимостью, коэффициентом активности и свойствами частиц, составляющих раствор . . . . .	1103

### Дискуссия

И. Кобозев. О теоретических ошибках в работах А. Н. Фрумкина, З. А. Иофа и В. С. Багоцкого . . . . .	1111
Н. Фрумкин, З. А. Иофа и В. С. Багоцкий. Ответ Н. И. Кобозеву . . . . .	1117
Н. Туницкий. Ответ на письмо С. В. Горбачева . . . . .	1132
В. Горбачев. Ответ на второе письмо Н. Н. Туницкого . . . . .	1133
А. Шилов. О соображениях Абеля относительно надзотистой кислоты . . . . .	1137

### Письма в редакцию

Н. Модестова. Влияние анионов на кинетику катодного восстановления кислорода . . . . .	1138
--	------

### ВЫПУСК 10

В. Товбин и А. В. Товбин. Кинетика адсорбции из растворов . . . . .	1141
Г. Рысс. О влиянии образования кристаллосольватов на устойчивость комплексных соединений . . . . .	1152
Я. Горенбейн. Исследования концентрированных электролитных растворов в четырехбромистом олове как растворителе. Система $\text{SbBr}_3\text{—SnBr}_4$ . . . . .	1160
А. А. Добринская и М. Б. Нейман. Исследование воспламенения газовых смесей. XXI. Исследование кинетики холоднопламенного окисления бутана . . . . .	1169
И. Ремпель и И. Н. Озерная. О ряде напряжений для тяжелых цветных металлов и их сульфидов в расплавленных хлоридах щелочных металлов . . . . .	1181
Л. Старобинец, К. С. Старобинец и Л. А. Рыжикова. Адсорбционные слои и диэлектрическая поляризация растворов спиртов жирного ряда в бензоле . . . . .	1186
А. Герович, Р. И. Каганович и И. Ф. Резник. Адсорбция ионов на монослоях жирных кислот. 2. Образование бимолекулярных пленок жирных кислот на растворах солей серебра . . . . .	1198
И. Шатенштейн. О сравнении силы очень слабых кислот . . . . .	1206
Ф. Ф. Волькенштейн. О модифицировании катализаторов . . . . .	1214
Е. Гегузин и Б. Я. Пинес. Энергия смещения двойных металлических сплавов. I. Система свинец — олово . . . . .	1229
Г. Трещева, В. М. Татевский, Т. И. Танцырева, А. А. Файнзильберг и Р. Я. Левина. Спектры комбинационного рассеяния некоторых алканов изостроения $\text{C}_8\text{—C}_{11}$ с третичными атомами углерода . . . . .	1239
М. Колотыркин. О стационарных потенциалах саморастворяющихся металлов в кислых растворах . . . . .	1248

### Дискуссия

Б. В. Эршлер и В. А. Плесков. Об «абсолютной» шкале потенциалов Е. А. Каневского . . . . .	1258
--	------

## Письма в редакцию

- А. И. Китайгородский и В. М. Кожин. Структура кристаллов фенола . . . . . 1261

## Хроника

- К. М. Горбунова. Сопределение по электрохимии . . . . . 1262

## ВЫПУСК 11

- П. Б. Афанасьев и О. М. Тодес. Экспериментальная проверка теории распространения осадка в плоском капилляре . . . . . 1273
- П. Б. Афанасьев и О. М. Тодес. Распределение концентраций компонентов реакции и периодическое осаждение ее продукта в плоском капилляре. . . . . 1281
- М. А. Герович и Р. И. Каганович. Адсорбция ионов на монослоях жирных кислот. 3. Образование смешанных бимолекулярных пленок на растворах, содержащих ионы серебра . . . . . 1289
- М. Д. Тиличев и А. В. Иогансен. Давление насыщенных паров 2-метилалканов  $C_6-C_{24}$  . . . . . 1295
- Я. Е. Гегузин и Б. Я. Пинес. Энергия смешения двойных металлических сплавов. II. Система висмут — кадмий. . . . . 1300
- Н. А. Шурмовская, Б. П. Брунс и З. Я. Мельникова. Реакция между окисью углерода и двуокисью марганца . . . . . 1306
- Г. А. Богданов и Т. П. Беркенгейм. К теории совместного действия катализаторов в растворе. III. Промежуточные продукты при катализе  $H_2O$  солями кальция и вольфрама . . . . . 1313
- И. Г. Мельникова, К. С. Евстропьев и А. Я. Кузнецов. Электропроводность стекол системы  $PbO-В_2O_5$  . . . . . 1318
- А. Р. Гантмахер и С. С. Медведев. Каталитическая полимеризация ненасыщенных соединений. II. Влияние диэлектрической постоянной среды на каталитическую полимеризацию стирола . . . . . 1328
- Б. П. Никольский и Е. А. Матерова. Теория стеклянного электрода. IV. Экспериментальное подтверждение обменной природы потенциала стеклянного электрода . . . . . 1335
- И. А. Мирзхулава. Теория концентрированных растворов сильных электролитов . . . . . 1347
- Я. М. Колотыркин и Л. А. Медведева. Связь между перенапряжением водорода на свинцовом, кадмиевом и талловом электродах и знаком заряда поверхности последних в кислых растворах . . . . . 1355
- П. П. Пугачевич. Экспериментальное изучение поверхностного натяжения металлических растворов. I. Температурная зависимость поверхностного натяжения ртути, амальгам натрия и калия . . . . . 1365
- М. И. Шахпаровов. К теории термодинамических свойств растворов. III. Правило Семенченко . . . . . 1374
- С. В. Горбачев и А. В. Измайлов. Катодная поляризация при осаждении меди из комплексных электролитов . . . . . 1384

## ВЫПУСК 12

- А. Е. Луцкий. Масса молекул и физические свойства жидкостей . . . . . 1397
- М. В. Поляков и Т. П. Корниенко. Кинетика совместной полимеризации винилацетата и метилметакрилата . . . . . 1407
- Э. С. Саркисов. Масса атомных ядер и периодический закон. I. Стабильные ядра . . . . . 1415
- Л. А. Николаев. Каталитическая активность комплексных соединений меди . . . . . 1427
- Л. А. Николаев. О связи между структурой и каталитической активностью у некоторых комплексных соединений . . . . . 1437
- Л. М. Волчкова, А. Г. Антонова и А. И. Красильников. Пассивность сплавов никеля с железом и хромом в щелочных растворах . . . . . 1445
- Г. А. Богданов и А. И. Пастухова. К теории совместного действия катализаторов в растворе. IV: Кинетика катализа  $H_2O$  в присутствии  $AgNO_3$ ,  $Na_2WO_4$  . . . . . 1450
- П. М. Четаев. Об особенностях в температурной зависимости некоторых термодинамических функций поверхностных слоев жидкостей . . . . . 1455
- М. В. Поляков, В. И. Уризко и Н. П. Галенко. Исследование каталитического окисления аммиака . . . . . 1460

Г. Хомяков, В. А. Холлер и М. А. Некрашевич. Истинная теплоемкость системы фенол — вода в области критической температуры . . . . .	1470
П. Шерыгин и А. Х. Халилов. Применения исследования интенсивности линий комбинационного рассеяния света для изучения молекулярных соединений . . . . .	1477
Е. Ампилогос и А. Н. Харин. О роли гидродинамических условий в кинетике сорбции уксусной кислоты активными углями из водных растворов . . . . .	1481
И. Антропов. О роли потенциала нулевого заряда в необратимых — электрохимических процессах . . . . .	1496
А. Есин и И. Т. Срывалин. Изучение свойств расплавленных сульфидов методом электродвижущих сил. I. Системы Pb — PbS и Cu — Cu <sub>2</sub> S . . . . .	1505

### Д и с к у с с и я

П. Фронтасьев. По поводу статьи Н. Б. Варгафтика и В. В. Керженцева «К вопросу о теплопроводности двойных жидких систем» . . . . .	1514
вторский и предметный указатели к XXV тому за 1951 г. . . . .	1516

# **ОТКРЫТА ПОДПИСКА НА ЖУРНАЛЫ АКАДЕМИИ НАУК СССР** **на 1952 год**

Название журнала	Количество номеров в год	Подписная цена в руб.	Название журнала	Количество номеров в год	Подписная цена в руб.
Астрономический журнал . . . . .	6	72	Известия Академии Наук СССР, серия математическая	6	54
Биохимия . . . . .	6	72	Известия Академии Наук СССР, серия истории и философии . . . . .	6	54
Ботанический журнал . . . . .	6	63	Известия Академии Наук СССР, Отделение технических наук . . . . .	12	180
Вестник Академии Наук СССР	12	96	Известия Академии Наук СССР, Отделение химических наук . . . . .	6	96
Вестник древней истории . . . . .	4	120	Известия Академии Наук СССР, Отделение экономики и права . . . . .	6	45
Доклады Академии Наук СССР (без переплета) . . . . .	36	360	Известия Академии Наук СССР, серия физическая . . . . .	6	72
Доклады Академии Наук СССР с 6 папками (коленкоровыми, с тиснением) для переплета . . . . .	36	384	Известия Академии Наук СССР, Отделение литературы и языка . . . . .	6	54
Журнал аналитической химии	6	36	Известия Всесоюзного географического общества . . . . .	6	63
Журнал высшей нервной деятельности им. И. П. Павлова . . . . .	6	90	Коллоидный журнал . . . . .	6	45
Журнал общей биологии . . . . .	6	45	Математический сборник . . . . .	6	132
Журнал общей химии . . . . .	12	180	Микробиология . . . . .	6	54
Журнал прикладной химии . . . . .	12	126	Почвоведение . . . . .	12	72
Журнал технической физики	12	180	Прикладная математика и механика . . . . .	6	72
Журнал физической химии . . . . .	12	180	Природа . . . . .	12	84
Журнал экспериментальной и теоретической физики . . . . .	12	144	Советское государство и право	12	108
Записки Всесоюзного минералогического общества . . . . .	4	30	Советская этнография . . . . .	4	90
Зоологический журнал . . . . .	6	90	Успехи современной биологии	6	60
Известия Академии Наук СССР, серия биологическая	6	72	Успехи химии . . . . .	12	96
Известия Академии Наук СССР, серия геологическая	6	90	Физиологический журнал СССР им. И. М. Сеченова	6	72
Известия Академии Наук СССР, серия географическая	6	54			
Известия Академии Наук СССР, серия геофизическая	6	54			

## **ПОДПИСКА ПРИНИМАЕТСЯ**

ГОРОДСКИМИ И РАЙОННЫМИ ОТДЕЛАМИ «СОЮЗПЕЧАТИ», ОТДЕЛЕНИЯМИ И АГЕНТСТВАМИ СВЯЗИ, ПОЧТАЛЬОНАМИ И ОБЩЕСТВЕННЫМИ УПОЛНОМОЧЕННЫМИ «СОЮЗПЕЧАТИ» НА ФАБРИКАХ И ЗАВОДАХ, В УЧЕБНЫХ ЗАВЕДЕНИЯХ И УЧРЕЖДЕНИЯХ, А ТАКЖЕ В МАГАЗИНАХ «АКАДЕМКНИГИ»: МОСКВА, УЛ. ГОРЬКОГО 6; ЛЕНИНГРАД, ЛИТЕЙНЫЙ ПР., 53-а; СВЕРДЛОВСК, УЛ. БЕЛИНСКОГО, 71-в; ТАШКЕНТ, УЛ. К. МАРКСА, 29; КИЕВ, УЛ. ЛЕНИНА, 42; АЛМА-АТА, УЛ. ФУРМАНОВА, 129; ХАРЬКОВ, ГОРЯЙНОВСКИЙ ПЕР., 4/6

И ГЛАВНОЙ КОНТОРОЙ «АКАДЕМКНИГА»

*Москва, Пушкинская ул., 28.*



## СОДЕРЖАНИЕ

Е. Муцкий. Масса молекул и физические свойства жидкостей . . . . .	1397
В. Поляков и Т. П. Корниенко. Кинетика совместной полимеризации винилацетата и метилметакрилата . . . . .	1407
С. Саркисов. Масса атомных ядер и периодический закон I. Стабильные ядра . . . . .	1415
А. Николаев. Каталитическая активность комплексных соединений меди . . . . .	1427
А. Николаев. О связи между структурой и каталитической активностью у некоторых комплексных соединений . . . . .	1437
М. Волчкова, Л. Г. Антонова и А. И. Красильщиков. Пассивность сплавов никеля с железом и хромом в щелочных растворах . . . . .	1445
А. Богданов и А. И. Пастухова. К теории совместного действия катализаторов в растворе. IV. Кинетика катализа $\text{H}_2\text{O}$ в присутствии $\text{AgNO}_3 + \text{Na}_2\text{WO}_4$ . . . . .	1450
И. Четаев. Об особенностях в температурной зависимости некоторых термодинамических функций поверхностных слоев жидкостей . . . . .	1455
В. Поляков, В. И. Уризко и Н. П. Галенко. Исследование каталитического окисления аммиака . . . . .	1460
Г. Хомяков, В. А. Холлер и М. А. Некрашевич. Истинная теплоемкость системы фенол — вода в области критической температуры . . . . .	1469
П. Шорыгин и А. Х. Халилов. Применение исследования интенсивности линий комбинационного рассеяния света для изучения молекулярных соединений . . . . .	1475
Е. Ампилогов и А. Н. Харин. О роли гидродинамических условий в кинетике сорбции уксусной кислоты активными углями из водных растворов . . . . .	1479
И. Антропов. О роли потенциала нулевого заряда в необратимых электрохимических процессах . . . . .	1494
А. Есин и И. Т. Срывалин. Изучение свойств расплавленных сульфидов методом электродвижущих сил. I. Системы $\text{Pb} - \text{PbS}$ и $\text{Cu} - \text{Cu}_2\text{S}$ . . . . .	1503

## Д и с к у с с и я

Ф. Фронтасьев. По поводу статьи Н. Б. Варгафтика и В. В. Керженцева «К вопросу о теплопроводности двойных жидких систем» . . . . .	1512
Русский и предметный указатели к тому XXV за 1951 г. . . . .	1514

Цена 12 руб.







